

การสร้างชุดขับเคลื่อนมอเตอร์เหนี่ยวนำสามเฟสด้วยวิธีการควบคุมแบบ
เวกเตอร์ทางอ้อม



วิทยานิพนธ์นี้เป็นส่วนหนึ่งของการศึกษาตามหลักสูตรปริญญาวิศวกรรมศาสตรมหาบัณฑิต
สาขาวิชาวิศวกรรมไฟฟ้า
มหาวิทยาลัยเทคโนโลยีสุรนารี
ปีการศึกษา 2556

THE IMPLEMENTATION OF THREE PHASE INDUCTION MOTOR VIA INDIRECT VECTOR CONTROLS



**A Thesis Submitted in Partial Fulfillment of the Requirements for the
Degree of Master of Engineering in Electrical Engineering
Suranaree University of Technology
Academic Year 2013**

การสร้างชุดขับเคลื่อนมอเตอร์เรนี่ยวน้ำสามเฟสด้วยวิธีการควบคุมแบบ วงจรต่อร่องอ้อม

มหาวิทยาลัยเทคโนโลยีสุรนารี อนุมัติให้นับวิทยานิพนธ์ฉบับนี้เป็นส่วนหนึ่งของการศึกษา
ตามหลักสูตรปริญญามหาบัณฑิต

คณะกรรมการสอบวิทยานิพนธ์

(รศ. ดร.กิตติ อัตถกิจมงคล)

ประธานกรรมการ

(ผศ. ดร.กองพัน อารีรักษ์)

กรรมการ (อาจารย์ที่ปรึกษาวิทยานิพนธ์)

(รศ. ดร.อาทิตย์ ศรีแก้ว)

กรรมการ

(ผศ. ดร.กองพล อารีรักษ์)

กรรมการ

(ศ. ดร.ชุกิจ ลิมปีจันงค์)
รองอธิการบดีฝ่ายวิชาการและนวัตกรรม

(รศ. ร.อ. ดร.กนต์ธร ชำนินประสาสน์)
คณบดีสำนักวิชาศึกษาศาสตร์

ภาคดี สวัสดิ์นัท : การสร้างชุดขั้นเคลื่อนมอเตอร์เหนี่ยวนำสามเฟสด้วยวิธีการควบคุมแบบเวกเตอร์ทางอ้อม (THE IMPLEMENTATION OF THREE PHASE INDUCTION MOTOR VIA INDIRECT VECTOR CONTROLS) อาจารย์ที่ปรึกษา : ผู้ช่วยศาสตราจารย์ ดร. กองพัน อารีรักษ์, 209 หน้า.

งานวิจัยวิทยานิพนธ์นี้นำเสนอการสร้างแบบจำลองทางคณิตศาสตร์ของมอเตอร์เหนี่ยวนำสามเฟสผ่านชุดบล็อก SimPowerSystems ในโปรแกรม MATLAB เพื่อวิเคราะห์การทำงานของมอเตอร์เหนี่ยวนำสามเฟส การควบคุมการทำงานแบบเวกเตอร์ทางอ้อมได้ถูกนำมาใช้ในการควบคุมความเร็วของมอเตอร์เนื่องจากเป็นการควบคุมที่ไม่ต้องการเครื่องมือในการวัดฟลักซ์ให้กับระบบควบคุม รายละเอียดการออกแบบตัวควบคุมแบบเวกเตอร์ทางอ้อมด้วยวิธีการแบบดึงเดิมได้รับการอธิบายไว้ในงานวิจัยวิทยานิพนธ์ รวมถึงการนำเสนอการออกแบบตัวควบคุมพีไอสำหรับการควบคุมแบบเวกเตอร์ด้วยวิธีการทางปัญญาประดิษฐ์ ค่าพารามิเตอร์ของตัวควบคุมพีไอที่ได้จากการออกแบบด้วยวิธีการทั้งสองนำไปจำลองสถานการณ์ด้วยโปรแกรม MATLAB เพื่อเปรียบเทียบประสิทธิภาพการทำงาน นอกจากนี้งานวิจัยวิทยานิพนธ์ได้มีการสร้างชุดควบคุมแบบเวกเตอร์ทางอ้อมเพื่อนำไปใช้ยืนยันผลการศึกษาในงานวิจัยวิทยานิพนธ์ ซึ่งจากการยืนยันผลด้วยการจำลองสถานการณ์บนคอมพิวเตอร์ผ่านโปรแกรมสำเร็จรูป และผลจากการทดสอบจากชุดทดสอบจริงทำให้ทราบว่าการควบคุมแบบเวกเตอร์ทางอ้อมโดยใช้ตัวควบคุมที่ได้จากการศึกษาทางปัญญาประดิษฐ์ให้ผลตอบสนองความเร็วของมอเตอร์ที่ดีกว่าระบบที่อาศัยตัวควบคุมที่ได้จากการออกแบบด้วยวิธีการแบบดึงเดิม รายละเอียดการออกแบบตัวควบคุม โครงสร้างตัวควบคุมแบบเวกเตอร์ทางอ้อม รวมถึงการสร้างชุดทดสอบจริง ได้รับการอธิบายโดยละเอียดในงานวิจัยวิทยานิพนธ์นี้

PAKDEE SAWATNATEE : THE IMPLEMENTATION OF THREE
PHASE INDUCTION MOTOR VIA INDIRECT VECTOR CONTROLS.

THESIS ADVISOR : ASST. PROF. KONGPAN AREERAK, Ph.D., 209 PP.

INDIRECT VECTOR CONTROLS / THREE PHASE INDUCTION MOTOR /
ADAPTIVE TABU SEARCH

The thesis presents the mathematical model of three-phase induction motor used with SimPowerSystems of MATLAB to study the behavior of such induction motor. The indirect vector control is selected to control the speed of the motor because this control technique does not need the flux measurement. The PI controller design for the indirect vector control using the conventional method and the artificial intelligence (AI) method are fully explained in the thesis. The results from the simulation of the software package called MATLAB and experiment show that the speed responses when the system uses the controllers designed from the AI method can provide the better output performance compared with those from the conventional method. The details how to design the indirect vector controllers and how to implement the testing rig are addressed in this thesis.

School of Electrical Engineering

Student's Signature_____

Academic Year 2013

Advisor's Signature_____

กิตติกรรมประกาศ

วิทยานิพนธ์นี้ดำเนินการสำเร็จลุล่วงด้วยดี เนื่องจากได้รับความช่วยเหลืออย่างดี ทั้งด้านวิชาการและด้านการดำเนินงานวิจัย จากบุคคล และกลุ่มบุคคลต่าง ๆ ได้แก่

ผู้ช่วยศาสตราจารย์ ดร.กองพัน อารีรักษ์ อาจารย์ที่ปรึกษาวิทยานิพนธ์ ที่ได้ให้คำปรึกษาแนะนำและแนะนำทางอันเป็นประโยชน์ยิ่งต่องานวิจัย รวมถึงได้ช่วยตรวจสอบ และช่วยแก้ไขรายงานวิจัยวิทยานิพนธ์เล่มนี้จนทำให้มีความสมบูรณ์ยิ่งขึ้น รวมทั้งเป็นกำลังใจ และเป็นแบบอย่างที่ดีในด้านการดำเนินชีวิตหลาย ๆ ด้าน ให้กับผู้วิจัยเสมอมา

รองศาสตราจารย์ ดร.อาทิตย์ ศรีแก้ว ผู้ช่วยศาสตราจารย์ ดร.กองพล อารีรักษ์ และอาจารย์ประจำสาขาวิชาวิศวกรรมไฟฟ้า มหาวิทยาลัยเทคโนโลยีสุรนารี ทุกท่าน ที่กรุณารับให้คำปรึกษาแนะนำสั่งสอนความรู้ทางวิชาการอย่างดีเยี่ยมมาโดยตลอด

ขอขอบคุณบุคลากรศูนย์เครื่องมือวิทยาศาสตร์และเทคโนโลยี มหาวิทยาลัยเทคโนโลยีสุรนารีทุกท่าน ที่อำนวยความสะดวกในการทำงาน

ขอขอบคุณพี่ ๆ เพื่อน ๆ ชมรมสมามิ มหาวิทยาลัยเทคโนโลยีสุรนารี ที่เคยแนะนำแนวทางการดำเนินชีวิตให้รู้จักการเสียสละ รู้จักการให้อภัย มีความละอายต่อการทำบาป เพื่อจะเป็นพลเมืองที่ดีของประเทศไทย

สุดท้ายนี้ ผู้วิจัยขอขอบคุณอาจารย์ผู้สอนทุกท่านที่ประสิทธิ์ประสานความรู้ทางด้านต่าง ๆ ทั้งในอดีตและปัจจุบัน และขอกราบขอบพระคุณ บิดา มารดา รวมถึงญาติพี่น้องของผู้วิจัย ทุกท่านที่ให้ความรักกำลังใจ การอบรมเลี้ยงดู และให้การสนับสนุนทางด้านการศึกษาอย่างดีมาโดยตลอดจนทำให้ผู้วิจัยประสบความสำเร็จในชีวิตเรื่อยมา

ภักดี สวัสดิ์นะที

สารบัญ

หน้า

บทคัดย่อ (ภาษาไทย)	ก
บทคัดย่อ (ภาษาอังกฤษ).....	ข
กิตติกรรมประกาศ	ค
สารบัญ	ง
สารบัญตาราง	ช
สารบัญรูป	ญ
บทที่	
1 บทนำ	1
1.1 ความเป็นมาและความสำคัญของปัญหา	1
1.2 วัตถุประสงค์ของการวิจัย	2
1.3 ข้อตกลงเบื้องต้น	2
1.4 ขอบเขตของการวิจัย	2
1.5 ประโยชน์ที่คาดว่าจะได้รับ	3
1.6 การจัดรูปเล่มรายงานวิจัยพานิพันธ์	3
1.7 ปริทัศน์วรรณกรรมและงานวิจัยที่เกี่ยวข้องกับการควบคุมมอเตอร์เหนี่ยวนำ สามเฟสด้วยวิธีการควบคุมแบบเวกเตอร์ทางอ้อม.....	5
2 แบบจำลองทางคณิตศาสตร์ของมอเตอร์เหนี่ยวนำสามเฟส	10
2.1 บทนำ.....	10
2.2 หลักการทำงานของมอเตอร์เหนี่ยวนำ.....	10
2.3 การแปลงแบบคลาร์ก (Clarke's Transformation)	12
2.4 การแปลงแบบパーค (Park's Transformation).....	13
2.5 แบบจำลองทางคณิตศาสตร์ของมอเตอร์เหนี่ยวนำสามเฟส บนแกนหมุนใด ๆ (arbitrary frame).....	16
2.6 การสร้างแบบจำลองของมอเตอร์เหนี่ยวนำสามเฟสบนชุดบล็อก SIMULINK	26
2.7 สรุป	34

สารบัญ (ต่อ)

หน้า

3 การควบคุมความเร็วแบบเวกเตอร์ทางอ้อม	35
3.1 บทนำ.....	35
3.2 การควบคุมแบบเวกเตอร์	35
3.3 การควบคุมแบบฟิลด์ออเรียนเต็ดทางอ้อมหรือการควบคุมแบบเวกเตอร์ทางอ้อม....	41
3.4 การออกแบบตัวควบคุมของลูปควบคุมกระแส	43
3.5 การออกแบบตัวควบคุมของลูปควบคุมความเร็ว.....	50
3.6 การจำลองสถานการณ์การควบคุมแบบเวกเตอร์ทางอ้อม	53
3.7 สรุป.....	56
4 การออกแบบตัวควบคุมของการควบคุมแบบฟิลด์ออเรียนเต็ด ด้วยวิธีการทางปัญญาประดิษฐ์.....	58
4.1 บทนำ.....	58
4.2 การค้นหาแบบตามเชิงปรับตัว.....	58
4.3 การออกแบบตัวควบคุมพีไอสำหรับลูปควบคุมกระแสตัวขึ้นลงและการค้นหาแบบ ตามเชิงปรับตัว	61
4.3.1 ทดสอบพารามิเตอร์ของการค้นหาแบบตามเชิงปรับตัว ของลูปควบคุมกระแส	63
4.3.2 การออกแบบตัวควบคุมกระแสโดยใช้การค้นหาแบบตามเชิงปรับตัว.....	66
4.4 การออกแบบตัวควบคุมพีไอสำหรับลูปควบคุมความเร็วด้วยวิธีการค้นหาแบบ ตามเชิงปรับตัว	69
4.4.1 ทดสอบพารามิเตอร์ของการค้นหาแบบตามเชิงปรับตัว ของลูปควบคุมความเร็ว	70
4.4.2 การออกแบบตัวควบคุมความเร็วโดยใช้การค้นหาแบบตามเชิงปรับตัว ...	73
4.5 การจำลองสถานการณ์โดยใช้ตัวควบคุมที่ได้จากการออกแบบดังเดิมเทียบกับ ตัวควบคุมที่ได้จากการค้นหาแบบตามเชิงปรับตัว	75
4.6 สรุป.....	76
5 การสร้างชุดตรวจวัดความเร็วของมอเตอร์ด้วยอินโคลิดเดอร์	79

สารบัญ (ต่อ)

หน้า

5.1	บทนำ.....	79
5.2	โพรตารี่อี็นโกิดเดอร์ รุ่น E6B2-CWZ6C	79
5.3	การติดตั้งโพรตารี่อี็นโกิดเดอร์ รุ่น E6B2-CWZ6C	83
5.4	การทดสอบการทำงานของอี็นโกิดเดอร์และวงจรแปลงความถี่เป็นแรงดัน	87
5.5	สรุป.....	94
6	การสร้างอินเวอร์เตอร์สามเฟสและวงจรตรวจวัดกระแส	95
6.1	บทนำ.....	95
6.2	อินเวอร์เตอร์สามเฟส	95
6.2.1	หลักการทำงานของอินเวอร์เตอร์สามเฟส	98
6.2.2	อินเวอร์เตอร์สามเฟสเมื่อทำงานในย่านการมอคูลตแบบเชิงเส้น	100
6.2.3	อินเวอร์เตอร์สามเฟสเมื่อทำงานในย่านโอลิวอร์มอคูลต	101
6.2.4	การจำลองสถานการณ์ของอินเวอร์เตอร์สามเฟส	101
6.2.5	การจำลองสถานการณ์ของอินเวอร์เตอร์สามเฟสเมื่อ โหลดเป็นค่าความต้านทาน.....	101
6.2.6	การจำลองสถานการณ์ของอินเวอร์เตอร์สามเฟสเมื่อ โหลดเป็นมอเตอร์เห็นี่ยวน้ำสามเฟส	109
6.2.7	วงจรขับเกทเพื่อใช้ขับโมดูล 6MBP50RA120	112
6.2.8	การสร้างวงจรขับเกทเพื่อใช้ขับโมดูล 6MBP50RA120.....	112
6.2.9	โมดูล 6MBP50RA120.....	116
6.3	การสร้างวงจรตรวจวัดกระแสที่จ่ายให้มอเตอร์เห็นี่ยวน้ำสามเฟส.....	135
6.3.1	วงจรปรับแต่งสัญญาณแบบวงจรรวมปรับแต่งสัญญาณ	136
6.3.2	หลักการทำงานของวงจรปรับแต่งสัญญาณแบบ วงจรรวมปรับแต่งสัญญาณ	137
6.3.3	การออกแบบและสร้างวงจรปรับแต่งสัญญาณ	138
6.3.4	การทดสอบการทำงานของวงจรปรับแต่งสัญญาณแบบ วงจรรวมปรับแต่งสัญญาณ	141
6.4	สรุป	145

สารบัญ (ต่อ)

หน้า

7 ผลการทดสอบการควบคุมความเร็วของมอเตอร์เหนี่ยวนำสามเฟสด้วยวิธีการควบคุมแบบเวกเตอร์ทางอ้อม	147
7.1 บทนำ.....	147
7.2 ชิปประมวลผล รุ่น TMS320F28335	147
7.3 การออกแบบโปรแกรมด้วยชิปประมวลผล รุ่น TMS320F28335	149
7.4 การทดสอบการควบคุมความเร็วของมอเตอร์ด้วยการควบคุมแบบเวกเตอร์ทางอ้อม.....	153
7.5 สรุป.....	159
8 สรุปและข้อเสนอแนะ	162
8.1 สรุป	162
8.2 ข้อเสนอแนะ.....	164
รายการอ้างอิง.....	165
ภาคผนวก	
ภาคผนวก ก. รายละเอียดเพิ่มเติมสำหรับการพิสูจน์หาแบบจำลองทางคณิตศาสตร์ของมอเตอร์เหนี่ยวนำสามเฟส.....	168
ภาคผนวก ข. รายละเอียดเพิ่มเติมสำหรับการพิสูจน์การแปลงแกนของฟลักซ์ที่โรเตอร์เมื่อมุมที่ใช้ในการหมุนแกนบนเพริมของโรเตอร์.....	172
ภาคผนวก ค. การหาค่าพารามิเตอร์ของมอเตอร์เหนี่ยวนำสามเฟส	175
ภาคผนวก ง. โปรแกรมภาษาซีของการควบคุมแบบเวกเตอร์ทางอ้อม	
บนบอร์ด DSP รุ่น eZdsp™ F28335	188
ภาคผนวก จ. บทความวิชาการที่ได้รับการตีพิมพ์เผยแพร่.....	207
ประวัติผู้เขียน	209

สารบัญตาราง

ตารางที่	หน้า
1.1 ปริทัศน์วรรณกรรมและงานวิจัยของการควบคุมแบบ V/F	5
1.2 ปริทัศน์วรรณกรรมและงานวิจัยของการควบคุมแบบเวกเตอร์ทางตรง	6
1.3 ปริทัศน์วรรณกรรมและงานวิจัยของการควบคุมแบบเวกเตอร์ทางอ้อม	7
1.4 ปริทัศน์วรรณกรรมและงานวิจัยสำหรับการออกแบบพารามิเตอร์ของตัวควบคุมแบบพีไอ ด้วยวิธีการทางปัญญาประดิษฐ์	8
2.1 พารามิเตอร์สำหรับการจำลองสถานการณ์ของแบบจำลองทั่งสอง	30
3.1 ค่าพารามิเตอร์ที่ใช้สำหรับการออกแบบตัวควบคุมพีไอของลูปการควบคุมกระแส	48
3.2 ค่าพารามิเตอร์สำหรับการออกแบบตัวควบคุมพีไอของลูปควบคุมความเร็ว	53
4.1 การทดสอบจำนวนคำตอบเริ่มต้น	64
4.2 การทดสอบจำนวนคำตอบรอบข้าง	64
4.3 การทดสอบค่ารัศมีเริ่มต้น	65
4.4 การทดสอบค่าปรับลดรัศมี	66
4.5 ตัวควบคุมแบบพีไอจากวิธีการค้นหาแบบดึงเดิมและแบบตามเชิงปรับตัว	68
4.6 การทดสอบจำนวนคำตอบเริ่มต้น	71
4.7 การทดสอบจำนวนคำตอบรอบข้าง	71
4.8 การทดสอบค่ารัศมีเริ่มต้น	72
4.9 การทดสอบค่าปรับลดรัศมี	72
4.10 ค่าพารามิเตอร์ของตัวควบคุมความเร็วจากวิธีดึงเดิมเทียบกับวิธีแบบตามเชิงปรับตัว	74
4.11 ค่าพารามิเตอร์ของตัวควบคุมแบบพีไอที่ออกแบบด้วยวิธีดึงเดิมเทียบกับวิธี ATS	75
5.1 คุณสมบัติในการนำไปใช้งานของอินโค้ดเดอร์รุ่น E6B2 CWZ6C	81
5.2 ผลการทดสอบวงจรแปลงความถี่เป็นแรงดัน	92
5.3 ผลการคำนวณความเร็วเชิงมุมของสมการที่ (5-8) เทียบกับสมการที่ (5-10)	94
6.1 อัตราการมอตูเลตของวงจรอินเวอร์เตอร์สามเฟส	103
6.2 ค่าแรงดัน v_{AB} ที่อัตราการมอตูเลตต่าง ๆ	106
6.3 ความถี่ของ $v_{control}$ ของการจำลองสถานการณ์	107

สารบัญตาราง (ต่อ)

ตารางที่	หน้า
6.4 การเปลี่ยนแปลงความถี่ของ $v_{control}$ กับอัตราการมอคูเลชันของการจำลองสถานการณ์	109
6.5 คุณสมบัติการนำไปใช้งานของ HCPL-4504.....	113
6.6 คุณลักษณะการทำงานของโมดูล 6MBP50RA120.....	117
6.7 อัตราการเพิ่มแรงดันไฟฟ้ากระแสตรงฟังแรงดันสูง.....	124
6.8 การปรับเปลี่ยนอัตราการมอคูเลต	124
6.9 การปรับเปลี่ยนสัญญาณควบคุม	124
6.10 แรงดันเอาต์พุตที่ได้จากการวัดโดยใช้เงื่อนไขการทดสอบในตารางที่ 6.7.....	126
6.11 เปรียบเทียบแรงดันเอาต์พุตของอินเวอร์เตอร์ที่ได้จากการคำนวณและจากการวัด	128
6.12 เปรียบเทียบแรงดันเอาต์พุตจากการคำนวณและการวัดที่ความถี่ของ $v_{Control}$ ต่าง ๆ.....	130
6.13 เงื่อนไขการทดสอบการทำงานของอินเวอร์เตอร์ เมื่อโหลดเป็นมอเตอร์เหนี่ยวนำสามเฟส	132
6.14 ผลการทำงานของอินเวอร์เตอร์และมอเตอร์เหนี่ยวนำสามเฟส	135
6.15 กำหนดอัตราการไฟลของกระแสแท็งสามเฟสที่จ่ายให้มอเตอร์ ความถี่ของสัญญาณ ควบคุมและอัตราการมอคูเลต	143
6.16 กระแสแท็งที่ได้จากการวัดด้วยวงจรตรวจวัดกระแส	145
ค.1 ผลการทดสอบค่า R_s	180
ค.2 ผลของการทดสอบแบบไม่โหลด	181
ค.3 ผลการทดสอบแบบยึดโรเตอร์	182
ค.4 ความคลาดเคลื่อนที่ค่า J ต่าง ๆ	186
ค.5 ค่าพารามิเตอร์ของมอเตอร์เหนี่ยวนำสามเฟสที่ได้จากการทดสอบ	187

สารบัญ

รูปที่	หน้า
2.1 โครงสร้างของมอเตอร์เห็นี่ยวน้ำสามเฟสแบบกรุงกระอก (Rockwell Automation,1996)	11
2.2 การแปลงปริมาณสามเฟส abc ให้อยู่บนแกน $\alpha\beta$	12
2.3 การแปลงแกนจาก $\alpha\beta$ ให้อยู่บนแกน dq	14
2.4 วงจรสมมูลของมอเตอร์เห็นี่ยวน้ำสามเฟสต่อแบบ Y	16
2.5 วงจรสมมูลของมอเตอร์เห็นี่ยวน้ำสามเฟสบนแกน $\alpha\beta$	21
2.6 ชุดบล็อกของกระแสที่สเตเตอร์บันแกน α	26
2.7 ชุดบล็อกของกระแสที่สเตเตอร์บันแกน β	27
2.8 ชุดบล็อกของฟลักซ์ที่โรเตอร์บันแกน α	27
2.9 ชุดบล็อกของฟลักซ์ที่โรเตอร์บันแกน β	28
2.10 บล็อกไคอะแกรมของสมการแรงบิดทางไฟฟ้าของมอเตอร์	28
2.11 บล็อกไคอะแกรมของสมการความเร็วเชิงมุมที่โรเตอร์	29
2.12 ชุดบล็อกแบบจำลองสถานการณ์ทางคณิตศาสตร์ของมอเตอร์เห็นี่ยวน้ำสามเฟส	29
2.13 แบบจำลองของ IM Model	30
2.14 ชุดบล็อก IM Model	31
2.15 แบบจำลองมอเตอร์เห็นี่ยวน้ำสามเฟสจากโปรแกรม MATLAB (PSB Model)	31
2.16 ค่าความเร็วทางกล และค่า T_{em} เทียบกับเวลาตามคำดั้บ	32
2.17 ค่ากระแสที่ขดลวดสเตเตอร์ของ IM Model และ SPS Model	33
2.18 ฟลักซ์ที่ขดลวดโรเตอร์ของ IM Model และ SPS Model	33
3.1 แสดงค่าฟลักซ์ของโรเตอร์เมื่อใช้หลักการควบคุมแบบฟิลด์อิเล็กทรอนิกส์	38
3.2 โครงสร้างของการควบคุมแบบแกนเดอร์ทางอ้อม	44
3.3 แผนภาพไคอะแกรมสำหรับการออกแบบด้วยควบคุมกระแส ด้วยวิธีการควบคุมแบบฟิลด์อิเล็กทรอนิกส์	47
3.4 โครงสร้างคุณภาพควบคุมกระแสที่ไม่พิจารณาฟังก์ชันถ่ายโอนของอินเวอร์เตอร์	48
3.5 ไคอะแกรมทางกลของมอเตอร์เห็นี่ยวน้ำสามเฟส	50
3.6 บล็อกไคอะแกรมทางกันของมอเตอร์เห็นี่ยวน้ำสามเฟส	51

สารบัญ (ต่อ)

หน้า	
๑๙	รูปที่
51	3.7 โครงสร้างของลูปการควบคุมความเร็วแบบเวกเตอร์ทางอ้อม
51	3.8 โครงสร้างที่ใช้ในการออกแบบตัวควบคุมความเร็วด้วยวิธีเวกเตอร์ทางอ้อม
54	3.9 ชุดบล็อกการจำลองสถานการณ์การควบคุมแบบเวกเตอร์ทางอ้อม
55	3.10 ผลการตอบสนองการทำงานของการควบคุมแบบเวกเตอร์ทางอ้อม.....
59	4.1 สุ่มค่า S_0 ในพื้นที่การค้นหา.....
59	4.2 ค่าไกลส์เคียงรอบ ๆ S_0
60	4.3 กำหนดค่าไกลส์เคียงใหม่.....
60	4.4 กำหนดค่า S_0 ใหม่.....
60	4.5 กลไกการเดินขึ้น roy.....
61	4.6 กลไกการปรับลดค่ารัศมี
62	4.7 โครงสร้างของลูปควบคุมกระแสของการควบคุมแบบฟลักดอเรียนเต็ด.....
62	4.8 บล็อกໄດօะแกรมการออกแบบตัวควบคุมแบบพิไอของลูปควบคุมกระแส ด้วยวิธีการค้นหาตามชิงปรับตัว.....
67	4.9 การถูเข้าหากำตอบ W_i ของลูปควบคุมกระแส.....
69	4.10 บล็อกໄດօะแกรมของลูปควบคุมความเร็วโดยการควบคุมแบบเวกเตอร์ทางอ้อม
70	4.11 บล็อกໄດօะแกรมของการค้นหาตัวควบคุมแบบพิไอของลูปควบคุมความเร็ว ด้วยวิธีการค้นหาตามชิงปรับตัว.....
74	4.12 การถูเข้าหากำตอบ W_ω ของลูปควบคุมความเร็ว
77	4.13 ผลการควบคุมการทำงานของมอเตอร์เห็นี่ยาน้ำสารเคมี ภายใต้การควบคุมแบบเวกเตอร์ทางอ้อม
80	5.1 บล็อกໄດօะแกรมการทำงานของควบคุมความเร็วอิเน็น โโค้ดเดอร์
80	5.2 ทิศทางการหมุนของควบคุมความเร็วอิเน็น โโค้ดเดอร์
81	5.3 เอ็น โโค้ดเดอร์ รุ่น E6B2-CWZ6C
82	5.4 โครงสร้างวงจรภายในของโรตารี่อิเน็น โโค้ดเดอร์ รุ่น E6B2-CWZ6C
82	5.5 ลักษณะเฉพาะพุทธของโรตารี่อิเน็น โโค้ดเดอร์ E6B2 CWZ6C.....
83	5.6 ฐานที่ใช้สำหรับติดตั้งอิเน็น โโค้ดเดอร์ E6B2 CWZ6C.....
84	5.7 การต่อวงจรเพื่อใช้งานอิเน็น โโค้ดเดอร์ รุ่น E6B2 CWZ6C

สารบัญ (ต่อ)

รูปที่	หน้า
5.8 ไอซีเบอร์ LM2907	85
5.9 วงจรสำหรับแปลงความถี่เป็นแรงดันโดยใช้ไอซี LM2907	86
5.10 วงจรแปลงความถี่เป็นแรงดันสำหรับต่อเข้ากับไมโครคอนโทรลเลอร์	87
5.11 วงจรแปลงความถี่เป็นแรงดันที่ใช้ชิริจ	88
5.12 ไอดีอะแกรมการทดสอบการทำงานของอินไกค์เดอร์	88
5.13 ไอดีอะแกรมการทดสอบการทำงานของอินไกค์เดอร์ ควบคู่กับวงจรแปลงความถี่เป็นแรงดัน	89
5.14 ทดสอบการทำงานของอินไกค์เดอร์	89
5.15 การทดสอบโดยให้ออินไกค์เดอร์หมุนตามเข็มนาฬิกา	90
5.16 การทดสอบโดยให้ออินไกค์เดอร์หมุนทวนเข็มนาฬิกา	90
5.17 ผลการทดสอบการทำงานของเฟส Z	91
5.18 กราฟความสัมพันธ์ระหว่างแรงดันเอาต์พุตกับความถี่อินพุต	92
6.1 โครงสร้างของโหมดการสวิตช์ของวงจรอินเวอร์เตอร์สามเฟส	96
6.2 เสื่อนไขของการสร้างสัญญาณสวิตช์แบบพีดับเบลยูอีม	97
6.3 ค่าแรงดันของอินเวอร์เตอร์สามเฟส	99
6.4 กราฟความสัมพันธ์ระหว่าง $\frac{V_{LL}}{V_{DC,Inverter}}$ กับ m_a	100
6.5 วงจรอินเวอร์เตอร์เมื่อจ่ายโหลดที่เป็นค่าความต้านทานสามเฟส	102
6.6 วงจรอินเวอร์เตอร์สามเฟสสำหรับการจำลองบนโปรแกรม MATLAB	103
6.7 แรงดัน v_{AB} ที่ค่า $m_a = 0.4$	104
6.8 แรงดัน v_{AB} เมื่อค่า m_a เท่ากับ 0.4 ที่ผ่านวงจรกรองความถี่ต่ำผ่าน	104
6.9 แรงดัน v_{AB} เมื่อค่า m_a เท่ากับ 0.6 ที่ผ่านวงจรกรองความถี่ต่ำผ่าน	105
6.10 แรงดัน v_{AB} เมื่อค่า m_a เท่ากับ 0.8 ที่ผ่านวงจรกรองความถี่ต่ำผ่าน	105
6.11 แรงดัน v_{AB} เมื่อค่า m_a เท่ากับ 1.0 ที่ผ่านวงจรกรองความถี่ต่ำผ่าน	105
6.12 แรงดัน v_{AB} เมื่อค่า m_a เท่ากับ 1.2 ที่ผ่านวงจรกรองความถี่ต่ำผ่าน	106
6.13 แรงดันเอาต์พุตของอินเวอร์เตอร์ที่ความถี่ 20 เฮิรตซ์	107
6.14 แรงดันเอาต์พุตของอินเวอร์เตอร์ที่ความถี่ 40 เฮิรตซ์	108

สารบัญ (ต่อ)

รูปที่	หน้า
6.15 แรงดันเอาต์พุตของอินเวอร์เตอร์ที่ความถี่ 60 เฮิรตซ์	108
6.16 แรงดันเอาต์พุตของอินเวอร์เตอร์ที่ความถี่ 80 เฮิรตซ์	108
6.17 โครงสร้างของอินเวอร์เตอร์สามเฟสเมื่อโหลดเป็นมอเตอร์เห็นี่ยวน้ำสามเฟส.....	110
6.18 ชุดบล็อกของอินเวอร์เตอร์สามเฟสเมื่อโหลดเป็นมอเตอร์เห็นี่ยวน้ำสามเฟส.....	110
6.19 แรงดันเอาต์พุตของอินเวอร์เตอร์เมื่อความถี่ $v_{control}$ เท่ากับ 20 เฮิรตซ์ m_a เท่ากับ 0.4	111
6.20 แรงดันเอาต์พุตของอินเวอร์เตอร์เมื่อความถี่ $v_{control}$ เท่ากับ 30 เฮิรตซ์ m_a เท่ากับ 0.6	111
6.21 แรงดันเอาต์พุตของอินเวอร์เตอร์เมื่อความถี่ $v_{control}$ เท่ากับ 40 เฮิรตซ์ m_a เท่ากับ 0.8	111
6.22 แรงดันเอาต์พุตของอินเวอร์เตอร์เมื่อความถี่ $v_{control}$ เท่ากับ 50 เฮิรตซ์ m_a เท่ากับ 1.0	112
6.23 ออปติคัปเปลอร์เบอร์ HCPL-4504.....	113
6.24 วิธีการทำงานของไอซีออปติคัปเปลอร์เบอร์ HCPL-4504.....	114
6.25 ความสัมพันธ์ระหว่างเอาต์พุตและอินพุตของวงจรขับเกทด้วยไอซี HCPL-4504.....	115
6.26 โมดูล 6MBP50RA120.....	116
6.27 โครงสร้างภายในของโมดูล 6MBP50RA120	117
6.28 การประยุกต์ใช้วงจรขับเกทร่วมกับโมดูล 6MBP50RA120	119
6.29 ลักษณะสำหรับวงจรขับเกทที่ทำงานร่วมกับโมดูล 6MBP50RA120	120
6.30 วงจรขับเกทเพื่อใช้งานร่วมกับโมดูล 6MBP50RA120	120
6.31 ผลการทดสอบวงจรขับเกท.....	121
6.32 การทดสอบการทำงานของอินเวอร์เตอร์เมื่อโหลดเป็นความต้านทาน	122
6.33 การเปรียบเทียบระหว่างสัญญาณแรงดันเอาต์พุตกับ $v_{Control}$	123
6.34 ผลการทดสอบเมื่อ $V_{DC\ Inverter}$ เท่ากับ 60 โวลต์.....	125
6.35 ผลการทดสอบเมื่อ $V_{DC\ Inverter}$ เท่ากับ 120 โวลต์.....	126
6.36 ผลการทดสอบเมื่อ $V_{DC\ Inverter}$ เท่ากับ 360 โวลต์.....	126
6.37 แรงดันเอาต์พุตเมื่อ m_a เท่ากับ 0.2	127
6.38 แรงดันเอาต์พุตเมื่อ m_a เท่ากับ 0.6	128
6.39 แรงดันเอาต์พุตเมื่อ m_a เท่ากับ 1.0	128
6.40 แรงดันเอาต์พุตเมื่อความถี่ของ $v_{Control}$ เท่ากับ 10 เฮิรตซ์	129
6.41 แรงดันเอาต์พุตเมื่อความถี่ของ $v_{Control}$ เท่ากับ 40 เเฮรตซ์	130

สารบัญ (ต่อ)

รูปที่	หน้า
6.42 แรงดันเอาด์พุตเมื่อความถี่ของ $v_{Control}$ เท่ากับ 60 เฮิรตซ์	130
6.43 การทดสอบการทำงานของอินเวอร์เตอร์เมื่อโหลดเป็นมอเตอร์	131
6.44 แรงดันเอาด์พุตของอินเวอร์เตอร์เมื่อความถี่ของ $v_{Control}$ เท่ากับ 10 เฮิรตซ์	133
6.45 แรงดันเอาด์พุตของอินเวอร์เตอร์เมื่อความถี่ของ $v_{Control}$ เท่ากับ 40 เฮิรตซ์	133
6.46 แรงดันเอาด์พุตของอินเวอร์เตอร์เมื่อความถี่ของ $v_{Control}$ เท่ากับ 60 เฮิรตซ์	133
6.47 สัญญาณพัลส์ที่ออกจากอินโอดีคอร์เมื่อใช้ความถี่ของ $v_{Control}$ เท่ากับ 10 เฮิรตซ์	134
6.48 สัญญาณพัลส์ที่ออกจากอินโอดีคอร์เมื่อใช้ความถี่ของ $v_{Control}$ เท่ากับ 40 เฮิรตซ์	134
6.49 สัญญาณพัลส์ที่ออกจากอินโอดีคอร์เมื่อใช้ความถี่ของ $v_{Control}$ เท่ากับ 60 เฮิรตซ์	134
6.50 ตัวตรวจจับกระแส HX 03-P	136
6.51 วงจรปรับแต่งสัญญาณแบบวงจรรวมปรับแต่งสัญญาณ	136
6.52 ผลของการปรับความชันและตำแหน่งสูญญากาศ	137
6.53 พารามิเตอร์ของวงจรปรับแต่งสัญญาณแบบวงจรรวมปรับแต่งสัญญาณ	140
6.54 ลักษณะของวงจรปรับแต่งสัญญาณแบบวงจรรวมปรับแต่งสัญญาณ	141
6.55 วงจรปรับแต่งสัญญาณสำหรับตรวจสอบตัวตรวจจับกระแสทั้งสามเฟส	141
6.56 ไอดีอะแกรมสำหรับทดสอบการตรวจน้ำด้วยมอเตอร์ทั้งสามเฟส	142
6.57 ขนาดและความถี่ของกระแสที่ 0.7 A	144
6.58 ขนาดและความถี่ของกระแสที่ 1.0 A	144
6.59 ขนาดและความถี่ของกระแสที่ 1.3 A	144
7.1 โครงสร้างของบอร์ด eZdsp™ F28335	148
7.2 ไอดีอะแกรมการเขียนโปรแกรมของการควบคุมแบบเวกเตอร์ทางอ้อม	150
7.3 ผลการตอบสนองการควบคุมแบบเวกเตอร์ทางอ้อมตอนเริ่มสตาร์ทมอเตอร์โดยใช้ตัวควบคุมที่ออกแบบจากวิธีการแบบดั้งเดิม	153
7.4 ผลการตอบสนองการควบคุมแบบเวกเตอร์ทางอ้อมเมื่อจ่ายโหลด 2.5 นิวตัน-เมตรโดยใช้ตัวควบคุมที่ออกแบบจากวิธีการแบบดั้งเดิม	154
7.5 ผลการตอบสนองการควบคุมแบบเวกเตอร์ทางอ้อมตอนเริ่มสตาร์ทมอเตอร์โดยใช้ตัวควบคุมที่ได้จากการออกแบบด้วยวิธีการค้นหาแบบ ATS	155

สารบัญรูป (ต่อ)

รูปที่	หน้า
7.6 ผลการตอบสนองการควบคุมแบบเวกเตอร์ทางอ้อมเมื่อจ่ายไฟฟ้า 2.5 นิวตัน-เมตร โดยใช้ตัวควบคุมที่ได้จากการออกแบบด้วยวิธีการค้นหาแบบ ATS.....	156
7.7 ผลการตอบสนองการควบคุมแบบเวกเตอร์ทางอ้อมตอนเริ่มสตาร์ทมอเตอร์	157
7.8 ผลการตอบสนองการควบคุมแบบเวกเตอร์ทางอ้อมเมื่อมีการรับภาระจาก ไฟฟ้า 2.5 N.m. และผลการตอบสนองเมื่อปลดไฟฟ้าออกจากเพลาของมอเตอร์	158
7.9 ผลการตอบสนองการควบคุมแบบเวกเตอร์ทางอ้อมตอนเริ่มสตาร์ทมอเตอร์ เมื่อกำหนดให้มอเตอร์หมุนที่ความเร็ว 1100 rpm	160
7.10 ผลการตอบสนองการควบคุมแบบเวกเตอร์ทางอ้อมเมื่อมีการรับภาระ จากไฟฟ้า 2.5 N.m. และผลการตอบสนองเมื่อปลดไฟฟ้าออกจากเพลา ของมอเตอร์ที่ความเร็ว 1100 rpm	161
ก.1 ไดอะแกรมการแตกแรง	173
ก.2 วงจรสมมูลของมอเตอร์เหนี่ยวนำสามเฟสที่ใช้ในการหาค่าพารามิตเตอร์	176
ก.3 วงจรทดสอบในสภาพไร้ไฟฟ้า	176
ก.4 PX 120 Watt meter	178
ก.5 วงจรสมมูลของมอเตอร์ที่สภาพไร้ไฟฟ้า	178
ก.6 วงจรสมมูลของมอเตอร์เหนี่ยวนำสามเฟสที่สภาพขึ้นด้วยไฟฟ้า	179
ก.7 การต่อวัดค่าความต้านทานที่ขดลวดสเตเตเตอร์	180
ก.8 การต่อวงจรการทดสอบจริง	181
ก.9 ค่าพารามิตเตอร์ที่ได้จากการทดสอบ	183
ก.10 ความเร็วของมอเตอร์ขณะเริ่มเดินเครื่องจนถึงสภาวะคงที่ใช้ค่า $J = 0.0050 \text{ Kg.m}^2$	183
ก.11 ความเร็วของมอเตอร์ขณะเริ่มเดินเครื่องจนถึงสภาวะคงที่ใช้ค่า $J = 0.0060 \text{ Kg.m}^2$	184
ก.12 ความเร็วของมอเตอร์ขณะเริ่มเดินเครื่องจนถึงสภาวะคงที่ใช้ค่า $J = 0.0071 \text{ Kg.m}^2$	184
ก.13 ความเร็วของมอเตอร์ขณะเริ่มเดินเครื่องจนถึงสภาวะคงที่ใช้ค่า $J = 0.0072 \text{ Kg.m}^2$	184
ก.14 ความเร็วของมอเตอร์ขณะเริ่มเดินเครื่องจนถึงสภาวะคงที่ใช้ค่า $J = 0.0073 \text{ Kg.m}^2$	185
ก.15 ความเร็วของมอเตอร์ขณะเริ่มเดินเครื่องจนถึงสภาวะคงที่ใช้ค่า $J = 0.0080 \text{ Kg.m}^2$	185
ก.16 ความเร็วของมอเตอร์ขณะเริ่มเดินเครื่องจนถึงสภาวะคงที่ใช้ค่า $J = 0.0090 \text{ Kg.m}^2$	185

สารบัญรูป (ต่อ)

รูปที่	หน้า
--------	------

ค.17 ความเร็วของมอเตอร์ขณะเริ่มเดินเครื่องจนถึงสภาวะคงที่ใช้ค่า $J = 0.01 \text{ Kg.m}^2$	186
ค.18 ไดอะแกรมของการหาค่าพารามิเตอร์ของมอเตอร์เหนี่ยวนำสามเฟส	187



บทที่ 1

บทนำ

1.1 ความเป็นมาและความสำคัญของปัญหา

ปัจจุบันในโรงงานอุตสาหกรรมส่วนใหญ่ได้มีการใช้งานอินดักชั่นมอเตอร์สามเฟสหรือมอเตอร์เหนี่ยวนำสามเฟสอย่างแพร่หลาย ซึ่งเมื่อเปรียบเทียบกับมอเตอร์ไฟฟ้ากระแสตรงจะเห็นว่ามอเตอร์ไฟฟ้ากระแสตรงจะมีราคาสูง และต้องการการบำรุงรักษาแปร่งถ่านอยู่เสมอ ดังนั้น การใช้งานมอเตอร์เหนี่ยวนำสามเฟส ซึ่งมีราคาต่ำกว่า มีความน่าเชื่อถือสูง โครงสร้างไม่ซับซ้อน จึงเป็นที่นิยมใช้กันมากในปัจจุบัน

นับตั้งแต่เริ่มมีการพัฒนาการควบคุมมอเตอร์เหนี่ยวนำสามเฟสมาจนถึงปัจจุบัน สามารถแบ่งประเภทของการควบคุมออกเป็น 2 ประเภทหลัก ๆ คือ 1) การควบคุมแบบแรงดันไฟฟ้าต่อความถี่ (V/F) ซึ่งมีหลักการควบคุมคือแรงดันและความถี่ต้องมีความสมดุลกัน 2) การควบคุมแบบเวกเตอร์ซึ่งมีข้อดี คือสามารถควบคุมแรงบิดของมอเตอร์ได้โดยตรง ต่างจากวิธีการควบคุมแบบ V/F ที่ไม่สามารถทำได้ ดังนั้นเมื่อมอเตอร์มีการรับภาระจากโหลดจึงทำให้ความเร็วขององมอเตอร์เข้าสู่สภาวะคงที่ได้ช้ากว่า เมื่อเทียบกับการควบคุมแบบเวกเตอร์ และการควบคุมแบบเวกเตอร์ได้มีการแบ่งย่อยออกมาอยู่ 2 วิธี คือ 1) การควบคุมแบบเวกเตอร์ทางตรง 2) การควบคุมแบบเวกเตอร์ทาง อ้อม ซึ่งวิธีการควบคุมแบบเวกเตอร์ทางตรงจะต้องอาศัยเครื่องวัดฟลักซ์ที่โรเตอร์มาใช้คำนวณมุ่งเพื่อใช้ในการควบคุม มีความยุ่งยากในเรื่องของการติดตั้งเครื่องมือวัดฟลักซ์ทำให้ลื้นเปลี่ยงค่าใช้จ่ายอย่างมาก แม้ว่าช่วงหลังได้มีการพัฒนาระบบควบคุมโดยไม่ต้องใช้เครื่องมือวัดฟลักซ์ที่โรเตอร์แต่ก็ส่งผลให้ระบบมีความซับซ้อนมากขึ้น ไปด้วย จากข้อด้อยดังกล่าว เมื่อมาพิจารณาระบบการควบคุมแบบเวกเตอร์ทางอ้อม การควบคุมจะไม่ใช้เครื่องมือวัดฟลักซ์ที่โรเตอร์แต่จะใช้ความเร็วขององมอเตอร์ได้จากการวัดนำมาร่วมกับค่าสลิปที่ได้จากการประมาณค่าในระบบควบคุมมาเป็นมุ่งในการหมุนแกนควบคุม แต่การจะทำให้วิธีการควบคุมแบบเวกเตอร์ทางอ้อมทำงานได้อย่างมีประสิทธิภาพนั้น จำเป็นต้องรู้ค่าพารามิเตอร์ R_r และ L_r อย่างถูกต้อง ซึ่งถือเป็นข้อด้อยที่ยอมรับได้เมื่อเปรียบเทียบกับการควบคุมแบบเวกเตอร์ทางตรงที่ต้องใช้เครื่องมือวัดฟลักซ์ที่โรเตอร์ ดังนั้นงานวิจัยวิทยานิพนธ์นี้จึงได้เลือกใช้การควบคุมแบบเวกเตอร์ทางอ้อมสำหรับสร้างเป็นชุดต้นแบบเพื่อใช้ในการพัฒนาระบบควบคุม พร้อมทั้งได้นำเสนอวิธีการทางปัญญาประดิษฐ์สำหรับใช้กันหาตัวควบคุมของระบบดังกล่าวเพื่อที่จะได้สมรรถนะการทำงานที่ดีที่สุด

1.2 วัตถุประสงค์ของการวิจัย

1.2.1 เพื่อศึกษาหลักการทำงานและสร้างแบบจำลองเพื่อจำลองสถานการณ์ของมอเตอร์เหนี่ยวนำสามเฟสโดยอาศัยชุดบล็อก SimPowerSystems (SPS) บนโปรแกรม MATLAB

1.2.2 เพื่อศึกษาองค์ความรู้ที่ใช้ในการควบคุมความเร็วของมอเตอร์เหนี่ยวนำสามเฟสด้วยวิธีการควบคุมแบบเวกเตอร์ทางอ้อมและจำลองสถานการณ์ของระบบควบคุมแบบเวกเตอร์ทางอ้อมโดยอาศัยชุดบล็อก SPS บนโปรแกรม MATLAB

1.2.3 เพื่อศึกษาและนำวิธีการทางปัญญาประดิษฐ์มาใช้สำหรับค้นหาตัวควบคุมของการควบคุมความเร็วแบบเวกเตอร์ทางอ้อม เพื่อเพิ่มสมรรถนะการทำงานที่ดียิ่งขึ้น

1.2.4 สร้างชุดต้นแบบของการขับเคลื่อนมอเตอร์เหนี่ยวนำสามเฟสภายใต้การควบคุมแบบเวกเตอร์ทางอ้อม เพื่อใช้ในการศึกษาและพัฒนาระบบควบคุมต่อไป

1.3 ข้อตกลงเบื้องต้น

1.3.1 มอเตอร์เหนี่ยวนำสามเฟสที่ใช้ต้องเป็นการต่อแบบวาย

1.3.2 สร้างแบบจำลองสถานการณ์การของมอเตอร์เหนี่ยวนำสามเฟส

1.3.3 การจำลองสถานการณ์จะใช้ชุดบล็อกไฟฟ้ากำลัง ซึ่งก็คือชุดบล็อกของ SPS บนโปรแกรม MATLAB

1.3.4 ตัวควบคุมที่ใช้ควบคุมการทำงานของการควบคุมแบบเวกเตอร์ทางอ้อมจะใช้เป็นตัวควบคุมแบบพีไอ

1.3.5 ชุดขับเคลื่อนมอเตอร์เหนี่ยวนำสามเฟสจะใช้งานร่วมกับกระแสไฟฟ้าคงที่ กับวงจรอินเควอร์เตอร์

1.3.6 ตัวประมวลผลหลักการควบคุมแบบเวกเตอร์ทางอ้อมจะใช้ในโครค่อนโගลเดอร์ ตรรกะDSP เบอร์ eZdspTM F28335

1.4 ขอบเขตของการวิจัย

1.4.1 สร้างชุดขับเคลื่อนมอเตอร์เหนี่ยวนำสามเฟสภายใต้วิธีการควบคุมแบบเวกเตอร์ทางอ้อม และใช้ตัวควบคุมที่ได้จากการค้นหาด้วยวิธีการทางปัญญาประดิษฐ์ โดยงานวิจัยนี้เน้นการสร้างชุดต้นแบบการควบคุมความเร็วแบบเวกเตอร์ทางอ้อมเพื่อใช้ในการศึกษาและพัฒนาระบบควบคุมต่อไป

1.5 ประโยชน์ที่คาดว่าจะได้รับ

- 1.5.1 ได้องค์ความรู้ในการสร้างแบบจำลองสถานการณ์ของมอเตอร์เห็นี่ยวน้ำสารเฟส
- 1.5.2 ได้องค์ความรู้สำหรับสร้างชุดขั้นเคลื่อนมอเตอร์เห็นี่ยวน้ำสารเฟสที่ใช้ควบคุมแบบเวกเตอร์ทางอ้อม
- 1.5.3 ได้องค์ความรู้สำหรับการออกแบบตัวควบคุมแบบพีไอทั้งจากวิธีการออกแบบด้วยวิธีแบบดั้งเดิมและวิธีการออกแบบด้วยวิธีการทางปัญญาประดิษฐ์ที่ใช้ควบคุมการทำงานของมอเตอร์เห็นี่ยวน้ำสารเฟสภายใต้การควบคุมแบบเวกเตอร์ทางอ้อม
- 1.5.4 บทความวิจัยได้เผยแพร่ในระดับชาติ หรือนานาชาติ

1.6 การจัดรูปเล่มรายงานวิจัย

รายงานวิจัยนี้ประกอบด้วย 8 บท ซึ่งในแต่ละบท ได้นำเสนอดังนี้
บทที่ 1 เป็นบทนำ ได้กล่าวถึงความเป็นมาและความสำคัญของปัญหา วัตถุประสงค์ของงานวิจัย ประโยชน์ที่คาดว่าจะได้รับ และขอบเขตของงานวิจัยที่นิพนธ์
บทที่ 2 การสร้างแบบจำลองสถานการณ์ของมอเตอร์เห็นี่ยวน้ำสารเฟส โดยอาศัยชุดบล็อก SPS บนโปรแกรม MATLAB การสร้างแบบจำลองจะสร้างบนแกนแอลไฟเบต้าซึ่งเป็นปริมาณสองเฟส การสร้างแบบจำลองสถานการณ์เริ่มด้วยการแปลงสมการทางไฟฟ้าของมอเตอร์เห็นี่ยวน้ำสารเฟส จากปริมาณสารเฟสเป็นปริมาณสองเฟสที่อยู่บนแกนหมุนหรือบนแกน d และแกน q โดยใช้รูปแบบการแปลงแบบปาร์คเมื่อได้สมการทางไฟฟ้าของมอเตอร์บนแกน d และแกน q จึงสามารถเทียบเคียงให้矛ยู่บนแกนแอลไฟเบต้าโดยเลือกแกนหมุนของสมการทางไฟฟ้าของมอเตอร์ให้อยู่บนแกนหมุนหยุดนิ่ง จึงทำให้สมการทางไฟฟ้าของมอเตอร์บนแกน d จะเท่ากับสมการทางไฟฟ้าของมอเตอร์บนแกน α และสมการทางไฟฟ้าของมอเตอร์บนแกน q จะเท่ากับสมการทางไฟฟ้าของมอเตอร์บนแกน β ดังนั้น จึงสามารถสร้างแบบจำลองสถานการณ์ของมอเตอร์เห็นี่ยวน้ำสารเฟสบนแกนแอลไฟเบต้าได้

บทที่ 3 นำเสนอการควบคุมความเร็วของมอเตอร์เห็นี่ยวน้ำสารเฟสด้วยการควบคุมแบบเวกเตอร์ทางอ้อม โดยในขั้นตอนการออกแบบได้ใช้สมการทางไฟฟ้าของมอเตอร์เห็นี่ยวน้ำสารเฟสบนแกนดีคิวที่อยู่บนแกนหมุนได้ ๆ จากบทที่ 2 พร้อมทั้งได้แสดงวิธีการออกแบบตัวควบคุมพีไอด้วยวิธีการแบบดั้งเดิม และได้แสดงผลการจำลองสถานการณ์การควบคุมแบบเวกเตอร์ทางอ้อม

บทที่ 4 นำเสนอการค้นหาตัวควบคุมแบบพีไอของ การควบคุมแบบเวกเตอร์ทางอ้อมโดยใช้วิธีการค้นหาทางปัญญาประดิษฐ์ ซึ่งการค้นหาParami เตอร์ของตัวควบคุมพีไอด้วยวิธีดังกล่าวได้ใช้ฟังก์ชันถ่ายโอนของระบบที่ได้แสดงไว้ในบทที่ 3 ได้แก่ ฟังก์ชันถ่ายโอนของสมการแรงดันที่ขดลวดสเตอร์ทั้งบนแกน d และแกน q และฟังก์ชันถ่ายโอนของสมการทางกลของมอเตอร์ เพื่อนำมาประยุกต์ใช้

สำหรับการค้นตัวความคุณแบบพีไอด้วยวิธีการค้นหาทางปัญญาประดิษฐ์ จากการค้นหาพารามิเตอร์ได้นำพารามิเตอร์ของตัวความคุณพีไอที่ได้จากการออกแบบด้วยวิธีการแบบดั้งเดิมและจากวิธีการค้นหาทางปัญญาประดิษฐ์มาจำลองสถานการณ์เพื่อเปรียบเทียบสมรรถนะการควบคุมของตัวความคุณทั้งสอง

บทที่ 5 นำเสนอการสร้างชุดตรวจวัดความเร็วของมอเตอร์ด้วยอินโคดเดอร์ โดยวิธีการตรวจวัดความเร็วในงานวิจัยนี้ได้อ้างอิงและความถี่เป็นแรงดันมาใช้งานร่วมกับอินโคดเดอร์เพื่อแปลงสัญญาณพัลส์ที่ออกจากรอต์เซนเซอร์ที่ความถี่ต่างๆ ให้เป็นแรงดัน เพื่อที่จะสามารถส่งค่าแรงดันที่ได้ไปยังไมโครคอนโทรลเลอร์เพื่อประมวลผลหาก้าวความเร็วของมอเตอร์ โดยความถี่ที่รับได้สูงสุดของวงจรแปลงความถี่เป็นแรงดันอยู่ที่ 15 กิโลเฮิรตซ์ หมายความว่าเมื่อมอเตอร์หมุนที่ 1500 รอบต่อนาที ความถี่ของสัญญาณพัลส์ที่ออกจากรอต์เซนเซอร์จะมีค่าเท่ากับ 15 กิโลเฮิรตซ์ดังนั้น การควบคุมความเร็วจึงกำหนดให้มอเตอร์หมุนที่ความเร็วไม่เกิน 1500 รอบต่อนาที

บทที่ 6 นำเสนอการสร้างวงจรตรวจวัดกระแสที่จ่ายให้มอเตอร์เหนี่ยวนำสามเฟสและการสร้างวงจรอินเวอร์เตอร์สามเฟส วงจรตรวจวัดกระแสสร้างโดยอาศัยวงจรปรับแต่งสัญญาณเพื่อให้ได้รูปสัญญาณที่เหมาะสมกับช่วงของการควบคุม ส่วนวงจรอินเวอร์เตอร์สามเฟสจะใช้เป็นแบบไมโครซิลิคุนเดลิกและพิกัดการทำงานที่สูงเพียงพอสำหรับการควบคุมแบบวงจรอ้อมในงานวิจัยนี้

บทที่ 7 นำเสนอการทดสอบการควบคุมการทำงานของมอเตอร์เหนี่ยวนำสามเฟสภายใต้การควบคุมแบบวงจรอ้อม ซึ่งได้แสดงการเขียนโปรแกรมการควบคุมแบบวงจรอ้อมพร้อมทั้งแสดงผลการทดสอบการควบคุมดังกล่าว ซึ่งได้แสดงผลของการทดสอบโดยใช้ตัวควบคุมที่ได้จากการออกแบบด้วยวิธีการแบบดั้งเดิมและแสดงผลการทดสอบโดยใช้ตัวควบคุมที่ได้จากการค้นหาแบบ ATS เพื่อเปรียบเทียบผลการควบคุมของตัวควบคุมที่ได้จากการออกแบบของทั้งสองวิธี

บทที่ 8 เป็นบทสรุปและข้อเสนอแนะ

ภาคผนวกมีอยู่ด้วยกัน 4 ส่วน คือ ภาคผนวก ก รายละเอียดเพิ่มเติมสำหรับการพิสูจน์ทางแบบจำลองทางคณิตศาสตร์ของมอเตอร์เหนี่ยวนำสามเฟสในบทที่ 2 ภาคผนวก ข รายละเอียดเพิ่มเติมสำหรับการพิสูจน์การแปลงแกนของฟลักซ์ที่rotateร์เมื่อมุนที่ใช้ในการหมุนแกนบนเฟรมของrotateร์ ภาคผนวก ค แสดงการหาก้าวพารามิเตอร์ของมอเตอร์เหนี่ยวนำสามเฟส ซึ่งพารามิเตอร์ที่ได้จากการทดสอบในภาคผนวก ก คือพารามิเตอร์ที่ใช้ออกแบบการควบคุมแบบวงจรอ้อมในงานวิจัยนี้ ภาคผนวก ง โปรแกรมภาษาซีสำหรับการควบคุมแบบวงจรอ้อมบนไมโครคอนโทรลเลอร์ eZdsp™ F28335 และภาคผนวก ง บทความวิชาการที่ได้รับการพิมพ์เผยแพร่

1.7 ปริทัศน์วรรณกรรมและงานงานวิจัยที่เกี่ยวข้องกับการควบคุมมอเตอร์เหนี่ยวนำสามเฟสด้วยวิธีการควบคุมแบบเวกเตอร์ทางอ้อม

งานวิจัยที่น่าสนใจนี้จะเน้นสร้างชุดควบคุมความเร็วของมอเตอร์เหนี่ยวนำสามเฟสด้วยวิธีการควบคุมแบบเวกเตอร์ทางอ้อม ดังนั้น การศึกษาปริทัศน์วรรณกรรมและงานวิจัยในอดีตที่เกี่ยวข้องกับการควบคุมมอเตอร์ดังกล่าวจึงถือว่าเป็นสิ่งที่สำคัญอย่างมาก โดยได้ศึกษาปริทัศน์วรรณกรรมและงานวิจัยในอดีตมีดังต่อไปนี้ คือ การควบคุมมอเตอร์เหนี่ยวนำสามเฟสด้วยวิธีการควบคุมแบบ V/F การควบคุมมอเตอร์เหนี่ยวนำสามเฟสด้วยวิธีการควบคุมแบบเวกเตอร์ทางตรงการควบคุมมอเตอร์เหนี่ยวนำสามเฟส ด้วยวิธีการควบคุมแบบเวกเตอร์ทางอ้อม การออกแบบพารามิเตอร์ของตัวควบคุมพีไอดี้วิธีการทางปัญญาประดิษฐ์ ปริทัศน์วรรณกรรมและงานวิจัยของการควบคุมแบบ V/F และคงได้ดังตารางที่ 1.1 ปริทัศน์วรรณกรรมและงานวิจัยของการควบคุมแบบเวกเตอร์ทางตรง และคงได้ดังตารางที่ 1.2 ปริทัศน์วรรณกรรมและงานวิจัยของการควบคุมแบบเวกเตอร์ทางอ้อม และคงได้ดังตารางที่ 1.3 และปริทัศน์วรรณกรรมและงานวิจัยสำหรับการออกแบบพารามิเตอร์ของตัวควบคุมแบบพีไอดี้วิธีการทางปัญญาประดิษฐ์ และคงได้ดังตารางที่ 1.4

ตารางที่ 1.1 ปริทัศน์วรรณกรรมและงานวิจัยของการควบคุมแบบ V/F

ปีที่พิมพ์ (ค.ศ.)	คณบุรุษวิจัย	สาระสำคัญของงานวิจัย
1993	ChenWei, YuYong YangRongFeng, WangGaoLin. and XuDianGuo	นำเสนอการปรับปรุงเสถียรภาพตัวควบคุมแบบ V/F ของการควบคุมมอเตอร์เหนี่ยวนำสามเฟสโดยการวิเคราะห์ความสัมพันธ์ระหว่างการแก่วงกับความผันผวนเนื่องมาจากกระแส จึงใช้วิธีการควบคุมแบบส่งกลับค่ากระแสเพื่อแก้ไขปัญหาขาดกล่าว
1998	Ben-Brahim, L.	นำเสนอการปรับปรุงตัวควบคุม V/F โดยวิธีการส่งกลับค่ากระแสที่จ่ายให้มอเตอร์เหนี่ยวนำสามเฟสเพื่อใช้ในการควบคุมจะช่วยลดการแก่วงของแรงบิดและความเร็ว
1998	Munoz-Garcia, A., Lipo, T.A. and Novotny, D.W.	นำเสนอการปรับปรุงวิธีการควบคุมแบบ V/F ของมอเตอร์เหนี่ยวนำสามเฟสที่ความเร็วต่ำๆ โดยการป้อนกลับค่ากระแสที่จ่ายให้มอเตอร์เพื่อใช้ในการควบคุมสำหรับชุดเชยค่าแรงดันตอกเนื่องจากค่าความต้านทานที่คลาด สเตเตอร์และชุดเชยค่าสลิป

ตารางที่ 1.1 ปริทัศน์วรรณกรรมและงานวิจัยของการควบคุมแบบ V/F (ต่อ)

ปีที่ตีพิมพ์ (ค.ศ.)	คนະผู้วิจัย	สาระสำคัญของงานวิจัย
2006	Suzuki, K., Saito, S., Kudor, T. and Tanaka, A.	นำเสนอการปรับปรุงตัวควบคุม V/F ของมอเตอร์ให้สามารถเพื่อมีขนาดใหญ่โดยวิธีการป้อนกลับค่ากระแสที่จ่ายให้มอเตอร์โดยใช้ทริสเตอร์ในการสร้างแหล่งจ่ายไฟฟ้ากระแสสลับสามเฟสเพื่อจ่ายให้มอเตอร์
2008	Yang, R., Chen, W. Yu, Y. and Xu, D.	นำเสนอการปรับปรุงเสถียรภาพตัวควบคุม V/F ด้วยวิธีการซัดเซยค่าแรงดันตกเนื่องจากช่วงเวลา dead-time ช่วยลดการผิดเพี้ยนของกระแสที่จ่ายให้มอเตอร์

ตารางที่ 1.2 ปริทัศน์วรรณกรรมและงานวิจัยของการควบคุมแบบเวกเตอร์ทางตรง

ปีที่ตีพิมพ์ (ค.ศ.)	คนະผู้วิจัย	สาระสำคัญของงานวิจัย
1995	Bonanno, C.J., Xu, L. and Zhen, L.	นำเสนอการควบคุมมอเตอร์ให้สามารถเพื่อด้วยวิธีการควบคุมแบบเวกเตอร์ทางตรง ด้วยเทคนิคการประมาณค่าฟลักซ์ของโรเตอร์
1996	Yamada, T., Matsuse, K. and Kiyoaki Sasagawa	นำเสนอการควบคุมมอเตอร์ให้สามารถเพื่อด้วยวิธีการควบคุมแบบเวกเตอร์ทางตรง ด้วยเทคนิคการประมาณค่าความเร็วของมอเตอร์
2005	Xu, H., Zhang, Z. and Heilman, L.	การควบคุมมอเตอร์ให้สามารถเพื่อบนเวกเตอร์ทางตรง ด้วยเทคนิคการควบคุมแบบสไลด์ิงโว้มด
2010	Reed, D.M. and Hofmann, H.F.	นำเสนอการควบคุมมอเตอร์ให้สามารถเพื่อด้วยวิธีการควบคุมแบบเวกเตอร์ทางตรง ด้วยเทคนิคการวัดค่าความต้านทานที่โรเตอร์มาใช้ในการประมาณผลการควบคุม

ตารางที่ 1.3 ปริทัศน์วรรณกรรมและงานวิจัยของการควบคุมแบบเวกเตอร์ทางอ้อม

ปีที่ ตีพิมพ์ (ค.ศ.)	คณะผู้วิจัย	สาระสำคัญของงานวิจัย
1992	Kerkman, R.J., Rowan, T.M. and Leggate, D.	นำเสนอการควบคุมมอเตอร์เห็นได้ชัดเจน นำเสนอฟลีด์ด้วยวิธีการควบคุมแบบเวกเตอร์ทางอ้อม ด้วยเทคนิคการเพิ่ม Field-Weakening ช่วยในการควบคุมกระแสสนาม เพื่อช่วยให้มอเตอร์สามารถทำงานในย่านความเร็วต่ำๆ ได้ และได้นำเสนอการออกแบบช่วงแบนด์วิดท์ของสูปควบคุมกระแสให้สูงขึ้นเพื่อช่วยลดผลกระทบของพารามิเตอร์ฟังค์ชัน โตรเตอร์ซึ่งทำให้ไม่จำเป็นต้องรู้ค่าพารามิเตอร์ของชุดควบคุม เตอร์ที่ถูกต้องมากนักก็สามารถถูกควบคุมได้
1998	Shieh, H.J., Shyu, K.K. and Lin, F.J	นำเสนอการควบคุมมอเตอร์เห็นได้ชัดเจน นำเสนอฟลีด์ด้วยเทคนิคการปรับตัวของค่าคงที่ทางเวลาของชุดฟังค์ชัน โตรเตอร์
2003	Chakraborty, C. and Hori, Y.	นำเสนอการควบคุมมอเตอร์เห็นได้ชัดเจน นำเสนอฟลีด์ด้วยวิธีการควบคุมแบบเวกเตอร์ทางอ้อม มีสองกลไกคือ <ol style="list-style-type: none">ควบคุมการสร้างกระแสไฟฟ้าให้มีลักษณะคงที่สร้างแบบจำลองที่เป็นส่วนของกำลังงานสูญเสียเพื่อจะออกแบบด้วยควบคุมให้ช่วยลดกำลังงานสูญเสีย
2008	Zhang, X., Jiang, Z. and Yu, X.	นำเสนอการควบคุมมอเตอร์เห็นได้ชัดเจน นำเสนอฟลีด์ด้วยวิธีการควบคุมแบบเวกเตอร์ทางอ้อม โดยใช้เทคนิค synergetic ทำให้การควบคุมมีเสถียรภาพที่ดีขึ้นเมื่อเทียบกับการควบคุมโดยใช้ตัวควบคุมแบบพื้นที่ (พารามิเตอร์ของตัวควบคุมพื้นที่) ได้จากการค้นหาแบบดั้งเดิม)
2011	Hiware, R.S., and Chaudhari, J.G.	นำเสนอการควบคุมมอเตอร์เห็นได้ชัดเจน นำเสนอฟลีด์ด้วยวิธีการควบคุมแบบเวกเตอร์ทางอ้อม ด้วยเทคนิคการปรับปรุงค่าฟลักซ์โตรเตอร์และแรงบิดของมอเตอร์บนองค์ประกอบพื้นฐานของกระแสสนามแม่เหล็ก โดยมีรูปแบบของการควบคุมอยู่บนสถานะคงตัว และใช้เทคนิค SVM ในการสร้างสัญญาณ PWM จึงทำให้ได้แรงดันเอาต์พุตที่สูงขึ้น

ตารางที่ 1.4 ปริทัศน์วรรณกรรมและงานวิจัยสำหรับการออกแบบพารามิเตอร์ของตัวควบคุมแบบพีไอ
ด้วยวิธีการทางปัญญาประดิษฐ์

ปีที่ตีพิมพ์ (ค.ศ.)	คนผู้วิจัย	สาระสำคัญของงานวิจัย
2004	Kulworawanichpong, T., Areerak, K-L., Areerak, K-N. and Sujitjorn, S.	นำเสนอการระบุเอกสารลักษณ์ด้วยวิธีการค้นหาแบบตามเชิง ปรับตัว สำหรับการนำมาประยุกต์ใช้งานด้วยการระบุ เอกสารลักษณ์ของการกรองปริมาณทางชาร์มอนิกออกจาก ระบบไฟฟ้ากำลัง
2005	Kulworawanichpong, T., Areerak, K-L., Areerak, K-N., Pao-la-or P., Puangdownreong, D. and Sujitjor, S.	นำเสนอรูปแบบการระบุเอกสารลักษณ์ผ่านทางวิธีการค้นหา ทางปัญญาประดิษฐ์ สำหรับการระบุเอกสารลักษณ์พารามิเตอร์ ของมอเตอร์เหนี่ยวนำสามเฟสในช่วงพลวัต โดยใช้เทคโนโลยี การค้นหาทางปัญญาประดิษฐ์ 2 วิธี คือ เทคนิคการค้นหา แบบจินเจนติกอัลกอริทึมและการค้นหาแบบตามเชิงปรับตัว
2002	Puangdownreong, D., Areerak, K.-N., Srikaew, A. and Sujitjorn, S.	นำเสนอวิธีการระบุเอกสารลักษณ์ด้วยเทคนิคการระบุเอกสาร- ลักษณ์แบบตามเชิงปรับตัว ซึ่งเป็นระบบที่มีการพัฒนามา จากการระบุเอกสารลักษณ์แบบตาม โดยมีการเพิ่มสองกลไก การระบุเอกสารลักษณ์คือ กลไกการเดินข้อนร้อยและกลไกการ ปรับลดรัศมี
2010	Udomsuk, S., Areerak, K.-L., Areerak, K.-N. and Srikaew, A.	นำเสนอวิธีการระบุเอกสารลักษณ์ของมอเตอร์ไฟฟ้ากระแสตรง ชนิดกระตุนแยก โดยใช้เทคนิคการระบุเอกสารลักษณ์แบบตาม เชิงปรับตัว
2011	Chaijarurnudomrung, K., Areerak, K-N., Areerak, K-L. and Srikaew, A.	นำเสนอวิธีการออกแบบตัวควบคุมของระบบควบคุมวงจร เรียงกระแสสามเฟส โดยใช้วิธีการค้นหาแบบตามเชิง ปรับตัว

จากการศึกษาปริทัศน์วรรณกรรมและงานวิจัยที่เกี่ยวข้องกับการควบคุมมอเตอร์เห็นว่าสามเฟสทำให้ทราบว่าการควบคุมแบบ V/F ไม่สามารถควบคุมแรงบิดได้โดยตรง ซึ่งเมื่อมอเตอร์มีการรับกระแสจากโหลดจึงทำให้ความเร็วเข้าสู่สภาวะคงตัวได้ช้า ส่วนวิธีการควบคุมแบบเวกเตอร์โดยการควบคุมแบบเวกเตอร์ทางตรงและแบบเวกเตอร์ทางอ้อมสามารถควบคุมแรงบิดได้โดยตรงแต่การควบคุมแบบเวกเตอร์ทางตรงมีข้อด้อยคือ ต้องใช้เครื่องมือวัดฟลักซ์ที่ซ่อนอยู่ในตัวมอเตอร์เห็นว่าสามเฟสเพื่อนำกลับมาคำนวณมุ่งของการหมุนที่ความเร็วซิงโกรนัส ต่างจากการควบคุมแบบเวกเตอร์ทางอ้อมที่ไม่จำเป็นต้องใช้เครื่องมือวัดฟลักซ์ที่ซ่อนอยู่ในตัวมอเตอร์แต่จะใช้วิธีการประมาณค่าสลิปรวมกับความเร็วในการหมุนของมอเตอร์เพื่อนำไปคำนวณมุ่งของการหมุนที่ความเร็วซิงโกรนัส เมื่อเทียบกับวิธีการควบคุมแบบเวกเตอร์ทางตรงถือว่ามีความสะดวกกว่าในเรื่องของการสร้างชุดควบคุม และการออกแบบตัวควบคุมของการควบคุมแบบเวกเตอร์ทางอ้อมด้วยวิธีการทางปัญญาประดิษฐ์โดยใช้เทคนิคการค้นหาแบบตานุเชิงปรับตัวเป็นวิธีที่ได้รับการยอมรับและใช้กันอย่างแพร่หลายเนื่องจากสามารถให้ผลการค้นหาตัวควบคุมที่ให้สมรรถนะของการควบคุมที่ดีกว่าตัวควบคุมที่ออกแบบด้วยวิธีการแบบดั้งเดิม



บทที่ 2

แบบจำลองทางคณิตศาสตร์ของมอเตอร์เหนี่ยวนำสามเฟส

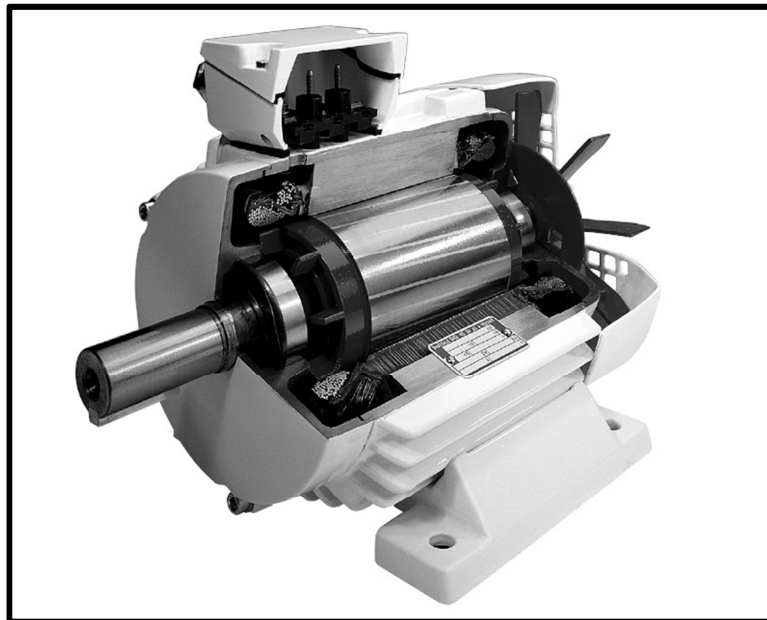
2.1 บทนำ

การศึกษาแบบจำลองของมอเตอร์เหนี่ยวนำสามเฟส มีความสำคัญและเป็นรากฐานที่สำคัญของ การควบคุมมอเตอร์ด้วยวิธีการทางเวกเตอร์ ซึ่งแบบจำลองดังกล่าวจะนำไปใช้ในการศึกษาพัฒนาระบบการทำงานของมอเตอร์ รวมถึงนำไปใช้ในการออกแบบตัวควบคุม ดังนี้ ในบทนี้จึงทำการศึกษาพัฒนาระบบการทำงานและสร้างแบบจำลองเพื่อศึกษาการทำงานของมอเตอร์เหนี่ยวนำสามเฟสผ่านการจำลองสถานการณ์การทำงานของมอเตอร์บนโปรแกรม MATLAB ซึ่งการจำลองสถานการณ์ดังกล่าวสามารถทดสอบการทำงานของมอเตอร์ที่สภาพการทำงานต่าง ๆ ได้อย่างมีประสิทธิภาพจึงทำให้เกิดความสะดวกและรวดเร็วที่จะทดสอบผลการตอบสนองการทำงานของมอเตอร์ได้เป็นอย่างดี แบบจำลองที่ได้สร้างขึ้นนี้สามารถนำมาจำลองสถานการณ์กับระบบที่มีการควบคุมความเร็วรอบแบบต่าง ๆ เช่น การควบคุมแบบแรงดันต่อความถี่คงที่ (v/f constant) การควบคุมแบบเวกเตอร์ทางอ้อม เป็นต้น การจำลองสถานการณ์สามารถดูพัฒนาระบบการทำงานของมอเตอร์ได้ทุกจุดการทำงาน จึงทำให้เกิดความเข้าใจระบบการทำงานและสามารถพัฒนาระบบตัวควบคุมของมอเตอร์ได้มากยิ่งขึ้น ดังนั้น การศึกษาแบบจำลองของมอเตอร์เหนี่ยวนำสามเฟสจึงมีความจำเป็นอย่างมากสำหรับผู้ที่กำลังจะเริ่มศึกษาพัฒนาระบบการทำงาน และผู้ที่จะเริ่มพัฒนาระบบตัวควบคุมการทำงานของมอเตอร์เหนี่ยวนำสามเฟส

2.2 หลักการทำงานของมอเตอร์เหนี่ยวนำสามเฟส

โครงสร้างของมอเตอร์เหนี่ยวนำสามเฟสแบบกรุงกระอกประกอบด้วยชุดลวดสเตเตอร์ (Stator) ซึ่งมีชุดลวดสามเฟสพันอยู่บนร่องของสเตเตอร์ โดยวงเรียงห่างกันทำมุม 120° และยังมีส่วนประกอบที่สำคัญอีกอย่างหนึ่งคือชุดลวดโรเตอร์ (Rotor) โดยพันอยู่บนแท่งตัวนำแบบกรุงกระอก ถูกคั้นกลางด้วยฉนวนและที่ปลายทั้งสองข้างจะเชื่อมเข้าด้วยกันกับวงแหวนทำให้มีรูปร่างคล้ายกับกรุงกระอกซึ่งเป็นโครงสร้างที่ง่ายและมีราคาต่ำ และได้แสดงโครงสร้างของมอเตอร์เหนี่ยวนำสามเฟสดังรูปที่ 2.1

การทำงานของมอเตอร์เหนี่ยวนำ เมื่อจ่ายไฟฟ้ากระแสสลับสามเฟสสมดุลเข้าที่ชุดลวดสเตเตอร์ จะทำให้เกิดสนามแม่เหล็กหมุนกระจายออกมายในช่องว่างอากาศ (air gap) ซึ่งมีขนาดและหมุนรอบโรเตอร์ด้วยความเร็วคงที่เรียกว่าความเร็วซิงโกรนัส (ω_s) มีหน่วยเป็นเรเดียนต่อวินาที



รูปที่ 2.1 โครงสร้างของมอเตอร์เหนี่ยวนำสามเฟสแบบกรงกระอก (Rockwell Automation,1996)

ความเร็วเชิงมุมที่ความเร็วซิงโครนัสของมอเตอร์เหนี่ยวนำสามเฟสจะขึ้นอยู่กับความถี่ทางไฟฟ้าจากแหล่งจ่ายสามารถพิจารณาได้จากสมการที่ (2-1)

$$\omega_s = \frac{2}{P} 2\pi f = \frac{2}{P} \omega \quad (2-1)$$

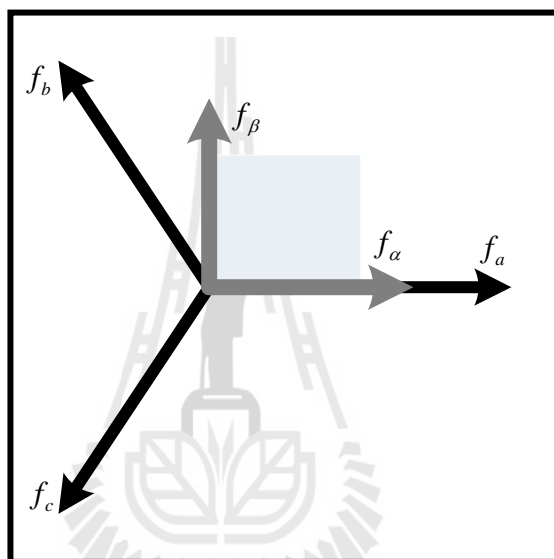
เมื่อ ω_s คือ ความเร็วเชิงมุมที่ความเร็วซิงโครนัสของมอเตอร์เหนี่ยวนำสามเฟส
 P คือ จำนวนขั้วแม่เหล็กไฟฟ้าของมอเตอร์
 f คือ ความถี่ทางไฟฟ้าของแหล่งจ่าย
 ω คือ ความถี่เชิงมุมทางไฟฟ้าของแหล่งจ่าย

จากสมการที่ (2-1) สามารถคำนวณค่าความเร็วซิงโครนัสของมอเตอร์เหนี่ยวนำสามเฟสในหน่วยรอบต่อนาที ได้ดังสมการที่ (2-2)

$$n_s = 60 \times \frac{\omega_s}{2\pi} = \frac{120}{P} f \quad (2-2)$$

2.3 การแปลงแบบคลาร์ก (Clarke's Transformation)

การสร้างแบบจำลองสถานการณ์ของมอเตอร์เหนี่ยวนำสามเฟส จำเป็นต้องจัดรูปแบบสมการในระบบสามเฟส abc ให้อยู่บนแกน $\alpha\beta$ ซึ่งจะช่วยลดความซับซ้อนของแบบจำลองลงได้ ดังนั้น การศึกษาแบบจำลองของมอเตอร์เหนี่ยวนำสามเฟส จะนำเสนอในรูปแบบสองแกน โดยใช้รูปแบบการแปลงของการแปลงแบบคลาร์กซึ่งจะแปลงแกน abc ไปเป็นแกน $\alpha\beta$ และคงลักษณะการแปลงแกนได้ดังรูปที่ 2.2



รูปที่ 2.2 การแปลงปริมาณสามเฟส abc ให้อยู่บนแกน $\alpha\beta$

พิจารณาจากรูปที่ 2.2 จะได้สมการการแปลงแกน abc เป็น $\alpha\beta$ ได้ดังนี้

$$f_\alpha = f_a - f_b \sin 30^\circ - f_c \sin 30^\circ = f_a - \frac{1}{2}f_b - \frac{1}{2}f_c \quad (2-3)$$

$$f_\beta = 0 + f_b \cos 30^\circ - f_c \cos 30^\circ = \frac{\sqrt{3}}{2}f_b - \frac{\sqrt{3}}{2}f_c \quad (2-4)$$

จากสมการที่ (2-3) และสมการที่ (2-4) เวียนเป็นเมตริกซ์ได้ดังสมการที่ (2-5)

$$[\mathbf{f}_{\alpha\beta}] = [\mathbf{T}_{\alpha\beta}] [\mathbf{f}_{abc}] \quad (2-5)$$

$$\text{เมื่อ } [\mathbf{f}_{\alpha\beta 0}] = \begin{bmatrix} f_\alpha \\ f_\beta \\ f_0 \end{bmatrix} \quad [\mathbf{T}_{\alpha\beta 0}] = K \begin{bmatrix} 1 & -\frac{1}{2} & -\frac{1}{2} \\ 0 & \frac{\sqrt{3}}{2} & -\frac{\sqrt{3}}{2} \\ \frac{1}{2} & \frac{1}{2} & \frac{1}{2} \end{bmatrix} \text{ และ } [\mathbf{f}_{abc}] = \begin{bmatrix} f_a \\ f_b \\ f_c \end{bmatrix}$$

ในงานวิจัยวิทยานิพนธ์นี้ ใช้ค่า $K = \frac{2}{3}$ ซึ่งเป็นรูปแบบการแปลงแกนแบบค่ายอด (peak convention) (P.C. Krause, O. Wasynczuk, S.D. Sudhoff, S. Pekarek, 2013) ในทางกลับกันถ้าจะแปลงจากแกน $\alpha\beta$ ไปเป็นแกน abc ทำได้ดังนี้

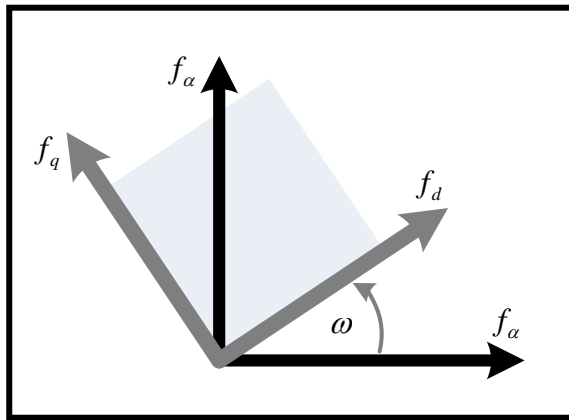
$$[\mathbf{f}_{abc}] = [\mathbf{T}_{\alpha\beta 0}]^{-1} [\mathbf{f}_{\alpha\beta 0}] \quad (2-6)$$

$$\text{เมื่อ } [\mathbf{T}_{\alpha\beta 0}]^{-1} = \begin{bmatrix} 1 & 0 & 1 \\ -\frac{1}{2} & \frac{\sqrt{3}}{2} & 1 \\ -\frac{1}{2} & -\frac{\sqrt{3}}{2} & 1 \end{bmatrix}$$

2.4 การแปลงแบบパーร์ค (Park's Transformation)

จากหัวข้อที่ 2.3 ได้กล่าวถึงรูปแบบการแปลงแกนแบบคลาร์ก ซึ่งเป็นการแปลงแกนจากแกน abc ไปเป็นแกน $\alpha\beta$ หรือจะแปลงกลับจากแกน $\alpha\beta$ เป็นแกน abc ในหัวข้อนี้จะกล่าวถึงการแปลงแกนจากแกน abc ให้อยู่บนแกน dq กล่าวคือระบบจะถูกแปลงจากปริมาณสามเฟสไปเป็นปริมาณสองเฟสที่อยู่บนแกนหมุน (rotating frame) โดยใช้รูปแบบการแปลงแกนแบบパーร์ค ในการแปลงแกนแบบパーร์คนั้นได้นำเอาองค์ความรู้ของการแปลงแกนแบบคลาร์กมาพัฒนาต่อเพื่อแปลงจากปริมาณสองเฟสที่อยู่บนแกนหมุน (stationary frame) ไปเป็นปริมาณสองเฟสที่อยู่บนแกนหมุน โดยได้แสดงรูปแบบการแปลงแกนแบบパーร์คดังรูปที่ 2.3 ซึ่งการศึกษาแบบจำลองทางคณิตศาสตร์ของมอเตอร์เนี้ยนำสามเฟสเดินมายังสองปริมาณสามเฟสไปเป็นปริมาณสองเฟสหรือสองแกน ซึ่งอาจจะเป็นแกน $\alpha\beta$ (แกนหมุน) หรือแกน dq (แกนหมุน) ก็ได้

เมื่อพิจารณาที่ 2.3 สามารถเขียนสมการการแปลงแกนจากแกน $\alpha\beta$ ให้อยู่บนแกน dq ได้ดังสมการที่ (2-7)



รูปที่ 2.3 การแปลงแกนจาก $\alpha\beta$ ให้เป็นแกน dq

$$[f_{dq}] = \begin{bmatrix} \cos\theta & \sin\theta \\ -\sin\theta & \cos\theta \end{bmatrix} [f_{\alpha\beta}] \quad (2-7)$$

แทนสมการที่ (2-5) ลงในสมการที่ (2-7) จะได้เป็น

$$\begin{bmatrix} f_d \\ f_q \end{bmatrix} = \begin{bmatrix} \cos\theta & \sin\theta \\ -\sin\theta & \cos\theta \end{bmatrix} K \begin{bmatrix} 1 & -\frac{1}{2} & -\frac{1}{2} \\ 0 & \frac{\sqrt{3}}{2} & \frac{\sqrt{3}}{2} \\ \frac{1}{2} & 0 & \frac{1}{2} \end{bmatrix} \begin{bmatrix} f_a \\ f_b \\ f_c \end{bmatrix} \quad (2-8)$$

สมการที่ (2-8) จัดรูปใหม่ได้เป็น

$$\begin{bmatrix} f_d \\ f_q \end{bmatrix} = K \begin{bmatrix} \cos\theta & -\frac{1}{2}\cos\theta + \frac{\sqrt{3}}{2}\sin\theta & -\frac{1}{2}\cos\theta - \frac{\sqrt{3}}{2}\sin\theta \\ -\sin\theta & \frac{1}{2}\sin\theta + \frac{\sqrt{3}}{2}\cos\theta & \frac{1}{2}\sin\theta - \frac{\sqrt{3}}{2}\cos\theta \end{bmatrix} \begin{bmatrix} f_a \\ f_b \\ f_c \end{bmatrix} \quad (2-9)$$

จากสมการที่ (2-9) เวียนใหม่ดังสมการที่ (2-10)

$$\begin{bmatrix} f_d \\ f_q \end{bmatrix} = K \begin{bmatrix} K_{11} & K_{12} & K_{13} \\ K_{21} & K_{22} & K_{23} \end{bmatrix} \begin{bmatrix} f_a \\ f_b \\ f_c \end{bmatrix} \quad (2-10)$$

จากสมการที่ (2-9) เวียนได้ใหม่ดังสมการที่ (2-10)

$$\begin{bmatrix} f_d \\ f_q \end{bmatrix} = K \begin{bmatrix} K_{11} & K_{12} & K_{13} \\ K_{21} & K_{22} & K_{23} \end{bmatrix} \begin{bmatrix} f_a \\ f_b \\ f_c \end{bmatrix} \quad (2-10)$$

เมื่อ $K_{11} = \cos \theta$

$$K_{12} = -\frac{1}{2} \cos \theta + \frac{\sqrt{3}}{2} \sin \theta \Rightarrow \cos \theta \cos \frac{2\pi}{3} + \sin \theta \sin \frac{2\pi}{3} = \cos \left(\theta - \frac{2\pi}{3} \right)$$

$$K_{13} = -\frac{1}{2} \cos \theta - \frac{\sqrt{3}}{2} \sin \theta \Rightarrow \cos \theta \cos \frac{2\pi}{3} - \sin \theta \sin \frac{2\pi}{3} = \cos \left(\theta + \frac{2\pi}{3} \right)$$

$K_{21} = \sin \theta$

$$K_{22} = \frac{1}{2} \sin \theta + \frac{\sqrt{3}}{2} \cos \theta \Rightarrow -\sin \theta \cos \frac{2\pi}{3} + \cos \theta \sin \frac{2\pi}{3} = -\sin \left(\theta - \frac{2\pi}{3} \right)$$

$$K_{23} = \frac{1}{2} \sin \theta - \frac{\sqrt{3}}{2} \cos \theta \Rightarrow -\sin \theta \cos \frac{2\pi}{3} - \cos \theta \sin \frac{2\pi}{3} = -\sin \left(\theta + \frac{2\pi}{3} \right)$$

จากสมการที่ (2-10) สามารถเวียนเป็นเมตริกซ์สำหรับรูปแบบการแปลงแบบปาร์คได้ดังสมการที่ (2-11)

$$[\mathbf{f}_{dq0}] = [\mathbf{T}_{dq0}] [\mathbf{f}_{abc}] \quad (2-11)$$

เมื่อ $[\mathbf{T}_{dq0}] = K \begin{bmatrix} \cos \theta & \cos(\theta - \frac{2\pi}{3}) & \cos(\theta + \frac{2\pi}{3}) \\ -\sin \theta & -\sin(\theta - \frac{2\pi}{3}) & -\sin(\theta + \frac{2\pi}{3}) \\ \frac{1}{2} & \frac{1}{2} & \frac{1}{2} \end{bmatrix}$ และ $K = \frac{2}{3}$

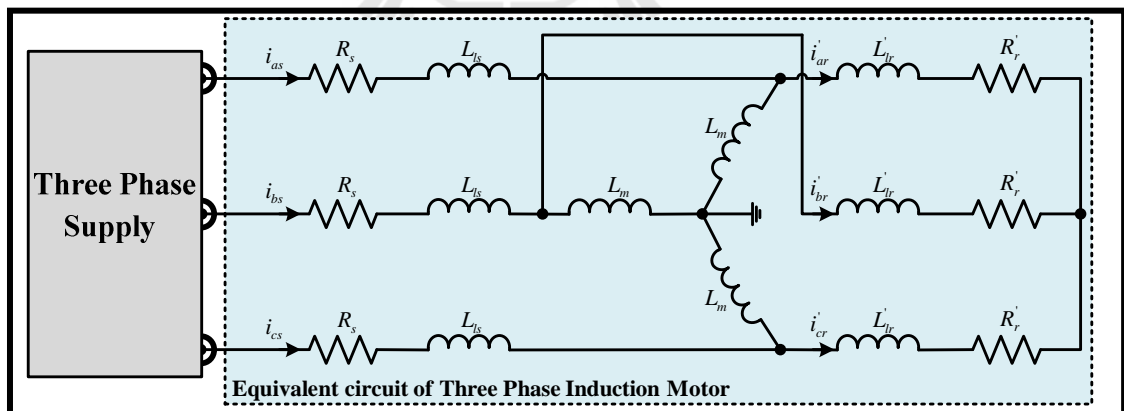
ในทางกลับกันถ้าจะแปลงแกนจากแกน dq ไปเป็นปริมาณสามเฟส abc ก็สามารถทำได้ดังสมการที่ (2-12)

$$[\mathbf{f}_{abc}] = [\mathbf{T}_{dq0}]^{-1} [\mathbf{f}_{dq0}] \quad (2-12)$$

$$\text{เมื่อ } [\mathbf{T}_{dq0}]^{-1} = \begin{bmatrix} \cos\theta & -\sin\theta & 1 \\ \cos\left(\theta - \frac{2\pi}{3}\right) & -\sin\left(\theta - \frac{2\pi}{3}\right) & 1 \\ \cos\left(\theta + \frac{2\pi}{3}\right) & -\sin\left(\theta + \frac{2\pi}{3}\right) & 1 \end{bmatrix}$$

2.5 แบบจำลองทางคณิตศาสตร์ของมอเตอร์เหนี่ยวนำสามเฟสบนแกนการหมุนใด ๆ (arbitrary frame)

จากการพิจารณาโครงสร้างพื้นฐานและหลักการทำงานของมอเตอร์เหนี่ยวนำสามเฟสพบว่า ใช้หลักการทำงานเช่นเดียวกันกับหลักการทำงานของหม้อแปลงไฟฟ้า คือ แรงดันที่เกิดขึ้นในวงจร โรเตอร์ เกิดขึ้นจากการเหนี่ยวนำของขดลวดสเตเตอร์ โดยการเปรียบขดลวด โรเตอร์ ของมอเตอร์ คือขดลวดทุติยภูมิ (secondary winding) ของหม้อแปลง ส่วนขดลวดสเตเตอร์ ก็คือขดลวดปฐมภูมิ (primary winding) ของหม้อแปลง ซึ่งการเปลี่ยนแปลงใด ๆ ที่เกิดขึ้นทางด้านขดลวด โรเตอร์ จะส่งผลให้เกิดการเปลี่ยนแปลง นماบังด้านขดลวดสเตเตอร์ ด้วย ดังนั้น จึงสามารถเขียนวงจรสมมูลของมอเตอร์เหนี่ยวนำสามเฟส โดยต่อขดลวดแบบ Y แสดงได้ดังรูปที่ 2.4



รูปที่ 2.4 วงจรสมมูลของมอเตอร์เหนี่ยวนำสามเฟสต่อแบบ Y

จากรูปที่ 2.4 เมื่อพิจารณาวงจรสมมูลของมอเตอร์เหนี่ยวนำสามเฟส ผ่านขดลวด โรเตอร์ จะเห็นว่า ค่าความต้านทานที่ โรเตอร์ จะขึ้นอยู่กับค่าสลิป ซึ่งค่าสลิปจะมากหรือน้อยขึ้นอยู่กับสภาพการรับกระแสจากโหลดของมอเตอร์ และจากวงจรสมมูลของมอเตอร์เหนี่ยวนำสามเฟสสามารถนำมารีเขียนสมการอนุพันธ์ ของแรงดันที่ขดลวดสเตเตอร์ และสมการอนุพันธ์ของแรงดันที่ขดลวด โรเตอร์ ได้ดังนี้

สมการอนุพันธ์ของแรงดันที่ขดลวดสเตเตอร์

$$[\mathbf{v}_s^{abc}] = [\mathbf{i}_s^{abc}] R_s + \frac{d}{dt} [\boldsymbol{\psi}_s^{abc}] \quad (2-13)$$

สมการอนุพันธ์ของแรงดันที่ขดลวดโวเรตอร์

$$[\mathbf{v}_{r'}^{abc}] = [\mathbf{i}_{r'}^{abc}] R_{r'} + \frac{d}{dt} [\boldsymbol{\psi}_{r'}^{abc}] \quad (2-14)$$

ในหัวข้อที่ 2.4 ได้กล่าวถึงวิธีการแปลงแกนจากแกน abc ให้อยู่บนแกน dq ซึ่งวิธีการดังกล่าวสามารถนำมาใช้สำหรับแปลงสมการแรงดันในสมการที่ (2-13) และสมการที่ (2-14) ของมอเตอร์ให้อยู่บนแกน dq โดยใช้รูปแบบการแปลงแกนแบบปาร์คในจากสมการที่ (2-12) ดังนั้นสมการแรงดันที่ขดลวดสเตเตอร์ของมอเตอร์เหนี่ยวนำสามเฟสสมการที่ (2-13) สามารถเปลี่ยนใหม่ให้อยู่บนแกน dq ได้ดังนี้

$$[\mathbf{T}_{dq0}]^{-1} [\mathbf{v}_s^{dq0}] = R_s [\mathbf{T}_{dq0}]^{-1} [\mathbf{i}_s^{dq0}] + \frac{d}{dt} ([\mathbf{T}_{dq0}]^{-1} [\boldsymbol{\psi}_s^{dq0}]) \quad (2-15)$$

นำ $[\mathbf{T}_{dq0}]$ คูณสมการที่ (2-15) ตลอดจะได้ดังสมการที่ (2-16)

$$[\mathbf{v}_s^{dq0}] = R_s [\mathbf{i}_s^{dq0}] + [\mathbf{T}_{dq0}] \frac{d}{dt} ([\mathbf{T}_{dq0}]^{-1} [\boldsymbol{\psi}_s^{dq0}]) \quad (2-16)$$

พจน์ $[\mathbf{T}_{dq0}] \frac{d}{dt} ([\mathbf{T}_{dq0}]^{-1} [\boldsymbol{\psi}_s^{dq0}])$ ในสมการที่ (2-16) สามารถวิเคราะห์ได้ดังสมการที่ (2-17)

$$\begin{aligned} [\mathbf{T}_{dq0}] \frac{d}{dt} ([\mathbf{T}_{dq0}]^{-1} [\boldsymbol{\psi}_s^{dq0}]) &= [\mathbf{T}_{dq0}] \left([\boldsymbol{\psi}_s^{dq0}] \frac{d}{dt} [\mathbf{T}_{dq0}]^{-1} + [\mathbf{T}_{dq0}]^{-1} \frac{d}{dt} [\boldsymbol{\psi}_s^{dq0}] \right) \\ &= [\boldsymbol{\psi}_s^{dq0}] \left([\mathbf{T}_{dq0}] \frac{d}{dt} [\mathbf{T}_{dq0}]^{-1} \right) + \frac{d}{dt} [\boldsymbol{\psi}_s^{dq0}] \end{aligned} \quad (2-17)$$

ค่า $\frac{d}{dt} [\mathbf{T}_{dq0}]^{-1}$ ในสมการ (2-17) และ $\frac{d}{dt} [\boldsymbol{\psi}_s^{dq0}]$

$$\frac{d}{dt}[\mathbf{T}_{dq0}]^{-1} = \omega \begin{bmatrix} -\sin\theta & -\cos\theta & 0 \\ -\sin\left(\theta - \frac{2\pi}{3}\right) & -\cos\left(\theta - \frac{2\pi}{3}\right) & 0 \\ -\sin\left(\theta + \frac{2\pi}{3}\right) & -\cos\left(\theta + \frac{2\pi}{3}\right) & 0 \end{bmatrix} \quad (2-18)$$

เมื่อ $\omega = \frac{d\theta}{dt}$ คือมุมที่ใช้สำหรับการแปลงแกนของรูปแบบการแปลงแกนแบบปาร์ค

พิจารณาพจน์ $[\mathbf{T}_{dq0}] \frac{d}{dt}[\mathbf{T}_{dq0}]^{-1}$ ในสมการที่ (2-17) โดยอาศัยค่า $\frac{d}{dt}[\mathbf{T}_{dq0}]^{-1}$ จากสมการที่ (2-18) จะได้

$$[\mathbf{T}_{dq0}] \left(\frac{d}{dt}[\mathbf{T}_{dq0}]^{-1} \right) = \frac{2}{3} \omega \begin{bmatrix} 0 & -\frac{3}{2} & 0 \\ \frac{3}{2} & 0 & 0 \\ 0 & 0 & 0 \end{bmatrix} = \omega \begin{bmatrix} 0 & -1 & 0 \\ 1 & 0 & 0 \\ 0 & 0 & 0 \end{bmatrix} \quad (2-19)$$

รายละเอียดการพิสูจน์ที่มาของสมการที่ (2-19) ได้แสดงเพิ่มเติมไว้ในภาคผนวก ก

ดังนั้น จากสมการที่ (2-17) สามารถเขียนใหม่โดยอาศัยค่า $[\mathbf{T}_{dq0}] \frac{d}{dt}[\mathbf{T}_{dq0}]^{-1}$ จากสมการที่ (2-19) ได้ดังนี้

$$[\mathbf{T}_{dq0}] \frac{d}{dt}([\mathbf{T}_{dq0}]^{-1} [\Psi_s^{dq0}]) = \omega \begin{bmatrix} 0 & -1 & 0 \\ 1 & 0 & 0 \\ 0 & 0 & 0 \end{bmatrix} [\Psi_s^{dq0}] + \frac{d}{dt} [\Psi_s^{dq0}] \quad (2-20)$$

แทนค่า $[\mathbf{T}_{dq0}] \frac{d}{dt}([\mathbf{T}_{dq0}]^{-1} [\Psi_s^{dq0}])$ จากสมการที่ (2-20) ลงในสมการที่ (2-16) จะได้

$$[\mathbf{v}_s^{dq0}] = R_s [\mathbf{i}_s^{dq0}] + \omega \begin{bmatrix} 0 & -1 & 0 \\ 1 & 0 & 0 \\ 0 & 0 & 0 \end{bmatrix} [\Psi_s^{dq0}] + \frac{d}{dt} [\Psi_s^{dq0}] \quad (2-21)$$

$$\text{เมื่อ } [\Psi_s^{dq0}] = \begin{bmatrix} \psi_{ds} \\ \psi_{qs} \\ \psi_{0s} \end{bmatrix} = \begin{bmatrix} L_{ls} + L_m & 0 & 0 & L_m & 0 & 0 \\ 0 & L_{ls} + L_m & 0 & 0 & L_m & 0 \\ 0 & 0 & L_{ls} & 0 & 0 & 0 \end{bmatrix} \begin{bmatrix} i_{ds} \\ i_{qs} \\ i_{0s} \\ i_{dr} \\ i_{qr} \\ i_{0r} \end{bmatrix}$$

การแปลงแกนสมการอนุพันธ์ของแรงดันที่คลาด โรเตอร์ของมอเตอร์เห็นว่าสามเฟสจะทำเหมือนกับการแปลงแกนของสมการอนุพันธ์ของแรงดันที่คลาดสเตเตเตอร์ เพียงแต่ค่า ω จะเปลี่ยนเป็น $\omega - \omega_r$ ดังนั้น สมการที่ (2-14) สามารถเขียนระบบสมการใหม่ที่อยู่บนแกน dq ได้ดังสมการที่ (2-22)

$$[\mathbf{v}_r^{dq0}] = R_r [\mathbf{i}_r^{dq0}] + (\omega - \omega_r) \begin{bmatrix} 0 & -1 & 0 \\ 1 & 0 & 0 \\ 0 & 0 & 0 \end{bmatrix} [\Psi_r^{dq0}] + \frac{d}{dt} [\Psi_r^{dq0}] \quad (2-22)$$

$$\text{เมื่อ } [\Psi_r^{dq0}] = \begin{bmatrix} \psi_{dr} \\ \psi_{qr} \\ \psi_{0r} \end{bmatrix} = \begin{bmatrix} L_{lr} + L_m & 0 & 0 & L_m & 0 & 0 \\ 0 & L_{lr} + L_m & 0 & 0 & L_m & 0 \\ 0 & 0 & L_{lr} & 0 & 0 & 0 \end{bmatrix} \begin{bmatrix} i_{dr} \\ i_{qr} \\ i_{0r} \\ i_{ds} \\ i_{qs} \\ i_{0s} \end{bmatrix}$$

โดยปกติแล้วการเลือกแกนหมุนของเครื่องจักรกลไฟฟ้ากระแสสลับสามเฟส จะนิยมเลือกแกนหมุนให้หมุนที่ 1) หมุนที่แกนหมุนหยุดนิ่ง ($\omega = 0$) 2) หมุนที่แกนหมุนโรเตอร์ ($\omega = \omega_r$) 3) หมุนที่แกนหมุนซิงโครนัส ($\omega = \omega_s$) (P.C.Krause, O.Wasynczuk, S.D.Sudhoff, 2013) โดยในงานวิจัยวิทยานิพนธ์นี้ได้เลือกหมุนที่แกนหมุนหยุดนิ่งเพื่อลดความซับซ้อนของสมการแรงดันฟังคลาดสเตเตเตอร์ ซึ่งจากการเลือกแกนหมุนดังกล่าวจะทำให้ค่า ω ในสมการที่ (2-21) และสมการที่ (2-22) จะถูกกำหนดให้มีค่าเท่ากับศูนย์ นอกจากนี้การนำแบบจำลองทางคณิตศาสตร์ของมอเตอร์เห็นว่าสามเฟสสามารถใช้ในการวิเคราะห์เกี่ยวกับการควบคุมความเร็วจะนิยมใช้แกนหมุนที่แกนหมุนหยุดนิ่ง (P.C.Krause, O.Wasynczuk, S.D.Sudhoff, 2013) และเมื่อพิจารณารูปที่ 2.3 ที่ค่า ω ดังกล่าวจะทำให้แกน d ตรงกับแกน α และแกน q ก็จะตรงกับแกน β ดังนั้น สมการแรงดันของมอเตอร์เห็นว่าสาม

เฟส จากสมการที่ (2-21) และสมการที่ (2-22) จึงสามารถเขียนใหม่โดยยุบรวมปริมาณสองเฟสในแกน หมุนหยุดนิ่ง ($\alpha\beta$) ได้ดังสมการที่ (2-23) และสมการที่ (2-24)

$$[\mathbf{v}_s^{\alpha\beta 0}] = R_s [\mathbf{i}_s^{\alpha\beta 0}] + \frac{d}{dt} [\Psi_s^{\alpha\beta 0}] \quad (2-23)$$

$$[\mathbf{v}_{r'}^{\alpha\beta 0}] = R_r [\mathbf{i}_{r'}^{\alpha\beta 0}] + \omega_r \begin{bmatrix} 0 & 1 & 0 \\ -1 & 0 & 0 \\ 0 & 0 & 0 \end{bmatrix} [\Psi_{r'}^{\alpha\beta 0}] + \frac{d}{dt} [\Psi_{r'}^{\alpha\beta 0}] \quad (2-24)$$

เมื่อค่า $[\Psi_s^{\alpha\beta 0}]$ จากสมการที่ (2-23) คือฟลักซ์เชื่อม โียงของขดลวดสเตเตอร์ เรียกว่า ได้ดังสมการที่ (2-25)

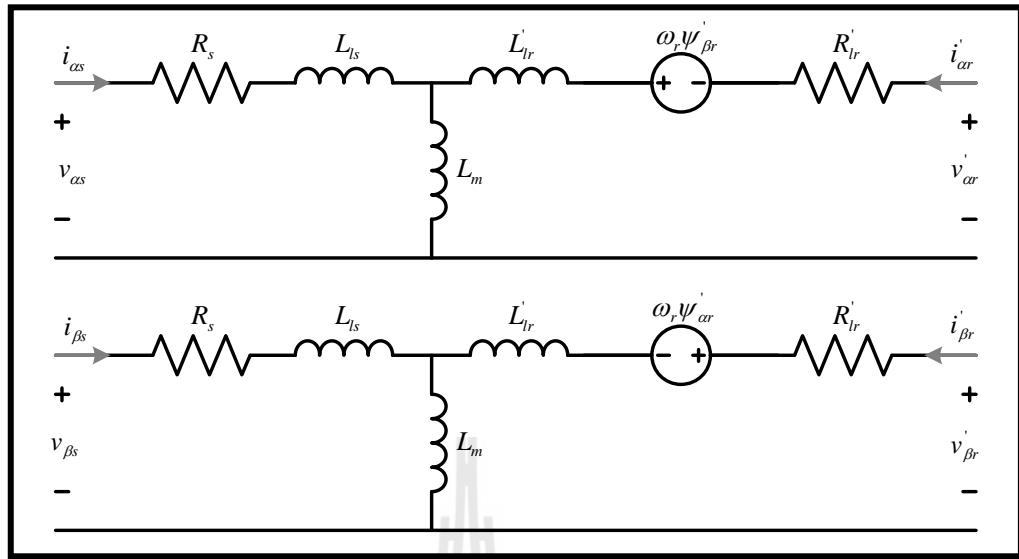
$$[\Psi_s^{\alpha\beta 0}] = \begin{bmatrix} \psi_{as} \\ \psi_{\beta s} \\ \psi_{0s} \end{bmatrix} = \begin{bmatrix} L_s i_{as} + L_m i_{\alpha r} \\ L_s i_{\beta s} + L_m i_{\beta r} \\ L_{ls} i_{0s} \end{bmatrix} \quad (2-25)$$

และเมื่อค่า $[\Psi_{r'}^{\alpha\beta 0}]$ ในสมการที่ (2-24) คือฟลักซ์เชื่อม โียงของขดลวด โรเตอร์ สามารถเขียนได้ดัง สมการที่ (2-26)

$$[\Psi_{r'}^{\alpha\beta 0}] = \begin{bmatrix} \psi_{\alpha r} \\ \psi_{\beta r} \\ \psi_{0r} \end{bmatrix} = \begin{bmatrix} L_r i_{\alpha r} + L_m i_{as} \\ L_r i_{\beta r} + L_m i_{\beta s} \\ L_{lr} i_{0r} \end{bmatrix} \quad (2-26)$$

โดยที่ $L_s = L_{ls} + L_m$
 $L_r = L_{lr} + L_m$

จากสมการแรงดันของขดลวดสเตเตอร์ และขดลวด โรเตอร์ ในสมการที่ (2-23) และสมการที่ (2-24) สามารถนำมารวบรวมสมมูลของมอเตอร์เห็นได้ว่า สามเฟสนำบันแกน $\alpha\beta$ ได้รูปที่ 2.5 ซึ่งจะไม่พิจารณาวงจรสมมูลที่แกนศูนย์ เนื่องจากการสร้างแบบจำลองของมอเตอร์เห็นว่าสาม-เฟสจะสร้างให้อยู่บันแกน $\alpha\beta$ เท่านั้น



รูปที่ 2.5 วงจรสมมูลของมอเตอร์เหนี่ยวนำสามเฟสบนแกน $\alpha\beta$

จากสมการที่ (2-23) และสมการที่ (2-24) เมื่อพิจารณาการทำงานของมอเตอร์เหนี่ยวนำสามเฟส จะมีตัวแปรบางตัวที่ไม่มีความจำเป็นในการใช้งาน ดังนั้น จึงจัดรูปแบบสมการให้เหลือเฉพาะตัวแปรที่จำเป็นเท่านั้น ซึ่งตัวแปรที่จะกำจัด คือ $\mathbf{i}_r^{\alpha\beta}$ เนื่องจากเป็นปริมาณที่ไม่สามารถวัดได้ในทางกายภาพและอิกตัวแปร คือ $\Psi_s^{\alpha\beta}$ เพราะจะใช้แค่ $\Psi_r^{\alpha\beta}$ ในการควบคุมการทำงานของมอเตอร์

จากสมการฟลักซ์เชื่อมโยงของคลาวด์โรเตอร์ในสมการที่ (2-26) เมื่อพิจารณาเฉพาะค่า ฟลักซ์บนแกน $\alpha\beta$ โดยการจัดรูปใหม่เพื่อจะได้สมการของกระแสที่บดคลาวด์โรเตอร์บนแกน $\alpha\beta$ ดังสมการที่ (2-27)

$$[\mathbf{i}_r^{\alpha\beta}] = \frac{[\Psi_r^{\alpha\beta}]}{L_r} - \frac{L_m}{L_r} [\mathbf{i}_s^{\alpha\beta}] \quad (2-27)$$

จากนั้นแทนค่า $\mathbf{i}_r^{\alpha\beta}$ จากสมการที่ (2-27) ลงในสมการฟลักซ์เชื่อมโยงของคลาวด์สเตเตอร์ในสมการที่ (2-25) โดยที่พิจารณาเฉพาะฟลักซ์บนแกน $\alpha\beta$ แสดงได้ดังสมการที่ (2-28)

$$[\Psi_s^{\alpha\beta}] = \left(\frac{L_r L_s - L_m^2}{L_r} \right) [\mathbf{i}_s^{\alpha\beta}] + \frac{L_m}{L_r} [\Psi_r^{\alpha\beta}] = \sigma L_s [\mathbf{i}_s^{\alpha\beta}] + \frac{L_m}{L_r} [\Psi_r^{\alpha\beta}] \quad (2-28)$$

เมื่อ $\sigma = 1 - \frac{L_m^2}{L_r L_s}$

แทนค่า $\Psi_s^{\alpha\beta}$ จากสมการที่ (2-28) ลงในสมการที่ (2-23) จึงได้สมการแรงดันของคลัวด์ สเตเตอร์ของมอเตอร์เห็นี่ยวน้ำสามเฟสในกรณีที่ไม่พิจารณาค่า $i_r^{\alpha\beta}$ และ $\Psi_s^{\alpha\beta}$ โดยจะพิจารณาเฉพาะค่า แรงดันบนแกน $\alpha\beta$ ได้ดังนี้

$$[\mathbf{v}_s^{\alpha\beta}] = R_s [i_s^{\alpha\beta}] + \sigma L_s \frac{d}{dt} [i_s^{\alpha\beta}] + \frac{L_m}{L_r} \frac{d}{dt} [\Psi_r^{\alpha\beta}] \quad (2-29)$$

แทนค่า $i_r^{\alpha\beta}$ จากสมการที่ (2-27) ลงในสมการที่ (2-24) จึงได้สมการแรงดันที่คลัวด์โรเตอร์ของ มอเตอร์เห็นี่ยวน้ำสามเฟสในกรณีที่ไม่พิจารณาค่า $i_r^{\alpha\beta}$ โดยจะพิจารณาเฉพาะค่า แรงดันบนแกน $\alpha\beta$ ได้ ดังนี้

$$[\mathbf{v}_r^{\alpha\beta}] = 0 = \frac{R_r}{L_r} [\Psi_r^{\alpha\beta}] - \frac{L_m R_r}{L_r} [i_s^{\alpha\beta}] + \frac{d}{dt} [\Psi_r^{\alpha\beta}] \pm \omega_r [\Psi_r^{\beta\alpha}] \quad (2-30)$$

ดังนั้น จัดรูปสมการที่ (2-29) และสมการที่ (2-30) เพื่อให้ได้สมการอนุพันธ์ของแรงดันที่คลัวด์ ผ่านสเตเตอร์และคลัวด์ผ่านโรเตอร์ต่อเฟส เพื่อนำไปสร้างแบบจำลองทางคณิตศาสตร์ของมอเตอร์เห็นี่ยวน้ำสามเฟสได้ดังนี้

$$v_{\alpha s} = i_{\alpha s} R_s + \sigma L_s \frac{d}{dt} i_{\alpha s} + \frac{L_m}{L_r} \frac{d}{dt} \Psi_{\alpha r} \quad (2-31a)$$

$$v_{\beta s} = i_{\beta s} R_s + \sigma L_s \frac{d}{dt} i_{\beta s} + \frac{L_m}{L_r} \frac{d}{dt} \Psi_{\beta r} \quad (2-31b)$$

$$v_{\alpha r} = 0 = \frac{R_r}{L_r} \Psi_{\alpha r} - \frac{L_m R_r}{L_r} i_{\alpha s} + \frac{d}{dt} \Psi_{\alpha r} + \omega_r \Psi_{\beta r} \quad (2-32a)$$

$$v_{\beta r} = 0 = \frac{R_r}{L_r} \Psi_{\beta r} - \frac{L_m R_r}{L_r} i_{\beta s} + \frac{d}{dt} \Psi_{\beta r} - \omega_r \Psi_{\alpha r} \quad (2-32b)$$

การหาสมการแรงบิดทางไฟฟ้าของมอเตอร์เห็นี่ยวน้ำสามเฟสบนแกน dq จะต้องดึงจากสมการที่ (2-33)

$$P_{in,dq0} = T_{em} \omega_{rm} \quad (2-33)$$

เนื่องจากค่า ω_{rm} เป็นความเร็วที่โรเตอร์ทางกล ซึ่งต้องการแปลงความเร็วดังกล่าวให้เป็นความเร็วที่โรเตอร์ทางไฟฟ้า (ω_r) ดังนั้น จะได้

$$\omega_r = \frac{P}{2} \omega_{rm} \quad (2-34)$$

จากสมการที่ (2-34) สามารถเปลี่ยนใหม่ได้ดังสมการที่ (2-35)

$$\omega_{rm} = \frac{2}{P} \omega_r \quad (2-35)$$

แทนค่า ω_{rm} จากสมการที่ (2-35) ลงในสมการที่ (2-33) จะได้

$$P_{in,dq0} = T_{em} \left(\frac{2}{P} \omega_r \right) \quad (2-36)$$

จากสมการกำลังงานขาเข้าในสมการที่ (2-36) เปลี่ยนใหม่ให้อยู่ในรูปของสมการแรงบิดทางไฟฟ้าได้ดังสมการ (2-37)

$$T_{em} = \frac{P}{2\omega_r} P_{in,dq0} \quad (2-37)$$

ผลรวมของกำลังงานขาเข้า ($P_{in,abc}$) ของทั้ง 6 ขดลวด คือขดลวดสเตเตอเร่อร์และขดลวดโรเตอร์แสดงได้ดังสมการ (2-38)

$$P_{in,abc} = v_{as}\dot{i}_{as} + v_{bs}\dot{i}_{bs} + v_{cs}\dot{i}_{cs} + v_{ar}\dot{i}_{ar} + v_{br}\dot{i}_{br} + v_{cr}\dot{i}_{cr} = \begin{bmatrix} v_{as} \\ v_{bs} \\ v_{cs} \\ v_{ar} \\ v_{br} \\ v_{cr} \end{bmatrix}' \begin{bmatrix} \dot{i}_{as} \\ \dot{i}_{bs} \\ \dot{i}_{cs} \\ \dot{i}_{ar} \\ \dot{i}_{br} \\ \dot{i}_{cr} \end{bmatrix} \quad (2-38)$$

จากสมการที่ (2-38) สามารถเปลี่ยนให้อยู่บนแกน dq ได้ดังสมการที่ (2-39)

$$P_{in,dq0} = \begin{bmatrix} v_{ds} \\ v_{qs} \\ v_{0s} \end{bmatrix}^t [[\mathbf{T}_{dq0}]^{-1}]^t [\mathbf{T}_{dq0}]^{-1} \begin{bmatrix} i_{ds} \\ i_{qs} \\ i_{0s} \end{bmatrix} + \begin{bmatrix} v_{dr} \\ v_{qr} \\ v_{0r} \end{bmatrix}^t [[\mathbf{T}_{dq0}]^{-1}]^t [\mathbf{T}_{dq0}]^{-1} \begin{bmatrix} i_{dr} \\ i_{qr} \\ i_{0r} \end{bmatrix} \quad (2-39)$$

พจน์ $[[\mathbf{T}_{dq0}]^{-1}]^t [\mathbf{T}_{dq0}]^{-1}$ ในสมการที่ (2-39) แสดงได้ดังสมการที่ (2-40) ดังนี้

$$[\mathbf{T}_{dq0}]^{-1}]^t [\mathbf{T}_{dq0}]^{-1} = \begin{bmatrix} \frac{3}{2} & 0 & 0 \\ 0 & \frac{3}{2} & 0 \\ 0 & 0 & 3 \end{bmatrix} \quad (2-40)$$

แทนค่า $[\mathbf{T}_{dq0}]^{-1}]^t [\mathbf{T}_{dq0}]^{-1}$ จากสมการที่ (2-40) ลงในสมการที่ (2-39) จะได้สมการที่ (2-41)

$$P_{in,dq0} = \frac{3}{2} (v_{ds} i_{ds} + v_{qs} i_{qs} + 2v_{0s} i_{0s} + v_{dr}^+ i_{dr}^+ + v_{qr}^+ i_{qr}^+ + 2v_{0r}^+ i_{0r}^+) \quad (2-41)$$

แทนค่า \mathbf{v}_s^{dq0} จากสมการที่ (2-21) และแทนค่า \mathbf{v}_r^{dq0} จากสมการที่ (2-22) ลงในสมการที่ (2-41) กำลังงานขาเข้าสามารถคำนวณได้ดังนี้

$$P_{in,dq0} = \frac{3}{2} \left(\begin{array}{l} \omega(\psi_{ds} i_{qs} - \psi_{qs} i_{ds}) + (\omega - \omega_r)(\psi_{dr}^+ i_{qr}^+ - \psi_{qr}^+ i_{dr}^+) \\ + R_s (i_{ds}^2 + i_{qs}^2 + 2i_{0s}^2) + R_r^+ (i_{dr}^+)^2 + i_{qr}^+)^2 + 2i_{0r}^+)^2 \\ + i_{ds} \frac{d}{dt} \psi_{ds} + i_{qs} \frac{d}{dt} \psi_{qs} + 2i_{0s} \frac{d}{dt} \psi_{0s} \\ + i_{dr}^+ \frac{d}{dt} \psi_{dr}^+ + i_{qr}^+ \frac{d}{dt} \psi_{qr}^+ + 2i_{0r}^+ \frac{d}{dt} \psi_{0r}^+ \end{array} \right) \quad (2-42)$$

จากสมการที่ (2-42) จะมีเทอมของ $i^2 R$ $i \frac{d}{dt} \psi$ และ $\omega \psi i$ โดยที่เทอมของ $i^2 R$ คือกำลังงานสูญเสียในขาด漉ด เทอมของ $i \frac{d}{dt} \psi$ คืออัตราการสับเปลี่ยนของกำลังงานสนามแม่เหล็กไฟฟ้าระหว่างขาด漉ด และเทอมของ $\omega \psi i$ คืออัตราของการแปลงพลังงานไฟฟ้าไปเป็นกำลังงานทางกล (P.C. Krause, O. Wasynczuk, S.D. Sudhoff, S. Pekarek, 2013) ดังนั้น เมื่อนำค่า $P_{in,dq0}$ จากสมการที่ (2-42) ไปใช้

คำนวณหาค่าแรงบิด (T_{em}) จะพิจารณาเฉพาะเทอมของ $\omega\psi i$ โดยแรงบิดดังกล่าวจะมีค่าเท่ากับผลรวมของเทอม $\omega\psi i$ หารด้วยความเร็วทางกลดังสมการที่ (2-43)

$$T_{em} = \frac{3}{2} \frac{P}{2\omega_r} (\omega(\psi_{ds} i_{qs} - \psi_{qs} i_{ds}) + (\omega - \omega_r)(\psi_{dr}^i i_{qr}^i - \psi_{qr}^i i_{dr}^i)) \quad (2-43)$$

เมื่อพิจารณาเทอมของ $\psi_{ds} i_{qs} - \psi_{qs} i_{ds}$ ในสมการที่ (2-43) พบว่าความสัมพันธ์ของฟลักซ์ เชื่อมโยงในสมการที่ (2-25) และสมการที่ (2-26) เทอมดังกล่าวจะมีค่าเท่ากับ

$$\psi_{ds} i_{qs} - \psi_{qs} i_{ds} = -(\psi_{dr}^i i_{qr}^i - \psi_{qr}^i i_{dr}^i) = L_m (i_{dr}^i i_{qs} - i_{qr}^i i_{ds}) \quad (2-44)$$

ดังนั้น จากความสัมพันธ์ของฟลักซ์ในสมการที่ (2-44) จึงสามารถเขียนสมการแรงบิดทางไฟฟ้าของมอเตอร์เห็นได้ชัดเจน สำหรับในสมการที่ (2-43) ได้ใหม่เป็นดังนี้

$$\begin{aligned} T_{em} &= \left(\frac{3}{2} \right) \left(\frac{P}{2} \right) (\psi_{ds} i_{qs} - \psi_{qs} i_{ds}) \\ &= \left(\frac{3}{2} \right) \left(\frac{P}{2} \right) (\psi_{qr}^i i_{dr}^i - \psi_{dr}^i i_{qr}^i) \\ &= \left(\frac{3}{2} \right) \left(\frac{P}{2} \right) L_m (i_{dr}^i i_{qs} - i_{qr}^i i_{ds}) \end{aligned} \quad (2-45)$$

เนื่องจากการสร้างแบบจำลองทางคณิตศาสตร์ของมอเตอร์เห็นได้ชัดเจน สำหรับในสมการที่ (2-45) สามารถเขียนให้อยู่ในรูปแบบ $\alpha\beta$ ได้ดังสมการ (2-46) เมื่อค่าต่าง ๆ บนแกน d แทนโดย α และค่าบนแกน q แทนโดย β

$$\begin{aligned} T_{em} &= \left(\frac{3}{2} \right) \left(\frac{P}{2} \right) (\psi_{\alpha s} i_{\beta s} - \psi_{\beta s} i_{\alpha s}) \\ &= \left(\frac{3}{2} \right) \left(\frac{P}{2} \right) (\psi_{\beta r}^i i_{\alpha r}^i - \psi_{\alpha r}^i i_{\beta r}^i) \\ &= \left(\frac{3}{2} \right) \left(\frac{P}{2} \right) L_m (i_{\alpha r}^i i_{\beta s} - i_{\beta r}^i i_{\alpha s}) \end{aligned} \quad (2-46)$$

เมื่อพิจารณาทางผ่านของระบบทางกลโดยใช้กฎของนิวตัน สมการอนุพันธ์ของความเร็วที่ โกรเตอร์แสดงได้ดังสมการที่ (2-47) ดังนี้

$$\frac{d}{dt} \omega_r = \frac{P}{2} \left(\frac{T_{em} - T_L}{J} \right) \quad (2-47)$$

เมื่อ T_{em} สามารถคำนวณได้จากสมการที่ (2-46)

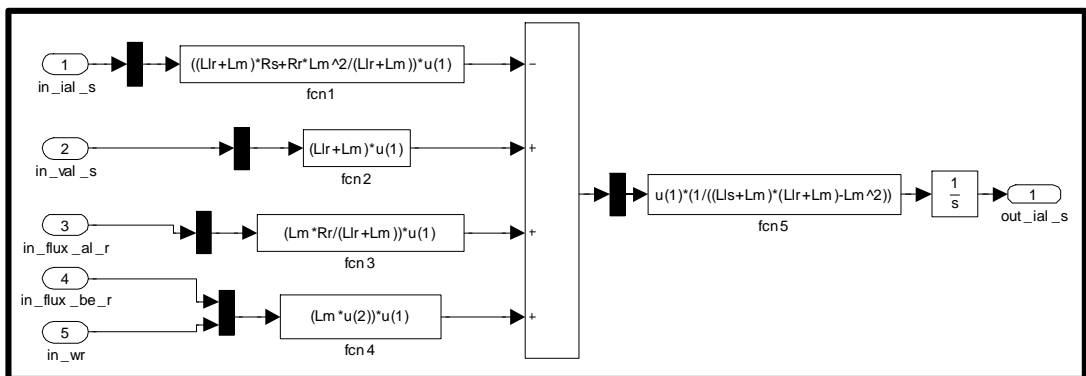
2.6 การสร้างแบบจำลองของมอเตอร์เรนียาน้ำสารเคมีบนชุดบล็อก SIMULINK

ในหัวข้อนี้จะอธิบายการสร้างแบบจำลองของมอเตอร์เรนียาน้ำสารเคมีบน SIMULINK จากสมการทางคณิตศาสตร์ที่ได้กล่าวไว้แล้วในหัวข้อที่ 2.5 เพื่อใช้ศึกษาพัฒนาระบบการทำงานของมอเตอร์เรนียาน้ำสารเคมีผ่านการจำลองสถานการณ์บนคอมพิวเตอร์ ซึ่งได้นำเสนอการหาสมการอนุพันธ์ของมอเตอร์เรนียาน้ำสารเคมีบนแกน $\alpha\beta$ ดังนั้น จากสมการอนุพันธ์ในหัวข้อที่แล้วสามารถนำมาสร้างเป็นชุดบล็อกได้ดังนี้

จากสมการที่ (2-31a) และสมการที่ (2-32a) สามารถคำนวณกระแสที่ขดลวดสเตเตอเร็บนแกน α ได้ดังสมการ (2-48)

$$i_{as} = \frac{1}{\sigma L_r L_s} \int \left(L_r v_{as} - \left(L_r R_s + \frac{L_m^2 R_r}{L_r} \right) i_{as} + \frac{L_m R_r}{L_r} \psi_{ar} + L_m \omega_r \psi_{\beta r} \right) dt \quad (2-48)$$

จากสมการที่ (2-48) นำมาสร้างชุดบล็อกของกระแสที่สเตเตอเร็บนแกน α ได้ดังรูปที่ 2.6

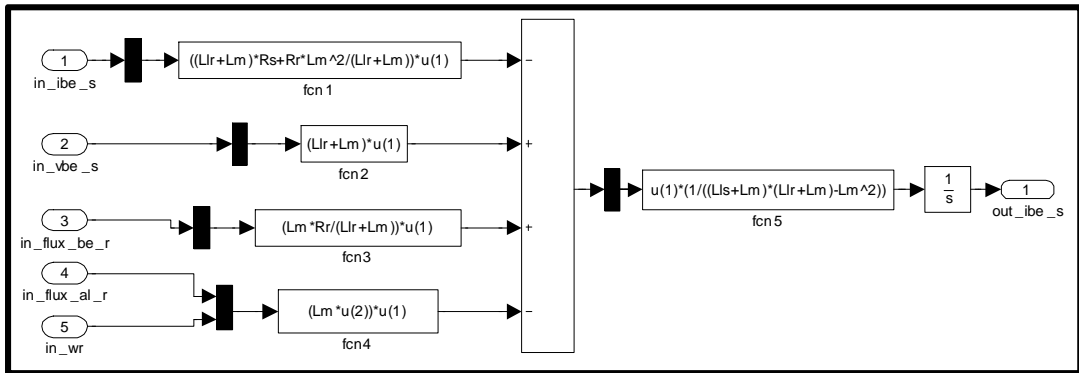


รูปที่ 2.6 ชุดบล็อกของกระแสที่สเตเตอเร็บนแกน α

จากสมการที่ (2-31b) และสมการที่ (2-32b) สามารถเขียนใหม่จะได้สมการกระแสที่ขดลวดสเตเตอเร็บนแกน β ได้ดังสมการ (2-49)

$$i_{\beta s} = \frac{1}{\sigma L_r L_s} \int \left(L_r v_{\beta s} - \left(L_r R_s + \frac{L_m^2 R_r}{L_r} \right) i_{\beta s} + \frac{L_m R_r}{L_r} \psi_{\beta r} - L_m \omega_r \psi_{\alpha r} \right) dt \quad (2-49)$$

จากสมการที่ (2-49) นำมาสร้างชุดบล็อกของกระแสที่สเตเตอร์บนแกน β ได้ดังรูปที่ 2.7

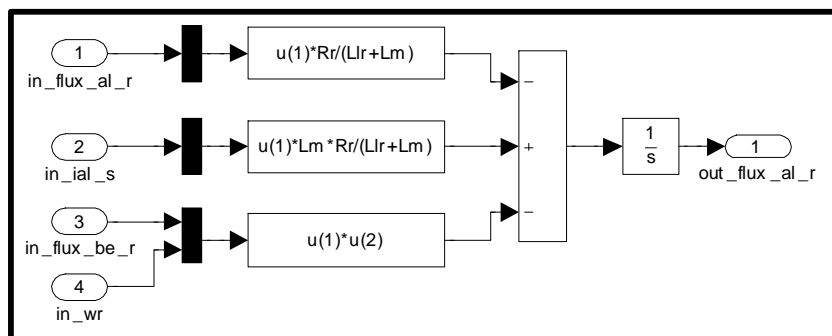


รูปที่ 2.7 ชุดบล็อกของกระแสที่สเตเตอร์บนแกน β

จากสมการที่ (2-32a) สามารถคำนวณค่าฟลักซ์เขื่อนโดยที่ขดลวดโกรเตอร์บนแกน α ได้ดังสมการที่ (2-50)

$$\psi_{\alpha r} = \int \left(\frac{L_m R_r}{L_r} i_{\alpha s} - \frac{R_r}{L_r} \psi_{\alpha r} - \omega_r \psi_{\beta r} \right) dt \quad (2-50)$$

จากสมการที่ (2-50) นำมาสร้างเป็นชุดบล็อกของฟลักซ์เขื่อนโดยที่ขดลวดโกรเตอร์บนแกน α ได้ดังรูปที่ 2.8

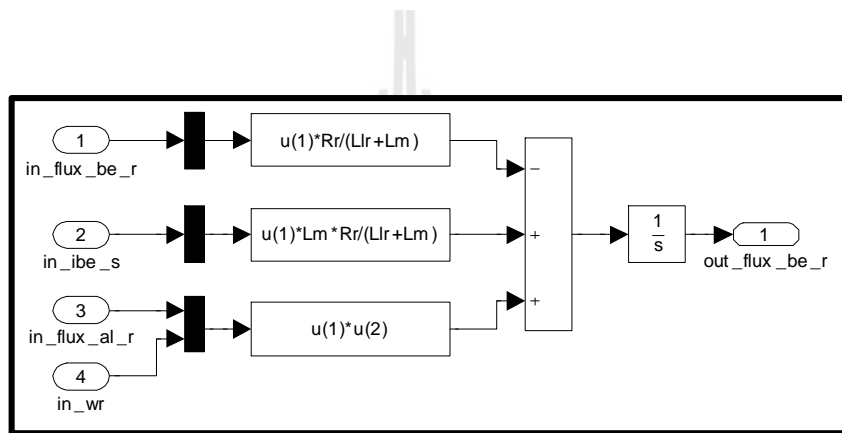


รูปที่ 2.8 ชุดบล็อกของฟลักซ์ที่โกรเตอร์บนแกน α

จากสมการที่ (2-32b) สามารถคำนวณค่าฟลักซ์เชื่อมโยงที่ขดลวดโรเตอร์บนแกน β ได้ดังสมการที่ (2-51)

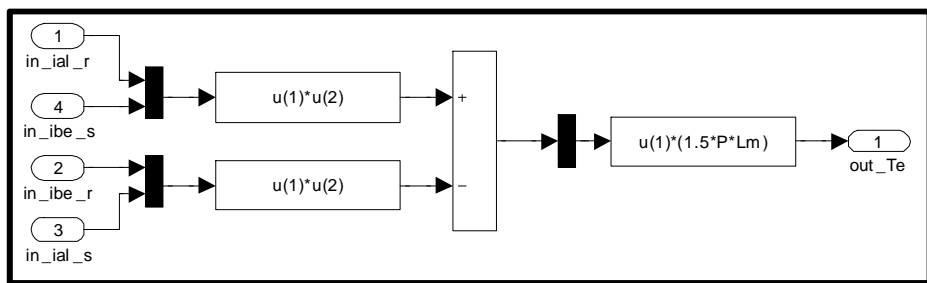
$$\dot{\psi}_{r\beta} = \int \left(\frac{L_m R_r}{L_r} i_{s\beta} - \frac{R_r}{L_r} \dot{\psi}_{r\beta} + \omega_r \psi_{r\alpha} \right) dt \quad (2-51)$$

จากสมการที่ (2-51) นำมาสร้างเป็นชุดบล็อกของฟลักซ์เชื่อมโยงที่ขดลวดโรเตอร์บนแกน β ได้ดังรูปที่ 2.9



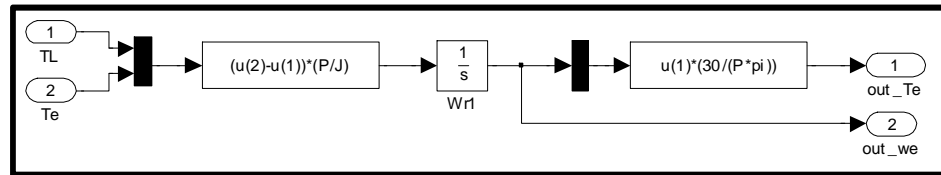
รูปที่ 2.9 ชุดบล็อกของฟลักซ์ที่โรเตอร์บนแกน β

จากสมการที่ (2-46) นำมาสร้างเป็นชุดบล็อกของแรงบิดทางไฟฟ้าได้ดังรูปที่ 2.10



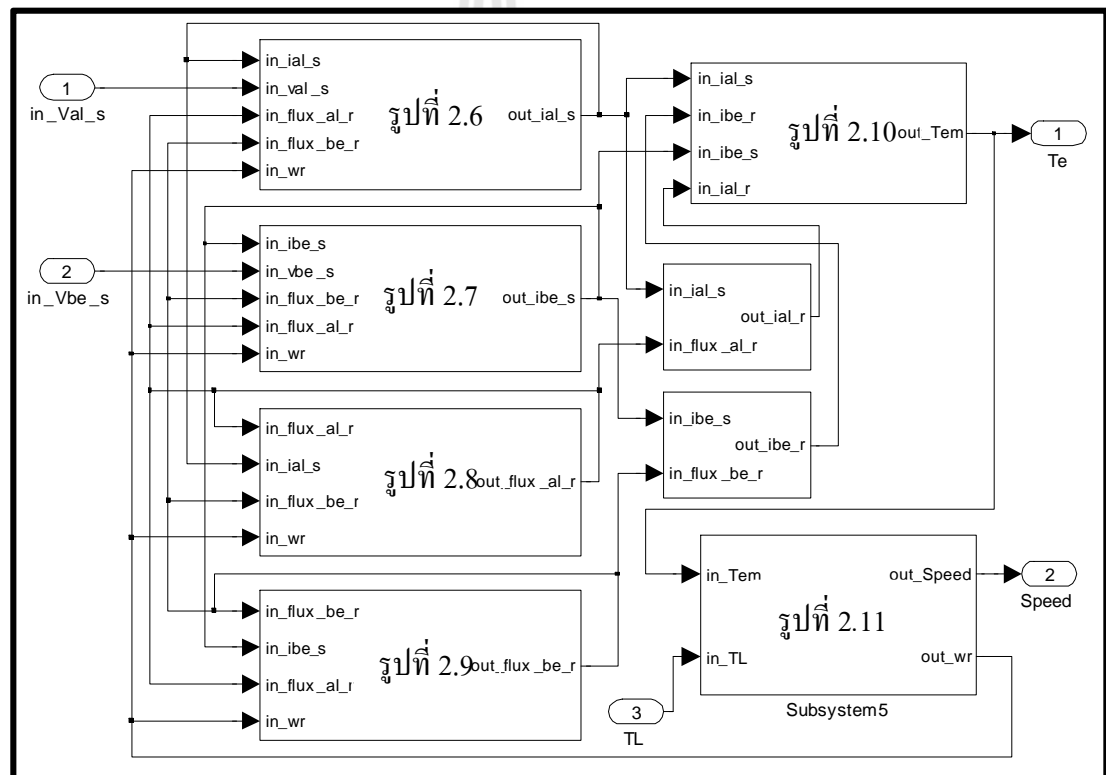
รูปที่ 2.10 บล็อกไคลอแกรมของสมการแรงบิดทางไฟฟ้าของมอเตอร์

จากสมการที่ (2-47) นำมาสร้างเป็นชุดบล็อกของความเร็วที่โรเตอร์ได้ดังรูปที่ 2.11



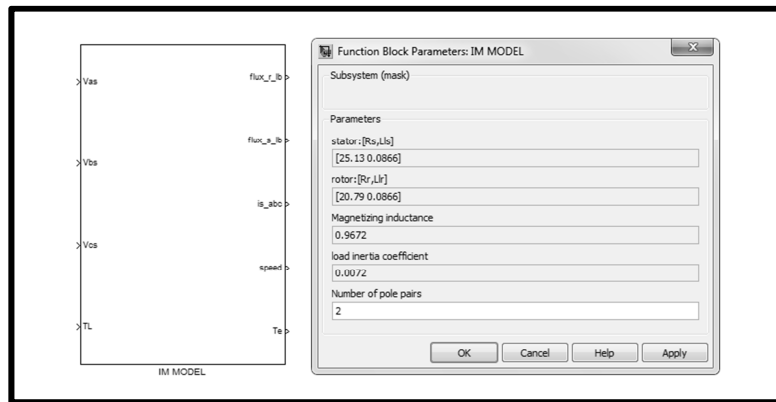
รูปที่ 2.11 บล็อกไคอะแกรมของสมการความเร็วชิงมุมที่โรเตอร์

จากรูปที่ 2.6 ถึงรูปที่ 2.11 สามารถนำมารวมเป็นชุดบล็อกไคอะแกรมของแบบจำลองทางคณิตศาสตร์ของมอเตอร์เหนี่ยวนำสามเฟสแสดงได้ดังรูปที่ 2.12



รูปที่ 2.12 ชุดบล็อกแบบจำลองสถานการณ์ทางคณิตศาสตร์ของมอเตอร์เหนี่ยวนำสามเฟส

จากรูปที่ 2.12 สามารถสร้างเป็นชุดบล็อกที่พร้อมใช้งาน แสดงได้ดังรูปที่ 2.13 ซึ่งจากแบบจำลองที่ได้สร้างขึ้นใหม่นี้สามารถป้อนค่าพารามิเตอร์โดยการดับเบิลคลิกที่ชุดบล็อกทางด้านซ้ายมือของรูปที่ 2.13 จากนั้นระบบก็จะแสดงหน้าต่างทางด้านขวาเมื่อเพื่อให้ผู้ใช้งานได้ป้อนค่าพารามิเตอร์ของมอเตอร์เหนี่ยวนำสามเฟสตามที่ต้องการจำลองสถานการณ์

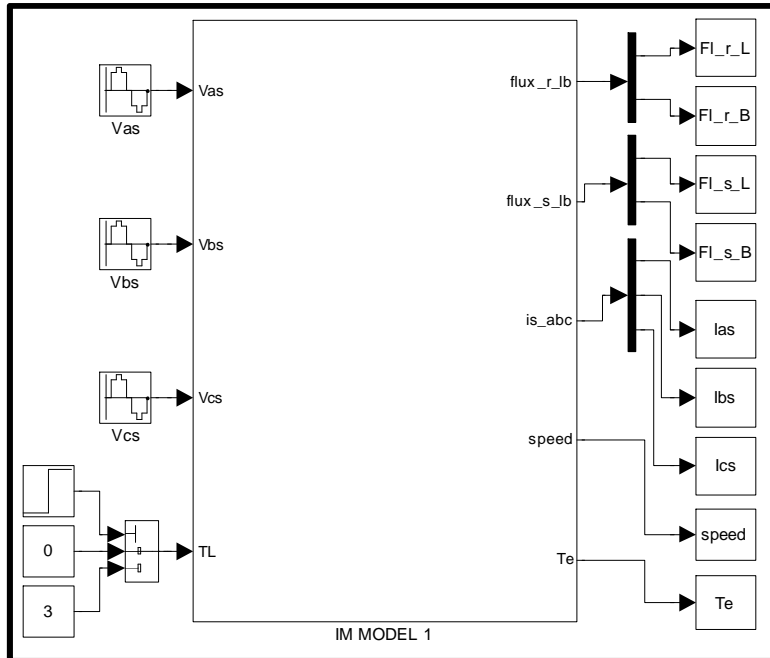


รูปที่ 2.13 แบบจำลองของ IM Model

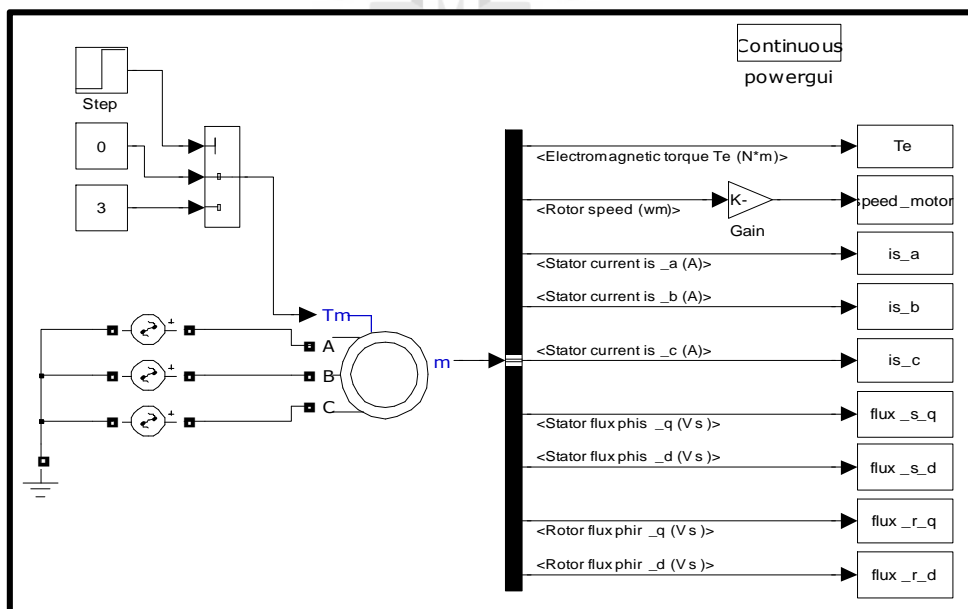
การตรวจสอบความถูกต้องของแบบจำลองทางคณิตศาสตร์ของมอเตอร์เห็นได้ยาน้ำสามเฟสจะอาศัยการจำลองสถานการณ์บนคอมพิวเตอร์ระหว่างแบบจำลองทางคณิตศาสตร์ของมอเตอร์เห็นได้ยาน้ำสามที่สร้างขึ้นใหม่ (IM Model) กับแบบจำลองทางคณิตศาสตร์ของมอเตอร์เห็นได้ยาน้ำสามเฟสบนโปรแกรม MATLAB ของชุดบล็อก SPS โดยการจำลองสถานการณ์ได้แสดงการต่อชุดบล็อกของแบบจำลองทั้งสองดังรูปที่ 2.14 และ 2.15 โดยพารามิเตอร์ที่ใช้ในการจำลองสถานการณ์จะมีค่าเท่ากันดังตารางที่ 2.1 ซึ่งเป็นค่าพารามิเตอร์ที่ได้จากการทดสอบ โดยได้แสดงวิธีการทดสอบเพื่อหาค่าพารามิเตอร์ดังกล่าวไว้ในภาคผนวก ค

ตารางที่ 2.1 พารามิเตอร์สำหรับการจำลองสถานการณ์ของแบบจำลองทั้งสอง

พารามิเตอร์	ค่า	รายละเอียด
R_s	25.13Ω	ความต้านทานของขดลวดสเตเตเตอร์
R_r	20.79Ω	ความต้านทานของขดลวดโรเตอร์ที่ข้ายมาทางฟังขดลวดสเตเตเตอร์
L_{ls}	0.0866 H	ความเหนี่ยวนำของขดลวดสเตเตเตอร์
L_{lr}	0.0866 H	ความเหนี่ยวนำของขดลวดโรเตอร์ที่ข้ายมาทางฟังขดลวดสเตเตเตอร์
L_m	0.9672 H	ความเหนี่ยวนำร่วม
J	0.0072 kg.m^2	โมเมนต์ความเร่งอย
P	4	ขั้วแม่เหล็กไฟฟ้า



รูปที่ 2.14 ชุดบล็อก IM Model

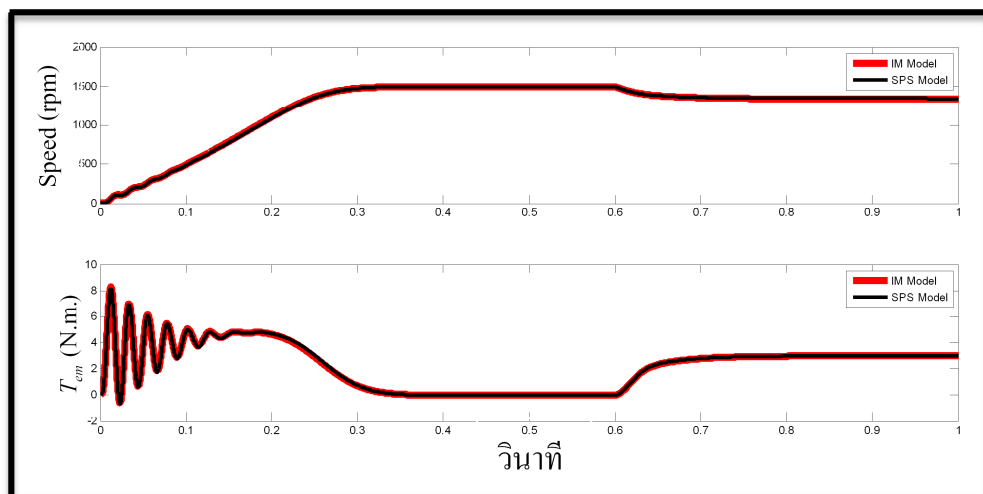


รูปที่ 2.15 แบบจำลองมอเตอร์หนี่ยวน้ำสามเฟสจากโปรแกรม MATLAB (PSB Model)

เมื่อได้กำหนดค่าพารามิเตอร์ตามที่ต้องการแล้ว ก็จะเข้าสู่ขั้นตอนของการทดสอบ เริ่มด้วยการ สตาร์ทมอเตอร์ เมื่อสังเกตเห็นว่าความเร็วของมอเตอร์เข้าสู่สภาวะคงที่ จึงได้จ่ายโหลด (T_L) เท่ากับ 3 นิวตันเมตร

ตันเมตร ที่เวลา 0.6 วินาที ให้กับมอเตอร์เพื่อคุณภาพติกรรมการทำงานของแบบจำลองทั้งสอง ผลการจำลองสถานการณ์ของแบบจำลองทั้งสองสามารถแสดงได้ดังนี้

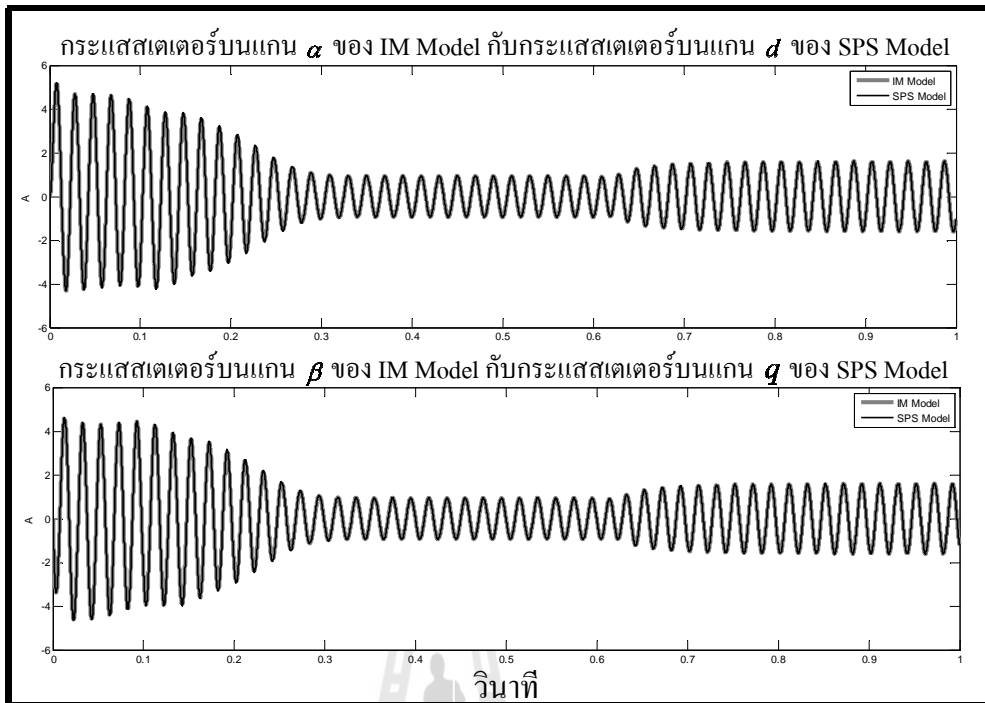
รูปที่ 2.16 ได้แสดงค่าแรงบิดทางไฟฟ้าและความเร็วของมอเตอร์เห็นได้ว่าน้ำสารเมฟเฟสพบว่าค่าที่ได้จากแบบจำลองทั้งสองที่สภาวะการทำงานต่าง ๆ มีลักษณะคล้ายตามกัน



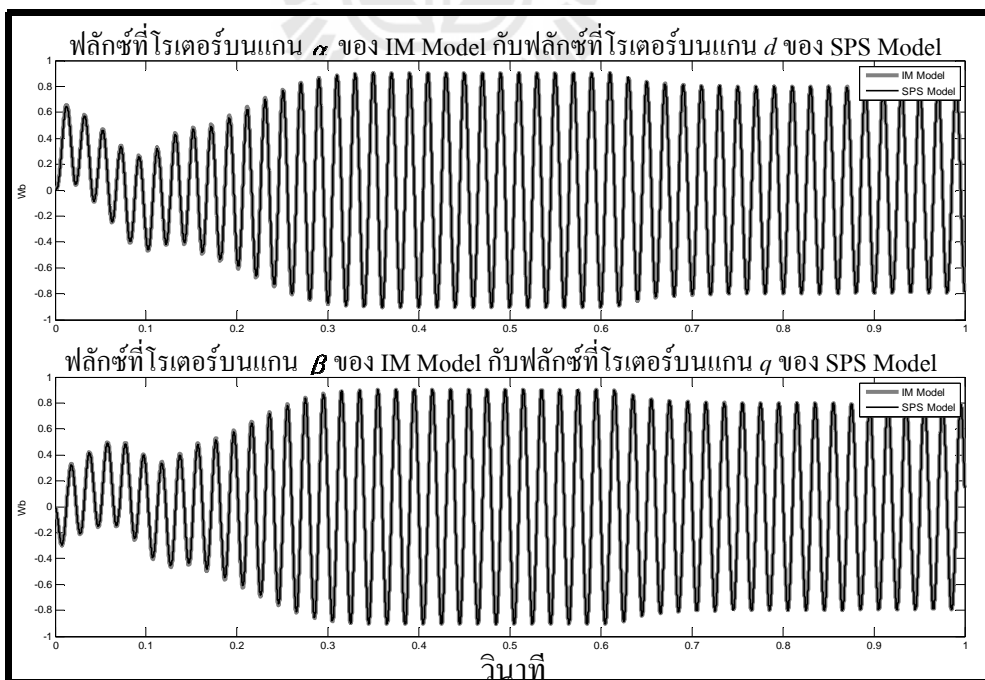
รูปที่ 2.16 ค่าความเร็วทางกล และค่า T_{em} เทียบกับเวลาตามลำดับ

รูปที่ 2.17 ได้แสดงค่ากระแสที่ขดลวดสเตเตอร์บนแกน $\alpha\beta$ ซึ่งจากการเลือกแกนหมุนหยุดนิ่งจะทำให้ค่ากระแสบนแกน α และ β ของ IM Model มีเฟสตรงกันกับค่ากระแสบนแกน d และ q ของ SPS Model ตามลำดับ และจากการจะเห็นว่าผลการตอบสนองของกระแสที่สภาวะการทำงานต่าง ๆ มีลักษณะคล้ายตามกัน รูปที่ 2.18 แสดงค่าฟลักซ์ที่ขดลวดโรเตอร์ จากผลการจำลองจะเห็นว่าค่าฟลักซ์บนแกน α และแกน β ของ IM Model จะมีเฟสตรงกันกับค่าฟลักซ์บนแกน d และ q ของ SPS Model ตามลำดับ

จากผลการจำลองสถานการณ์เพื่อตรวจสอบความถูกต้องของแบบจำลองทั้งสองดังรูปที่ 2.16 ถึงรูปที่ 2.18 แสดงให้เห็นว่าผลการตอบสนองของแบบจำลองทั้งสองมีลักษณะคล้ายตามกัน จึงสามารถอ้างได้ว่าแบบจำลองทางคณิตศาสตร์ของ IM Model ที่สร้างขึ้นใหม่นี้ สามารถนำไปจำลองการทำงานของมอเตอร์เห็นได้ว่าน้ำสารเมฟเฟสได้



รูปที่ 2.17 ค่ากระแสที่ขดลวดสเตเตอร์ของ IM Model และ SPS Model



รูปที่ 2.18 ฟลักซ์ที่ขดลวดโรเตอร์ของ IM Model และ SPS Model

2.7 สรุป

เนื้อหาในบทที่ 2 เสนอวิธีการสร้างแบบจำลองทางคณิตศาสตร์ของมอเตอร์เห็นี่ยวน้ำสามเฟส โดยแบบจำลองดังกล่าวจะสร้างอยู่บนแกน $\alpha\beta$ ซึ่งได้ใช้องค์ความรู้ของการแปลงแกนทั้งการแปลงแบบคลาร์กและการแปลงแบบปาร์ค โดยในขั้นต้น ผู้วิจัยได้ใช้การแปลงแบบปาร์คเพื่อแปลงสมการทางไฟฟ้าของมอเตอร์ที่ยังเป็นปริมาณสามเฟสไปเป็นปริมาณสองเฟสที่อยู่บนแกนหมุน โดยรายละเอียดของการสร้างแบบจำลองได้นำเสนอไว้ในบทนี้ ผลการตรวจความถูกต้องของแบบจำลองดังกล่าวถือว่าเป็นแบบจำลองที่มีความถูกต้องแม่นยำ สามารถนำไปจำลองสถานการณ์เพื่อศูนย์ติดตามการทำงานของมอเตอร์เห็นี่ยวน้ำสามเฟสได้จริง อีกทั้งสมการทางไฟฟ้าของมอเตอร์เห็นี่ยวน้ำสามเฟสบนแกน dq ที่แกนหมุนได ๆ ยังสามารถนำไปใช้สำหรับการออกแบบระบบควบคุมแบบเวกเตอร์ทางอ้อมดังที่จะกล่าวในบทต่อไป

บทที่ 3

การควบคุมความเร็วรอบแบบเวกเตอร์ทางอ้อม

3.1 บทนำ

การควบคุมมอเตอร์เน็นี่ขวนำสามเฟสด้วยวิธีการควบคุมแบบสเกลาร์ได้มีการใช้งานอย่างแพร่หลายโดยมีแรงดัน กระแส และความถี่เป็นตัวแปรพื้นฐานสำหรับการควบคุมความเร็วของมอเตอร์ ซึ่งมีข้อดีคือ สามารถใช้ได้กับมอเตอร์ทั่วๆ ไปได้ โดยที่ไม่ต้องทราบข้อมูลพารามิเตอร์ภายใน แต่มีข้อเสียคือ ไม่สามารถควบคุมแรงบิดได้โดยตรง ในบทนี้จึงได้นำเสนอวิธีการควบคุมที่ต่างจากไปคือ การควบคุมแบบเวกเตอร์ ซึ่งมีข้อดีคือ สามารถควบคุมแรงบิดของมอเตอร์ได้โดยตรง (R.K Tripathi, 2012) โดยมีทั้งการควบคุมแบบเวกเตอร์ทางตรงและการควบคุมแบบเวกเตอร์ทางอ้อม งานวิจัยที่น่าสนใจนี้ ได้เลือกพิจารณาเฉพาะการควบคุมแบบเวกเตอร์ทางอ้อม เนื่องจากการควบคุมด้วยวิธีดังกล่าวไม่ต้องใช้เครื่องมือวัดฟลักซ์ที่ซ่อนว่าง่ากสกุลแม่ย้อนกับการควบคุมแบบเวกเตอร์ทางตรง (K.S. Gaeid, H.W. Ping, H.A.F. Mohamed, 2009) ซึ่งมีความยุ่งยากในเรื่องของการติดตั้ง เครื่องมือวัดฟลักซ์ อีกทั้งเครื่องมือวัดฟลักซ์ที่ซ่อนว่าง่ากสกุลแม่ย้อนกับการควบคุมแบบเวกเตอร์ทางอ้อมซึ่งจะใช้การประมวลผลลิป (slip) เพื่อใช้ในการควบคุม และเพื่อความสะดวกต่อการทำความเข้าใจระบบควบคุม จึงได้ทำการจำลองสถานการณ์ การทำงานของระบบควบคุมดังกล่าว บนคอมพิวเตอร์ด้วยโปรแกรม MATLAB ซึ่งสามารถนำไปเป็นแนวทางในการสร้างชุดควบคุมจริงต่อไป

3.2 การควบคุมแบบเวกเตอร์

การควบคุมแบบเวกเตอร์ (vector control) หรือเรียกอีกอย่างคือการควบคุมแบบฟิลด์อ่อน-เรียนเต็ด (Field Oriented Control) คือวิธีควบคุมความเร็วรอบของมอเตอร์เน็นี่ขวนำสามเฟส ที่พัฒนามาจาก การควบคุมแบบแรงดันต่อความถี่คงที่ โดยอาศัยวิธีผสมผสานหลักการเลียนแบบการควบคุมความเร็ว ของมอเตอร์กระแสตรงชนิดคลัวดกระดับแยก (Separated Exciting) ซึ่งใช้แบบจำลองทางคณิตศาสตร์ คำนวณอยู่บนแกนอ้างอิงที่หมุนไปพร้อมๆ กับฟลักซ์เวกเตอร์ทางด้านโกรเตอร์ ให้มาอยู่ในรูปเทียนเคียง กับมอเตอร์กระแสตรง ในอดีตการควบคุมแบบเวกเตอร์นั้นใช้อุปกรณ์อนาคตในการควบคุม จึงทำให้มี ความตื้นเป็นอย่างมาก ทำให้ระยะแรกๆ การควบคุมแบบเวกเตอร์จึงไม่เป็นที่นิยม ต่อมาก็ได้มีการพัฒนา ไมโครคอนโทรลเลอร์ที่มีความเร็วสูง และอุปกรณ์อิเล็กทรอนิกส์มีราคาถูกลง ทำให้การควบคุมแบบ เวกเตอร์มีราคาถูกลง ใกล้เคียงกับการควบคุมแบบแรงดันต่อความถี่คงที่ จากที่ได้กล่าวมาแล้ว

ข้างต้น หากจะทำความเข้าใจวิธีการควบคุมแบบเวกเตอร์จะต้องเข้าใจหลักการทำงานของมอเตอร์กระแสตรงชนิดกระแสตุ้นแยกก่อน ซึ่งมีรายละเอียดดังนี้

การควบคุมความเร็วของมอเตอร์กระแสตรงชนิดกระแสตุ้นแยกมีอยู่สองวิธี คือ 1) การควบคุมปริมาณทางสนามแม่เหล็กจากชุดขดลวดสนามและ 2) การควบคุมปริมาณสนามแม่เหล็กจากชุดขดลวดอาร์เมเจอร์

การควบคุมปริมาณสนามแม่เหล็กจากชุดขดลวดสนาม สามารถทำได้โดยควบคุมปริมาณกระแสที่นำไปสร้างสนามแม่เหล็กคือ I_F โดยองค์ประกอบของสนามแม่เหล็ก I_F นี้ จะขึ้นอยู่กับขดลวดสเตเตอร์ที่ใช้สร้างสนามแม่เหล็กเป็นหลัก

ส่วนกระแสอาร์เมเจอร์ (I_a) คือกระแสที่นำไปสร้างสนามแม่เหล็กรอบขดลวดอาร์เมเจอร์ องค์ประกอบของสนามแม่เหล็กนี้จึงเกิดขึ้นโดยรอบของขดลวด สเตเตอร์โดยมีทิศทางของสนามแม่เหล็กตั้งฉากกับสนามแม่เหล็กหลักหรือ I_F

การควบคุมความเร็วของมอเตอร์กระแสตรงนี้ ทำได้ง่าย ๆ คือ ให้กระแส I_F มีค่าคงที่ และเมื่อต้องการเปลี่ยนแปลงความเร็วหรือเปลี่ยนแปลงแรงบิด ก็จะมาควบคุมที่ I_a เป็นหลัก ถ้ามีการทำงานที่ความเร็วเกินพิกัดของมอเตอร์ ถึงจะทำการลด I_F ลงในสภาวะการทำงานปกติ I_F จะถูกตั้งไว้ให้คงที่ตามพิกัดของมอเตอร์ และจะควบคุมเพียงแค่ I_a เท่านั้น ซึ่งจะมีค่ามากหรือน้อยขึ้นอยู่กับอัตราการเร่งของมอเตอร์และแรงบิดของโหลดที่ต้องการ จึงง่ายต่อการควบคุมไม่ซับซ้อนเหมือนกับการควบคุมมอเตอร์เนี้ยวนำสามเฟส

จากการควบคุมดังกล่าวจึงเป็นที่มาของการควบคุมแบบเวกเตอร์ที่ได้เลียนแบบแนวความคิดและวิธีของการควบคุมความเร็วของมอเตอร์กระแสตรง กล่าวคือ ให้มองภาพสนามแม่เหล็กและวิธีการควบคุมแยกออกเป็นสองส่วนคือ

1. ส่วนที่เป็นองค์ประกอบของแกน d หรือที่เรียกว่า i_d ทำหน้าที่ควบคุมความเร็วของสนามแม่เหล็กบนแกน d โดยปกติจะถูกกำหนดให้เป็นค่าคงที่ ยกเว้นมอเตอร์หมุนที่ความเร็วเกินพิกัด

2. ส่วนที่เป็นองค์ประกอบของแกน q หรือที่เรียกว่า i_q ทำหน้าที่เหมือนกับ I_a ของการควบคุมความเร็วของมอเตอร์กระแสตรง โดยที่ i_q จะมีค่ามากหรือน้อยขึ้นอยู่กับอัตราการเร่งและแรงบิดที่เกิดจากโหลด ดังนั้น เมื่อมีการเปลี่ยนแปลงความเร็วและเมื่อเพิ่มหรือลดโหลดทางกลก็จะไปปรับที่กระแส i_q โดยตรง

จากที่ได้กล่าวไว้แล้วข้างต้น ถึงวิธีการควบคุมความเร็วของมอเตอร์กระแสตรงซึ่งสามารถควบคุมแรงบิดได้โดยตรงเมื่อพิจารณาจากสมการที่ (3-1)

$$T_{em} = K(I_a \times I_F) \quad (3-1)$$

การควบคุมฟลักซ์ทำได้โดยการปรับกระแสสนาม (I_F) และการควบคุมแรงบิดทำได้โดยการปรับกระแสอาร์เมเจอร์ (I_a) ซึ่งเป็นอิสระจากกันกับกระแสสนาม

การควบคุมความเร็วของเตอร์เหนี่ยวนำสามเฟสสำหรับการควบคุมแบบเวกเตอร์จึงต้องแปลงปริมาณสามเฟสให้อยู่บนแกน d และแกน q เพราะการควบคุมจะใช้หลักการเดียวกันกับมอเตอร์กระแสตรง ดังนั้น รูปแบบสมการของมอเตอร์เหนี่ยวนำสามเฟสจึงถูกแปลงให้อยู่บนแกน d และ q ดังนั้น เพื่อสะดวกในการนำไปใช้ออกแบบตัวควบคุมจากความรู้ในบทที่ 2 สามารถแสดงสมการแรงดันที่ขดลวดสเตเตอเร่ สมการแรงดันที่ขดลวดโรเตอเร่ สมการฟลักซ์เชื่อมโยงที่ขดลวดสเตเตอเร่และขดลวดโรเตอเร่ และสมการแรงบิดของมอเตอร์ที่ถูกแปลงมาอยู่บนแกน d และแกน q ได้ดังนี้

$$v_{ds} = R_s i_{ds} - \omega_s \psi_{qs} + \frac{d}{dt} \psi_{ds} \quad (3-2)$$

$$v_{qs} = R_s i_{qs} + \omega_s \psi_{ds} + \frac{d}{dt} \psi_{qs} \quad (3-3)$$

$$\dot{v}_{dr} = 0 = R_r \dot{i}_{dr} - (\omega_s - \omega_r) \psi_{qr} + \frac{d}{dt} \psi_{dr} \quad (3-4)$$

$$\dot{v}_{qr} = 0 = R_r \dot{i}_{qr} + (\omega_s - \omega_r) \psi_{dr} + \frac{d}{dt} \psi_{qr} \quad (3-5)$$

$$\psi_{ds} = L_s i_{ds} + L_m \dot{i}_{dr} \quad (3-6)$$

$$\psi_{qs} = L_s i_{qs} + L_m \dot{i}_{qr} \quad (3-7)$$

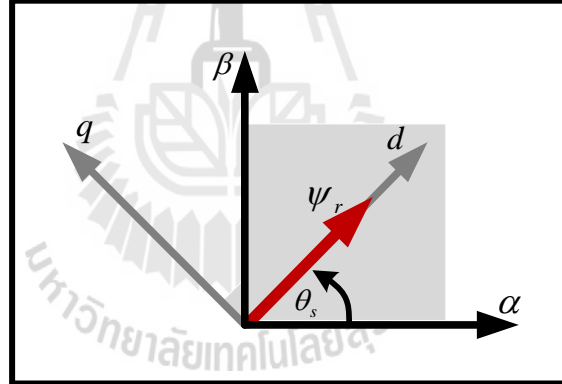
$$\dot{\psi}_{dr} = L_r \dot{i}_{dr} + L_m i_{ds} \quad (3-8)$$

$$\dot{\psi}_{qr} = L_r \dot{i}_{qr} + L_m i_{qs} \quad (3-9)$$

$$\begin{aligned} T_{em} &= \left(\frac{3}{2} \right) \left(\frac{P}{2} \right) (\psi_{ds} i_{qs} - \psi_{qs} i_{ds}) \\ &= \left(\frac{3}{2} \right) \left(\frac{P}{2} \right) (\psi_{qr} \dot{i}_{dr} - \psi_{dr} \dot{i}_{qr}) \\ &= \left(\frac{3}{2} \right) \left(\frac{P}{2} \right) L_m (i_{dr} \dot{i}_{qs} - \dot{i}_{qr} i_{ds}) \end{aligned} \quad (3-10)$$

เมื่อพิจารณาสมการที่ (3-4) และสมการที่ (3-5) จะพบว่าแรงดันที่โรเตอร์ทั้งบนแกน d และแกน q จะมีค่าเป็นศูนย์ เนื่องจากโครงสร้างของมอเตอร์กระแสสลับสามเฟสที่นำแนวเคราะห์เป็นแบบกรุงกระรอกซึ่งประกอบด้วยเท่ตัวนำทางเรียงกันโดยคั่นกลางด้วยชั้นและที่ปลายทั้งสองข้างจะถูกเชื่อมเข้าด้วยกันกับวงแหวนจึงทำให้เกิดการลัดวงจรขึ้นที่ขดลวดฟังก์ชันที่โรเตอร์แรงดันที่โรเตอร์จึงมีค่าเป็นศูนย์

โดยทั่วไปวิธีการควบคุมแรงบิดของมอเตอร์เหนี่ยวนำสามเฟส จะไม่เหมือนการควบคุมแรงบิดของเครื่องจักรกลกระแสตรง แต่ในการควบคุมนี้จะใช้หลักการของมอเตอร์กระแสตรงโดยกระแสสามเฟสเหล็ก (i_d) ที่ขดลวดสเตเตอร์ของมอเตอร์เหนี่ยวนำสามเฟสจะกำหนดให้ทำงานเหมือนกันกับกระแสของขดลวดสนามในมอเตอร์กระแสตรง โดยการเลือกแกนหมุนให้หมุนที่ความเร็วซึ่งโครงน้ำจะทำให้แกน d มีการหมุนอยู่บนแกนของฟลักซ์เชื่อมโดยของขดลวดโรเตอร์และองค์ประกอบของแกน q ของฟลักซ์เชื่อมโดยที่ขดลวดโรเตอร์ (ψ_{qr}) จะมีค่าเป็นศูนย์แสดงได้ดังรูปที่ 3.1 ซึ่งเป็นหลักการของการควบคุมแบบฟิลด์อิริยาบถเดี่ยว รายละเอียดการพิสูจน์ที่มาของรูปที่ 3.1 ได้แสดงไว้ในภาคผนวก ข



รูปที่ 3.1 ค่าฟลักซ์ของโรเตอร์เมื่อใช้หลักการควบคุมแบบฟิลด์อิริยาบถเดี่ยว

รูปที่ 3.1 เมื่อ ψ_{qr} เท่ากับศูนย์สามารถเขียนสมการฟลักซ์เชื่อมโดยที่โรเตอร์บนแกน q ในสมการที่ (3-9) ได้ใหม่เป็น

$$\dot{\psi}_{qr} = L_{lr} \dot{i}_{qr} + L_m (i_{qs} + i_{qr}) = L_r \dot{i}_{qr} + L_m i_{qs} = 0 \quad (3-11)$$

จากสมการที่ (3-11) กระแสโรเตอร์บนแกน q คำนวณได้ดังนี้

$$\dot{i}_{qr} = -\frac{L_m}{L_r} i_{qs} \quad (3-12)$$

และเมื่อพิจารณาสมการแรงบิดทางไฟฟ้าของมอเตอร์เห็นว่าในสมการที่ (3-10) โดยที่ค่า ψ_{qr} เท่ากับศูนย์จะได้ว่า

$$T_{em} = \frac{3}{2} \frac{P}{2} \left(\underbrace{\psi_{qr} i_{dr}}_0 - \psi_{dr} i_{qr} \right) \quad (3-13)$$

$$T_{em} = -\frac{3}{2} \frac{P}{2} \psi_{dr} i_{qr} \quad (3-14)$$

แทนค่า i_{qr} จากสมการที่ (3-12) ลงในสมการที่ (3-14) สมการแรงบิดทางไฟฟ้าสามารถเขียนใหม่ได้ดังสมการที่ (3-15)

$$T_{em} = \frac{3}{2} \frac{P}{2} \frac{L_m}{L_r} \psi_{dr} i_{qs} \quad (3-15)$$

จากสมการที่ (3-15) แสดงให้เห็นว่าค่า T_{em} จะขึ้นอยู่กับ ψ_{dr} และ i_{qs} ถ้า ψ_{dr} ถูกควบคุมให้คงที่ได้ ค่า T_{em} จะขึ้นอยู่กับ i_{qs} เท่านั้น

เมื่อ ψ_{qr} มีค่าเท่ากับศูนย์ตามหลักของการควบคุมแบบฟิลเตอร์เรียนเต็มจะทำให้ $\frac{d}{dt} \psi_{qr}$ มีค่าเป็นศูนย์ซึ่งในกรณีนี้ เมื่อแทนค่า $\frac{d}{dt} \psi_{qr}$ ที่มีค่าเป็นศูนย์ลงในสมการ (3-5) จะได้

$$R_r i_{qr} + (\omega_e - \omega_r) \psi_{dr} = 0 \quad (3-16)$$

จากสมการที่ (3-16) จัดรูปได้ใหม่เป็น

$$\omega_e - \omega_r = -\frac{R_r i_{qr}}{\psi_{dr}} \quad (3-17)$$

แทนค่า i_{qr} จากสมการที่ (3-12) ลงในสมการที่ (3-17) ได้เป็น

$$\omega_e - \omega_r = \frac{R_r}{L_r} \frac{L_m}{\psi_{dr}} i_{qs} \quad (3-18)$$

ถ้า ψ_{dr}^+ คงที่ไม่เปลี่ยนแปลงจะทำให้ $\frac{d}{dt}\psi_{dr}^+$ มีค่าเป็นศูนย์และ ψ_{qr}^+ ก็มีค่าเป็นศูนย์ตามเงื่อนไขของการควบคุมแบบฟิลด์อิเล็กทรอนิกส์ดังนี้ สมการแรงดันของขดลวดโรเตอร์บนแกน d ในสมการที่ (3-4) สามารถเขียนใหม่ได้เป็นสมการที่ (3-19) ดังนี้

$$R_r i_{dr}^+ = 0 \quad (3-19)$$

จากสมการที่ (3-19) ทำให้ทราบว่า i_{dr}^+ มีค่าเท่ากับศูนย์เสมอเมื่อทำการควบคุมแบบฟิลด์อิเล็กทรอนิกส์ดังนั้นค่าฟลักซ์เขื่อนโบงที่โรเตอร์บนแกน d ในสมการที่ (3-8) เปลี่ยนใหม่ได้ดังสมการที่ (3-20)

$$\psi_{dr}^+ = L_m i_{ds} \quad (3-20)$$

จากสมการที่ (3-20) เมื่อใช้การควบคุมแบบฟิลด์อิเล็กทรอนิกส์แสดงให้เห็นว่าฟลักซ์ ψ_{dr}^+ จะขึ้นอยู่กับค่า i_{ds} เท่านั้น ลำดับต่อมาแทนค่า ψ_{dr}^+ จากสมการที่ (3-20) ลงในสมการที่ (3-18) ค่า ω_{sl} สามารถคำนวณได้ดังนี้

$$\omega_{sl} = \omega_e - \omega_r = \frac{R_r}{L_r} \frac{L_m}{L_m} \frac{i_{qs}}{i_{ds}} = \frac{i_{qs}}{\tau_r i_{ds}} \quad (3-21)$$

$$\text{เมื่อ } \tau_r = \frac{L_r}{R_r}$$

แทนค่า ψ_{dr}^+ จากสมการที่ (3-20) ลงในสมการที่ (3-15) สมการแรงบิด T_{em} สามารถเขียนใหม่ได้ใหม่ดังสมการที่ (3-22) ดังนี้

$$T_{em} = K_T i_{ds} i_{qs} \quad (3-22)$$

$$\text{เมื่อ } K_T = \frac{3}{2} \frac{P}{2} \frac{L_m^2}{L_r}$$

จากเงื่อนไขของการควบคุมแบบฟิลด์อิเล็กทรอนิกส์ได้แสดงให้เห็นว่าใช้หลักการเดียวกันกับการควบคุมความเร็วของมอเตอร์กระแสตรงชนิดกระตุ้นแยก การควบคุมแบบฟิลด์อิเล็กทรอนิกส์ดังนี้แกนหมุนจะถูกกำหนดให้หมุนที่ความเร็วซิงโครนัส ซึ่งจะทำให้การควบคุมฟลักซ์อยู่บนแกน

d เท่ากับ ส่วนฟลักช์บันแกน q มีค่าเป็นศูนย์ จากเงื่อนไขดังกล่าวจึงทำให้ได้สมการแรงบิด T_{em} ในสมการที่ (3-15) มีลักษณะของสมการที่เหมือนกันกับสมการแรงบิดของมอเตอร์กระแสตรงดังนี้ การควบคุมแบบฟลักซ์อิเล็กทรอนิกส์สามารถใช้หลักการควบคุมของมอเตอร์กระแสตรงชนิดกระตุ้นแยกได้ และจากสมการที่ (3-15) เมื่อการควบคุมฟลักซ์ของมอเตอร์ถูกควบคุมอยู่บนแกน d เท่านั้น จึงทำให้การควบคุมแรงบิดของมอเตอร์อยู่บนแกน q

3.3 การควบคุมแบบฟลักซ์อิเล็กทรอนิกส์และการควบคุมแบบเวกเตอร์ทางอ้อม

จากหัวข้อที่ 3.2 แสดงให้เห็นว่าการควบคุมแบบฟลักซ์อิเล็กทรอนิกส์มีหลักการสำคัญของการควบคุมคือสามารถควบคุมฟลักซ์และแรงบิดของมอเตอร์ได้ ซึ่งการควบคุมแบบฟลักซ์อิเล็กทรอนิกส์สามารถแบ่งย่อยออกได้เป็นสองวิธีคือ การควบคุมแบบเวกเตอร์ทางตรง มีข้อด้อยคือเมื่อมอเตอร์หมุนที่ความเร็วต่ำ ๆ การใช้เครื่องมือวัดฟลักซ์โดยตรง ไม่สามารถให้ประสิทธิภาพของการควบคุมที่ดีได้ (C. Krause, 2013) ดังนั้น จึงมีอิทธิพลต่อการควบคุมแบบเวกเตอร์ทางอ้อม ซึ่งไม่ต้องใช้เครื่องมือวัดฟลักซ์ที่ช่องว่างอากาศ แต่จะใช้เงื่อนไขของสมการที่ (3-21) และสมการที่ (3-22) มาเป็นโครงสร้างสำหรับระบบควบคุมแบบเวกเตอร์ทางอ้อม จากเงื่อนไขของการควบคุมแบบฟลักซ์-อิเล็กทรอนิกส์ เมื่อพิจารณาสมการที่ (3-22) จะเห็นว่าการควบคุมแรงบิดของมอเตอร์จะถูกควบคุมด้วยกระแส i_{qs}^* เป็นหลัก และในส่วนของการควบคุมฟลักซ์จะถูกควบคุมด้วยกระแส i_{ds}^* โดยสมการดังกล่าวถือเป็นหัวใจสำคัญของการควบคุมแบบฟลักซ์อิเล็กทรอนิกส์ ในการควบคุมแบบฟลักซ์-อิเล็กทรอนิกส์เดียวกันนี้ ในการทำงานของกระแส i_{qs}^* และ i_{ds}^* จะมีค่าแปรตามกระแส i_{qs} และ i_{ds} เร็วมาก เนื่องจากมีค่าเบนเดวิตท์ของการควบคุมที่สูง ดังนั้น สมการการคำนวณค่าสลิปในสมการที่ (3-21) สามารถคำนวณได้โดยตรงจากค่า i_{qs}^* และ i_{ds}^* ดังสมการที่ (3-23)

$$\omega_{sl} = \frac{i_{qs}^*}{\tau_r i_{ds}^*} \quad (3-23)$$

การควบคุมแบบเวกเตอร์ทางอ้อมจะใช้มุนในการหมุนที่ความเร็วซิงโกรนัส (θ_e) ซึ่งถือเป็นหลักสำคัญของการควบคุมชนิดนี้ เนื่องจากต้องใช้มุนดังกล่าวสำหรับแปลงแกน abc ให้อยู่บนแกน dq ซึ่งจะทำให้การควบคุมฟลักซ์อยู่บนแกน d และการควบคุมแรงบิดจะอยู่บนแกน q ในการแปลงกลับจากแกน dq ให้อยู่บนแกน abc ของระบบการควบคุมดังกล่าวก็จะใช้มุนของการแปลงกลับหมุนที่ความเร็วซิงโกรนัสเข่นเดิม โดยในการคำนวณมุนของการหมุนที่ความเร็วซิงโกรนัสสามารถคำนวณได้จากการคำนวณที่ (3-24) ซึ่งสังเกตได้ว่าการคำนวณค่ามุนที่ความเร็วซิงโกรนัสจะใช้ความเร็วซิงมุนของโรเตอร์ซึ่งสามารถวัดได้โดยตรงจากอิมพีเดกเตอร์และความเร็วเชิงมุนของสลิปได้จากการประมาณในสมการที่ (3-23) จากสมการการประมาณค่าสลิปจะเห็นว่ามีการใช้ค่าคงที่ทางเวลาผ่านชุดควบคุมโรเตอร์ซึ่งต้องใช้

ค่าพารามิเตอร์ R_r และ L_r ในการคำนวณ ทำให้พารามิเตอร์ดังกล่าวมีความสำคัญอย่างมากสำหรับการควบคุมแบบเวกเตอร์ทางอ้อม โดยถ้าค่าพารามิเตอร์ที่ใช้มีความถูกต้องตามความเป็นจริง จะทำให้มุ่งในการหมุนที่ความเร็วซึ่งโกรนัสที่ได้จากการคำนวณมีความถูกไปด้วย ส่งผลให้การควบคุมแบบเวกเตอร์ทางอ้อมทำงานได้อย่างมีประสิทธิภาพเพิ่มมากขึ้น

$$\theta_s = \int \omega_e dt = \int (\omega_r + \omega_{sl}) dt = \int \left(\omega_r + \frac{i_{qs}^*}{\tau_r i_{ds}^*} \right) dt \quad (3-24)$$

โครงสร้างของการควบคุมแบบเวกเตอร์ทางอ้อมแสดงได้ดังรูปที่ 3.2 จากรูปในส่วนของแหล่งจ่ายไฟฟ้ากระแสตรงเพื่อป้อนเป็นอินพุตให้กับอินเวอร์เตอร์จะใช้แหล่งจ่ายไฟฟ้ากระแสสลับสามเฟสหรือแหล่งจ่ายไฟฟ้ากระแสสลับเฟสเดียวที่ได้ เพื่อต่อเข้าวงจรเรียงกระแสแปลงจากไฟฟ้ากระแสสลับเป็นไฟฟ้ากระแสตรง ทั้งนี้ในการเลือกแหล่งจ่ายไฟฟ้ากระแสสลับว่าจะเป็นแหล่งจ่ายสามเฟสหรือเฟสเดียวขึ้นอยู่กับพิกัดแรงดันของมอเตอร์เห็นี่ยาน้ำสามเฟสที่จะนำมาควบคุม โดยถ้าใช้เป็นแหล่งจ่ายไฟฟ้ากระแสสลับสามเฟสเมื่อแปลงเป็นไฟฟ้ากระแสตรงจะได้แรงดันไฟฟ้าทางด้านเอาต์พุตประมาณ 537 V (แรงดันไฟฟ้าต่อเฟสอยู่ที่ 220 V_{ms}) และถ้าแหล่งจ่ายไฟฟ้ากระแสสลับเฟสเดียวเมื่อแปลงเป็นไฟฟ้ากระแสตรงจะได้แรงดันทางด้านเอาต์พุตประมาณ 310 V ซึ่งถ้าพิกัดแรงดันของมอเตอร์เห็นี่ยาน้ำสามเฟสที่นำมาควบคุมอยู่ที่ 380 V_{LL} ก็ควรที่จะใช้แหล่งจ่ายไฟฟ้าเป็นกระแสสลับสามเฟส แต่ถ้าพิกัดแรงดันของมอเตอร์เห็นี่ยาน้ำสามเฟสที่นำมาควบคุมอยู่ที่ 220 V_{LL} ก็สามารถใช้แหล่งจ่ายไฟฟ้ากระแสสลับสามเฟสหรือแหล่งจ่ายไฟฟ้ากระแสสลับเฟสเดียวที่ได้

โครงสร้างของการควบคุมแบบเวกเตอร์ทางอ้อมจะมีการส่งค่ากลับอยู่ 4 ค่า คือกระแสที่ขัดลาดสเกเตอร์ i_{as} i_{bs} และ i_{cs} เพื่อใช้สำหรับการควบคุมกระแส ส่วนอีกค่าคือความเร็วรอบของมอเตอร์หรือความเร็วเชิงมุมของโรเตอร์ (ω_r) โดยจากรูปที่ 3.2 การตรวจวัดค่าความเร็วรอบของมอเตอร์จะใช้เครื่องมือตรวจวัดที่มีสัญญาณเอาต์พุตเป็นพลัสด์ (Pulse) โดยความถี่ของสัญญาณพลัสด์จะขึ้นอยู่กับความเร็วของมอเตอร์ จากหลักการดังกล่าว จึงได้แปลงสัญญาณพลัสด์ที่ความถี่ต่าง ๆ เป็นแรงดันโดยใช้วงจรแปลงความถี่เป็นแรงดัน (f to v convertor) และได้กำหนดค่าแรงดันดังกล่าวให้เป็นเกณฑ์ในการอ่านค่าความเร็วของมอเตอร์ โดยการสร้างชุดตรวจวัดความเร็วรอบได้อธิบายไว้ในบทที่ 5 การสร้างชุดตรวจวัดกระแสสเกเตอร์ทั้งสามเฟส การสร้างวงจรเรียงกระแสและ การสร้างอินเวอร์เตอร์สามเฟสได้แสดงไว้ในบทที่ 6

การควบคุมความเร็วรอบแบบเวกเตอร์ทางอ้อมจะมีตัวควบคุมอยู่สามชุดด้วยกัน คือ ตัวควบคุมลูปควบคุมความเร็วหนึ่งชุดและตัวควบคุมลูปควบคุมกระแสสองชุด โดยจะกล่าวถึงส่วนของลูปควบคุมความเร็ว ก่อน จากรูปที่ 3.2 ในลูปควบคุมความเร็ว การกำหนดความเร็วของมอเตอร์จะกำหนดในรูปของความเร็วเชิงมุม (ω_r^*) ลบกับค่าความเร็วเชิงมุมที่วัดได้ (ω_r) ซึ่งจะได้ค่าความผิดพลาดสั่งไปยังตัวควบคุมพีไอที่ทำงานควบคู่ไปกับตัวแอนติวินดอป (anti-windup) (J. Espina, A. Arias J. Balcells, C. Ortega, 2009)

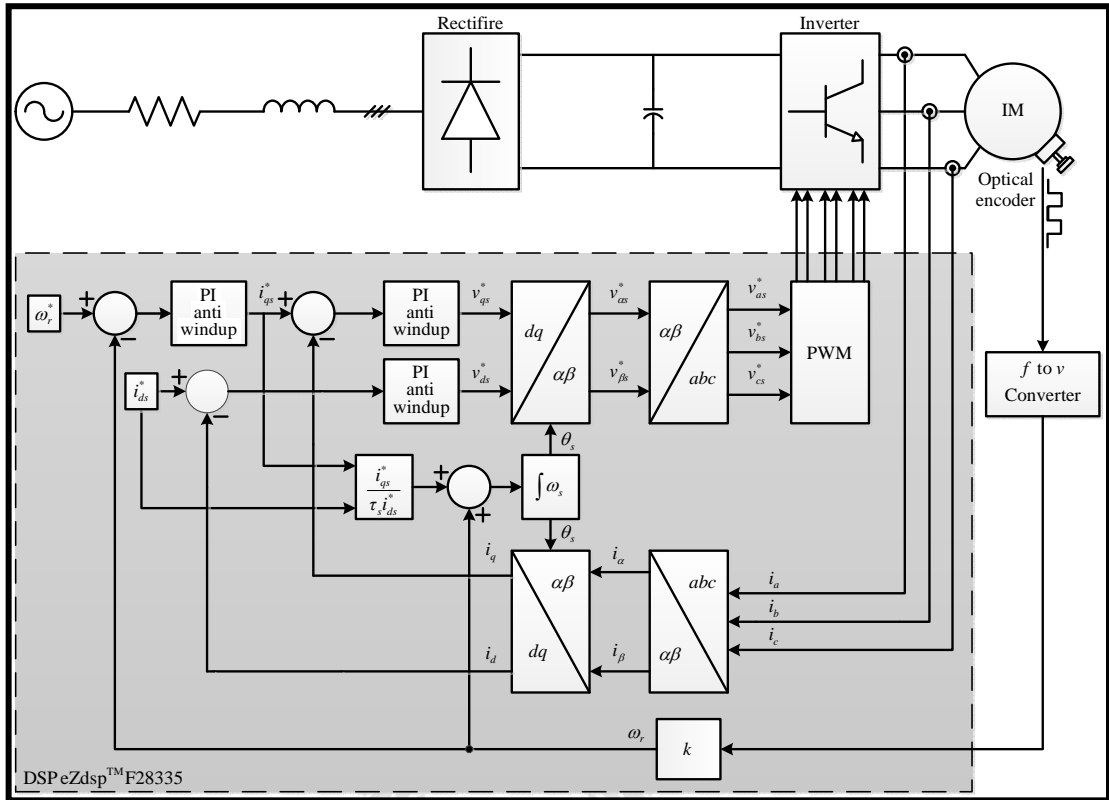
โดยแอนติวินอพจะทำหน้าที่ควบคุมไม่ให้กระแส i_{qs}^* เกินพิกัด จากตัวควบคุมพีไอของลูปความเร็วจะได้ค่ากระแส i_{qs}^* ต่ำมากค่าถึงส่วนของลูปควบคุมกระแสซึ่งมีการควบคุมอยู่บนแกน d และแกน q จากรูปที่ 3.2 ได้มีการส่งกลับค่ากระแส i_{as} i_{bs} และ i_{cs} จากนั้นได้แปลงจากปริมาณสามเฟสเป็นปริมาณสอง โดยใช้การแปลงแบบคลาร์กจะได้กระแส $i_{\alpha s}$ และ $i_{\beta s}$ ขึ้นตอนต่อไปแปลงจากปริมาณสองเฟสที่อยู่บนแกนหยุดนิ่งไปเป็นแกนหมุนโดยใช้รูปแบบการแปลงแบบปาร์กโดยใช้มุมในการหมุนคือ θ_s ที่ได้จากรูปแบบการคำนวณในสมการที่ (3-24) ดังนั้น จึงได้กระแส i_{ds} และ i_{qs} สำหรับการควบคุมกระแสบนแกน d และแกน q การควบคุมกระแสบนแกน q ทำได้ดังนี้ คือ นำกระแส i_{qs}^* ที่ได้จากลูปควบคุมความเร็วลบกับกระแส i_{qs} จะได้ค่าความผิดพลาดสั่งไปยังตัวควบคุมพีไอที่ทำงานควบคู่ไปกับอินติวินอพบนแกน q จากตัวควบคุมกระแสบนแกน q ทำให้ได้แรงดัน v_{qs}^* ส่วนการควบคุมกระแสบนแกน d จะกำหนดให้ค่ากระแส i_{ds}^* เป็นค่าคงที่ค่าหนึ่งส่วนมากจะถูกกำหนดให้มีค่าคงที่อยู่ที่พิกัดของฟลักซ์ การควบคุมจะนำค่ากระแส i_{ds}^* ลบกับกระแส i_{ds} ได้ค่าความผิดพลาดสั่งไปยังตัวควบคุมพีไอที่ทำงานควบคู่ไปกับแอนติวินอพบนแกน d จากตัวควบคุมกระแสบนแกน d ทำให้ได้ค่าแรงดัน v_{ds}^* และการทำงานของแอนติวินอพในลูปกระแสทั้งบนแกน d และแกน q จะทำหน้าที่ควบคุมแรงดันไม่ให้เกิดการปรับเกินขนาด (Over modulation) จากแรงดัน v_{ds}^* และ v_{qs}^* ที่ได้จากลูปควบคุมกระแสทั้งบนแกน d และแกน q จะแปลงจากปริมาณสองเฟสที่อยู่บนแกนหมุนไปเป็นปริมาณสองเฟสที่อยู่บนแกนหยุดนิ่งโดยใช้รูปแบบการแปลงแบบปาร์กทำให้ได้แรงดัน $v_{\alpha s}^*$ และ $v_{\beta s}^*$ จากนั้นแปลงจากปริมาณสองเฟสที่อยู่บนแกนหยุดนิ่งไปเป็นปริมาณสามเฟสโดยใช้รูปแบบการแปลงแบบคลาร์กทำให้ได้แรงดัน v_{as}^* v_{bs}^* และ v_{cs}^* ต่อมานำสัญญาณแรงดันทั้งสามเฟสไปเป็นสัญญาณควบคุมในวงจร PWM เพื่อสร้างสัญญาณพัลส์เพื่อเป็นตัวสวิตช์การทำงานของIGBT ทั้ง 6 ตัว ของวงจรอินเวอร์เตอร์สามเฟสเพื่อบันมองเตอร์เหนี่ยวนำสามเฟสต่อไป

3.4 การออกแบบตัวควบคุมของลูปควบคุมกระแส

การควบคุมการทำงานของลูปควบคุมกระแสจะใช้ตัวควบคุมแบบพีไออยู่สองชุดด้วยกันโดยที่ชุดแรกจะควบคุมกระแส i_{ds} และชุดที่สองจะควบคุมกระแส i_{qs} ตัวควบคุมกระแสทั้งบนแกน d และแกน q จะมีค่าเท่ากันเนื่องจากใช้พารามิเตอร์และการออกแบบตัวควบคุมที่เหมือนกันดังนั้น พารามิเตอร์ของตัวควบคุมพีไอที่ได้จากการออกแบบบนลูปควบคุมกระแสบนแกน d จึงใช้ได้กับลูปควบคุมกระแสบนแกน q ด้วยเช่นกัน

การหาฟังก์ชันถ่ายโอนของบันมองเตอร์เหนี่ยวนำสามเฟสสำหรับการออกแบบตัวควบคุมบนลูปควบคุมกระแสทั้งแกน d และแกน q ด้วยวิธีการควบคุมแบบฟลักซ์อิเรียนเต็จจะเริ่มจากการพิจารณาสมการแรงดันทางฝั่งขดลวดสเตเตอร์ทั้งบนแกน d และแกน q ในสมการที่ (3-2) และสมการที่ (3-3) จากสมการที่ (3-2) และสมการที่ (3-3) เมื่อพิจารณาจะมีพจน์ของฟลักซ์ ψ_{qs} และพจน์ของฟลักซ์ ψ_{ds} และเมื่อพิจารณาสมการของฟลักซ์ที่สเตเตอร์ทั้งบนแกน d และแกน q ในสมการที่

(3-6) และสมการที่ (3-7) พบว่ามีพจน์ของกระแส i_{dr}^* และพจน์ของกระแส i_{qr}^* ตามลำดับซึ่งเป็นกระแสที่ไม่สามารถวัดได้ในทางกายภาพ ดังนั้น จึงจำเป็นต้องหาสมการใหม่โดยไม่มีกระแสที่ขัดคลาดโรเตอร์



รูปที่ 3.2 โครงสร้างของการควบคุมแบบเวกเตอร์ทางอ้อม

นำจัดกระแสฟังก์ชันคลาดโรเตอร์เริ่มด้วยการจัดรูปสมการที่ (3-8) และสมการที่ (3-9) ใหม่ให้อยู่ในรูปของกระแสฟังก์ชันคลาดโรเตอร์ดังนี้

$$\dot{i}_{dr} = \frac{\psi_{dr}}{L_r} - \frac{L_m}{L_r} i_{ds} \quad (3-25)$$

$$\dot{i}_{qr} = \frac{\psi_{qr}}{L_r} - \frac{L_m}{L_r} i_{qs} \quad (3-26)$$

แทนค่า i_{dr}^* ในสมการที่ (3-25) และแทนค่า i_{qr}^* ในสมการที่ (3-26) ลงในสมการที่ (3-6) และสมการที่ (3-7) ตามลำดับ ดังนั้นสมการของฟลักซ์ที่ขัดคลาดสเตเตอร์จึงสามารถเขียนใหม่โดยไม่มีพจน์ของกระแสฟังก์ชันคลาดโรเตอร์ ดังสมการที่ (3-27) และสมการที่ (3-28) ดังนี้

$$\psi_{ds} = L_s i_{ds} + L_m \left(\frac{\dot{\psi}_{dr}}{L_r} - \frac{L_m}{L_r} i_{ds} \right) \quad (3-27)$$

$$\psi_{qs} = L_s i_{qs} + L_m \left(\frac{\dot{\psi}_{qr}}{L_r} - \frac{L_m}{L_r} i_{qs} \right) \quad (3-28)$$

จากสมการของฟลักซ์ที่ขดลวดสเตเตอร์ในสมการที่ (3-27) และสมการที่ (3-28) จัดรูปใหม่ เพื่อให้อ่านง่ายได้ดังสมการที่ (3-29) และสมการที่ (3-30) ดังนี้

$$\psi_{ds} = \sigma L_s i_{ds} + \frac{L_m}{L_r} \dot{\psi}_{dr} \quad (3-29)$$

$$\psi_{qs} = \sigma L_s i_{qs} + \frac{L_m}{L_r} \dot{\psi}_{qr} \quad (3-30)$$

เมื่อ $\sigma = 1 - \frac{L_m^2}{L_r L_s}$

แทนค่า ψ_{ds} ในสมการที่ (3-29) และแทนค่า ψ_{qs} ในสมการที่ (3-30) ลงในสมการแรงดันของ ขดลวดสเตเตอร์สมการที่ (3-2) และสมการที่ (3-3) ตามลำดับ ดังนั้นสมการแรงดันที่ขดลวด สเตเตอร์จะ สามารถเขียนได้ใหม่โดยไม่มีพจน์ของฟลักซ์ที่ขดลวดสเตเตอร์ ดังสมการที่ (3-31) และสมการที่ (3-32) ดังนี้

$$v_{ds} = R_s i_{ds} - \omega_s \sigma L_s i_{qs} - \omega_s \frac{L_m}{L_r} \dot{\psi}_{qr} + \sigma L_s \frac{d}{dt} i_{ds} + \frac{L_m}{L_r} \frac{d}{dt} \dot{\psi}_{dr} \quad (3-31)$$

$$v_{qs} = R_s i_{qs} + \omega_s \sigma L_s i_{ds} + \omega_s \frac{L_m}{L_r} \dot{\psi}_{dr} + \sigma L_s \frac{d}{dt} i_{qs} + \frac{L_m}{L_r} \frac{d}{dt} \dot{\psi}_{qr} \quad (3-32)$$

เขียนสมการแรงดันที่ขดลวดสเตเตอร์ในสมการที่ (3-31) และสมการที่ (3-32) ให้อ่านง่าย ของ โอดเมน-เอส ได้ดังสมการที่ (3-33) และสมการที่ (3-34)

$$V_{ds}(s) = R_s I_{ds}(s) + s \sigma L_s I_{ds}(s) - \omega_s \sigma L_s I_{qs}(s) - \omega_s \frac{L_m}{L_r} \dot{\psi}_{qr}(s) + s \frac{L_m}{L_r} \dot{\psi}_{dr}(s) \quad (3-33)$$

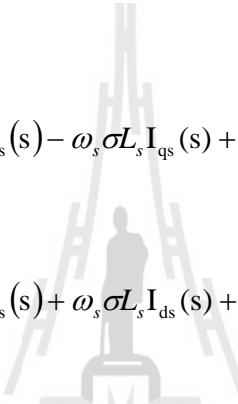
$$V_{qs}(s) = R_s I_{qs}(s) + s \sigma L_s I_{qs}(s) + \omega_s \sigma L_s I_{ds}(s) + \omega_s \frac{L_m}{L_r} \psi_{dr}(s) + s \frac{L_m}{L_r} \psi_{qr}(s) \quad (3-34)$$

เมื่อพิจารณาพจน์ $\omega_s \frac{L_m}{L_r} \psi_{qr}(s)$ ในสมการที่ (3-33) และพจน์ $s \frac{L_m}{L_r} \psi_{qr}(s)$ ในสมการที่

(3-34) จะมีค่าเป็นศูนย์เนื่องจากเงื่อนไขของการควบคุมแบบพิล็อกซ์อเรียนเต็ดฟลักซ์ที่rotateรับแกน q จะมีค่าเป็นศูนย์ เพราะการควบคุมค่าฟลักซ์ทั้งหมดจะถูกควบคุมอยู่บนแกน d เท่านั้น ดังนั้น สมการแรงดันของขดลวดสเตเตอโร่ในสมการที่ (3-33) และสมการที่ (3-34) จึงสามารถเขียนได้ใหม่ดังนี้

$$V_{ds}(s) = R_s I_{ds}(s) + s \sigma L_s I_{ds}(s) - \omega_s \sigma L_s I_{qs}(s) + s \frac{L_m}{L_r} \psi_{dr}(s) \quad (3-35)$$

$$V_{qs}(s) = R_s I_{qs}(s) + s \sigma L_s I_{qs}(s) + \omega_s \sigma L_s I_{ds}(s) + \omega_s \frac{L_m}{L_r} \psi_{dr}(s) \quad (3-36)$$



การออกแบบตัวควบคุมของลูปกระแสจะไม่พิจารณาเทอม $s \frac{L_m}{L_r} \psi_{dr}(s) - \omega_s \sigma L_s I_{qs}(s)$

(J. Espina, T. Arias, J. Balcells, C. Ortega, 2009) ในสมการที่ (3-35) เนื่องจากในขั้นตอนการออกแบบแบบตัวควบคุมพิโอบนแกน d จะพิจารณาแค่พจน์ที่มีกระแส i_{ds} คูณอยู่ด้วยเท่านั้น ดังนั้น ในการออกแบบจึงไม่พิจารณาเทอมของ $s \frac{L_m}{L_r} \psi_{dr}(s) - \omega_s \sigma L_s I_{qs}(s)$ เทอมดังกล่าวจึงถูกกำหนดให้เป็นเทอมของค่าแรงดัน

ชดเชย การออกแบบตัวควบคุมกระแสแบบแกน q ก็เช่นเดียวกัน เมื่อพิจารณาสมการที่ (3-36) จะไม่พิจารณาเทอม $\omega_s \sigma L_s I_{ds}(s) + \omega_s \frac{L_m}{L_r} \psi_{dr}(s)$ เนื่องจากการควบคุมกระแสแบบแกน q มีพิจารณาควบคุมค่ากระแส i_{qs} เท่านั้น ดังนั้น เทอมดังกล่าวจึงถูกกำหนดให้เป็นแรงดันชดเชยแบบไปหน้า (feedforward compensation) เพื่อเพิ่มสมรรถนะการควบคุมที่ความเร็วต่ำ แต่งานวิจัยวิทยานิพนธ์นี้ไม่ได้นำมาพิจารณา จากสมการของแรงดันที่ขดลวดสเตเตอโร่ภายใต้เงื่อนไขของการออกแบบตัวควบคุมแบบพิล็อกซ์อเรียนเต็ดในสมการที่ (3-35) และสมการที่ (3-36) จึงสามารถเขียนได้ใหม่ดังสมการที่ (3-37) และสมการที่ (3-38)

$$V_{ds}(s) = R_s I_{ds}(s) + s \sigma L_s I_{ds}(s) \quad (3-37)$$

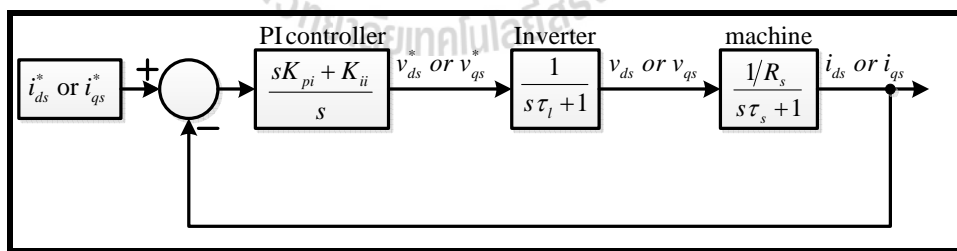
$$V_{qs}(s) = R_s I_{qs}(s) + s \sigma L_s I_{qs}(s) \quad (3-38)$$

เมื่อพิจารณาสมการของแรงดันที่ขดลวดสเตเตอเร่อร์สำหรับการออกแบบตัวควบคุมด้วยวิธีการควบคุมแบบฟิลด์ออร์เรียนเต็ด ในสมการที่ (3-37) และสมการที่ (3-38) พบว่าสมการทั้งสองมีรูปแบบของสมการที่เหมือนกัน ดังนี้ฟังก์ชันถ่ายโอนของมอเตอร์หนี่ยวน้ำสามเฟสสำหรับการออกแบบตัวควบคุมกระแสด้วยวิธีการควบคุมแบบฟิลด์ออร์เรียนเต็ดสามารถแสดงได้ดังสมการที่ (3-39)

$$\frac{I_{ds}(s)}{V_{ds}(s)} = \frac{I_{qs}(s)}{V_{qs}(s)} = \frac{1/R_s}{s\tau_s + 1} \quad (3-39)$$

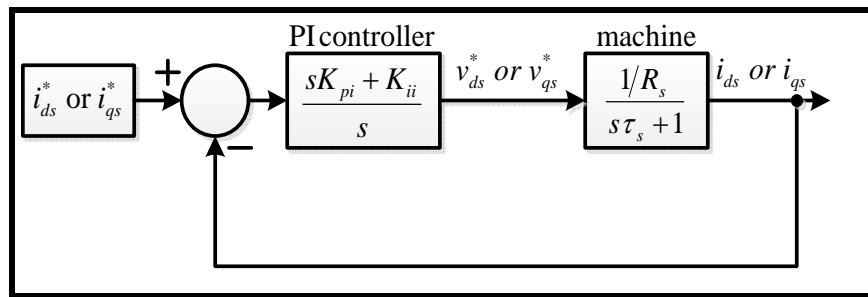
เมื่อ $\tau_s = \frac{\sigma L_s}{R_s}$

จากโครงสร้างของการควบคุมความเร็ว rotor ทางอ้อมในรูปที่ 3.2 และจากฟังก์ชันถ่ายโอนของมอเตอร์หนี่ยวน้ำสามเฟสในสมการที่ (3-39) สามารถนำมาเขียนเป็นแผนภาพโดยแกรมสำหรับการออกแบบตัวควบคุมกระแสทั้งบนแกน d และแกน q ของการควบคุมแบบฟิลด์ออร์เรียนเต็ด ได้ดังรูปที่ 3.3 เนื่องจากโครงสร้างของลูปควบคุมกระแสทั้งบนแกน d และแกน q มีความเหมือนกัน จึงได้แสดงแผนภาพโดยแกรมของการออกแบบตัวควบคุมกระแสของทั้งสองแกนไว้ในรูปเดียวกัน เพื่อจ่ายต่อการทำงานทำความเข้าใจสำหรับการออกแบบและการศึกษาระบบการควบคุมความเร็ว rotor แบบฟิลด์ออร์เรียนเต็ด



รูปที่ 3.3 แผนภาพโดยแกรมสำหรับการออกแบบตัวควบคุมกระแสด้วยวิธีการควบคุมแบบฟิลด์ออร์เรียนเต็ด

เมื่อพิจารณารูปที่ 3.3 พบว่าค่าคงที่ทางเวลาของอินเวอเรอร์ (τ_i) มีค่า้น้อยมากเมื่อเทียบกับค่าคงที่ทางเวลาของขดลวดฟังก์ชันถ่ายโอนของอินเวอเรอร์ (τ_s) เนื่องจากการทำงานของวงจรอินเวอเรอร์มีการทำงานที่ไวมาก ดังนั้นฟังก์ชันถ่ายโอนของอินเวอเรอร์จึงไม่นำมาพิจารณา โครงสร้างของลูปควบคุมกระแสสำหรับการออกแบบตัวควบคุมสามารถเขียนได้ใหม่ดังรูปที่ 3.4



รูปที่ 3.4 โครงสร้างลูปควบคุมกระแสที่ไม่พิจารณาฟังก์ชันถ่ายโอนของอินเวอร์เตอร์

ค่าพารามิเตอร์ของอินเวอร์เตอร์เนี่ยวนำสามเฟสที่ใช้สำหรับการออกแบบตัวควบคุมของลูปควบคุมกระแสแสตนด์ไซด์ดังตารางที่ 3.1 ซึ่งค่าพารามิเตอร์ R_s , L_s , L_r และ L_M ทั้ง 4 ตัวนี้ เป็นพารามิเตอร์ที่ได้จากการทดสอบโดยได้แสดงรายละเอียดของการทดสอบพารามิเตอร์ดังกล่าวไว้ในภาคผนวก ค

สำหรับค่าอัตราการหน่วงของการออกแบบตัวควบคุมกระแสในงานวิจัยวิทยานิพนธ์นี้ได้กำหนดให้ $\zeta_i = 0.8$ และความถี่ธรรมชาติของระบบได้กำหนดไว้ที่ $\omega_{ni} = 100\pi$ เรเดียน/วินาที สาเหตุที่กำหนดค่าความถี่ธรรมชาติของระบบที่ค่าดังกล่าวเนื่องจากได้พิจารณาจากความสามารถของการประมวลผลของไมโครคอนโทรลเลอร์ที่ใช้สำหรับประมวลผลการควบคุม

ตารางที่ 3.1 ค่าพารามิเตอร์ที่ใช้สำหรับการออกแบบตัวควบคุมพื้นที่ของลูปการควบคุมกระแส

พารามิเตอร์	ค่า	รายละเอียด
R_s	25.13 Ω	ค่าความต้านทานที่บัดลวดสเตเตอร์
L_s	1.0538 H	ค่าความหนี่วนนำที่บัดลวดสเตเตอร์
L_r	1.0538 H	ค่าความหนี่วนนำที่บัดลวดโรเตอร์
L_M	0.9672 H	ค่าความหนี่วนนำร่วม

จากรูปที่ 3.4 เขียนฟังก์ชันถ่ายโอนแบบวงรอบปิด เพื่อจะได้สมการอนุพันธ์อันดับสองสำหรับการออกแบบตัวควบคุมกระแสได้ดังสมการ (3-40)

$$\frac{i_{ds}}{i_{ds}^*} = \frac{i_{qs}}{i_{qs}^*} = \frac{(sK_{pi} + K_{ii})/R_s\tau_s}{s^2 + (\frac{R_s + K_{pi}}{R_s\tau_s})s + \frac{K_{ii}}{R_s\tau_s}} \quad (3-40)$$

สำหรับระบบมาตรฐานอันดับสองของระบบควบคุมแบบวงปิด มีฟังก์ชันถ่ายโอนแสดงได้ดังสมการที่ (3-41) ดังนี้

$$G(s) = \frac{\omega_n^2}{s^2 + 2\zeta\omega_n s + \omega_n^2} \quad (3-41)$$

ดังนั้น ในการออกแบบตัวควบคุมของลูปควบคุมกระแสตัวยาระบบควบคุมแบบฟิลเตอร์ยินเต็มทำได้โดยการเปรียบเทียบสัมประสิทธิ์ตัวหารระหว่างสมการที่ (3-40) และสมการที่ (3-41) ได้ดังนี้

$$\frac{R_s + K_{pi}}{R_s \tau_s} = 2\zeta_i \omega_{ni} \quad (3-42)$$

$$\frac{K_{ii}}{R_s \tau_s} = \omega_{ni}^2 \quad (3-43)$$

จากสมการที่ (3-42) และสมการที่ (3-43) สามารถจัดรูปสมการได้ใหม่ เพื่อจ่ายต่อการหาค่าพารามิเตอร์ของตัวควบคุมพีไอ (K_{pi} และ K_{ii}) ของลูปควบคุมกระแส ดังสมการที่ (3-44) และสมการที่ (3-45) ดังนี้

$$K_{pi} = 2\zeta_i R_s \tau_s \omega_{ni} - R_s \quad (3-44)$$

$$K_{ii} = R_s \tau_s \omega_{ni}^2 \quad (3-45)$$

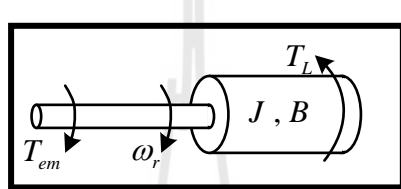
นำค่าพารามิเตอร์ของมอเตอร์หนี่ยาน้ำสารเคมีในตารางที่ 3.1 มาคำนวณหาค่าคงที่ทางเวลาผ้างวด漉ดสเตเตอร์ได้ดังนี้

$$\tau_s = \frac{\sigma L_s}{R_s} = \frac{1.0538 \times 1.0538 - 0.9672^2}{25.13 \times 1.0538} = 6.6089 \text{ mSec}$$

แทนค่าพารามิเตอร์จากตารางที่ 3.1 ลงในสมการที่ (3-44) และ (3-45) จะได้ค่าพารามิเตอร์ของตัวควบคุมพีไอของลูปควบคุมกระแสตัว $K_{pi} = 58.3$ และ $K_{ii} = 16375$

3.5 การออกแบบตัวควบคุมของลูปควบคุมความเร็ว

จากการศึกษาโครงสร้างและหลักการทำงานของการควบคุมความเร็วของมอเตอร์เห็นได้ว่า สามารถเพิ่มความเร็วของมอเตอร์โดยการเพิ่มแรงบิดของมอเตอร์ในสมการที่ (3-22) โดยที่กระแส i_{ds} มีหน้าที่ควบคุมปริมาณสนามแม่เหล็กเท่านั้น ดังนั้น การควบคุมแรงบิดทางไฟฟ้าจึงขึ้นอยู่กับกระแส i_{qs} เพียงอย่างเดียว การออกแบบตัวควบคุมความเร็วจะเริ่มจากการหาสมการอนุพันธ์ที่มีความสัมพันธ์กับความเร็วที่ໄร์เดอร์โดยการพิจารณาภาพที่ 3.5



รูปที่ 3.5 ไดอะแกรมทางกลของมอเตอร์เห็นได้ว่าสามารถ

จากรูปที่ 3.5 สามารถนำมาเขียนสมการอนุพันธ์ได้ดังสมการที่ (3-46)

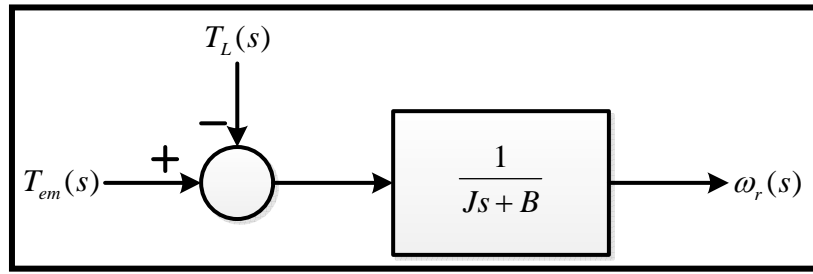
$$T_{em} - T_L = J \frac{d}{dt} \omega_r + B \omega_r \quad (3-46)$$

จากสมการที่ (3-46) เขียนให้อยู่ในรูปของ โอดเมน-เอส ได้ดังนี้

$$T_{em}(s) - T_L(s) = sJ\omega_r(s) + B\omega_r(s) \quad (3-47)$$

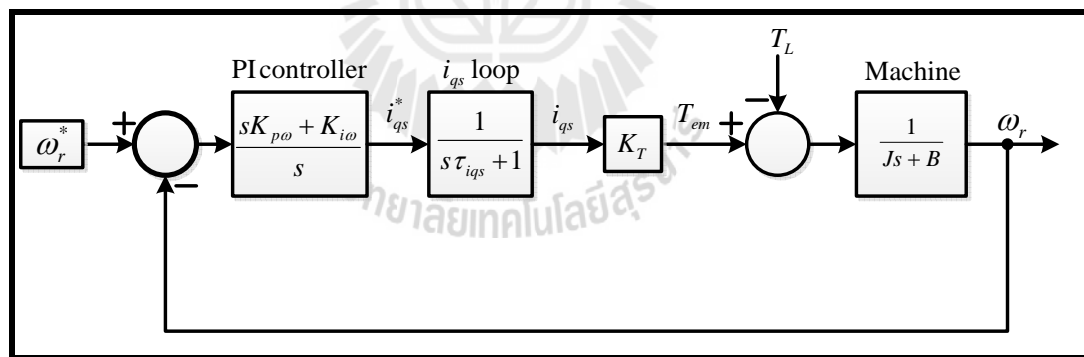
และจากสมการที่ (3-47) สามารถนำมาเขียนให้อยู่ในรูปของแผนภาพได้ดังรูปที่ 3.6

เมื่อพิจารณาโครงสร้างของการควบคุมแบบวงจรเตอร์ทานอ้อมในรูปที่ 3.2 ในส่วนของการควบคุมความเร็วควบคู่ไปกับสมการทางกลของมอเตอร์สมการที่ (3-47) และสมการแรงบิดทางไฟฟ้าในสมการที่ (3-22) จึงสามารถนำมาเขียนเป็นโครงสร้างสำหรับการออกแบบตัวควบคุมของลูปควบคุมความเร็ว ได้ดังรูปที่ 3.7

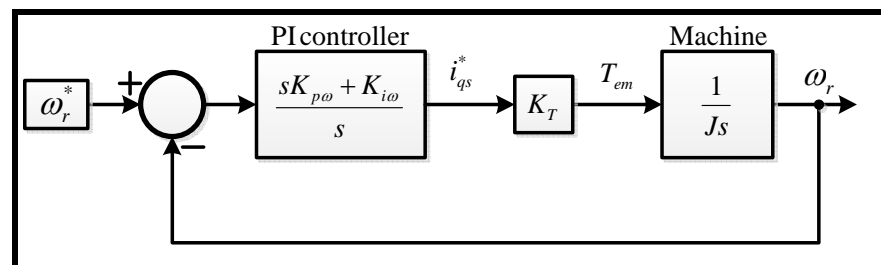


รูปที่ 3.6 บล็อกโปรแกรมทางกันของมอเตอร์เหนี่ยวนำสามเฟส

จากรูปที่ 3.7 เมื่อพิจารณาค่าคงที่ทางเวลาของลูปควบคุมกระแสน (τ_{iqs}) พบร่วมกันน้อยมาก เนื่องจากการออกแบบตัวควบคุมของลูปควบคุมกระแสนใช้แบบคิวต์ที่สูงทำให้ระบบมีการตอบสนองเร็วมากเมื่อเทียบกับลูปควบคุมความเร็ว ดังนั้น จึงไม่จำเป็นต้องมีค่า τ_{iqs} มาพิจารณา ส่วนค่าแรงบิดต้านของโถลด (T_L) ในการออกแบบตัวควบคุมจะถูกกำหนดให้มีค่าเป็นศูนย์ซึ่งเป็นการออกแบบในสภาพที่ไม่มีการรบกวน และค่าความฝีดที่เกิดจากแรงเสียดทานของมอเตอร์ (B) มีค่าน้อยมากจึงกำหนดให้มีค่าเป็นศูนย์ ดังนั้น โครงสร้างของการออกแบบลูปควบคุมความเร็วจึงเป็นรูปที่ 3.8



รูปที่ 3.7 โครงสร้างของลูปควบคุมความเร็วแบบแกนเดอร์ทางอ้อม



รูปที่ 3.8 โครงสร้างที่ใช้ในการออกแบบตัวควบคุมความเร็วด้วยวิธีแกนเดอร์ทางอ้อม

จากรูปที่ 3.8 ฟังก์ชันถ่ายโอนแบบวงรอบปิดสามารถเขียนได้ดังสมการที่ (3-48) ดังนี้

$$\frac{\omega_r}{\omega_r^*} = \frac{\frac{sK_T K_{p\omega} + K_T K_{i\omega}}{J}}{\frac{s^2 + \frac{sK_T K_{p\omega}}{J} + \frac{K_T K_{i\omega}}{J}}{J}} \quad (3-48)$$

การออกแบบตัวควบคุมความเร็ว สามารถคำนวณการใช้เวลาในการออกแบบตัวควบคุม กระแต่ โดยนำสัมประสิทธิ์ของพหุนามตัวหารในสมการที่ (3-48) มาเปรียบเทียบกับสัมประสิทธิ์พหุนามตัวหารของระบบมาตรฐานอันดับสองในสมการที่ (4-41) ผลการเปรียบเทียบสัมประสิทธิ์จะได้

$$\frac{K_T K_{p\omega}}{J} = 2\zeta\omega_{n\omega} \quad (3-49)$$

$$\frac{K_T K_{i\omega}}{J} = \omega_{n\omega}^2 \quad (3-50)$$

จากสมการที่ (3-49) และ (3-50) สามารถเขียนสมการการหาค่าพารามิเตอร์ของตัวควบคุมพีไอ สำหรับลูปควบคุมความเร็วของมอเตอร์ ($K_{p\omega}$ และ $K_{i\omega}$) แสดงได้ดังสมการที่ (3-51) และสมการที่ (3-52) ดังนี้

$$K_{p\omega} = \frac{2\zeta J\omega_{n\omega}}{K_T} \quad (3-51)$$

$$K_{i\omega} = \frac{J\omega_{n\omega}^2}{K_T} \quad (3-52)$$

ค่าพารามิเตอร์ของมอเตอร์เห็นได้ยาน้ำที่ใช้สำหรับการออกแบบตัวควบคุมของลูปควบคุมความเร็ว แสดงได้ดังตารางที่ 3.2 ซึ่งพารามิเตอร์ L_r , L_m และ J ได้มาจากการทดสอบ รายละเอียดของการทดสอบ ดูได้จากภาคผนวก ค

สำหรับค่าอัตราการหน่วงของการออกแบบตัวควบคุมความเร็วในงานวิจัยวิทยานิพนธ์นี้ได้กำหนดให้ $\zeta_\omega = 0.8$ และความถี่ธรรมชาติของระบบได้กำหนดไว้ที่ $\omega_{n\omega} = 20\pi$ เรเดียน/วินาที

ตารางที่ 3.2 ค่าพารามิเตอร์สำหรับการออกแบบตัวควบคุมพีไอของลูปควบคุมความเร็ว

พารามิเตอร์	ค่า	รายละเอียด
L_r	1.0538 H	ค่าความหนึ่งนำของขดลวดโรเตอร์
L_m	0.9672 H	ค่าความหนึ่งนำรวม
J	0.0072 Kg.m ²	โมเมนต์ความเฉื่อย
P	4	จำนวนขั้วแม่เหล็ก

จากค่าพารามิเตอร์ในตารางที่ 3.2 สามารถคำนวณค่า K_T ของระบบควบคุมความเร็วรอบได้ดังนี้

$$K_T = \frac{3}{2} \left(\frac{P}{2} \right) \frac{L_m^2}{L_r} = 2.6632$$

แทนค่าพารามิเตอร์จากตารางที่ 3.2 ลงในสมการที่ (3-51) และสมการที่ (3-52) จะได้ค่าพารามิเตอร์ของตัวควบคุมพีไอ คือ $K_{p\omega} = 0.2717$ และ $K_{i\omega} = 10.67$

3.6 การจำลองสถานการณ์การควบคุมความเร็วรอบแบบเวกเตอร์ทางอ้อม

การจำลองสถานการณ์การควบคุมความเร็วของมอเตอร์เหนี่ยวนำสามเฟสโดยใช้วิธีการควบคุมแบบเวกเตอร์ทางอ้อม จะทำการจำลองสถานการณ์โดยอาศัยตัวควบคุมที่ผ่านการออกแบบด้วยวิธีการแบบดึงเดิน ดังรายละเอียดที่นำเสนอมาแล้วในหัวข้อที่ 3.4 และ 3.5 โดยอาศัยชุดบล็อก SPS บนโปรแกรม MATLAB และคงได้ดังรูปที่ 3.9 ซึ่งได้ใช้ค่าพารามิเตอร์ของมอเตอร์เหนี่ยวนำสามเฟสที่ได้จากการทดสอบที่ได้กล่าวไว้ในภาคผนวก คอมเตอร์ที่ใช้มีจำนวนขั้วแม่เหล็กไฟฟ้า 4 ขั้ว พิกัดแรงดันระหว่างสายของมอเตอร์ 380 V_{rms} และพิกัดกระแสของมอเตอร์เท่ากับ 1.1 A

การจำลองสถานการณ์นี้จะใช้ศึกษาเป็นแนวทางเพื่อเปรียบเทียบผลการทำงานของชุดการควบคุมแบบเวกเตอร์ที่จะสร้างขึ้นจริงในบทต่อ ๆ ไป จึงได้กำหนดเงื่อนไขการจำลองสถานการณ์ดังนี้คือ

กำหนดให้มอเตอร์หมุนที่ความเร็ว 860 รอบต่อนาที หรือ 90 เรเดียน/วินาที

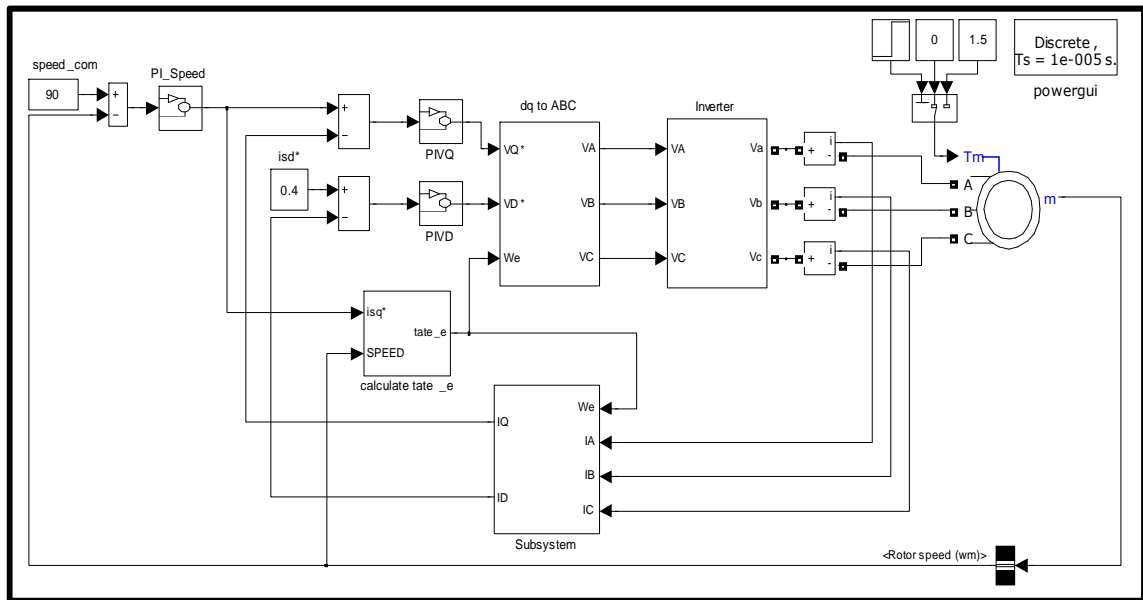
กำหนดโหลดที่จ่ายให้มอเตอร์ 2.5 นิวตัน-เมตร

กำหนดแหล่งจ่ายไฟฟ้ากระแสตรงฟิล์มจราโนร์ เท่ากับ 530 โวลต์

กระแส i_{ds}^* เท่ากับ 0.6 A (เป็นค่าสำหรับสร้างฟลักซ์ที่พิกัดของมอเตอร์)

จากเงื่อนไขของการจำลองสถานการณ์การควบคุมแบบเวกเตอร์ที่กล่าวไว้แล้วข้างต้นคือกำหนดให้ ω_r^* เท่ากับ 90 เรเดียน/วินาที เมื่อความเร็วของมอเตอร์เข้าสู่สภาวะคงที่จึงได้ทดสอบจ่ายโหลด

ให้มอเตอร์ที่ 2.5 นิวตัน-เมตร ที่เวลา 0.6 วินาที โดยใช้กระแส i_{ds}^* เท่ากับ 0.6 A สามารถแสดงผลการจำลองสถานการณ์ได้ดังนี้

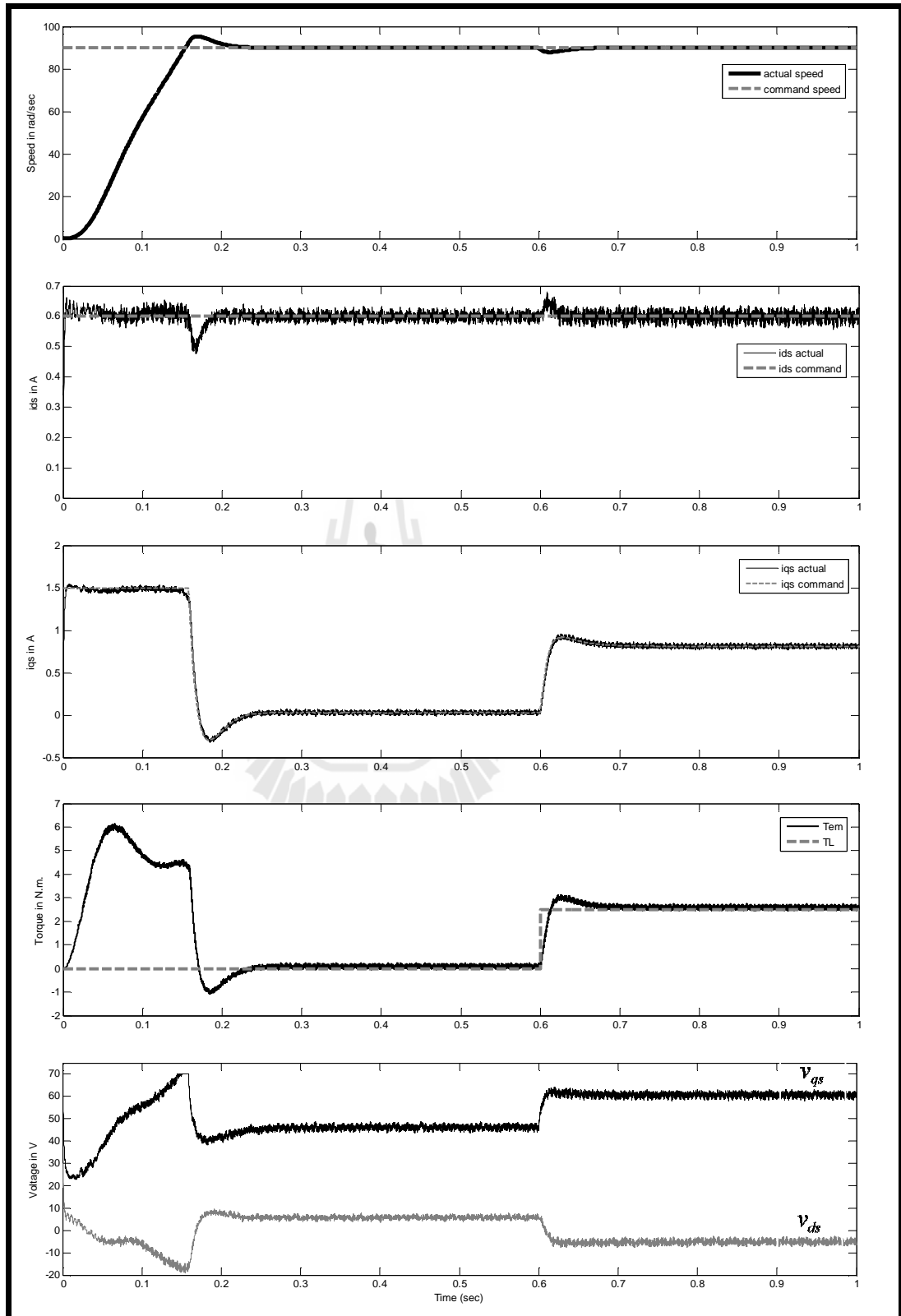


รูปที่ 3.9 ชุดบล็อกการจำลองสถานการณ์การควบคุมแบบเวกเตอร์ทางอ้อม

รูปที่ 3.10 แสดงผลการตอบสนองการทำงานของตัวควบคุมความเร็วของมอเตอร์ด้วยวิธีการควบคุมแบบเวกเตอร์ทางอ้อมเป็นลำดับดังนี้ ภาพรูปบนเป็นความเร็วที่ได้จากการควบคุมเทียบกับความเร็วของการควบคุม (ω_r^*) ลำดับต่อมาคือกระแสควบคุมปริมาณสนามแม่เหล็กหรือกระแสควบคุมฟลักซ์ในกรณีกระแส i_{ds}^* จะถูกกำหนดให้คงที่ที่ 0.6 A ภาพลัดไปคือค่ากระแสควบคุมแรงบิดทางไฟฟ้าของมอเตอร์ (i_{qs}^*) จากนั้นคือภาพแรงบิดทางไฟฟ้าของมอเตอร์ (T_{em}) เทียบกับแรงบิดของโหลดที่จ่ายให้มอเตอร์ (T_L) และภาพด้านล่างคือแรงดันที่ได้จากการควบคุมของลูปควบคุมกระแสเบริญที่ยังกันระหว่างแรงดัน v_{ds} และ v_{qs}

เมื่อพิจารณาผลการตอบสนองด้านความเร็วของมอเตอร์ที่สภาวะการทำงานต่าง ๆ โดยได้กำหนดให้มอเตอร์หมุนที่ความเร็วคงที่ที่ 859 รอบต่อนาที จากรูปจะเห็นว่ามอเตอร์เริ่มหมุนที่ 0 รอบต่อนาที ไปที่ความเร็ว 859 รอบต่อนาที ใช้เวลาเพียง 0.25 วินาที ความเร็วของมอเตอร์ก็เข้าสู่สภาวะคงที่ และที่เวลา $t = 0.6$ วินาที ได้จ่ายโหลดให้กับมอเตอร์ 2.5 นิวตัน-เมตร แต่อย่างไรก็ตามความเร็วของมอเตอร์ก็สามารถรักษาระดับให้คงที่ได้ด้วยตัวควบคุมที่ได้ออกแบบไว้

เมื่อพิจารณาในส่วนของการควบคุมกระแสบนแกน d หรือกระแส i_{ds} จากรูปพบว่าค่ากระแสดังกล่าวจะพวยามรักษาปริมาณกระแสให้คงที่อยู่ที่ 0.6 A ซึ่งเป็นไปตามเงื่อนไขที่กำหนดไว้ให้คือ $i_{ds}^* = 0.6$ A



รูปที่ 3.10 ผลการตอบสนองการทำงานของ การควบคุมแบบแบนบเวกเตอร์ทางข้อมูล

จากรูปที่ 3.10 กระแส i_{qs} ตอนที่มอเตอร์เริ่มstarทกระแส i_{qs} จะเท่ากับ 1.5 A และเมื่อพิจารณาจากพิกัดกระแสของมอเตอร์ที่ 1.1 A จะเห็นว่ามีค่าเกินพิกัด แต่เนื่องจากตอนที่มอเตอร์กินกระแสเกินพิกัดเป็นเพียงช่วงเวลาสั้น ๆ ของการเริ่มstarทมอเตอร์เท่านั้นจึงได้กำหนดค่ากระแสไว้ที่ค่าดังกล่าวเพื่อให้ความเร็วของมอเตอร์เข้าสู่สภาวะคงที่เร็วที่สุด จากรูประหัสว่างานที่ความเร็วของมอเตอร์กำลังวิ่งเข้าไปสู่ความเร็วควบคุมหรือความเร็วที่กำหนดให้มอเตอร์หมุน ค่ากระแส i_{qs} ก็จะขึ้นอยู่ที่พิกัด 1.5 A เนื่องจากมอเตอร์ต้องการแรงบิดสูงสุดเพื่อให้ความเร็วเข้าสู่ค่าที่ต้องการเร็วที่สุด และเมื่อความเร็วของมอเตอร์เข้าสู่สภาวะคงที่ค่ากระแส i_{qs} จะมีค่าน้อยมากซึ่งอยู่ในช่วงเวลา $t = 0.25$ วินาที ถึงเวลา $t < 0.6$ วินาที เนื่องจากมอเตอร์ยังไม่มีการรับภาระจากโหลดต่อเมื่อมอเตอร์มีการรับภาระจากโหลดที่เวลา $t = 0.6$ วินาที ค่ากระแส i_{qs} จะมีค่ามากขึ้นซึ่งได้แสดงความสัมพันธ์ของกระแส i_{qs} เทียบกับโหลดดังนี้ โดยจะเลือกพิจารณาค่ากระแส i_{qs} ที่เวลา $t = 0.9$ วินาที จากรูปที่ 3.10 สามารถคำนวณกระแส i_{qs} เพื่อปรับเทียบกับค่าที่ได้จากการจำลองสถานการณ์ได้สมการที่ (3.53)

$$i_s = \sqrt{i_{ds}^2 + i_{qs}^2} \quad (3.53)$$

ชั้นขนาด (i_s) ของกระแสเดตเตอร์วัดได้ที่เวลา 0.9 วินาที เท่ากับ 1 A และกระแส i_{ds} มีค่าเท่ากับ 0.6 A ดังนั้น จากสมการที่ (3.53) สามารถคำนวณกระแส i_{qs} ได้เท่ากับ 0.8 A ซึ่งค่าที่ได้จากการคำนวณเมื่อพิจารณาแล้วพบว่ามีความสอดคล้องกับค่ากระแส i_{qs} ที่ได้แสดงไว้ในรูปที่ 3.10

ผลการตอบสนองของแรงบิดทางไฟฟ้าของมอเตอร์ก็มีลักษณะเหมือนกับกระแส i_{qs} มีการเปลี่ยนแปลงไปตามสภาวะการรับภาระจากโหลดของมอเตอร์ จากรูประหัสว่าแรงบิด T_{em} มีค่ามากกว่าแรงบิด T_L อยู่เล็กน้อย เนื่องจากมอเตอร์ต้องออกแรงส่วนหนึ่งเพื่อขับเคลื่อนให้ตัวมันเองหมุนได้

แรงดันที่ได้จากการควบคุมของลูปควบคุมกระแส จะเห็นว่าช่วงมอเตอร์เริ่มstarทแรงดันบนแกน q จะมีค่าค่อนข้างมากซึ่งแสดงให้เห็นว่ามอเตอร์หมุนที่ความเร็วมากขึ้นยิ่งมีความต้องการแรงดันที่บดคลาดสเตอร์เพิ่มมากยิ่งขึ้นเพื่อจะรักษาแรงดันแรงบิดให้มีค่าคงที่ที่ค่าสูงที่สุดเพื่อให้มอเตอร์เข้าสู่สภาวะคงที่เร็วที่สุด และจากรูปยังเห็นว่าแรงดันทั้งบนแกน d และแกน q มีขนาดเปลี่ยนแปลงไปตามการรับสภาวะการรับภาระจากโหลดของมอเตอร์ด้วยเช่นกัน

3.7 สรุป

การควบคุมความเร็วด้วยวิธีการควบคุมแบบฟิลด์ออร์เรียนเด็ดเป็นการเรียนแบบวิธีการของการควบคุมความเร็วรอบของมอเตอร์กระแสตรงชนิดกระแสตู้นแยก โดยแปลงปริมาณของกระแสสามเฟสให้อยู่ในปริมาณสองเฟสที่อยู่บนแกนหมุนโดยหมุนที่ความเร็วซึ่งโกรนัสรidgeทำให้การควบคุมฟลักซ์จะขึ้นอยู่กับกระแส i_{ds} และการควบคุมแรงบิดจะขึ้นอยู่กับกระแส i_{qs} การควบคุมความเร็วแบบฟิลด์อ

เรียนเต็ด ปกติจะกำหนดให้กระแสควบคุมฟลักช์คงที่โดยจะกำหนดไว้ที่ค่าพิกัดของมอเตอร์ ส่วนกระแสควบคุมแรงบิดก็จะมีการเปลี่ยนแปลงไปตามสภาพการรับ荷ลดของมอเตอร์ ตรงส่วนนี้เองจึงสามารถกล่าวได้ว่าการควบคุมแบบฟิลเดอร์เรียนเต็ดสามารถควบคุมแรงบิดได้โดยตรง ในการออกแบบตัวควบคุมผู้ออกแบบจำเป็นต้องมีข้อมูลของพารามิเตอร์ของตัวมอเตอร์สำหรับการออกแบบตัวควบคุม และพารามิเตอร์ที่มีความสำคัญมากคือ L_r และ R_r จะเห็นว่าจากสมการที่ (3-21) ต้องใช้พารามิเตอร์ทั้งสองตัวนี้ในการคำนวณค่าความเร็วเชิงมุมของค่า สถาปเพื่อจะนำมาร่วมกันกับค่าความเร็วเชิงมุมที่ໄร์เตอร์ที่ได้จากอิเน็นโอดเดอร์จะได้ความเร็วเชิงมุมที่ซิงโกรนัสเพื่อใช้ในการแปลงปริมาณสามเฟสให้อยู่บนแกนดีคิว ซึ่งถ้าใช้พารามิเตอร์ทั้งสองตัวนี้ไม่ตรงตามความเป็นจริงจะทำให้การคำนวณมุ่งที่ความเร็วซิงโกรนัส มีความคลาดเคลื่อนโดยที่ความคลาดเคลื่อนดังกล่าวจะส่งผลเป็นลูกโซ่ คือ ถ้ามุ่งที่ใช้ในการหมุนแกนไม่ได้หมุนที่ความเร็วซิงโกรนัสจะทำให้การควบคุมค่าฟลักช์ไม่ได้ขึ้นอยู่กับกระแส i_{ds} เพียงอย่างเดียว แต่จะขึ้นอยู่กับค่ากระแส i_{qs} ด้วย ซึ่งจะมากหรือน้อยก็ขึ้นอยู่กับค่าความคลาดเคลื่อนของการคำนวณมุ่งที่ความเร็วซิงโกรนัส ดังนั้นพารามิเตอร์ทั้งสองตัวนี้จึงมีความสำคัญมาก และจากการศึกษาการออกแบบตัวควบคุมแบบฟิลเดอร์เรียนเต็ดในบทนี้จะนำไปใช้สำหรับค้นหาตัวควบคุมด้วยวิธีการค้นหาทางปัญญาประดิษฐ์ซึ่งคาดว่าจะให้ผลการควบคุมที่ดีกว่าการออกแบบด้วยวิธีการแบบดั้งเดิม โดยได้อธิบายวิธีการออกแบบดังกล่าวไว้ในบทที่ 4 จากนั้นนำพารามิเตอร์ของตัวควบคุมที่ได้จากการออกแบบทั้งสองวิธีไปใช้เป็นตัวควบคุมของชุดควบคุมแบบวงแหวน (ชุดทดลองจริง) ที่ได้สร้างขึ้นโดยจะกล่าวถึงในบทที่ 6 ต่อไป

บทที่ 4

การออกแบบตัวควบคุมความเร็วแบบฟิล์ดออฟฟิร์นเต็ด ด้วยวิธีการทางปัญญาประดิษฐ์

4.1 บทนำ

จากบทที่ผ่านมาได้นำเสนอการออกแบบตัวควบคุมแบบพื้นที่ ออกแบบลูปควบคุมกระแส และ ลูปควบคุมความเร็วด้วยวิธีการแบบดั้งเดิม ซึ่งให้สมรรถนะการทำงานดีในระดับหนึ่ง เพื่อที่จะให้ สมรรถนะการควบคุมดียิ่งขึ้น จึงได้นำเอาวิธีการทางปัญญาประดิษฐ์เข้ามาช่วยในการออกแบบตัวควบคุม พื้นที่ ออกแบบลูปควบคุมกระแสและลูปควบคุมความเร็ว โดยการค้นหาค่าพารามิเตอร์ของตัวควบคุม พื้นที่ งานวิจัยที่น่าสนใจนี้ได้ใช้วิธีการค้นหาแบบตามเชิงปรับตัว (Adaptive Tabu Search, ATS) ซึ่งเป็น วิธีที่ใช้กันอย่างแพร่หลาย และยังให้ผลการค้นหาค่าพารามิเตอร์ของตัวควบคุมอย่างมี ประสิทธิภาพ (D. Puangdownreong, K-N. Areerak, S. Sujitjorn, and P. Totarong 2002) สำหรับการ ค้นหาตัวควบคุมด้วยวิธีดังกล่าว ได้ใช้ค่าพารามิเตอร์ของมอเตอร์เห็นได้ชัดเจน นำเสนอมุมมองที่ได้จากการ ทดสอบ เพื่อให้ผลการค้นหาตัวควบคุมพื้นที่ได้จริงกับชุดทดสอบในทางปฏิบัติ

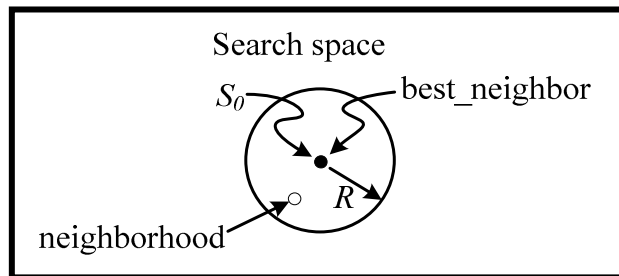
4.2 การค้นหาแบบตามเชิงปรับตัว

วิธีการค้นหาแบบตามเชิงปรับตัว เป็นวิธีการค้นหาทางปัญญาประดิษฐ์ เป็นอีกวิธีหนึ่งที่มี ประสิทธิภาพการค้นหาที่ดี โดยอัลกอริทึมนี้ถูกพัฒนาขึ้นมาจากอัลกอริทึมของการค้นหาแบบตาม (tabu search: TS) ซึ่งอัลกอริทึมการค้นหาแบบตาม ได้นำมาประยุกต์ใช้ในการแก้ปัญหาการค้นหาค่า เหมาะสมที่สุดเชิงผสมผสาน (combinatorial optimization) โดยที่อัลกอริทึมดังกล่าว ได้ถูกคิดค้น โดย Glover ปี 1989 (F. Glover, 1989) และต่อมาได้ถูกนำมาใช้กันอย่างกว้างขวางจนถึงปัจจุบันเนื่องจาก อัลกอริทึมดังกล่าวมีความสามารถในการหลีกเลี่ยงคำตอบแบบวงแคบเฉพาะถิ่น (local solution) และยัง สามารถทำการค้นหาคำตอบจนกระทั่งได้คำตอบที่ใกล้เคียงกับคำตอบที่เหมาะสมที่สุดแบบวง กว้าง (near global solution) ต่อมาในปี พ.ศ. 2545 กองพัน อารีรักษ์ และสรา Vu ได้พัฒนาและ ปรับปรุงอัลกอริทึมดังกล่าวให้มีประสิทธิภาพการค้นหาที่ดียิ่งขึ้น โดยการเพิ่ม 2 กลไกเข้าไปใน อัลกอริทึม สำหรับกลไกแรก คือ การเดินย้อนรอย (black-tracking) เป็นกลไกที่อนุญาติให้ระบบการ ค้นหาสามารถย้อนกลับไปค้นหาคำตอบบริเวณพื้นที่เดิมที่เคยถูกค้นหามาก่อน ซึ่งทำให้ระบบการค้นหา มี โอกาสที่จะค้นหาคำตอบในบริเวณพื้นที่ใหม่ และหลุดออกจากคำตอบที่เป็นแบบวงแคบเฉพาะถิ่น

ได้ กลไกที่สอง คือ การปรับค่ารัศมีในการค้นหา (adaptive radius) ซึ่งจะทำการปรับลดค่ารัศมีในระหว่างการค้นหาจนกระทั่งการค้นหาเข้าใกล้คำตอบที่ดีที่สุดแบบวงกว้าง โดยอัลกอริทึมการค้นหาแบบตามเชิงปรับตัวพิจารณาได้ตามขั้นตอนดังนี้

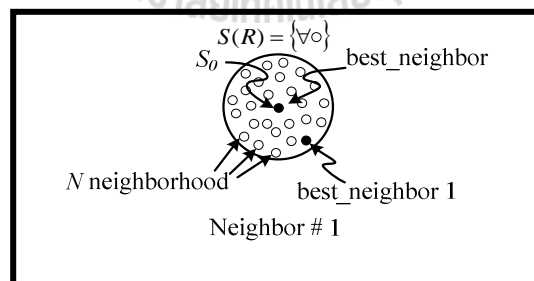
ขั้นตอนที่ 1 กำหนดพื้นที่การค้นหา รัศมีการค้นหาและจำนวนรอบสูงสุดของการค้นหา

ขั้นตอนที่ 2 ทำการสุ่มคำตอบเริ่มต้น S_0 ภายในพื้นที่การค้นหาและให้ S_0 เป็นคำตอบที่ดีที่สุดแบบวงแคบเฉพาะถี่น ดังรูปที่ 4.1



รูปที่ 4.1 สุ่มค่า S_0 ในพื้นที่การค้นหา

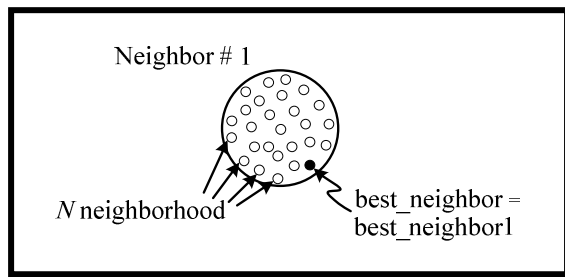
ขั้นตอนที่ 3 ทำการสุ่มเลือกคำตอบจำนวน N คำตอบ รอบ ๆ S_0 (neighborhood) ภายในพื้นที่การค้นหารัศมี R และกำหนดให้เซ็ต $S(R)$ เป็นเซ็ตของคำตอบ N คำตอบ ซึ่งเรียกว่า คำตอบรอบข้าง ดังรูปที่ 4.2



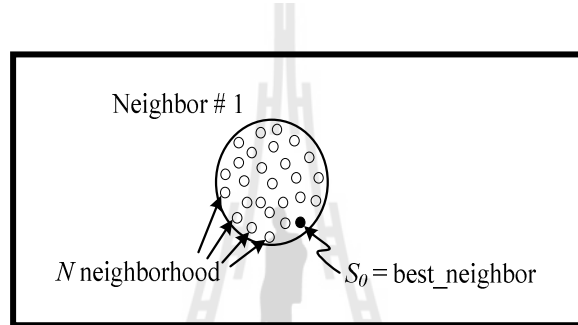
รูปที่ 4.2 ค่าไกลีเดียงรอบ ๆ S_0

ขั้นตอนที่ 4 ทำการประเมินคำตอบด้วยพิงก์ชันวัตถุประสงค์ของแต่ละสมาชิกใน $S(R)$ โดยกำหนดให้ S_i เป็นคำตอบที่ดีที่สุด (best_neighbor) ใน $S(R)$

ขั้นตอนที่ 5 ถ้า $S_i < S_0$ ดังนั้น กำหนดให้ $S_0 = S_i$ และเก็บค่า S_0 ในรายการตาม ดังรูปที่ 4.3 และรูปที่ 4.4

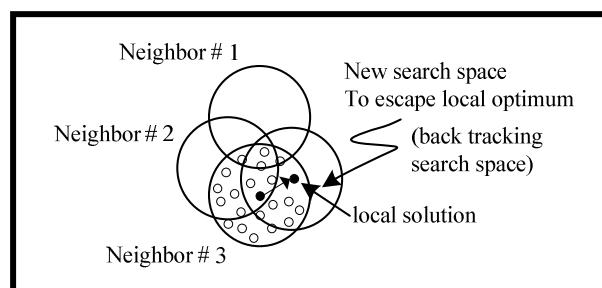


รูปที่ 4.3 กำหนดค่าไกล์เคียงใหม่



รูปที่ 4.4 กำหนดค่า S_0 ใหม่

ขั้นตอนที่ 6 ถ้า $\text{count} \geq \text{count}_{\max}$ จะหยุดกระบวนการการค้นหา โดยที่ค่า S_0 คือคำตอบที่ดีที่สุด ไม่เช่นนั้นจะกลับไปสู่ขั้นตอนที่ 3 และเริ่มกระบวนการใหม่อีกรอบจนกว่าจะได้คำตอบที่พอใจ

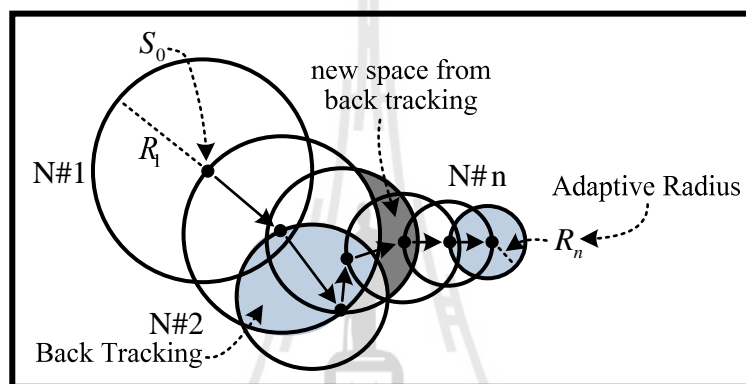


รูปที่ 4.5 กลไกการเดินข้อนรอຍ

ขั้นตอนที่ 7 จะเข้ากลไกการเดินข้อนรอຍ เมื่อจำนวนคำตอบในแต่ละรอบไม่หลุดออกจากคำตอบที่เป็นวงแหวนเฉพาะถิ่นเป็นจำนวนเท่ากับจำนวนสูงสุดที่ได้จากการค้นหาในพื้นที่การค้นหาเดิมในรายการตามเพื่อนำมากำหนดเป็นคำตอบเริ่มต้นสำหรับการค้นหาในรอบถัดไป ทั้งนี้เพื่อให้หลุดออกจาก

คำตอบที่เป็นแบบวงแคบเฉพาะถิ่น ดังรูปที่ 4.5 ซึ่งใช้ค่า local solution ในรายการตามเป็นค่าเริ่มต้นในการค้นหา

ขั้นตอนที่ 8 จะเข้าสู่กลไกการปรับค่ารัศมีการค้นหา โดยจะปรับลดรัศมีลงเรื่อยๆ ตามความล้มเหลวทั้งหมดที่ (4-1) จะทำการลดรัศมีในการค้นหางานทั้งเข้าใกล้คำตอบที่ดีที่สุด ซึ่งทำให้คำตอบในการค้นหาไม่มีความละเอียดมากเท่านั้น แต่ในทางตรงกันข้าม หากการปรับลดรัศมีการค้นหาไม่ขาด เลิกเกินไป การค้นหาอาจไม่ครอบคลุมคำตอบที่ต้องการ ดังนั้น การปรับรัศมีให้เหมาะสมกับระบบที่พิจารณาจึงมีความสำคัญ ดังรูปที่ 4.6



รูปที่ 4.6 กลไกการปรับลดค่ารัศมี

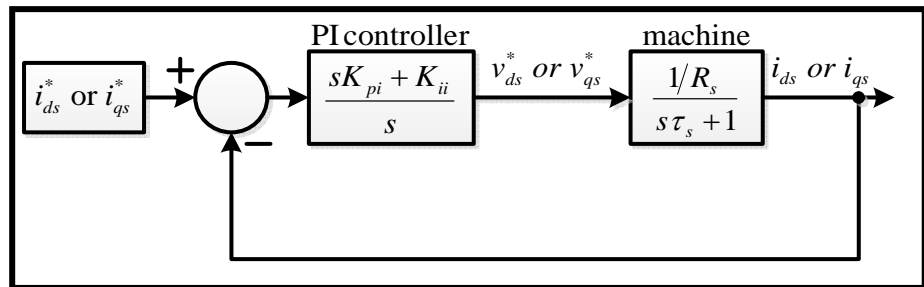
$$\text{radius}_{\text{new}}(R_n) = \frac{\text{radius}_{\text{old}}}{DF} \quad (4-1)$$

โดยที่ DF คือ ตัวประกอบปรับลดค่ารัศมี (Decreasing Factor)

4.3 การออกแบบตัวควบคุมพื้นที่สำหรับลูปควบคุมกระແສด้วยวิธีการค้าหากาบนตามเชิงปรับตัว

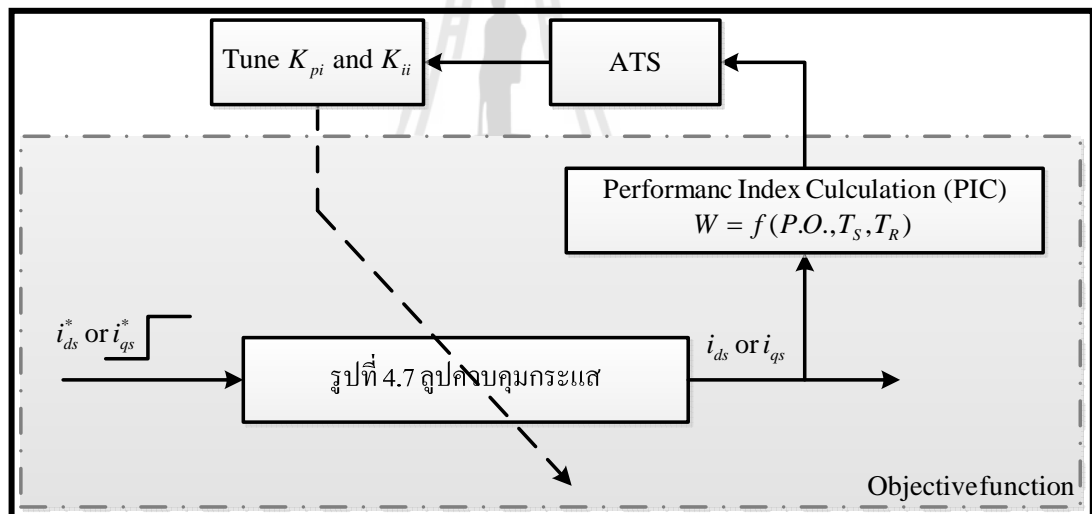
การออกแบบตัวควบคุมพื้นที่ของลูปควบคุมกระແສของการควบคุมมอเตอร์เห็นขึ้นมาสามเฟส ภายใต้การควบคุมแบบเวกเตอร์ทางอ้อมด้วยวิธีการทางปัญญาประดิษฐ์ จะอาศัยระบบควบคุมแสดงในรูปที่ 4.7 เป็นฟังก์ชันวัตถุประสงค์ ซึ่งเป็นระบบที่ได้กล่าวไว้แล้วในบทที่ 3

ค่าพารามิเตอร์ของมอเตอร์ คือ R_s และ τ_s ในรูปที่ 4.7 (ได้แสดงรายละเอียดและที่มาของค่าพารามิเตอร์ดังกล่าวไว้ในบทที่ 3) จะใช้ค่าที่ได้จากการทดสอบ ซึ่งรายละเอียดของการทดสอบดูได้ในภาคผนวก ค



รูปที่ 4.7 โครงสร้างของคุณภาพคุณกระспектของการควบคุมแบบฟิลด์ออร์เรียนเต็ค

ค่าพารามิเตอร์ของมอเตอร์ คือ R_s และ τ_s ในรูปที่ 4.7 (ได้แสดงรายละเอียดและที่มาของค่าพารามิเตอร์ ดังกล่าวไว้ในบทที่ 3) จะใช้ค่าที่ได้จากการทดสอบ ซึ่งรายละเอียดของการทดสอบดูได้ในภาคผนวก ค



รูปที่ 4.8 บล็อกไกด์อะแกรมการออกตัวควบคุมแบบพื้นของลูกปุ่มควบคุมกระแส
ด้วยวิธีการค้นหาตามเชิงปรับตัว

รูปที่ 4.8 เป็นแผนภาพโดยแกรมสำหรับการออกแบบตัวควบคุมพีไอของลูกปาร์คควบคุมกระแสโดยใช้วิธีการทางปัญญาประดิษฐ์เพื่อกันไฟฟารามิเตอร์ของตัวควบคุมพีไอ (K_{pi} , K_{ii}) ภายในขอบเขตของการกันไฟที่กำหนดไว้ การกันไฟค่าพารามิเตอร์ของตัวควบคุมในแต่ละรอบจะดำเนินการตามอัลกอริทึมของวิธีการกันไฟแบบตามชิงปรับตัว โดยในระหว่างการกันไฟระบบจะตรวจสอบค่า W ซึ่งอธิบายได้ดังสมการที่ (4-2) และจะกันไฟจนกว่าจะได้ค่าพารามิเตอร์ของตัวควบคุมที่ทำให้ผลการตอบสนองดีที่สุดหรือกล่าวอีกนัยหนึ่งคือทำให้ค่า W มีค่าน้อยที่สุด

$$W(T_{r(p.u.)}, T_{s(p.u.)}, P.O_{(p.u.)}) = \sigma \frac{T_r}{T_{r1}} + \alpha \frac{T_s}{T_{s1}} + \gamma \frac{P.O.}{P.O_1} \quad (4-2)$$

เมื่อ $P.O.$ คือ การพุ่งเกินชั่วครู่ (overshoot)

T_r คือ ช่วงเวลาขึ้น (rise time)

T_s คือ ช่วงเวลาเข้าที่ (setting time)

$P.O._1$ คือ การพุ่งเกินชั่วครู่ของระบบที่ใช้ตัวควบคุมพีไอที่ออกแบบโดยวิธีการแบบดั้งเดิม

T_{r1} คือ ช่วงเวลาขึ้นของระบบที่ใช้ตัวควบคุมพีไอที่ออกแบบโดยวิธีการแบบดั้งเดิม

T_{s1} คือ ช่วงเวลาเข้าที่ของระบบที่ใช้ตัวควบคุมพีไอที่ออกแบบโดยวิธีการแบบดั้งเดิม

เมื่อ σ α และ γ คือค่าสัมประสิทธิ์สำหรับการกำหนดค่าสำคัญของค่า T_r T_s และ $P.O.$ ตามลำดับ ซึ่งในงานวิจัยพัฒนานี้กำหนดให้ค่า σ α และ γ มีค่าเท่ากับ 0.33 0.33 และ 0.34 ตามลำดับ ซึ่งหมายถึง การออกแบบจะให้ความสำคัญของค่า $P.O.$ T_r และ T_s เท่า ๆ กัน และได้แสดงความสัมพันธ์ของค่าสัมประสิทธิ์ทั้งสามตัวดังสมการที่ (4-3)

$$\sigma + \alpha + \gamma = 1 \quad (4-3)$$

4.3.1 ทดสอบพารามิเตอร์ของการค้นหาแบบตานูเชิงปรับตัวของลูปควบคุมกระแส

การทดสอบพารามิเตอร์ของการค้นหาแบบตานูเชิงปรับตัว สำหรับการค้นหาตัวควบคุมแบบพีไอของลูปควบคุมกระแส มีพารามิเตอร์ที่สำคัญทั้งหมด 4 ค่า คือ จำนวนคำตอบเริ่มต้น จำนวนคำตอบรอบข้าง รัศมีเริ่มต้น และตัวปรับลดรัศมี ซึ่งเมื่อได้ค่าพารามิเตอร์ที่เหมาะสมจะส่งผลให้การค้นหาแบบตานูเชิงปรับตัวมีประสิทธิภาพมากยิ่งขึ้น โดยขอบเขตต่ำสุดและขอบเขตสูงสุดของพารามิเตอร์ K_{pi} และ K_{ii} เป็น [10-90] และ [1000-50000] ตามลำดับ การเลือกค่าพารามิเตอร์ของ การค้นหาแบบตานูเชิงปรับตัว จะใช้เกณฑ์การพิจารณาค่า W_i เนื่องจาก การทดสอบจำนวนคำตอบเริ่มต้นของการค้นหาแบบตานูเชิงปรับตัว สำหรับการออกแบบตัวควบคุมพีไอของลูปควบคุมกระแส ได้ทำการทดสอบที่ค่า 400 450 500 550 และ 600 โดยกำหนด จำนวนคำตอบรอบข้างเท่ากับ 200 ค่ารัศมีเริ่มต้น เท่ากับ 15 และค่าตัวปรับลดรัศมี เท่ากับ 1.6 ซึ่งผลการทดสอบแสดงได้ดังตารางที่ 4.1 จากตารางดังกล่าว สังเกตได้ว่าที่จำนวนคำตอบเริ่มต้นเท่ากับ 500 เมื่อพิจารณาค่าเฉลี่ยของ W_i พบว่าจำนวนคำตอบเริ่มต้นที่ค่าดังกล่าวให้ประสิทธิภาพของการค้นหาที่ดีที่สุด ดังนั้นผู้วิจัยจึงเลือกใช้ค่าคำตอบเริ่มต้นเท่ากับ 500

ตารางที่ 4.1 การทดสอบจำนวนคำตอบเริ่มต้น

ครั้งที่ ค่าที่ทดสอบ	ครั้งที่ 1	ครั้งที่ 2	ครั้งที่ 3	ครั้งที่ 4	ครั้งที่ 5	ค่าเฉลี่ย
จำนวนคำตอบเริ่มต้นเท่ากับ 400 คำตอบ						
ค่า W_i	0.5671	0.5534	0.5394	0.5662	0.5723	0.55963
จำนวนคำตอบเริ่มต้นเท่ากับ 450 คำตอบ						
ค่า W_i	0.5805	0.5828	0.5932	0.5878	0.5467	0.5782
จำนวนคำตอบเริ่มต้นเท่ากับ 500 คำตอบ						
ค่า W_i	0.5678	0.5581	0.5511	0.5516	0.5579	0.5573
จำนวนคำตอบเริ่มต้นเท่ากับ 550 คำตอบ						
ค่า W_i	0.5614	0.5896	0.5281	0.5676	0.5979	0.56892
จำนวนคำตอบเริ่มต้นเท่ากับ 600 คำตอบ						
ค่า W_i	0.5562	0.5801	0.5498	0.5621	0.5809	0.56582

การทดสอบจำนวนคำตอบรับข้างของการศึกษาแบบตามชิงปรับตัว จะทำการทดสอบโดยใช้จำนวนคำตอบรับข้างเท่ากับ 150 175 200 225 และ 250 โดยได้กำหนด จำนวนคำตอบเริ่มต้น เท่ากับ 500 ค่ารสมีเริ่มต้น เท่ากับ 15 และ ค่าตัวประกอบปรับลดรสมี เท่ากับ 1.6 ซึ่งผลการทดสอบแสดงได้ดังตารางที่ 4.2 จากตารางดังกล่าว เมื่อพิจารณาค่าเฉลี่ย W_i พบร่วมที่จำนวนคำตอบรับข้างเท่ากับ 200 จะให้ค่า W_i น้อยที่สุด จึงเลือกใช้จำนวนคำตอบรับข้างเท่ากับ 200

ตารางที่ 4.2 การทดสอบจำนวนคำตอบรับข้าง

ครั้งที่ ค่าที่ทดสอบ	ครั้งที่ 1	ครั้งที่ 2	ครั้งที่ 3	ครั้งที่ 4	ครั้งที่ 5	ค่าเฉลี่ย
จำนวนคำตอบรับข้างเท่ากับ 150 คำตอบ						
ค่า W_i	0.5656	0.5657	0.5904	0.5463	0.5641	0.56642
จำนวนคำตอบรับข้างเท่ากับ 175 คำตอบ						
ค่า W_i	0.5328	0.5969	0.5538	0.5540	0.5441	0.55632
จำนวนคำตอบรับข้างเท่ากับ 200 คำตอบ						
ค่า W_i	0.5278	0.5875	0.5522	0.5478	0.5537	0.5538
จำนวนคำตอบรับข้างเท่ากับ 225 คำตอบ						
ค่า W_i	0.5747	0.5920	0.5990	0.5290	0.5435	0.56764

ตารางที่ 4.2 การทดสอบจำนวนคำตอบรอบข้าง (ต่อ)

ครั้งที่ ค่าที่ทดสอบ	ครั้งที่ 1	ครั้งที่ 2	ครั้งที่ 3	ครั้งที่ 4	ครั้งที่ 5	ค่าเฉลี่ย
จำนวนคำตอบรอบข้างเท่ากับ 250 คำตอบ						
ค่า W_i	0.5473	0.5567	0.5571	0.5877	0.5689	0.56354

การทดสอบจำนวนค่ารัศมีเริ่มต้นของการค้นหาแบบตามชิงปรับตัว จะทำการทดสอบโดยใช้ค่ารัศมีเริ่มต้นเท่ากับ 13 15 17 19 และ 21 โดยกำหนด จำนวนคำตอบเริ่มต้นเท่ากับ 500 จำนวนคำตอบรอบข้างเท่ากับ 200 และตัวประกอบปรับลดรัศมี เท่ากับ 1.6 ซึ่งผลการทดสอบแสดงได้ดังตารางที่ 4.3 จากตารางดังกล่าว เมื่อพิจารณาค่าเฉลี่ย W_i พบร่วมกันที่ค่ารัศมีเริ่มต้นเท่ากับ 17 จะให้ผลการทดสอบที่ดีที่สุด ดังนั้น ผู้วิจัยจึงเลือกใช้ค่ารัศมีเริ่มต้นเท่ากับ 17

ตารางที่ 4.3 การทดสอบค่ารัศมีเริ่มต้น

ครั้งที่ ค่าที่ทดสอบ	ครั้งที่ 1	ครั้งที่ 2	ครั้งที่ 3	ครั้งที่ 4	ครั้งที่ 5	ค่าเฉลี่ย
ค่ารัศมีเริ่มต้นเท่า 13						
ค่า W_i	0.5689	0.5935	0.5368	0.5744	0.5887	0.57246
ค่ารัศมีเริ่มต้นเท่า 15						
ค่า W_i	0.5665	0.5931	0.5431	0.5338	0.5948	0.56626
ค่ารัศมีเริ่มต้นเท่า 17						
ค่า W_i	0.5576	0.5635	0.5446	0.5879	0.5651	0.56374
ค่ารัศมีเริ่มต้นเท่า 19						
ค่า W_i	0.5382	0.5880	0.5998	0.5405	0.5665	0.5666
ค่ารัศมีเริ่มต้นเท่า 21						
ค่า W_i	0.5639	0.5938	0.5640	0.5573	0.5909	0.57398
จำนวนรอบ	1	1	1	1	4	1.6

การทดสอบค่าการปรับลดรัศมีของการค้นหาแบบตามชิงปรับตัวจะดำเนินการทดสอบโดยใช้ค่าปรับลดรัศมีเท่ากับ 1.5 1.6 1.7 1.8 และ 1.9 โดยกำหนด จำนวนคำตอบเริ่มต้นเท่ากับ 500 จำนวนคำตอบรอบข้างเท่ากับ 200 และค่ารัศมีเริ่มต้น เท่ากับ 17 ผลการทดสอบแสดงได้ดังตารางที่ 4.4 จาก

ตารางดังกล่าว เมื่อพิจารณาที่ค่าปรับลดรัศมีเท่ากับ 1.7 พ布ว่ามีค่า W_i เฉลี่ย น้อยที่สุดดังนั้น ผู้วิจัยจึงเลือกใช้ค่าปรับลดรัศมีเท่ากับ 1.7

ตารางที่ 4.4 การทดสอบค่าปรับลดรัศมี

ครั้งที่ ค่าที่ทดสอบ	ครั้งที่ 1	ครั้งที่ 2	ครั้งที่ 3	ครั้งที่ 4	ครั้งที่ 5	ค่าเฉลี่ย
ค่าตัวปรับลดรัศมี 1.5						
ค่า W_i	0.5618	0.5565	0.5937	0.5592	0.5905	0.57234
ค่าตัวปรับลดรัศมี 1.6						
ค่า W_i	0.5825	0.5660	0.5829	0.5879	0.5566	0.57518
ค่าตัวปรับลดรัศมี 1.7						
ค่า W_i	0.5572	0.5777	0.5836	0.5678	0.5567	0.5686
ค่าตัวปรับลดรัศมี 1.8						
ค่า W_i	0.5871	0.5538	0.5912	0.5891	0.5610	0.57644
ค่าตัวปรับลดรัศมี 1.9						
ค่า W_i	0.5849	0.5630	0.5656	0.5673	0.5696	0.57004

จากการทดสอบพารามิเตอร์ของอัลกอริทึมการค้นหาแบบตามเชิงปรับตัวทั้งหมดข้างต้น ผู้วิจัยได้ทำการเลือกใช้พารามิเตอร์ของอัลกอริทึมดังกล่าวสำหรับการออกแบบตัวควบคุมแบบพิโภของลูปควบคุมกระแสน้ำด้วยวิธีการควบคุมแบบฟิลด์อ่อนเรียนเต็ม ซึ่งสรุปได้ดังนี้

- เลือกใช้จำนวนคำตอบเริ่มต้นเท่ากับ 500
- เลือกใช้จำนวนคำตอบรอบข้างเท่ากับ 200
- เลือกใช้ค่ารัศมีเท่ากับ 17
- เลือกใช้ค่าปรับลดรัศมีเท่ากับ 1.7

4.3.2 การออกแบบตัวควบคุมกระแสน้ำโดยใช้การค้นหาแบบตามเชิงปรับตัว

การออกแบบค่าพารามิเตอร์ K_{pi} และ K_{ii} ของตัวควบคุมแบบพิโภสำหรับการควบคุมกระแสน้ำโดยใช้ตัววิธีการควบคุมแบบฟิลด์อ่อนเรียนเต็ม โดยใช้การค้นหาแบบตามเชิงปรับตัว แสดงขั้นตอนการออกแบบและการกำหนดพารามิเตอร์ของอัลกอริทึมดังกล่าวได้ ดังนี้

ขั้นที่ 1 กำหนดขอบเขตต่ำสุดและสูงสุดสำหรับการค้นหาพารามิเตอร์ K_{pi} เท่ากับ 10-90 และ K_{ii} เท่ากับ 1000-50000

ขั้นที่ 2 กำหนดการสุ่มค่าตอบเริ่มต้นจำนวนเท่ากับ 500

ขั้นที่ 3 กำหนดการสุ่มค่าตอบรอบข้างภายในรัศมีการค้นหาจำนวนเท่ากับ 200

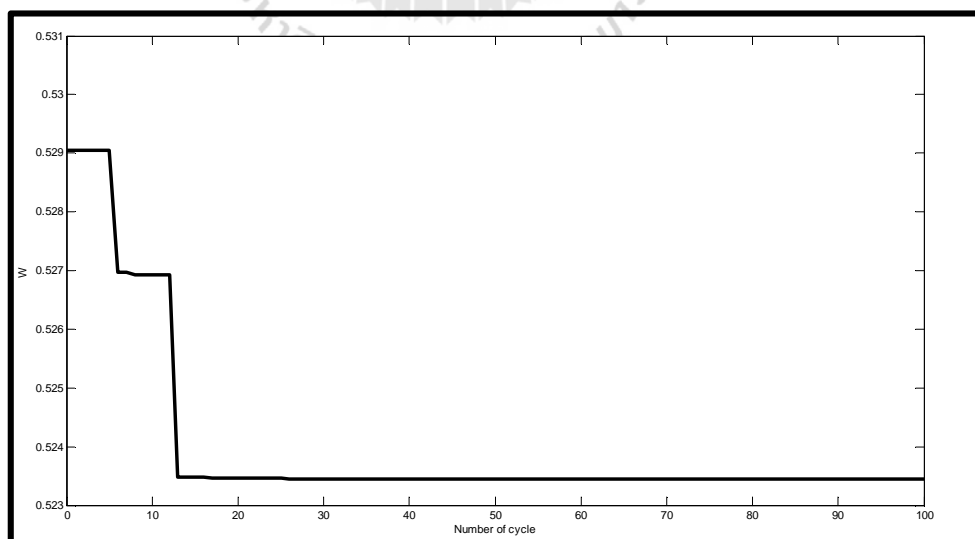
ขั้นที่ 4 กำหนดค่ารัศมีเริ่มต้นสำหรับการค้นหาเท่ากับ 17

ขั้นที่ 5 กำหนดค่าตัวประกอบปรับลดรัศมีเท่ากับ 1.7

ขั้นที่ 6 กำหนดเงื่อนไขการเดินย้อนรอย โดยถ้าระบบการค้นหาไม่สามารถลดอุณหภูมิลงได้แล้ว ให้มีการเดินย้อนรอยเกิดขึ้น

ขั้นที่ 7 กำหนดจำนวนรอบการค้นหาสูงสุด (count_{\max}) เท่ากับ 100 รอบ

จากการกำหนดพารามิเตอร์ต่าง ๆ ของอัลกอริทึมการค้นหาแบบตามเชิงปรับตัวภายใต้ขั้นตอนการอุปคุมแบบข้างต้น ผลการสู่เข้าของค่าตอบในระหว่างการค้นหาค่าพารามิเตอร์ของตัวควบคุมแบบพีไอ สำหรับคุณภาพคุณภาพและของตัวควบคุมความเร็วแบบฟิลด์อิเล็กทรอนิกส์แสดงได้ดังรูปที่ 4.9 ซึ่งแสดงการสู่เข้าของ W_i ที่ค่าเท่ากับ 0.5235 ในจำนวนรอบการค้นหาสูงสุดเท่ากับ 100 โดยในช่วงของการค้นหาที่ 5 ถึง 13 W_i มีค่าเท่ากับ 0.527 ซึ่งค่า W_i ดังกล่าวเป็นค่าค่าตอบแบบวงแหวนเฉพาะถี่น้อยย่างไรก็ตาม อัลกอริทึมการค้นหาแบบตามเชิงปรับตัวบังสามารถค้นหาพบค่าที่ดีกว่าที่ค่าเท่ากับ 0.527 ในรอบการค้นหาที่ 14 ทั้งนี้เนื่องมาจากการเดินย้อนรอยของอัลกอริทึม จึงทำให้ระบบการค้นหาสามารถลดอุณหภูมิค่าตอบของวงแหวนเฉพาะถี่น้อยเหลือ 0.523 ที่ดีขึ้น สำหรับค่าพารามิเตอร์ของตัวควบคุมแบบพีไอที่ได้จากการอุปคุมแบบด้วยวิธีการค้นหาแบบตามเชิงปรับตัวคือ K_{pi} เท่ากับ 89.99 และ K_{ii} เท่ากับ 13952



รูปที่ 4.9 การสู่เข้าหาค่าตอบ W_i ของคุณภาพคุณภาพและ

จากการค้นหาค่าพารามิเตอร์ของตัวควบคุมแบบพีไอสำหรับอุปควบคุมกระแสด้วยวิธีการควบคุมแบบฟิล์มอเรียนเด็ค โดยใช้วิธีการค้นหาแบบตามเชิงปรับตัวสามารถสรุปผลการค้นหาเทียบกับการออกแบบด้วยวิธีการแบบดั้งเดิม ซึ่งได้แสดงไว้แล้วในบทที่ 3 โดยสามารถแสดงผลของค่าพารามิเตอร์ที่ได้จากการออกแบบทั้งสองวิธีดังตารางที่ 4.5 ดังนี้

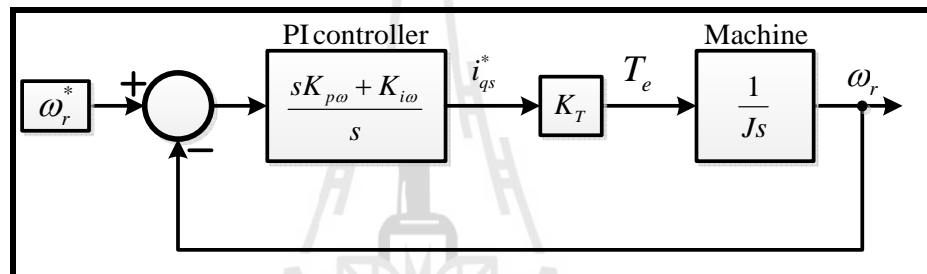
ตารางที่ 4.5 ตัวควบคุมแบบพีไอจากวิธีการค้นหาแบบดั้งเดิมและแบบตามเชิงปรับตัว

พารามิเตอร์	ค้นหาด้วยวิธีแบบดั้งเดิม	ค้นหาด้วยวิธี ATS
K_{pi}	58.3	89.99
K_{ii}	16375	13952
W_i	1	0.5235

เมื่อพิจารณาจากตารางที่ 4.5 พบว่าผลที่ได้จากการค้นหาด้วยวิธีการค้นหาแบบตามเชิงปรับตัวจะได้ค่าพารามิเตอร์ K_{pi} ที่มีค่าเข้าใกล้ขอบเขตบนมาก เมื่อพิจารณาจากขอบเขตการค้นหาที่ได้กำหนดไว้ข้างต้น ซึ่งลักษณะเช่นนี้แสดงให้เห็นว่าค่าตอบที่ดีที่สุดอาจจะอยู่นอกขอบเขตของการค้นหาอย่างไรก็ตาม เมื่อพิจารณาค่า W_i ที่ได้จากการค้นหาด้วยควบคุมของทั้งสองวิธีจะเห็นว่าการค้นหาด้วยควบคุมแบบตามเชิงปรับตัวก็ยังให้สมรรถนะของการควบคุมที่ดีกว่าควบคุมที่ได้จากการออกแบบด้วยวิธีการแบบดั้งเดิม จากนั้นได้ทดลองปรับเพิ่มขอบเขตบนของการค้นหาค่าพารามิเตอร์ของตัวควบคุม K_{pi} และ K_{ii} ผลจากการค้นหาพบว่าตัวควบคุม K_{pi} ที่ได้ก็ยังมีลักษณะเข้าใกล้ขอบเขตบนของการค้นหาเสมอและค่า W_i ก็มีค่าน้อยกว่าเดิม หมายความว่ายิ่งปรับเพิ่มขอบเขตบนของการค้นหาให้มีค่ายิ่งมาก ก็ยิ่งจะได้พารามิเตอร์ของตัวควบคุมที่ดียิ่งขึ้นแต่เมื่อมองในส่วนของการนำพารามิเตอร์พีไอไปใช้จริงจะเห็นว่ายิ่งค่าพารามิเตอร์ของตัวควบคุมแบบพีไอมีค่ามากเท่าใดก็ยิ่งต้องใช้เวลาการควบคุมหรือที่เรียกว่าค่าเวลาแซมปลิง(T_s) ที่มีความละเอียดมากยิ่งขึ้นหรือมีค่าน้อยมาก ๆ ซึ่งการค้นหาค่าพารามิเตอร์ของตัวควบคุมพีไอในครั้งนี้จะถูกนำมาใช้เป็นตัวควบคุมสำหรับชุดควบคุมแบบเวกเตอร์ทางอ้อมที่จะสร้างขึ้นในบทที่ 6 โดยการสร้างชุดควบคุมดังกล่าวได้ใช้ไมโครคอนโทรลเลอร์เบอร์ eZdsp™ F28335 สำหรับประมวลผลหลักของการควบคุมแบบเวกเตอร์ทางอ้อมจะให้ความเร็วต่อรอบของการประมวลผลที่เร็วที่สุดอยู่ที่ 100 usec ซึ่งจะเหมาะสมกับค่าพารามิเตอร์ของตัวควบคุมพีไอที่ได้จากการค้นหาแบบตามเชิงปรับตัวที่ได้แสดงไว้ในตารางที่ 4.5

4.4 การออกแบบตัวควบคุมพีไอสำหรับลูปควบคุมความเร็วด้วยวิธีการคำนวณแบบตามชิงปรับตัว

การออกแบบตัวควบคุมพีไอของลูปควบคุมความเร็วสำหรับการควบคุมความเร็วมอเตอร์เห็นได้ชัดเจนที่สุดในรูปที่ 4.10 เป็นฟังก์ชันวัตถุประยุกต์ซึ่งเป็นระบบที่ได้กล่าวไว้แล้วในบทที่ 3 จะเห็นว่าในบล็อกไดอะแกรมมีค่าคงที่ของมอเตอร์ คือ K_T ได้จากการแรงบิดทางไฟฟ้าของมอเตอร์สำหรับการควบคุมแบบพิลเดอร์เรียนเต็มในสมการที่ (3-22) โดยรายละเอียดและที่มาของค่าพารามิเตอร์ดังกล่าวแสดงไว้ในบทที่ 3 และค่า J เป็นค่าพารามิเตอร์ที่ได้จากการทดสอบรายละเอียดของการทดสอบได้แสดงไว้ในภาคผนวก ค

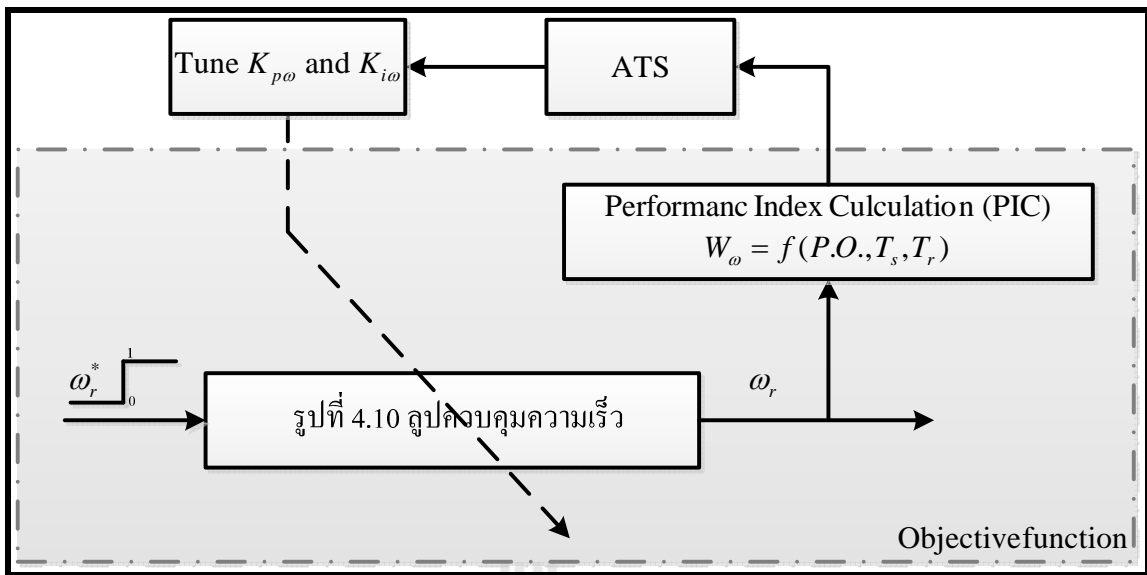


รูปที่ 4.10 บล็อกไดอะแกรมของลูปควบคุมความเร็วโดยการควบคุมแบบเวกเตอร์ทางอ้อม

บล็อกไดอะแกรมในรูปที่ 4.10 จะถูกใช้เป็นฟังก์ชันวัตถุประยุกต์สำหรับการออกแบบตัวควบคุมพีไอของลูปควบคุมความเร็วด้วยวิธีการทางปัญญาประดิษฐ์ ดังนี้ จากรูปที่ 4.10 สามารถเขียนเป็นบล็อกไดอะแกรมสำหรับการคำนวณตามชิงปรับตัวได้ดังรูปที่ 4.11

รูปที่ 4.11 เป็นบล็อกไดอะแกรมสำหรับการออกแบบตัวควบคุมพีไอของลูปการควบคุมความเร็วโดยใช้วิธีการทางปัญญาประดิษฐ์เพื่อคำนวณค่าพารามิเตอร์ของตัวควบคุมพีไอ ($K_{p\omega}, K_{i\omega}$) ในขอบเขตการคำนวณที่กำหนดไว้ การคำนวณค่าพารามิเตอร์ของตัวควบคุมในแต่ละรอบจะดำเนินการตามอัลกอริทึมของวิธีการคำนวณตามชิงปรับตัวโดยในระหว่างการคำนวณจะตรวจสอบค่า W_ω ซึ่งอธิบายได้ดังสมการที่ (4-2) และจะคำนวณก่วงว่าจะได้ค่าพารามิเตอร์ของตัวควบคุมที่ทำให้ผลการตอบสนองดีที่สุดหรือกล่าวอีกนัยหนึ่งคือทำให้ค่า W_ω มีค่าน้อยที่สุด

เมื่อ $\sigma\alpha$ และ γ คือค่าสัมประสิทธิ์สำหรับการกำหนดนัยสำคัญของค่า T_r, T_s และ $P.O.$ ตามลำดับ จะกำหนดใหม่อีกครั้งกับการคำนวณตามชิงปรับตัว



รูปที่ 4.11 บล็อกໄ/doะแกรมของการค้นหาตัวควบคุมแบบพี//oของลูปควบคุมความเร็ว
ด้วยวิธีการค้นหาแบบตามชิงปรับตัว

4.4.1 ทดสอบพารามิเตอร์ของการค้นหาแบบตามชิงปรับตัวของลูปควบคุมความเร็ว

การทดสอบพารามิเตอร์ของการค้นหาแบบตามชิงปรับตัว สำหรับการค้นหาตัวควบคุมพี//oของลูปควบคุมความเร็ว โดยมีพารามิเตอร์ที่สำคัญทั้งหมด 4 ค่า คือ จำนวนคำตอบเริ่มต้น จำนวนคำตอบรอบข้าง รัศมีเริ่มต้น และตัวปรับลดรัศมี ซึ่งเมื่อได้ค่าพารามิเตอร์ที่เหมาะสมจะส่งผลให้การค้นหาแบบตามชิงปรับตัวมีประสิทธิภาพมากยิ่งขึ้น โดยขอบเขตต่ำสุดและขอบเขตสูงสุดของพารามิเตอร์ $K_{p\omega}$ และ $K_{i\omega}$ เป็น [0.1-0.5] และ [3-30] ตามลำดับ การเลือกค่าพารามิเตอร์ของการค้นหาแบบตามชิงปรับตัว จะใช้เกณฑ์การพิจารณาค่าเฉลี่ย W_ω เป็นหลัก ซึ่งการทดสอบจำนวนคำตอบเริ่มต้นของการค้นหาแบบตามชิงปรับตัว สำหรับการออกแบบตัวควบคุมพี//oของลูปควบคุมความเร็ว ได้ทำการทดสอบที่ค่า 500 550 600 650 และ 700 โดยกำหนดจำนวนคำตอบรอบข้างเท่ากับ 150 ค่ารัศมีเริ่มต้น เท่ากับ 20 และค่าตัวประกอบปรับลดรัศมี เท่ากับ 1.7 ซึ่งผลการทดสอบได้แสดงไว้ในตารางที่ 4.6 จากตารางดังกล่าว สังเกตได้ว่า ที่จำนวนคำตอบเริ่มต้นเท่ากับ 650 เมื่อพิจารณาค่าเฉลี่ย W_ω พบว่ามีค่าน้อยที่สุด ดังนั้น จึงได้เลือกจำนวนคำตอบเริ่มต้นที่ 650

การทดสอบจำนวนคำตอบรอบข้างของการค้นหาแบบตามชิงปรับตัว จะทำการทดสอบโดยใช้จำนวนคำตอบรอบข้างเท่ากับ 100 125 150 175 และ 200 โดยกำหนดจำนวนคำตอบเริ่มต้น เท่ากับ 650 ค่ารัศมีเริ่มต้น เท่ากับ 20 และ ค่าตัวประกอบปรับลดรัศมี เท่ากับ 1.7 ซึ่งผลการทดสอบแสดงได้ดังตารางที่ 4.7 จากตารางดังกล่าว เมื่อพิจารณาค่าเฉลี่ย W_ω พบว่าจำนวนคำตอบรอบข้างเท่ากับ 150 จะให้ค่า W_ω น้อยที่สุด จึงเลือกจำนวนคำตอบรอบข้างเท่ากับ 150

ตารางที่ 4.6 การทดสอบจำนวนคำตอบเริ่มต้น

ครั้งที่ ค่าที่ทดสอบ	ครั้งที่ 1	ครั้งที่ 2	ครั้งที่ 3	ครั้งที่ 4	ครั้งที่ 5	ค่าเฉลี่ย
จำนวนคำตอบเริ่มต้นเท่ากับ 500 คำตอบ						
ค่า W_{ω}	0.6081	0.6111	0.6080	0.6153	0.6162	0.61174
จำนวนคำตอบเริ่มต้นเท่ากับ 550 คำตอบ						
ค่า W_{ω}	0.6141	0.6133	0.6166	0.6138	0.6132	0.6142
จำนวนคำตอบเริ่มต้นเท่ากับ 600 คำตอบ						
ค่า W_{ω}	0.6106	0.6122	0.6148	0.6070	0.6127	0.61146
จำนวนคำตอบเริ่มต้นเท่ากับ 650 คำตอบ						
ค่า W_{ω}	0.6087	0.6173	0.6120	0.6083	0.6097	0.6112
จำนวนคำตอบเริ่มต้นเท่ากับ 700 คำตอบ						
ค่า W_{ω}	0.6183	0.6130	0.6072	0.6141	0.6124	0.613

ตารางที่ 4.7 การทดสอบจำนวนคำตอบร้อมข้าง

ครั้งที่ ค่าที่ทดสอบ	ครั้งที่ 1	ครั้งที่ 2	ครั้งที่ 3	ครั้งที่ 4	ครั้งที่ 5	ค่าเฉลี่ย
จำนวนคำตอบร้อมข้างเท่ากับ 100 คำตอบ						
ค่า W_{ω}	0.6105	0.6107	0.6096	0.6171	0.6168	0.61294
จำนวนคำตอบร้อมข้างเท่ากับ 125 คำตอบ						
ค่า W_{ω}	0.6195	0.6061	0.6149	0.6072	0.6138	0.6123
จำนวนคำตอบร้อมข้างเท่ากับ 150 คำตอบ						
ค่า W_{ω}	0.6093	0.6115	0.6070	0.6127	0.6186	0.61182
จำนวนคำตอบร้อมข้างเท่ากับ 175 คำตอบ						
ค่า W_{ω}	0.6088	0.6168	0.6092	0.6135	0.6115	0.61196
จำนวนคำตอบร้อมข้างเท่ากับ 200 คำตอบ						
ค่า W_{ω}	0.6165	0.6127	0.6189	0.6160	0.6081	0.61444

การทดสอบจำนวนค่ารัศมีเริ่มต้นของการกันหาแบบตามเชิงปรับตัว จะทำการทดสอบโดยใช้ค่ารัศมีเริ่มต้นเท่ากับ 10 15 20 25 และ 30 โดยกำหนด จำนวนคำตอบเริ่มต้น เท่ากับ 650 จำนวนคำตอบร้อมข้างเท่ากับ 150 และตัวประกอบการปรับลดรัศมี เท่ากับ 1.7 โดยผลการทดสอบแสดงได้ดัง

ตารางที่ 4.8 จากตารางดังกล่าว เมื่อพิจารณาค่าเฉลี่ย W_{ω} พบว่า กรณีค่ารัศมีเริ่มต้นเท่ากับ 25 จะให้ผลการทดสอบที่ดีที่สุด ดังนั้น ผู้วิจัยจึงเลือกใช้ค่ารัศมีเริ่มต้นเท่ากับ 25

ตารางที่ 4.8 การทดสอบค่ารัศมีเริ่มต้น

ค่าที่ทดสอบ	ครั้งที่ 1	ครั้งที่ 2	ครั้งที่ 3	ครั้งที่ 4	ครั้งที่ 5	ค่าเฉลี่ย
ค่ารัศมีเริ่มต้นเท่า 10						
ค่า W_{ω}	0.6148	0.6189	0.6123	0.6194	0.6193	0.61694
ค่ารัศมีเริ่มต้นเท่า 15						
ค่า W_{ω}	0.6124	0.6136	0.6131	0.6186	0.6070	0.1294
ค่ารัศมีเริ่มต้นเท่า 20						
ค่า W_{ω}	0.6073	0.6075	0.6184	0.6135	0.6120	0.61174
ค่ารัศมีเริ่มต้นเท่า 25						
ค่า W_{ω}	0.6142	0.6130	0.6062	0.6164	0.6133	0.61262
ค่ารัศมีเริ่มต้นเท่า 30						
ค่า W_{ω}	0.6187	0.6182	0.6102	0.6177	0.6125	0.61546

การทดสอบค่าการปรับลดรัศมีของการกันหากันแบบตามเชิงปรับตัวได้ดำเนินการทดสอบโดยใช้ค่าปรับลดรัศมีเท่ากับ 1.5 1.6 1.7 1.8 และ 1.9 โดยกำหนด จำนวนค่าตอบเริ่มต้นเท่ากับ 650 จำนวนค่าตอบรอบข้าง เท่ากับ 150 และค่ารัศมีเริ่มต้น เท่ากับ 25 ผลการทดสอบแสดงได้ดังตารางที่ 4.9 จากตารางดังกล่าว เมื่อพิจารณาที่ค่าการปรับลดรัศมีที่ 1.8 พบว่าค่า W_{ω} เฉลี่ยน้อยที่สุด ดังนั้น ผู้วิจัยจึงเลือกใช้ค่าปรับลดรัศมีเท่ากับ 1.8

ตารางที่ 4.9 การทดสอบค่าปรับลดรัศมี

ค่าที่ทดสอบ	ครั้งที่ 1	ครั้งที่ 2	ครั้งที่ 3	ครั้งที่ 4	ครั้งที่ 5	ค่าเฉลี่ย
ค่าตัวปรับลดรัศมี 1.5						
ค่า W_{ω}	0.6184	0.6193	0.6132	0.6148	0.6158	0.6163
ค่าตัวปรับลดรัศมี 1.6						
ค่า W_{ω}	0.6192	0.6159	0.6135	0.6157	0.6165	0.61616

ตารางที่ 4.9 การทดสอบค่าปรับลดรัศมี (ต่อ)

ครั้งที่ ค่าที่ทดสอบ	ครั้งที่ 1	ครั้งที่ 2	ครั้งที่ 3	ครั้งที่ 4	ครั้งที่ 5	ค่าเฉลี่ย
ค่าตัวปรับลดรัศมี 1.7						
ค่า W_ω	0.6159	0.6174	0.6089	0.6156	0.6174	0.61504
ค่าตัวปรับลดรัศมี 1.8						
ค่า W_ω	0.6162	0.6072	0.6196	0.6134	0.6175	0.61478
ค่าตัวปรับลดรัศมี 1.9						
ค่า W_ω	0.6199	0.6095	0.6132	0.6183	0.6156	0.6153

จากการทดสอบพารามิเตอร์ของอัลกอริทึมการค้นหาแบบตามเชิงปรับตัวทั้งหมดข้างต้น ผู้วิจัยได้ทำการเลือกใช้พารามิเตอร์ของอัลกอริทึมดังกล่าวสำหรับการออกแบบตัวควบคุมแบบพีไอของ ลูปควบคุมความเร็วด้วยวิธีการควบคุมแบบฟิลเตอร์เรียนเต็ม สามารถสรุปได้ดังนี้

- เลือกใช้จำนวนคำตอบเริ่มต้นเท่ากับ 650
- เลือกใช้จำนวนคำตอบรอบข้างเท่ากับ 150
- เลือกใช้ค่ารัศมีเท่ากับ 25
- เลือกใช้ค่าปรับลดรัศมีเท่ากับ 1.8

4.4.2 การออกแบบตัวควบคุมความเร็วโดยใช้การค้นหาแบบตามเชิงปรับตัว

ขั้นตอนการออกแบบค่าพารามิเตอร์ $K_{p\omega}$ และ $K_{i\omega}$ ของตัวควบคุมพีไอสำหรับการ ควบคุมความเร็วของมอเตอร์ด้วยวิธีการควบคุมแบบฟิลเตอร์เรียนเต็ม โดยใช้การค้นหาแบบตามเชิง ปรับตัว แสดงขั้นตอนการออกแบบและการกำหนดพารามิเตอร์ของอัลกอริทึมดังกล่าวได้ดังนี้

ขั้นที่ 1 กำหนดขอบเขตต่ำสุดและสูงสุดสำหรับค้นหาพารามิเตอร์ $K_{p\omega}$ เท่ากับ 0.1-0.5 และ $K_{i\omega}$ เท่ากับ 3-30

ขั้นที่ 2 กำหนดการสุ่มคำตอบเริ่มต้นจำนวนเท่ากับ 650

ขั้นที่ 3 กำหนดการสุ่มคำตอบรอบข้างภายในรัศมีการค้นหาจำนวนเท่ากับ 150

ขั้นที่ 4 กำหนดค่ารัศมีเริ่มต้นสำหรับการค้นหาเท่ากับ 25

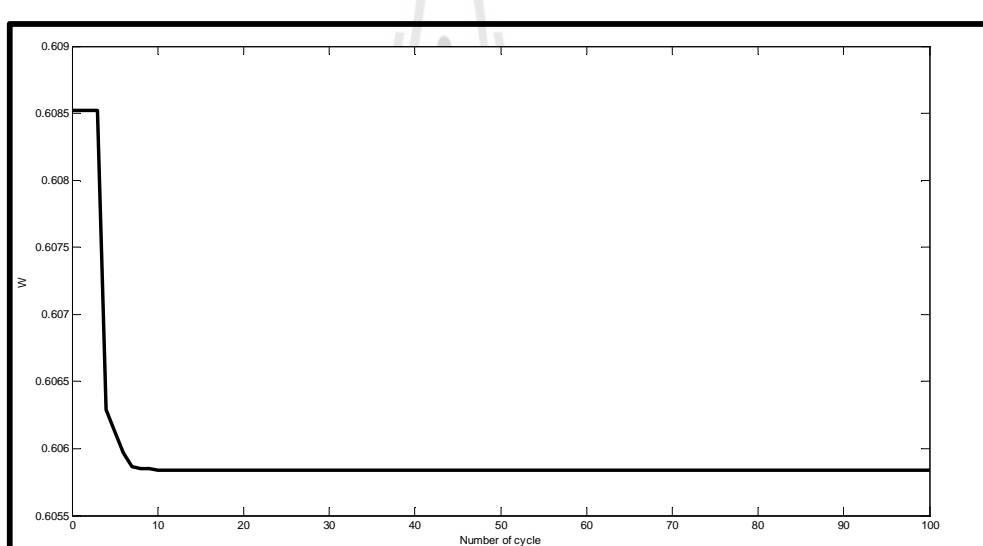
ขั้นที่ 5 กำหนดค่าตัวประกอบการปรับลดรัศมีเท่ากับ 1.8

ขั้นที่ 6 กำหนดเงื่อนไขการเดินข้อนร้อย โดยถ้าระบบการค้นหาไม่สามารถหลุดออกจาก คำตอบแบบท้องถิ่น (local solution) ได้เป็นจำนวน 5 รอบการค้นหา กำหนดให้มีการเดินข้อนร้อยเกิดขึ้น

ขั้นที่ 7 กำหนดจำนวนรอบการค้นหาสูงสุด ($count_{max}$) เท่ากับ 100 รอบ

จากการกำหนดพารามิเตอร์ต่าง ๆ ของอัลกอริทึมการค้นหาแบบตามเชิงปรับตัวภายในตัวขั้นตอนการออกแบบข้างต้น ผลการลู่เข้าของค่าตอบในระหว่างการค้นหาค่าพารามิเตอร์ของตัวควบคุมแบบพีไอสำหรับลูปควบคุมกระแสของการควบคุมความเร็วแบบฟิลด์อิเล็กทรอนิกส์แสดงได้ดังรูปที่ 4.12 ซึ่งแสดงการลู่เข้าของ W_{ω} ที่ค่าเท่ากับ 0.6058 ในจำนวนรอบการค้นหาสูงสุดเท่ากับ 100 และพารามิเตอร์ของตัวควบคุมแบบพีไอที่ได้จากการออกแบบด้วยวิธีการค้นหาแบบตามเชิงปรับตัวคือ $K_{p\omega}$ เท่ากับ 0.4999 และ $K_{i\omega}$ เท่ากับ 14.1482

จากการค้นหาค่าพารามิเตอร์ของตัวควบคุมแบบพีไอสำหรับลูปควบคุมความเร็วด้วยวิธีการควบคุมแบบฟิลด์อิเล็กทรอนิกส์โดยใช้วิธีการค้นหาแบบตามเชิงปรับตัวสามารถสรุปผลของการค้นหาเทียบกับการออกแบบด้วยวิธีการแบบดั้งเดิม ที่ได้แสดงไว้แล้วในบทที่ 3 โดยได้แสดงผลเปรียบเทียบการออกแบบทั้งสองวิธีดังตารางที่ 4.10 ดังนี้



รูปที่ 4.12 การลู่เข้าหาค่าตอบ W_{ω} ของลูปควบคุมความเร็ว

ตารางที่ 4.10 ค่าพารามิเตอร์ของตัวควบคุมความเร็วจากวิธีดั้งเดิมเทียบกับวิธีแบบตามเชิงปรับตัว

พารามิเตอร์	แบบดั้งเดิม	แบบ ATS
$K_{p\omega}$	0.2710	0.4999
$K_{i\omega}$	10	14.1482
W_{ω}	1	0.6058

จากการค้นหาพารามิเตอร์ของตัวควบคุมแบบพีไอของลูปควบคุมความเร็วพบว่าค่าพารามิเตอร์ $K_{p\omega}$ จากการค้นหาไม้ลักษณะเข้าใกล้ขอบเขตบนของการค้นหามากเมื่อพิจารณาจาก

ขอบเขตการค้นหาในข้างต้น แสดงให้เห็นว่าค่าตอบที่ดีที่สุดอาจอยู่นอกขอบเขตการค้นหา จึงได้ทดลองปรับเพิ่มขอบเขตบนของพารามิเตอร์ $K_{p\omega}$ ค่าออกไป ยังพบว่าผลที่ได้จากการค้นหาค่าพารามิเตอร์ ดังกล่าวมีลักษณะที่เข้าใกล้ขอบเขตบนของการค้นหาเหมือนเดิม และทุกครั้งที่มีการปรับเพิ่มขอบเขตบนของการค้นหาเพิ่มขึ้น ค่า W_ω ก็ยิ่งจะมีค่าน้อยลงเรื่อยๆ นั่นคือ ยิ่งพารามิเตอร์ของการควบคุมแบบพีไอมีค่ามาก ยิ่งจะให้สมรรถนะของการควบคุมดีขึ้น แต่เมื่อพิจารณาปัจจัยความสามารถในการตอบสนองด้านความเร็วของมอเตอร์เห็นได้ว่านำสามาแฟสจะมีความสามารถของการตอบสนองที่ดีที่สุดอยู่ช่วงหนึ่งเท่านั้น ดังนั้น การเลือกพารามิเตอร์ของตัวควบคุมแบบพีไอที่ได้จากการค้นหาแบบตามเชิงปรับตัวก็ต้องดูสมรรถนะการตอบสนองทางด้านความเร็วของมอเตอร์ด้วย ซึ่งถ้าเลือกค่าพารามิเตอร์ของตัวควบคุมแบบพีไอที่มีค่ามากเกินไป เมื่อนำไปใช้ในการตัวควบคุมแบบวงจรตัวอ่อนจะทำให้มอเตอร์เกิดการสั่นหรือจนกระหั่งไม่สามารถควบคุมได้ ดังนั้น สำหรับการค้าหากตัวควบคุมแบบพีไอด้วยวิธีการค้นหาแบบตามเชิงปรับตัวจึงได้เลือกค่าพารามิเตอร์ของตัวควบคุมในตารางที่ 4.10 เป็นพารามิเตอร์ของตัวควบคุมแบบวงจรตัวอ่อนสำหรับลูกปุ่มความเร็วและเมื่อพิจารณาค่า W_ω ที่ได้จากการค้นหาด้วยวิธีแบบตามเชิงปรับตัวก็ยังมีค่าน้อยกว่าการค้นหาแบบดั้งเดิม หมายความว่าพารามิเตอร์ของตัวควบคุมพีไอที่ได้จากการค้นหาแบบตามเชิงปรับตัวให้สมรรถนะการควบคุมที่ดีกว่าตัวควบคุมที่ได้จากการออกแบบด้วยวิธีการแบบดั้งเดิม

4.5 การจำลองสถานการณ์โดยใช้ตัวควบคุมที่ได้จากการแบบดั้งเดิมเทียบกับตัวควบคุมที่ได้จากการค้นหาแบบตามเชิงปรับตัว

ผลการออกแบบค่าพารามิเตอร์ของตัวควบคุมพีไอเพื่อใช้สำหรับควบคุมการทำงานของมอเตอร์เห็นได้ว่านำสามาแฟสภายใต้การควบคุมแบบวงจรตัวอ่อน ด้วยวิธีการค้นหาแบบตามเชิงปรับตัวเทียบกับผลที่ได้จากการออกแบบด้วยวิธีการแบบดั้งเดิมแสดงได้ดังตารางที่ 4.11

ตารางที่ 4.11 ค่าพารามิเตอร์ของตัวควบคุมแบบพีไอที่ออกแบบด้วยวิธีดั้งเดิมเทียบกับวิธี ATS

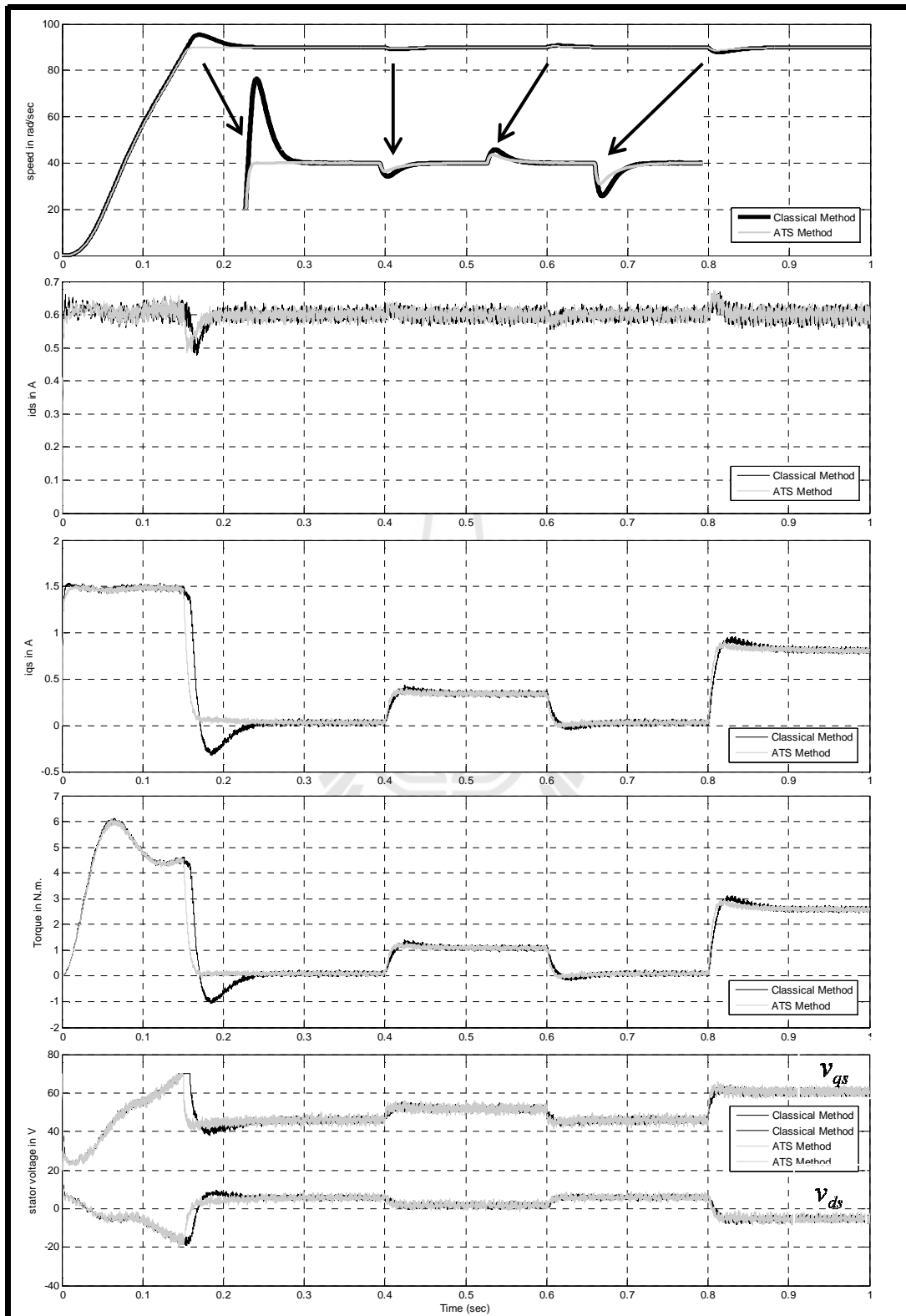
พารามิเตอร์	ลูปควบคุมกระแส		ลูปควบคุมความเร็ว	
	แบบดั้งเดิม	แบบ ATS	แบบดั้งเดิม	แบบ ATS
K_p	58.3	89.99	0.2710	0.4999
K_I	16375	13951	10	14
W	1	0.5234	1	0.6058

จากตารางที่ 4.11 ได้นำค่าพารามิเตอร์ของตัวควบคุมพีไอที่ได้จากการออกแบบของทั้งสองวิธีมาจำลองสถานการณ์โดยอาศัยชุดบล็อก SPS บนโปรแกรม MATLAB เช่นเดียวกันกับบทที่ 3

(รูปที่ 3.9) การจำลองลองสถานการณ์ได้กำหนดความเร็วของมอเตอร์เท่ากับ 90 เรเดียน/วินาทีหลังจากนั้นเริ่มการจ่ายไฟให้กับมอเตอร์ขนาด 1 นิวตัน-เมตร ที่เวลา $t = 0.4$ วินาที ต่อมาที่เวลา 10.6 วินาที ได้เอาไฟลด 1 นิวตัน-เมตร ออกจากมอเตอร์ และสุดท้ายจ่ายไฟลด 2.5 นิวตัน-เมตรให้กับมอเตอร์ที่เวลา 0.8 วินาที จากการจำลองสถานการณ์เพื่อคุณสมบัติของตัวควบคุมที่ได้จากการออกแบบทั้งสองวิธี ได้แสดงผลการจำลองสถานการณ์ดังรูปที่ 4.13 โดยรูปกราฟด้านบนแสดงผลการตอบสนองด้านความเร็วของมอเตอร์ ถัดมาแสดงรูปกราฟของกระแสสั่นฟลักช์หรือกระแส i_{ds} ต่อมาแสดงรูปกราฟของกระแสสั่นคุณแรงบิดมอเตอร์หรือกระแส i_{qs} จากนั้นแสดงรูปกราฟของแรงบิดทางไฟฟ้าของมอเตอร์หรือ T_{em} ด้านล่างสุดแสดงรูปกราฟของแรงดันไฟฟ้าที่ขดลวดสเตเตอเรลคือค่าแรงดัน v_{qs} และ v_{ds} ซึ่งจากการจำลองสถานการณ์เพื่อเปรียบเทียบสมรรถนะของตัวควบคุมที่ได้จากการออกแบบทั้งสองวิธี จะเห็นว่าการควบคุมโดยใช้ตัวควบคุมที่ได้จากการออกแบบด้วยวิธี ATS ให้สมรรถนะการควบคุมที่ดีกว่าตัวควบคุมที่ได้จากการออกแบบด้วยวิธีแบบดั้งเดิม ที่เห็นได้ชัดที่สุดคือความเร็วของมอเตอร์เมื่อใช้ตัวควบคุมจากการคืนหายแบบ ATS จากตอนที่มอเตอร์เริ่มสตาร์ทจนเข้าสู่สภาวะคงที่ ความเร็วของมอเตอร์แทบทะไม่มีอัตราการพุ่งเกินต่างจากการควบคุมโดยใช้ตัวควบคุมที่ได้จากการออกแบบด้วยวิธีแบบดั้งเดิมความเร็วของมอเตอร์มีอัตราการพุ่งเกินที่สูงกว่าเจิงเข้าให้เข้าสู่สภาวะคงตัวได้ช้ากว่า และเมื่อพิจารณาพารามิเตอร์อื่น ๆ ที่ได้แสดงไว้ในรูปที่ 4.13 ก็ยังเห็นว่าการควบคุมโดยใช้ตัวควบคุมที่ได้จากการออกแบบด้วยวิธี ATS ให้สมรรถนะการควบคุมที่ดีกว่าตัวควบคุมที่ได้จากการออกแบบด้วยวิธีแบบดั้งเดิม

4.6 สรุป

การออกแบบตัวควบคุมความเร็วรอบของมอเตอร์เหนี่ยวนำสามเฟส โดยการควบคุมแบบเวกเตอร์ทั้งลูปควบคุมกระแสและลูปควบคุมความเร็ว ซึ่งใช้วิธีการคืนหายแบบตามเชิงปรับตัว การจะใช้อัลกอริทึมของการคืนหายแบบตามเชิงปรับตัวจำเป็นต้องทดสอบพารามิเตอร์ของการคืนหายแบบตามเชิงปรับตัวก่อน ได้แก่ จำนวนคำตอบเริ่มต้น จำนวนคำตอบรอบข้าง ค่ารัศมีเริ่มต้น และค่าการปรับลดรัศมี ค่าพารามิเตอร์ต่าง ๆ ที่กล่าวมานี้จะมีค่าต่างกันไปขึ้นอยู่กับระบบที่ได้นำมาพิจารณาเห็นได้จากผลการทดสอบพารามิเตอร์ของลูปควบคุมกระแสและลูปควบคุมเร็วที่ได้ค่า พารามิเตอร์ของการคืนหายแบบตามเชิงปรับตัวที่ไม่เหมือนกัน จากการพิจารณาค่า W ของการคืนหายแบบตามเชิงปรับตัวพบว่าให้ประสิทธิภาพการคืนหายที่ดีกว่าการออกแบบด้วยวิธีการแบบดั้งเดิม และจากการจำลองสถานการณ์การควบคุมแบบเวกเตอร์ทางอ้อมบนโปรแกรม MATLAB ตัวควบคุมพีไอที่ได้จากการออกแบบด้วยวิธีการคืนหายแบบตามเชิงปรับตัวก็ยังให้สมรรถนะการควบคุมที่ดีกว่าตัวควบคุมที่ได้จากการออกแบบด้วยวิธีการแบบดั้งเดิม แสดงให้เห็นว่าการคืนหายตัวควบคุมด้วยวิธีการทางปัญญาประดิษฐ์สามารถคืนหายตัวควบคุมที่ดีกว่าการออกแบบด้วยวิธีการแบบดั้งเดิม และจากการคืนหายตัวควบคุมที่ได้จากการออกแบบด้วยวิธีการคืนหายแบบตามเชิงปรับตัวในบทที่ 4 จะถูกนำไปใช้เป็นตัวควบคุมของชุดควบคุมความเร็ว



รูปที่ 4.13 ผลการควบคุมการทำงานของมอเตอร์เรนีบาน้ำสามเฟส
ภายใต้การควบคุมแบบเวกเตอร์ทางอ้อม

แบบเวกเตอร์ทางอ้อมที่ได้สร้างขึ้น โดยเนื้อของการสร้างชุดควบคุมจะถูกกล่าวไว้ในบทที่ 5 การสร้างชุดตรวจวัดความเร็วของมอเตอร์ด้วยอิเล็กทรอนิกส์ และบทที่ 6 การสร้างวงจรตรวจวัดกระแสที่จ่ายให้มอเตอร์ สร้างวงจรอินเวอร์เตอร์สามเฟส และเขียนโปรแกรมควบคุมการทำงานของเวกเตอร์ทางอ้อม สำหรับงานวิจัยวิทยานิพนธ์ในส่วนของการออกแบบตัวควบคุมพื้นที่ของการควบคุมแบบเวกเตอร์ทางอ้อม โดยใช้วิธีการทางปัญญาประดิษฐ์ ดังที่ได้นำเสนอไว้ในบทที่ 4 ได้รับการตีพิมพ์ในวารสารวิชาการระดับนานาชาติคือ

P. Sawatnatee, S. Udomsuk, K-N. Areerak, K-L. Areerak, and A. Srikaew, "The Optimal Indirect Vector Control for a Three-Phase Induction Motor Drive Systems Using Artificial Intelligence Techniques" PP.804-809



บทที่ 5

การสร้างชุดตรวจความเร็วของมอเตอร์ด้วยเอ็นโคดเดอร์

5.1 บทนำ

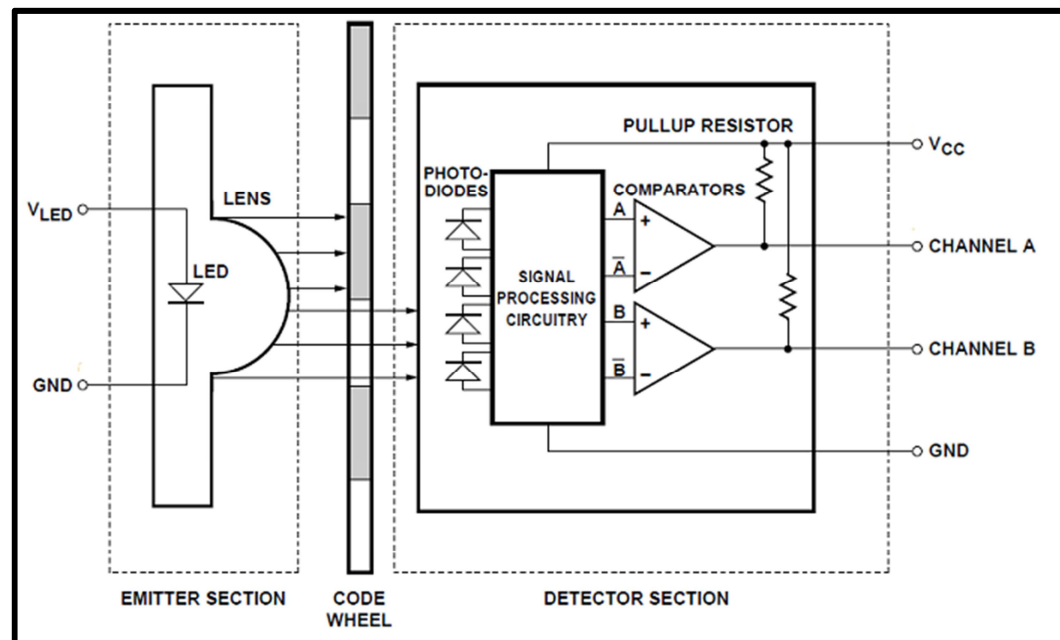
การสร้างชุดควบคุมความเร็วของมอเตอร์เห็นยาน้ำสารเฟสด้วยการควบคุมแบบเวลาเดอร์ทางอ้อม จำเป็นต้องมีการส่งกลับค่าความเร็วเพื่อใช้ในลูปควบคุมความเร็วของมอเตอร์ที่มีความล่าช้าจากความเป็นจริงที่น้อยมาก ๆ หรือถ้าไม่มีความล่าช้าได้ยิ่งดี เพราะยิ่งจะทำให้การควบคุมการทำงานทำได้อย่างมีประสิทธิภาพ ดังนั้น จึงได้ใช้การวัดความเร็วรอบของมอเตอร์ด้วยเอ็นโคดเดอร์ถึงจะมีความล่าช้าจากการส่งกลับค่าความเร็วแต่ก็มีไม่มาก และการใช้เอ็นโคดเดอร์วัดความเร็วรอบนั้น ได้มีการใช้งานกันอย่างแพร่หลาย เพราะเป็นเครื่องมือตรวจวัดความเร็วที่ให้ความน่าเชื่อถือได้สูง ดังนั้นในบทนี้จึงได้นำเสนอการสร้างชุดตรวจความเร็วรอบของมอเตอร์ด้วยเอ็นโคดเดอร์รุ่น E6B2-CWZ6C

5.2 โรตารีเอ็นโคดเดอร์ รุ่น E6B2-CWZ6C

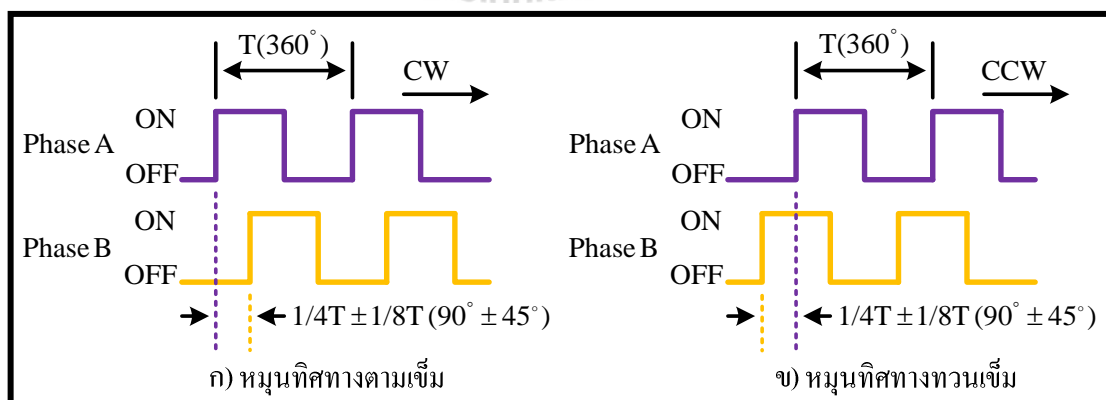
โรตารีเอ็นโคดเดอร์เป็นอุปกรณ์ที่สามารถบอกตำแหน่ง บอกทิศทาง และบอกความเร็วเชิงมุมของการหมุน ส่วนมากภายในจะใช้ตัวตรวจวัดแบบแสงซึ่งจะให้สัญญาณออกมายังรูปแบบของพลัสด์ (Pulse) ที่สามารถนำมาประมวลผลได้ โรตารีเอ็นโคดเดอร์สามารถแบ่งออกได้เป็นเอ็นโคดเดอร์แบบสัมบูรณ์ (Absolute Encoder) และเอ็นโคดเดอร์แบบเพิ่มค่า (Incremental Encoder) ในงานวิจัยวิทยานิพนธ์นี้ได้เลือกใช้เอ็นโคดเดอร์แบบเพิ่มค่า

เอ็นโคดเดอร์แบบเพิ่มค่าจะมีสัญญาณเอาต์พุตเป็นพลัสด์ต่อเนื่องไปเรื่อย ๆ ถึงแม้จะหมุนครบรอบแล้วก็ตาม แต่ว่าไม่สามารถจะบอกทิศทางการหมุนของมอเตอร์ได้ ดังนั้น จึงมีสัญญาณเอาต์พุตอีกช่องหนึ่งที่มีเฟสต่างกันออกไป เพื่อให้เป็นข้อมูลสำหรับการบอกทิศทางการหมุนของมอเตอร์ เรียกว่า ควอ-ดร่าเจอร์เอ็นโคดเดอร์ (quadrature encoder) ซึ่งมีบล็อกไอดีอะแกรมการทำงานดังรูปที่ 5.1 จากรูปประกอบด้วยส่วนที่สร้างลำแสง เรียกว่าส่วนปล่อยแสง (emitter section) สำหรับลำแสงมายังส่วนที่เป็นจานล้อหมุนที่มีวงรอบด้านนอกเป็นช่อง ๆ ลักษณะกับส่วนที่หมุนไปมาเรียกว่าล้อรหัส (code wheel) ลำแสงที่ผ่านจานหมุนนี้จะทำให้ผู้รับสัญญาณที่เรียกว่าส่วนของเครื่องตรวจจับ (detector section) ที่มีไอดีโคดเปล่งแสงเป็นส่วนประกอบ กำหนดสัญญาณเอาต์พุตออกเป็นสองส่วน คือ ส่วนสัญญาณที่เป็นช่อง A และส่วนสัญญาณที่เป็นช่อง B ซึ่งสัญญาณเอาต์พุตทั้งสองจะมีเฟสต่างกัน โดยสัญญาณเอาต์พุตที่ออกมายัง A และช่อง B แสดงได้ดังรูปที่ 5.2 จากรูปที่ 5.2 ทำให้สามารถรู้ได้ว่ามอเตอร์หมุนไปในทิศทางใด กล่าวคือ ถ้าเฟส A นำเฟส B จะหมายถึงมอเตอร์หมุนไปในทิศทางตามเข็มนาฬิกา (CW) ดังรูป

ที่ 5.2 ก) หรือในทางกลับกัน ถ้าเฟส B นำเฟส A จะหมายถึงมอเตอร์หมุนในทิศทางวนเข็มนาฬิกา (CCW) ดังรูปที่ 5.2 ข) จากรูปที่ 5.2 เมื่อทิศทาง การหมุนของเอ็นโคดเดอร์ไม่ว่าจะหมุนตามเข็มหรือทวนเข็มนาฬิกาสัญญาณพัลส์ของทั้งเฟส A และเฟส B จะทำมุมต่างกัน $1/4T \pm 1/8T$ เมื่อ T คือ มุม 360° นั้นคือจะทำมุมต่างกัน 90° โดยมีค่าความผิดพลาดอยู่ที่ $\pm 45^\circ$



รูปที่ 5.1 บล็อกไซด์แกรมการทำงานของความเร้าเอ็นโคดเดอร์



รูปที่ 5.2 ทิศทางการหมุนของความเร้าเอ็นโคดเดอร์

นอกจากนั้นอีน โอดเดอร์บางตัวจะมีสัญญาณช่องที่ 3 ที่เรียกว่า Zero หรือสัญญาณอ้างอิง (Reference signal) โดยสามารถที่จะนำสัญญาณนี้เพื่อมาตรวจสอบตำแหน่งอ้างอิง ซึ่งส่วนมากจะเรียกว่า เฟส Z

โดยตัวรีเซ็นต์ โอดเดอร์ที่จะนำมาใช้สำหรับตรวจวัดความเร็วรอบของมอเตอร์ในการควบคุม ความเร็วแบบวงจรเดอร์ทางอ้อมในงานวิจัยวิทยานิพนธ์นี้ได้ใช้ผลิตภัณฑ์ของบริษัท OMRON รุ่น E6B2-CWZ6C ดังรูปที่ 5.3 มีคุณสมบัติการใช้งานหลัก ๆ ดังตารางที่ 5.1

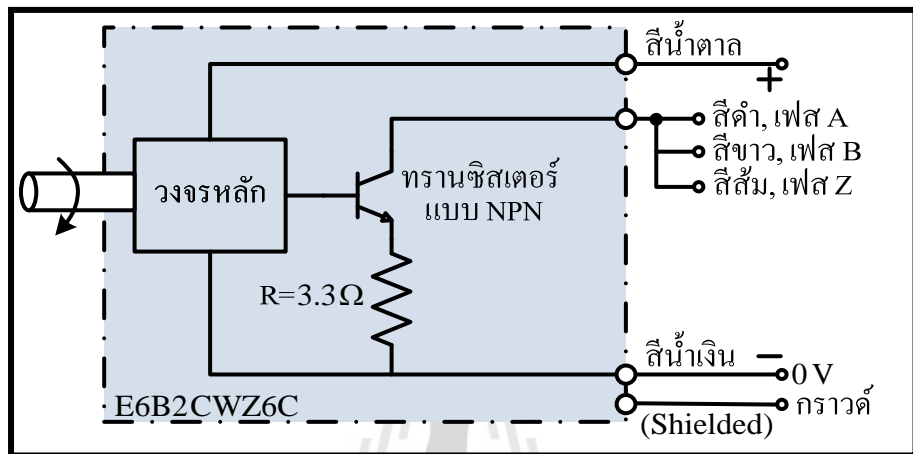


รูปที่ 5.3 เอ็น โอดเดอร์ รุ่น E6B2-CWZ6C

ตารางที่ 5.1 คุณสมบัติในการนำไปใช้งานของเอ็น โอดเดอร์รุ่น E6B2 CWZ6C

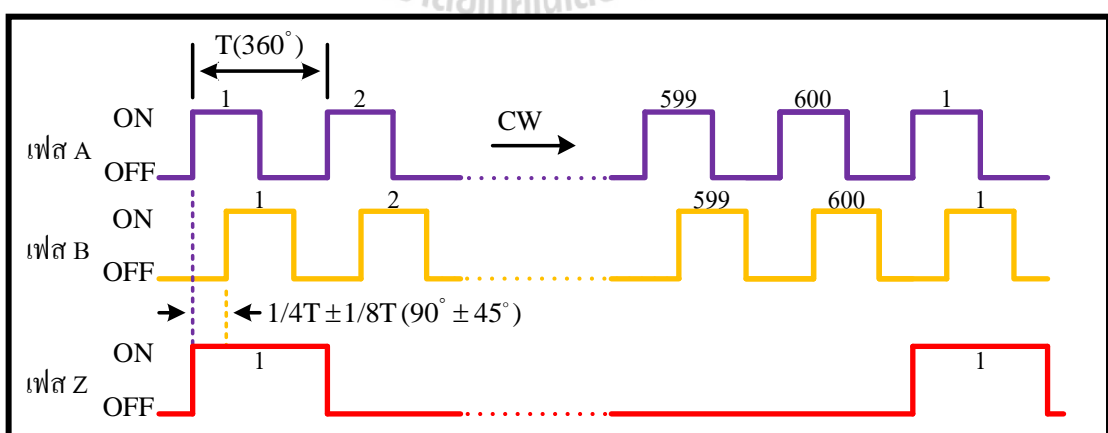
รายการ	E6B2-CWZ6C
แหล่งจ่าย	5 – 24 V _{DC}
กระแสสูงสุด	35 mA
จำนวนพลั๊ส	600 P/R
สัญญาณเอาต์พุต	A , B , and Z
องค์ประกอบบนด้านเอาต์พุต	Open collector
ความถี่ที่ตอบสนองได้สูงสุด	100 kHz
ความต่างเฟสทางด้านเอาต์พุต	90° ± 45° Between A and B
ความเร็วสูงสุดที่ใช้งานได้	10000 rpm

โครงสร้างภายในของอิเล็กทรอนิกส์ รุ่น E6B2-CWZ6C สามารถแสดงได้ดังรูปที่ 5.4 โดยมีสัญญาณเอาต์พุตออก 3 เฟส คือ เฟส A เฟส B และเฟส Z ซึ่งเฟส A คือ สายไฟเส้นสีดำ เฟส B คือสายไฟเส้นสีขาว และเฟส Z คือ สายไฟเส้นสีส้ม แหล่งจ่ายไฟให้กับวงจรหลักของอิเล็กทรอนิกส์คือสายไฟเส้นสีน้ำเงิน นำพาด และกราวด์ของแหล่งจ่าย คือ สายไฟเส้นสีน้ำเงิน



รูปที่ 5.4 โครงสร้างวงจรภายในของโรตารีอิเล็กทรอนิกส์ รุ่น E6B2-CWZ6C

สัญญาณเอาต์พุตที่ออกจากอิเล็กทรอนิกส์ E6B2-CWZ6C รวมทั้งสัญญาณเอาต์พุตที่เฟส Z สำหรับการหมุนในทิศทางตามเข็มแสดงได้ดังรูปที่ (5.5)



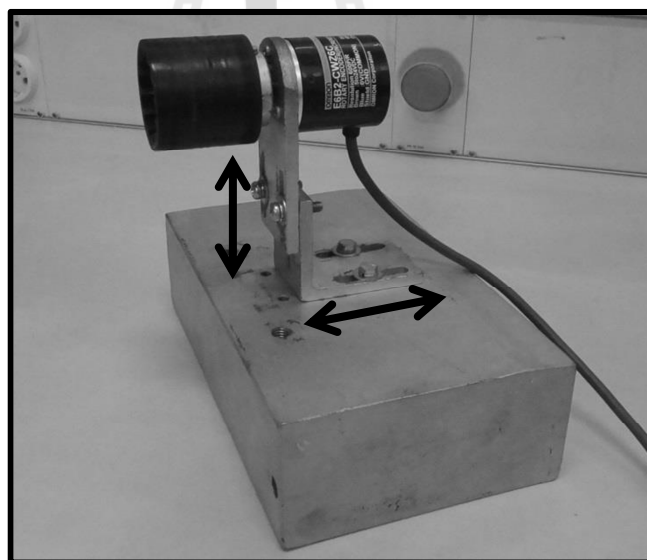
รูปที่ 5.5 สัญญาณเอาต์พุตของโรตารีอิเล็กทรอนิกส์ E6B2-CWZ6C

จากรูปที่ 5.5 เมื่อเอ็นโอดเดอร์หมุนในทิศทางตามเข็มนาฬิกา สัญญาณพัลส์ของเฟส A จะนำหน้าสัญญาณพัลส์ของเฟส B โดยที่สัญญาณของห้องสองเฟสจะทำมุมต่างกัน 90° ซึ่งมีค่าความผิดพลาดอยู่ที่ $\pm 45^\circ$ และสัญญาณเอาต์พุตของเฟส Z จะปรากฏเป็นพัลส์เมื่อเอ็นโอดเดอร์หมุนได้ครบหนึ่งรอบหรือเมื่อสัญญาณพัลส์ที่เฟส A และเฟส B ออกมากรบ 600 พัลส์

5.3 การติดตั้งเอ็นโอดเดอร์ รุ่น E6B2-CWZ6C

การติดตั้งเอ็นโอดเดอร์ รุ่น E6B2-CWZ6C มีขั้นตอนการติดตั้งดังต่อไปนี้

ขั้นตอนที่ 1 สร้างฐานให้กับเอ็นโอดเดอร์สำหรับเชื่อมเพลา (Shaft) ของเอ็นโอดเดอร์เข้ากับแกนเพลาของมอเตอร์ (แกนเพลาของ Pendulum Machine) เพื่อใช้ตรวจวัดความเร็วรอบ ซึ่งได้ออกแบบฐานสำหรับติดตั้งเอ็นโอดเดอร์ดังรูปที่ 5.6 โดยจากรูปจะเห็นว่าการออกแบบฐานของเอ็นโอดเดอร์ถูกออกแบบให้มีความยืดหยุ่น โดยสามารถปรับระดับเพิ่มลดความสูงและสามารถเลื่อนเข้าเลื่อนออกได้ จึงทำให้การติดตั้งเอ็นโอดเดอร์เชื่อมกับแกนเพลาของมอเตอร์ทำได้ไม่ยุ่งยาก



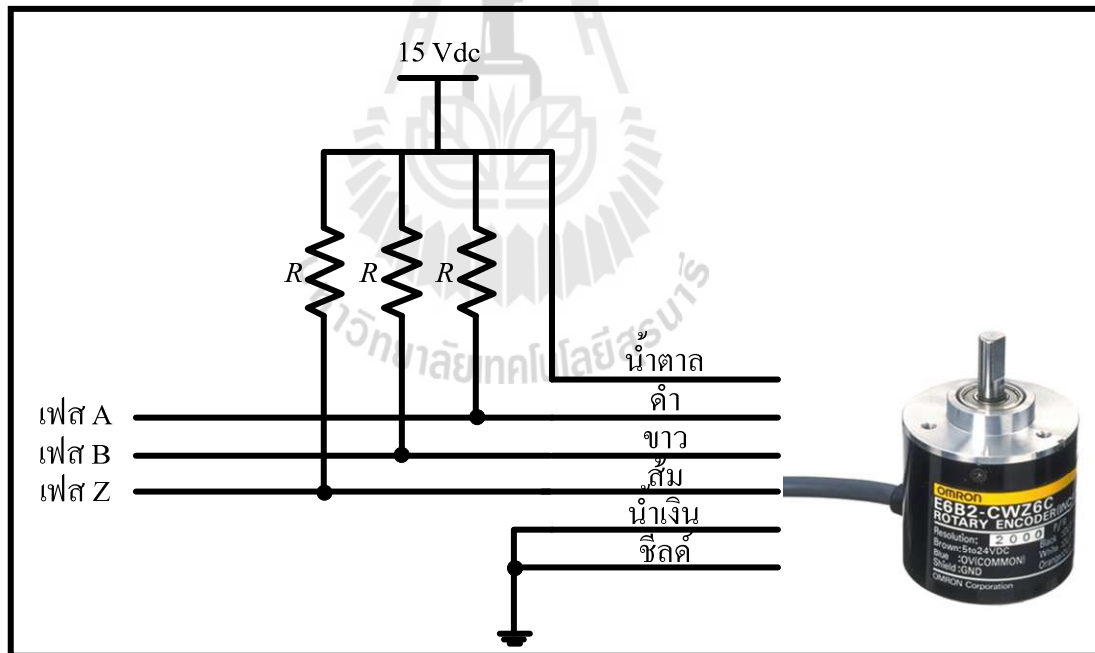
รูปที่ 5.6 ฐานที่ใช้สำหรับติดตั้งเอ็นโอดเดอร์ E6B2 CWZ6C

ขั้นตอนที่ 2 จากรูปที่ 5.4 จะเห็นว่าลักษณะของวงจรการทำงานภายในของเอ็นโอดเดอร์ รุ่น E6B2-CWZ6C ในส่วนของวงจรทางด้านเอาต์พุต (Phase A , Phase B , และ Phase Z) เป็นวงจรแบบ Open collector หมายถึงขา collector ของทรานซิสเตอร์ไม่ได้ต่อกับอะไรมากเลย และเมื่อนำเอ็นโอดเดอร์ รุ่น E6B2-CWZ6C มาใช้งานก็ไม่สามารถต่อวงจรทางด้านเอาต์พุตของเอ็นโอดเดอร์เข้ากับแหล่งจ่ายไฟได้โดยตรง เนื่องจากวงจรทางด้านเอาต์พุตของเอ็นโอดเดอร์มีค่าความต้านทานเพียง

แค่ 3.3Ω เท่านั้น สมมุติว่าใช้แหล่งจ่าย $15 V_{DC}$ ต่อเข้ากับวงจรทางด้านเอาต์พุตของอิเน็มโคดเดอร์จะเห็นว่า

$$I_{out} = \frac{15 V_{DC}}{3.3 \Omega} = 4.5454 A \quad (5-1)$$

ซึ่งจากสมการที่ (5-1) ถ้าต่อแหล่งจ่าย $15 V_{DC}$ เข้าที่วงจรทางด้านเอาต์พุต โดยตรงจะพบว่ากระแสที่ไหลในวงจรทางด้านเอาต์พุตมีค่าสูงมาก ซึ่งกระแสเด้งกลบกันมีค่าเกินพิกัดของอิเน็มโคดเดอร์รุ่น E6B2-CWZ6C โดยพิกัดของกระแสสูงสุดของอิเน็มโคดเดอร์รุ่นดังกล่าวอยู่ที่ $35 mA$ ดังนั้น ในการใช้งานจำเป็นต้องต่อค่าความต้านทานเข้าไปยังวงจรทางด้านเอาต์พุตเพื่อช่วยลดอัตราการไหลของกระแสจากแหล่งจ่าย ซึ่งได้แสดงวิธีการต่อค่าความต้านทานเข้าไปยังวงจรทางด้านเอาต์พุตที่เฟส A เฟส B และเฟส Z ดังรูปที่ 5.7



รูปที่ 5.7 การต่อวงจรเพื่อใช้งานอิเน็มโคดเดอร์รุ่น E6B2 CWZ6C

การออกแบบค่าความต้านทาน (R) ของวงจรในรูปที่ 5.7 แสดงได้ดังต่อไปนี้

เมื่อพิจารณาที่ค่ากระแสพิกัดของอิเน็มโคดเดอร์ที่ $35 mA$ และเมื่ออิเน็มโคดเดอร์ใช้แหล่งจ่ายที่ $15 V_{DC}$ จะได้

$$R_{total} = \frac{15 V_{DC}}{35 mA} = 428.57 \Omega \quad (5-2)$$

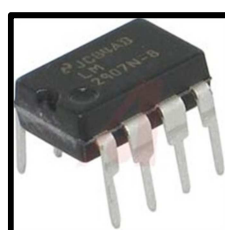
จากสมการที่ (5-2) จะทราบว่าต้องใช้ค่าความต้านที่ต่อเพิ่มเข้าไปในวงจรที่ได้แสดงไว้ในรูปที่ 5.7 ดังนี้

$$R \geq R_{total} - 3.3 \Omega = 425.27 \Omega$$

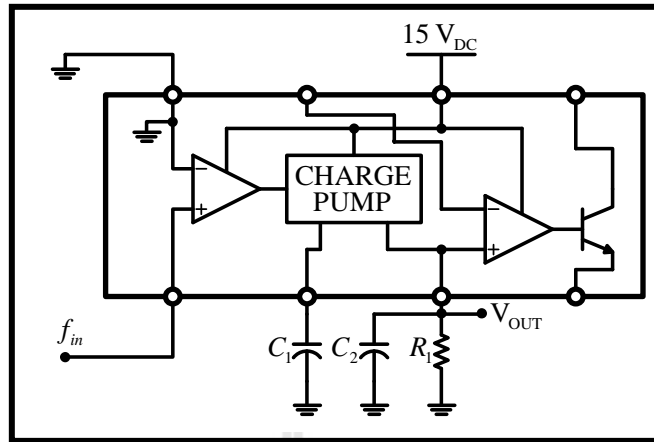
ในการออกแบบนี้ได้เลือกใช้ค่าความต้านทาน R เท่ากับ 1000Ω และเมื่อรวมกันกับค่าความต้านทานภายในของวงจรทางด้านเอาต์พุตของอินโอดีอิค 3.3Ω ทำให้สามารถคำนวณอัตราการไหลของกระแสด้านวงจรเอาต์พุตของอินโอดีอิคได้ดังสมการที่ (5.3)

$$I_{out,1000+3.3\Omega} = \frac{15 V_{DC}}{1000\Omega + 3.3\Omega} = 14.95 \text{ mA} \quad (5.3)$$

ขั้นตอนที่ 3 ออกแบบวงจรแปลงความถี่เป็นแรงดัน (f to v) (ในงานวิจัยวิทยานิพนธ์นี้การสร้างชุดควบคุมความเร็วแบบเวลาเตอร์ทางอ้อมจะไม่พิจารณาทิศทางการหมุนของมอเตอร์) โดยจากรูปที่ 5.5 จะเห็นว่าสัญญาณทางด้านเอาต์พุตของเฟส A และ เฟส B เป็นสัญญาณพัลส์ที่มีรอบทำงาน (duty cycle) เท่ากับ 50% โดยความถี่ของสัญญาณเอาต์พุตจะขึ้นอยู่กับอัตราการหมุนของอินโอดีอิค เช่น ถ้าอัตราการหมุนข้าความถี่ของสัญญาณเอาต์พุตจะมีค่าน้อยและถ้าอัตราการหมุนเร็วความถี่ของสัญญาณเอาต์พุตจะมีค่ามาก จากเงื่อนไขดังกล่าวจึงได้ออกแบบวงจรแปลงความถี่เป็นแรงดันเพื่อใช้ตรวจวัดความเร็วของมอเตอร์ การออกแบบวงจรดังกล่าวจะใช้ไอซี LM2907 ซึ่งเป็นไอซีสำหรับการแปลงความถี่เป็นแรงดัน ไอซี LM2907 แสดงได้ดังรูปที่ 5.8 และ ได้แสดงโครงสร้างภายในพร้อมทั้งแสดงการต่อวงจรการทำงานของตัวไอซี LM2907 ดังรูปที่ 5.9



รูปที่ 5.8 ไอซีเบอร์ LM2907



รูปที่ 5.9 วงจรสำหรับแปลงความถี่เป็นแรงดันโดยใช้ไอซี LM2907

จากวงจรแปลงความถี่เป็นแรงดันในรูปที่ 5.9 สามารถคำนวณหาค่าพารามิเตอร์ C_1 และ R_1 ได้ จากสมการที่ (5-4) โดยสมการดังกล่าวได้มาจากคู่มือการใช้งานของไอซีเบอร์ LM2907

$$V_{OUT,LM2907} = V_{CC,LM2907} \times f_{in,LM2907} \times C_1 \times R_1 \quad (5-4)$$

เมื่อ $V_{OUT,LM2907}$ คือ แรงดันเอาต์พุตของไอซีเบอร์ LM2907

$V_{CC,LM2907}$ คือ แหล่งจ่ายไฟของไอซีเบอร์ LM2907

$f_{in,LM2907}$ คือ สัญญาณอินพุตของไอซีเบอร์ LM2907

C_1 คือ ตัวเก็บประจุสำหรับการออกแบบวงจรแปลงความถี่เป็นแรงดัน

R_1 คือ ความต้านทานสำหรับการออกแบบวงจรแปลงความถี่เป็นแรงดัน

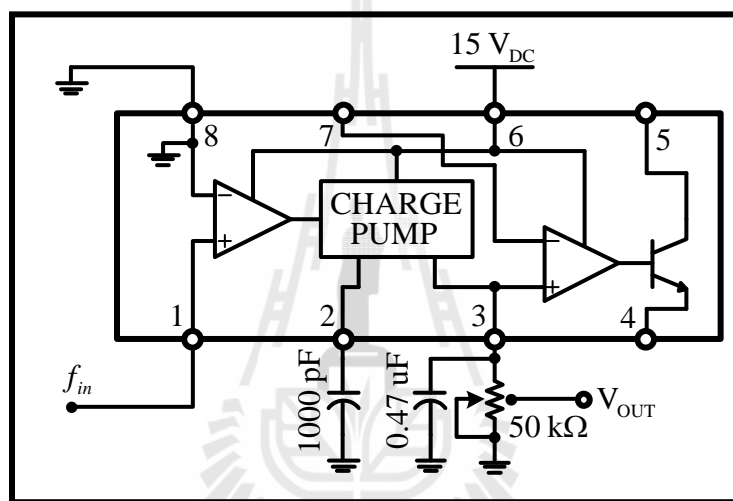
จากสมการที่ (5-4) สำหรับการออกแบบวงจรแปลงความถี่เป็นแรงดัน ใช้แหล่งจ่ายไฟของไอซี LM2907 เท่ากับ 15 V_{DC} ความถี่ของสัญญาณอินพุตที่ใช้ออกแบบได้กำหนดไว้ที่ค่าสูงสุดคือ 15 kHz พารามิเตอร์ C_1 กำหนดไว้ที่ 1000 pF และ R_1 เท่ากับ 50 kΩ ดังนั้น จากสมการที่ (5-4) สามารถคำนวณค่าแรงดันเอาต์พุตได้ดังนี้

$$V_{OUT,LM2907} = 15 \times 15 \times 0^3 \times 10^{-9} \times 50 \times 0^3 = 11.25 \text{ V}$$

จากการคำนวณแรงดันเอาต์พุตของของไอซี LM2907 ในสมการที่ (5-4) ถ้าความถี่ที่รับเข้ามาเท่ากับ 15 kHz แรงดันที่ออกไปจะเท่ากับ 11.25 V เนื่องจากแรงดันที่ได้จากการดังกล่าวต้องถูกส่งต่อไป

ยังไม่ได้รับอนุญาตให้ใช้ในสิ่งที่ไม่ได้ระบุไว้ในเอกสารนี้

ข้างในได้แสดงค่าคงที่ของวงจรที่ได้คำนวณโดยใช้ซอฟต์แวร์ eZdsp™ F28335 ซึ่งใช้เป็นตัวประมวลผลการควบคุมแบบเวกเตอร์ ทางอ้อมที่มีพิกัดการทำงานของแรงดันอยู่ที่ 3.3 V จะนั่นจึงต้องแบ่งแรงดันของวงจรเปล่งความถี่เป็น แรงดันจาก 11.25 V ลดลงเหลือ 3.3 V การแบ่งแรงดันจะเปลี่ยนตัวต้านทาน R_1 จากตัวต้านทานที่ไม่สามารถปรับค่าได้เป็นตัวต้านทานที่สามารถปรับค่าได้ตั้งแต่ 0 ถึง $50\text{ k}\Omega$ และจากรูปที่ 5.9 มีค่าพารามิเตอร์ C_2 ที่ยังไม่ทราบค่าซึ่งทำหน้าที่กรองสัญญาณแรงดันกระแสเพื่อม (ripple voltage) การออกแบบนี้จึงได้กำหนดค่า C_2 เท่ากับ $0.47\text{ }\mu\text{F}$ ดังนั้น รูปที่ 5.9 สามารถเขียนได้ใหม่โดยได้ใส่พารามิเตอร์ทั้งหมดที่ได้จากการออกแบบไว้ในข้างต้นดังรูปที่ 5.10



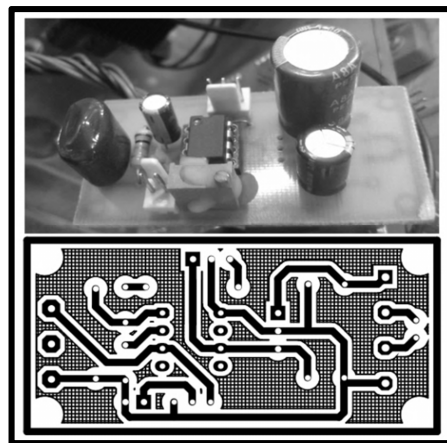
รูปที่ 5.10 วงศ์รрапลงความถี่เป็นแรงดันสำหรับต่อเข้ากับไมโครคอนโทรลเลอร์

เมื่อได้ค่าพารามิเตอร์ของการออกแบบวงจรแปลงความถี่เป็นแรงดัน จึงสามารถนำค่าที่ได้ไปสร้างชุดการทำงานได้ดังรูปที่ 5.11 ในส่วนของการสร้างลายวงจรเพื่อจะนำไปลงแผ่นปรินต์ผู้จัดทำใช้โปรแกรม Altium Designer ซึ่งทำให้ลายวงจรที่ได้มีความเรียบร้อยและมีขนาดเล็กทำให้มีความสะดวกต่อการขัด匡

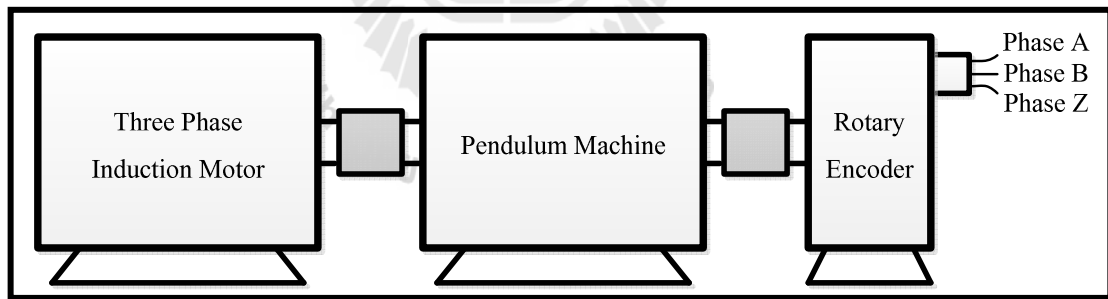
5.4 การทดสอบการทำงานของอี็นโคดเดอร์และวงจรแปลงความถี่เป็นแรงดัน

การทดสอบการทำงานของอีนโคงเดอร์ รุ่น E6B2-CWZ6C และการทดสอบว่างจรแปลงความถี่เป็นแรงดัน จะทำการทดสอบทีละส่วน โดยส่วนแรกจะทำการทดสอบเฉพาะการทำงานของอีนโคงเดอร์ สามารถแสดงบล็อกໄດ้อะแกรมของการทดสอบได้ดังรูปที่ 5.12 จากรูปที่ 5.12 จะเห็นว่ามอเตอร์หนีบยาน้ำสามเฟส Pendulum Machine และ โรตารี่อีนโคงเดอร์ ได้เชื่อมต่อกันผ่านทางแกนเพลา ซึ่งจะทำให้อุปกรณ์ทั้งสามหมุนที่ความเร็วเท่ากัน ดังนั้น จากรูปที่ 5.12 นอกจากจะใช้ทดสอบการทำงานของอีนโคงเดอร์แล้วยังสามารถทราบความเร็วของมอเตอร์ด้วยการคำนวณจากความถี่ของสัญญาณพัลส์ของ

เฟส A หรือ เฟส B ก็สามารถทำได้ ส่วนที่สองการทำงานของวงจรแปลงความถี่เป็นแรงดันโดยใช้ความถี่อินพุตจากอิเนิน โอดค์เดอร์ที่เฟส A หรือเฟส B ก็ได้ ในงานวิจัยนี้ได้เลือกใช้ความถี่อินพุตจากเฟส A สามารถแสดงໄດ้อะแกรมของการทดสอบได้ดังรูปที่ 5.13 จะมีความแตกต่างจากรูปที่ 5.12 เพียงแค่เพิ่มวงจรแปลงถี่เป็นแรงดันเข้ามาเท่านั้น



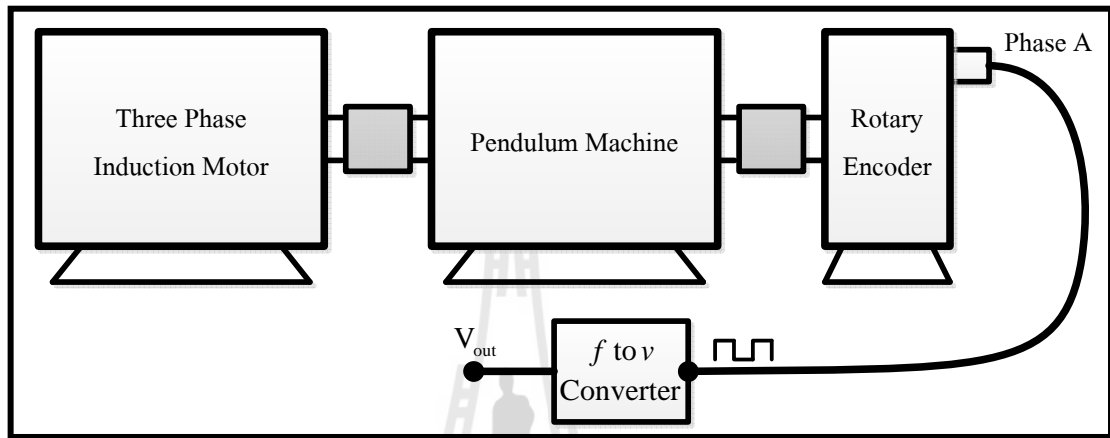
รูปที่ 5.11 วงจรแปลงความถี่เป็นแรงดันที่ใช้จริง



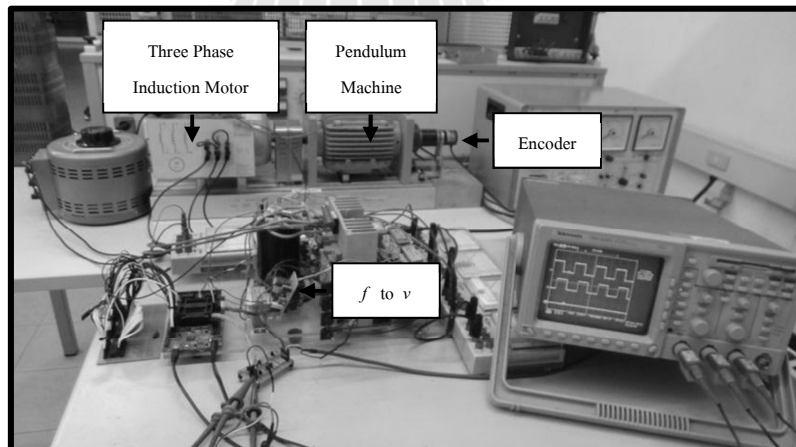
รูปที่ 5.12 ໄດ้อะแกรมการทดสอบการทำงานของอิเนิน โอดค์เดอร์

จากการทดสอบการทำงานของอิเนิน โอดค์เดอร์ รุ่น E6B2-CWZ6C ดังที่ได้แสดงໄດ้อะแกรมการทดสอบดังรูปที่ 5.12 ในการทดสอบได้กำหนดให้มอเตอร์หมุนในทิศทางตามเข็มและวนเข็มนาฬิกา เพื่อคุณลักษณะตอบสนองของสัญญาณเอาต์พุตที่เฟส A เฟส B และเฟส Z ซึ่งได้แสดงรูปภาพของวงจรการทดสอบจริงดังรูปที่ 5.14 และได้แสดงผลของการทดสอบดังรูปที่ 5.15 ถึงรูปที่ 5.17 โดยรูปที่ 5.15 แสดงผลการทดสอบเมื่ออิเนิน โอดค์เดอร์หมุนในทิศทางตามเข็มนาฬิกา จากรูปพบว่าสัญญาณเอาต์พุตแบบพัลส์ของเฟส A นำเฟส B อよู่ 90° ถูกต้องตามเงื่อนไขการทำงานของอิเนิน โอดค์เดอร์ รุ่น E6B2-CWZ6C รูปที่ 5.16 แสดงผลการทดสอบเมื่ออิเนิน โอดค์เดอร์หมุนในทิศทางวนเข็ม

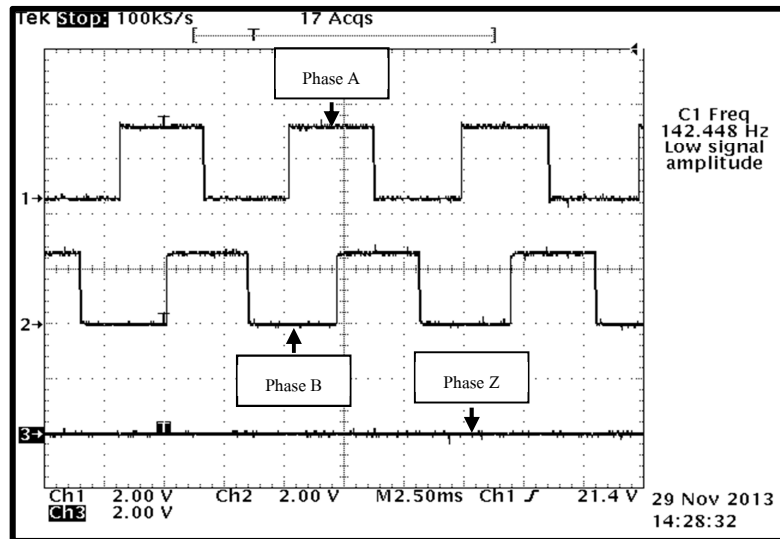
นาฬิกา พบว่าสัญญาณเอาต์พุตในเฟส A จะตามหลังเฟส B อยู่ 90° มีความถูกต้องตามเงื่อนไขการทำงานของอิเนินโอดีเดอร์รุ่น E6B2-CWZ6C และรูปที่ 5.17 แสดงผลการทดสอบการทำงานของเฟส Z จากรูป พบว่าเมื่ออิเนินโอดีเดอร์หมุนครบรอบสัญญาณเอาต์พุตของเฟส Z จะปรากฏเป็นพัลส์เพื่อแสดงให้เห็นว่า อิเนินโอดีเดอร์ได้หมุนครบหนึ่งรอบ



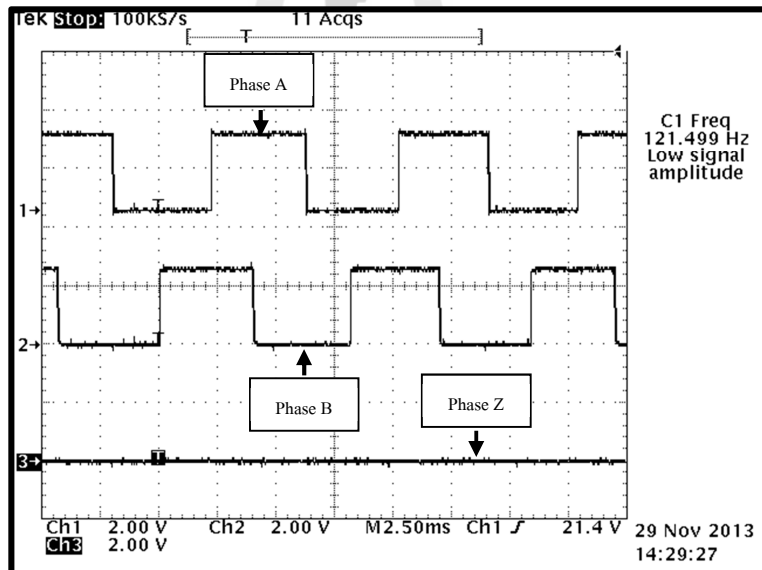
รูปที่ 5.13 ไอดีограмการทดสอบการทำงานของอิเนินโอดีเดอร์
ความคูณกับวงจรแปลงความถี่เป็นแรงดัน



รูปที่ 5.14 ทดสอบการทำงานของอิเนินโอดีเดอร์



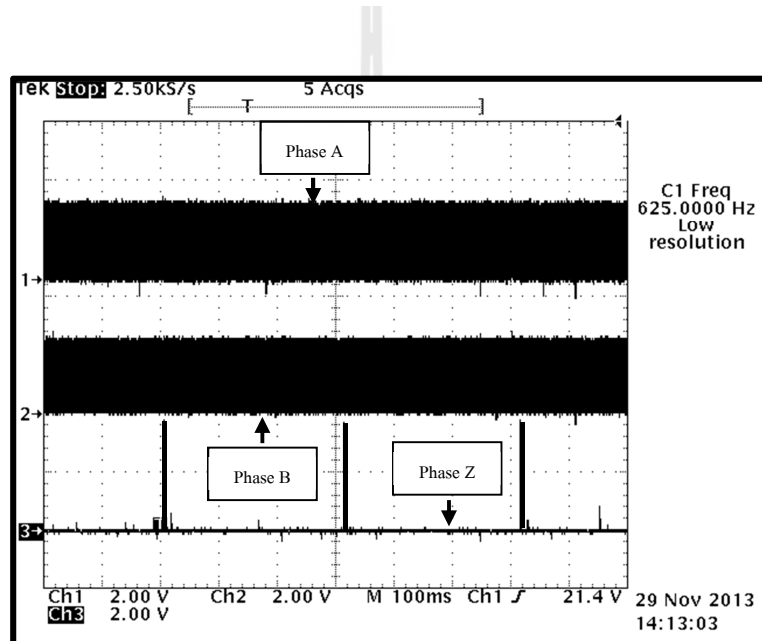
รูปที่ 5.15 การทดสอบโดยให้อีน โอดเดอร์หมุนตามเข็มนาฬิกา



รูปที่ 5.16 การทดสอบโดยให้อีน โอดเดอร์หมุนทวนเข็มนาฬิกา

จากบล็อก ໄດօะແກຣມກາຮັດສອບວງຈະປ່ານກວາມຄື່ເປັນແຮງດັນໃນຮູບທີ 5.13 ເພື່ອຕຽວຈັດ ຄວາມເຮົ້ວໂອນຂອງມອເຕອຣ໌ເໜີ່ຍໍາສາມເຟສ ໂດຍໄດ້ແສດງຮູປກາພຂອງວົງຈະທີ່ໄດ້ຈາກກາຮັດສອບຈິງດັງຮູປທີ່ 5.14 ກາຮັດສອບການທຳງານຂອງວົງຈະດັ່ງກ່າວໄດ້ກຳຫັນຄ່າກວາມຄື່ທາງດ້ານອິນພຸດຂອງວົງຈະດັ່ງຕາຮາງທີ່ 5.2 ຜຶ້ງໃນກາຮັດສອບຈະກຳຫັນດໄໝມອເຕອຣ໌ໜຸນທີ່ກວາມເຮົ້ວຕ່າງໆ ເພື່ອທີ່ຈະໄດ້ກວາມຄື່ອິນພຸດຕາມທີ່ໄດ້ກຳຫັນໄວ້ (ກວາມຄື່ອິນພຸດເປັນກວາມຄື່ທີ່ເກີດຈາກກາຮັດໜຸນຂອງເອັນ ໂອດັດເດອຣ໌) ຈາກນັ້ນບັນທຶກຄ່າແຮງດັນ

เอาร์พุตของวงจรแปลงความถี่เป็นแรงดันลงในตารางที่ 5.2 ที่ความถี่ต่าง ๆ อีกทั้งจากค่าความถี่อินพุตที่เกิดจากการหมุนของโรตารี่อิเน็นโอดเดอร์ยังสามารถนำมารคำนวณความเร็วรอบของมอเตอร์จากสมการที่ (5-5) โดยสมการดังกล่าวได้จากคู่มือการทำงานของโรตารี่อิเน็นโอดเดอร์ รุ่น E6B2-CWZ6C ในการตรวจสอบความถูกต้องของสมการดังกล่าวผู้วิจัยได้ทดลองใช้เครื่องมือในห้องแล็บที่มีชื่อว่า Pendulum Machine ตรวจวัดความเร็วเพื่อเทียบกับความเร็วที่ได้ในการคำนวณจากความถี่อินพุตในสมการที่ (5-5) พบว่าผลที่ได้จากการตรวจวัดความเร็วของห้องส่องวิธีมีความใกล้เคียงกัน จึงสามารถสรุปได้ว่าความเร็วที่ได้จากการคำนวณในสมการที่ (5-5) สามารถนำไปใช้ตรวจวัดความเร็วของมอเตอร์ได้ (ขั้นตอนการตรวจสอบความถูกต้องของสมการดังกล่าวจะถูกละไว้)



รูปที่ 5.17 ผลการทดสอบการทำงานของเฟส Z

$$\omega_r = 2\pi \times \frac{f_{in}}{\text{resolution}} \quad \text{หรือ} \quad N_r = \frac{f_{in}}{\text{resolution}} \times 60 \quad (5-5)$$

เมื่อ f_{in} คือ ความถี่ของสัญญาณพัลส์ที่เกิดจากอิเน็นโอดเดอร์เนื่องจากการหมุนของมอเตอร์ resolution คือ จำนวนพัลส์ที่งมหาดเมื่ออิเน็นโอดเดอร์หมุนครบหนึ่งรอบ ซึ่งตัวโรตารี่อิเน็นโอดเดอร์ รุ่น E6B2-CWZ6C หนึ่งรอบจะมีพัลส์ออกมากทั้งหมด 600 พัลส์

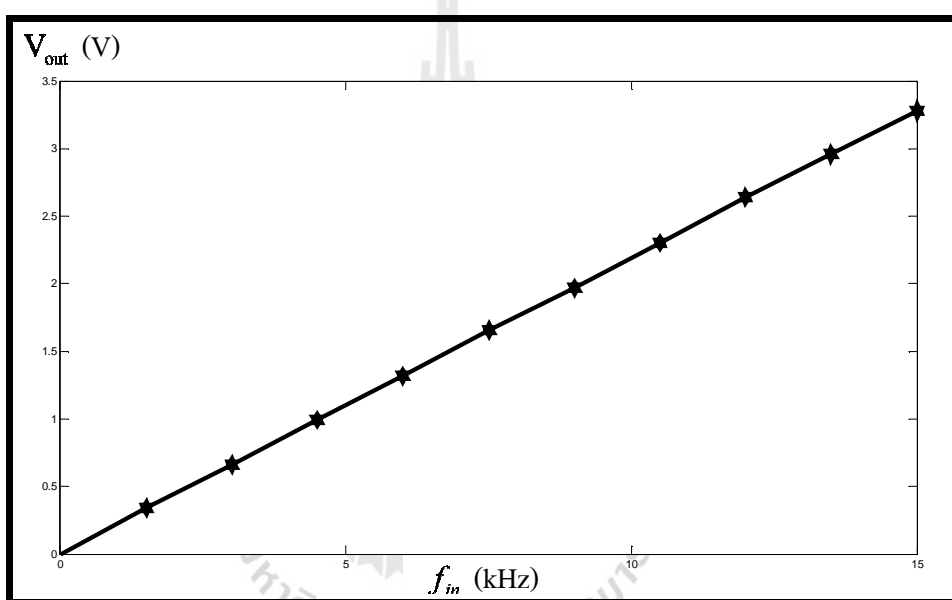
$\omega_{r,encoder}$ คือ ความเร็วเชิงมุมของอิเน็นโอดเดอร์หรือความเร็วเชิงมุมของมอเตอร์

$N_{r,encoder}$ คือ ความเร็วรอบของอิเน็นโอดเดอร์หรือความเร็วรอบของมอเตอร์

ตารางที่ 5.2 ผลการทดสอบวงจรแปลงความถี่เป็นแรงดัน

f_{in} (KHz)	1.5	3	4.5	6	7.5	9	10.5	12	13.5	15
V_{out} (V)	0.34	0.66	0.99	1.32	1.66	1.97	2.3	2.64	2.96	3.28
Speed (rpm)	150	300	450	600	750	900	1050	1200	1350	1500

จากผลการทดสอบวงจรแปลงความถี่เป็นแรงดันในตารางที่ 5.2 สามารถนำมาพล็อตกราฟเพื่อดูความสัมพันธ์ระหว่างแรงดันเอาต์พุตกับความถี่อินพุตแสดงได้ดังรูปที่ 5.18



รูปที่ 5.18 กราฟความสัมพันธ์ระหว่างแรงดันเอาต์พุตกับความถี่อินพุต

จากราฟรูปที่ 5.18 แสดงให้เห็นว่าแรงดันเอาต์พุตกับความถี่อินพุตมีความสัมพันธ์เป็นเชิงเส้น จากความสัมพันธ์ดังกล่าว จึงสามารถเขียนสมการเส้นตรง สำหรับใช้คำนวณการตรวจวัดความเร็ว รอบของมอเตอร์หนี่ยาน้ำสารเคมีได้ดังนี้

$$\omega_r = K_s (m_s y_s + c_s) \quad (5-6)$$

เมื่อ K_s คือ ค่าคงที่ของการคำนวณความเร็วเชิงมุมของโรเตอร์

m_s คือ ค่าความชันของกราฟในรูปที่ 5.18

y_s คือ แรงดันเอาต์พุตของวงจรแปลงความถี่เป็นแรงดัน

c_s คือ เริ่มต้นของการคำนวณค่าความเร็วเชิงมุม

จากตารางที่ 5.2 จะได้ว่า c_s มีค่าเท่ากับ 0 และจากกราฟในรูปที่ 5.18 สามารถคำนวณหาความชันของกราฟได้ดังสมการที่ (5-7)

$$m_s = \frac{y_{s2} - y_{s1}}{x_{s2} - x_{s1}} \quad (5-7)$$

เมื่อ y_{s2} คือ ค่าแรงดันเอาต์พุตที่ความถี่อินพุต 12 kHz

y_{s1} คือ ค่าแรงดันเอาต์พุตที่ความถี่อินพุต 6 kHz

x_{s2} คือ ค่าความถี่อินพุตเท่ากับ 12 kHz

x_{s1} คือ ค่าความถี่อินพุตเท่ากับ 6 kHz

จากสมการที่ (5-7) สามารถคำนวณค่าความชันได้ดังนี้

$$m_s = \frac{2.64 - 1.32}{(12 - 6) \times 10^3} = 2.2 \times 10^{-4}$$

จากตารางที่ 5.2 ถ้าความถี่อินพุต f_{in} มีค่าเท่ากับ 15 kHz หมายถึงความเร็วในการหมุนของมอเตอร์จะมีค่าเท่ากับ 1500 rpm โดยที่ค่าความเร็วของมอเตอร์จะประมาณ f_{in} เป็นแบบเชิงเส้น จากตารางที่ 5.2 ที่ f_{in} เท่ากับ 15 kHz จะได้แรงดันเอาต์พุตจากการแปลงความถี่เป็นแรงดันเท่ากับ 3.28 หมายความว่าที่ค่าแรงดันเอาต์พุตเท่ากับ 3.28 V ความเร็วในการหมุนของมอเตอร์จะเท่ากับ 1500 rpm หรือความเร็วเชิงมุมเท่ากับ 157.07 เรเดียน/วินาที ดังนั้น สมการที่ (5-6) สามารถจัดรูปใหม่เพื่อหาค่า K_s โดยที่ค่า c_s มีค่าเท่ากับ 0 ได้ดังนี้

$$K_s = \frac{\omega_r}{m_s y_s} \quad (5-8)$$

สมการที่ (5-8) สามารถคำนวณค่า K_s ที่ความถี่ f_{in} เท่า 15 kHz ได้ดังนี้

$$K_s = \frac{157.07}{2.2 \times 10^{-4} \times 3.28} = 217682$$

จากสมการที่ (5-6) โดยใช้ค่า K_s ที่ได้จากการคำนวณในสมการที่ (5-8) สามารถคำนวณความเร็วเชิงมุมจากค่าแรงดันเอาต์พุตต่าง ๆ ในตารางที่ 5.2 ได้แสดงผลการคำนวณเปรียบเทียบกัน

ระหว่างสมการที่ (5-6) คือ ω_{r1} และสมการที่ (5-5) คือ ω_{r2} ดังตารางที่ 5.3 สำหรับการคำนวณเพื่อเปรียบเทียบผลของสมการทั้งสอง ผู้วิจัยได้ยกตัวการคำนวณเป็นบ้างค่าเท่านั้นเนื่องจากเห็นว่าไม่มีความจำเป็นต้องคำนวณทุกค่า เพราะเมื่อพิจารณาจากกราฟในรูปที่ 5.18 พบร่วมกันความสัมพันธ์ของความถี่อินพุตกับแรงดันเอาต์พุตมีความสัมพันธ์เป็นเชิงเส้นซึ่งกัน

ตารางที่ 5.3 ผลการคำนวณความเร็วเชิงมุมของสมการที่ (5-8) เทียบกับสมการที่ (5-10)

ความถี่อินพุต (kHz)	3	6	9	12	15
แรงดันเอาต์พุต (V)	0.66	1.32	1.97	2.64	3.28
ω_{r1} (เรเดียล/วินาที)	31.6	63.2	94.3	126.4	157.1
ω_{r2} (เรเดียล/วินาที)	31.4	62.8	94.2	125.7	157.1

เมื่อพิจารณาผลจากการคำนวณค่าความเร็วเชิงมุมจากตารางที่ 5.3 พบร่วมกันความค่าเร็วเชิงมุมที่ได้จากการคำนวณในสมการที่ (5-6) และสมการที่ (5-5) มีค่าใกล้เคียงกัน ดังนั้น การตรวจวัดความเร็วเชิงมุมของมอเตอร์สามารถใช้สมการที่ (5-6) เพื่อใช้คำนวณความเร็วเชิงมุมของมอเตอร์หนี่ยานำสามเฟสต่อไป

5.5 สรุป

ในบทที่ 5 จะกล่าวถึงการสร้างชุดตรวจวัดความเร็วของมอเตอร์ด้วยอินโคดเดอร์ โดยในขั้นต้นได้สร้างฐานสำหรับติดตั้งตัวอินโคดเดอร์เพื่อให้แกนเพลาของอินโคดเดอร์สามารถเข้ามายื่นกับแกนเพลาของ Pendulum Machine ได้ จากนั้นได้สร้างวงจรแปลงความถี่เป็นแรงดันโดยใช้ไอซี LM2907 ซึ่งเป็นไอซีสำหรับแปลงความถี่เป็นแรงดัน โดยเฉพาะเพื่อจะได้ประสิทธิภาพของการแปลงความถี่เป็นแรงดันที่ดี

การทดสอบการทำงานของโรตารี่อินโคดเดอร์ รุ่น E6B2-CWZ6C พบร่วมกับผลที่ได้จากการทดสอบมีความถูกต้องทั้งในทิศทางหมุนตามเข็มและหมุนทวนเข็มตามคู่มือการใช้งานที่มาพร้อมกับอุปกรณ์ ดังกล่าว เนื่องจากการสร้างชุดควบคุมความเร็วแบบเกลากล้อทั้งสองข้างของงานวิจัยนี้ไม่ได้ให้ความสนใจทิศทางการหมุนของมอเตอร์ จึงได้ใช้วิธีตรวจวัดความเร็วโดยการแปลงความถี่ของสัญญาณพัลส์ที่เกิดจากอินโคดเดอร์เป็นแรงดันทำให้มีความสะดวกสำหรับการตรวจวัดความเร็วของมอเตอร์ จากการทดสอบการทำงานของวงจรพบว่ามีความสัมพันธ์เป็นแบบเชิงเส้นกับความถี่ที่ทำให้สามารถนำมาคำนวณเพื่อหาความเร็วได้โดยง่าย ชุดตรวจวัดความเร็วที่ได้สร้างขึ้นนี้ยังสามารถนำไปใช้กับการตรวจวัดความเร็วของการควบคุมแบบอิเล็กทรอนิกส์ไม่ใช่การควบคุมแบบเกลากล้อที่มีพิกัดความเร็วอยู่ที่ 1500 rpm และชุดตรวจวัดที่สร้างขึ้นนี้จะถูกนำมาใช้ร่วมกับชุดควบคุมความเร็วแบบเกลากล้อทั้งสองข้างที่จะสร้างขึ้นในบทที่ 6 ต่อไป

บทที่ 6

การสร้างชุดอินเวอร์เตอร์สามเฟสและวงจรตรวจวัดกระแส

6.1 บทนำ

การสร้างชุดควบคุมความเร็วของมอเตอร์เนินยานำสามเฟสด้วยการควบคุมแบบเบกเกอร์ทางอ้อมในงานวิจัยนี้ได้แบ่งเป็น 4 ส่วนหลัก ๆ ดังนี้ คือ 1) การสร้างชุดตรวจวัดความเร็วของมอเตอร์เนินยานำสามเฟสซึ่งได้แก่ค่ารายละเอียดไว้แล้วในบทที่ 5 2) การสร้างวงจรอินเวอร์เตอร์สามเฟสเพื่อใช้ขับเคลื่อนมอเตอร์เนินยานำสามเฟส 3) การสร้างวงจรตรวจวัดกระแสที่จำยให้กับมอเตอร์เนินยานำสามเฟส 4) การเขียนโปรแกรมสำหรับการควบคุมแบบเบกเกอร์ทางอ้อม (จากค่าวิถีในบทที่ 7) ดังนั้น ในบทนี้จะกล่าวถึงเนื้อหาในส่วนที่ 2 และส่วนที่ 3 เท่านั้น

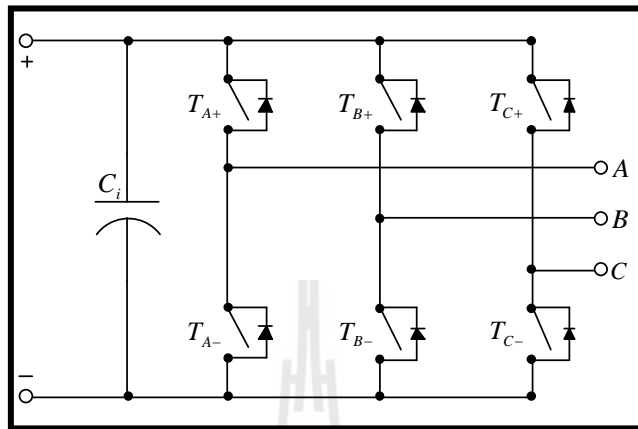
หัวข้อของการสร้างอินเวอร์เตอร์สามเฟส ได้นำเสนอการสร้างแบบจำลองสถานการณ์ของอินเวอร์เตอร์สามเฟสบนโปรแกรม MATLAB นำเสนอการสร้างวงรบขับเกทด้วยอปโตคัปเปลอร์เพื่อแยกกราวด์ฟังแรงดันสูง (กราวด์ฟังโอมดูล 6MBP50RA120) ออกจากกราวด์ฟังแรงดันต่ำ(กราวด์ฟังไนโครคอนโทรลเลอร์) พร้อมทั้งแสดงผลการทดสอบการทำงานของวงจรขับเกทและทดสอบการทำงานของโมดูล 6MBP50RA120 โดยทั้งหมดนี้จะถูกรวมไว้ในหัวข้อการสร้างอินเวอร์เตอร์สามเฟส

หัวข้อต่อมาเป็นส่วนของการสร้างวงจรตรวจวัดกระแสที่จำยให้มอเตอร์เนินยานำสามเฟสโดยได้นำเสนอการประยุกต์ใช้งานตัวตรวจวัดกระแสให้ทำงานร่วมกับวงจรปรับแต่งสัญญาณแบบวงจรรวมปรับแต่งสัญญาณ เพื่อปรับขนาดและยกระดับของสัญญาณกระแสที่ได้จากตัวตรวจวัดให้อยู่บนเซ็นเซอร์ทั่วไป เท่านั้น เนื่องจากไนโครคอนโทรลเลอร์ที่ใช้ไม่สามารถอ่านค่าข้อมูลที่อยู่ในเซ็นเซอร์ได้พร้อมทั้งแสดงผลการทดสอบการทำงานของวงจรดังกล่าว

6.2 อินเวอร์เตอร์สามเฟส

การแปลงผันกำลังไฟฟ้าจากไฟฟ้ากระแสตรงเป็นไฟฟ้ากระแสสลับสามเฟสโดยแปลงผันกำลังไฟฟ้าผ่านอินเวอร์เตอร์สามเฟส ถ้าต้องการใช้อินเวอร์เตอร์เฟสเดียวแบบฟูลบริดจ์จำนวนสามชุดก็ทำได้ แต่ต้องใช้สวิตช์จำนวนถึง 12 ตัว นอกจากนั้นยังต้องอาศัยวงจรควบคุมที่ทำให้แต่ละเฟสทำงานต่างกัน 120° ของความถี่ฐาน (fundamental frequency) ด้วยเงื่อนไขดังกล่าวจะเห็นว่าไม่มีหมายที่จะเลือกใช้อินเวอร์เตอร์เฟสเดียวแบบฟูลบริดจ์จำนวนสามตัว โดยส่วนมากเมื่อเป็นโหลด

สามเฟสจะนิยมใช้อินเวอร์เตอร์สามเฟสมากกว่า และโครงของอินเวอร์เตอร์สามเฟสที่ใช้หลักการทำงานของการสวิตช์แบบพีดับเบิลยูเอ็ม (Pulse Width Modulation, PWM) แสดงได้ดังรูปที่ 6.1



รูปที่ 6.1 โครงสร้างของโหมดการสวิตช์ของวงจรอินเวอร์เตอร์สามเฟส

หน้าที่ของวงจรอินเวอร์เตอร์ คือการแปลงผันไฟฟ้ากระแสตรงให้เป็นไฟฟ้ากระแสสลับที่มีรูปคลื่นของแรงดันเอาต์พุตเป็นสัญญาณไซน์ที่สามารถปรับได้ทั้งขนาดและความถี่ตามที่ต้องการ โดยใช้สัญญาณควบคุมที่เป็นรูปไซน์ (sinusoidal control signal) ที่มีความถี่ตามที่ต้องการเพื่อนำมาเปรียบเทียบกับรูปคลื่นสามเหลี่ยม (triangular waveform) และคงได้ดังรูปที่ 6.2 (ก) ซึ่งความถี่ของการสวิตช์ (f_s) จะเท่ากับความถี่ของรูปคลื่นสามเหลี่ยม การสวิตช์แบบพีดับเบิลยูเอ็มมีตัวแปรที่สำคัญพร้อมความหมายดังนี้

$v_{control}$ คือ สัญญาณรูปไซน์ที่ใช้ควบคุมทั้งขนาดและความถี่ของแรงดันเอาต์พุต

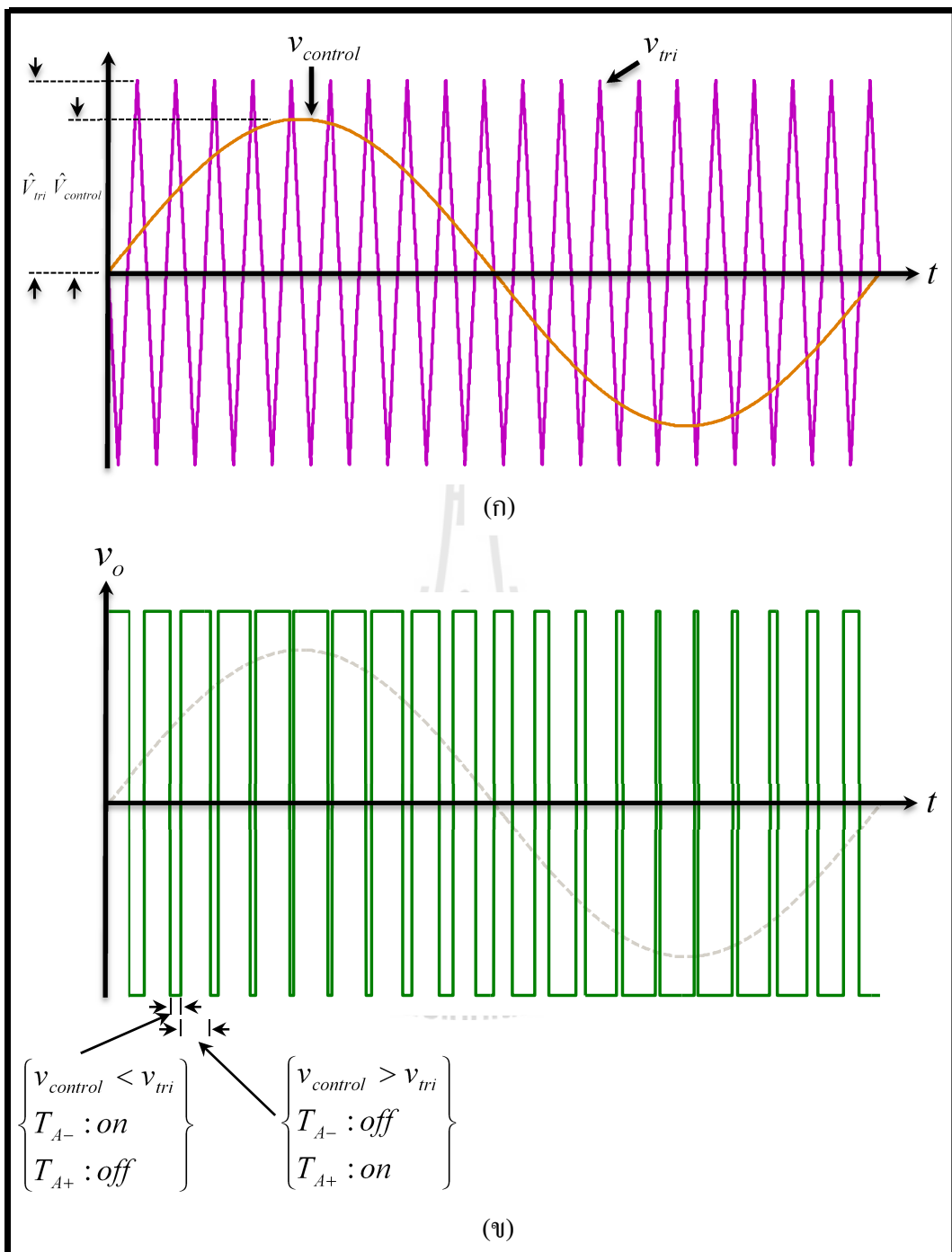
v_{tri} คือ สัญญาณรูปสามเหลี่ยมที่เป็นตัวกำหนดความถี่ของการสวิตช์

m_a คือ อัตราการมอคุเดตด้านแอลมพลิกูด สามารถคำนวณได้จากสมการที่ (6-1)

$$m_a = \frac{\hat{V}_{control}}{\hat{V}_{tri}} \quad (6-1)$$

เมื่อ $\hat{V}_{control}$ คือ ค่ายอดของสัญญาณควบคุมที่เป็นรูปไซน์

\hat{V}_{tri} คือ ค่ายอดสัญญาณรูปสามเหลี่ยม



รูปที่ 6.2 เส้นทางของการสร้างสัญญาณสวิตช์แบบพีดับเบิลยูอีม

จากสมการที่ (6.1) สามารถพิจารณาได้เป็นสองกรณีดังนี้

กรณีที่ 1 ค่า $0 \leq m_a \leq 1$ จะเป็นช่วงของการมดูเลตที่เป็นเชิงเส้น หมายถึงองค์ประกอบมูลฐานของแรงดันไฟฟ้าเอาต์พุต (fundamental-frequency component of the output voltage) จะแปรผันเป็นแบบเชิงเส้นกับค่า m_a

กรณีที่ 2 ค่า $m_a > 1$ จะเป็นช่วงการควบคุมแบบโอลอร์มอดูเลต การเพิ่มขึ้นของแรงดันจะไม่เป็นเชิงเส้น

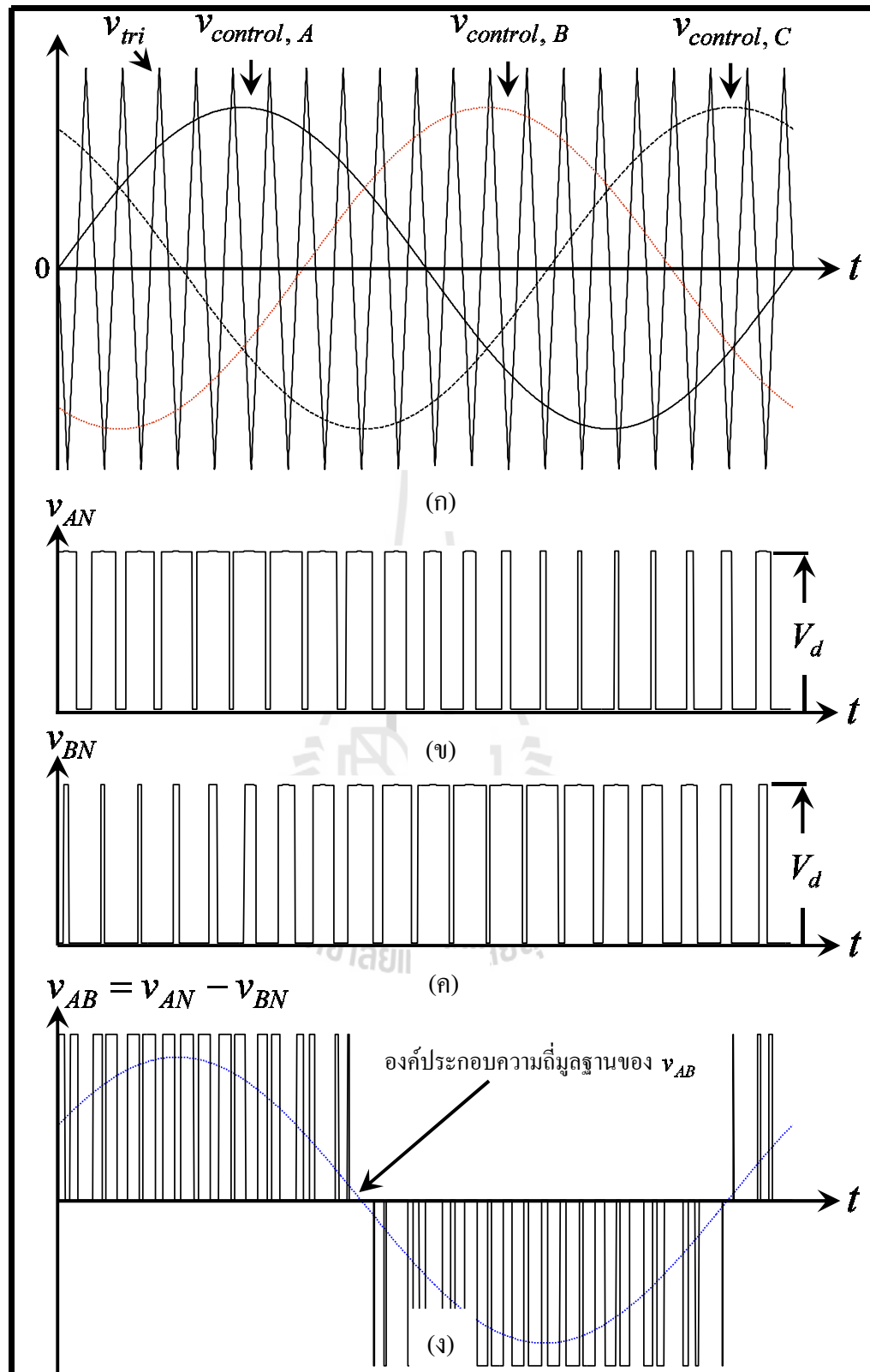
เมื่อพิจารณาจากรูปที่ 6.2 (ข) พบว่าเงื่อนไขการสร้างสัญญาณสวิตช์แบบพีดับเบิลยูอีมเป็นดังนี้ (อีกสองกรณีที่เหลือก็มีหลักการทำงานเหมือนกัน)

$$v_{control} > v_{tri}, T_{A+} \text{ จะนำกระแส} \quad (6-2)$$

$$v_{control} < v_{tri}, T_{A-} \text{ จะนำกระแส} \quad (6-3)$$

6.2.1 หลักการทำงานของอินเวอร์เตอร์สามเฟส

หลักการทำงานของอินเวอร์เตอร์สามเฟสจะคล้ายกันกับอินเวอร์เตอร์ไฟฟ้าทางด้านเอาต์พุต ได้ทั้งขนาดและความถี่ ต่างกันตรงที่อินเวอร์เตอร์สามเฟสจะสร้างแรงดันเอาต์พุตออกมาสามเฟส โดยในแต่ละเฟสจะทำมุ่งต่างกัน 120° ของความถี่มูลฐานและเพื่อความสะดวกในการสร้างแรงดันเอาต์พุตของอินเวอร์เตอร์ให้มีเฟสต่างกัน 120° จึงได้กำหนดค่าความต่างเฟสของ $v_{Control}$ ทั้งสามเฟสให้ทำมุ่งต่างกัน 120° ที่บวกกับสัญญาณสามเหลี่ยมเพื่อสร้างเป็นสัญญาณพัลส์ แสดงได้ดังรูปที่ 6.3 (ก) และจากเงื่อนไขของการสวิตช์แบบพีดับเบิลยูอีมในสมการที่ (6-2) และสมการที่ (6-3) ทำให้ได้ค่าแรงดัน v_{AN} แสดงได้ดังรูปที่ 6.3 (ข) และค่าแรงดัน v_{BN} แสดงได้ดังรูปที่ 6.3 (ค) จากนั้นนำแรงดัน v_{AN} เป็นตัวตั้งแล้วลบด้วยแรงดัน v_{BN} จะได้แรงดันระหว่างสายของเฟส A และเฟส B หรือ v_{AB} แสดงได้ดังรูปที่ 6.3 (ง) ซึ่งมีลักษณะเป็นพัลส์ทั้งในชีกบวกและชีกลบและเมื่อนำค่าแรงดันระหว่างสายในรูปที่ 6.3 (ง) ไปผ่านการกรองด้วยวงจรกรองความถี่ต่ำผ่านจะพบว่ารูปของกราฟแรงดันที่ได้มีลักษณะเป็นรูปไซน์ที่มีความถี่มูลฐานเท่ากันกับความถี่ของสัญญาณ $v_{Control}$ เช่นเดียวกัน แรงดันระหว่างสาย v_{BC} และ v_{CA} จะมีความถี่มูลฐานของแรงดันเท่ากับความถี่ของ $v_{Control}$ โดยค่าแรงดันระหว่างสายของ v_{BC} และ v_{CA} จะมีมุ่งเฟสส่วนหลังแรงดัน v_{AB} อよู้ที่ 120° และ 240° ตามลำดับ ซึ่งจะเห็นว่าแรงดันระหว่างสายทั้งสามเฟสทำมุ่งต่างกันอยู่ที่ 120° เท่ากันทุกเฟส และขนาดของแรงดันจะขึ้นอยู่กับค่า m_a



รูปที่ 6.3 ค่าแรงดันของอินเวอร์เตอร์สามเฟส

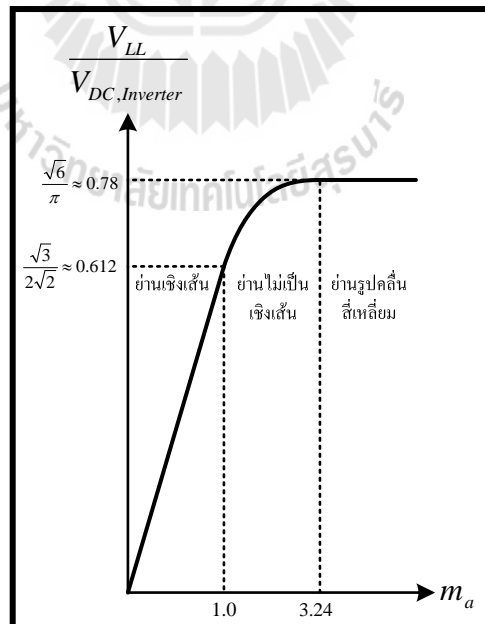
6.2.2 อินเวอร์เตอร์สามเฟสเมื่อทำงานในย่านมอคูเลตแบบเชิงเส้น

ในย่าน $m_a \leq 1$ ค่าแรงดันไฟฟ้าที่ความถี่มูลฐานในหนึ่งกิ่งหรือหนึ่งเฟส สามารถคำนวณได้จากสมการที่ (6-4) ส่วนค่าอาร์เอ็มเอส (Root Mean Square, RMS) ของแรงดันไฟฟาระหว่างสายที่ความถี่มูลฐานสามารถคำนวณได้จากสมการที่ (6-5) และแรงดันที่ได้จากการคำนวณจะมีค่าความสัมพันธ์เป็นเชิงเส้นกับค่า m_a และคงได้ดังรูปที่ 6.4

$$\hat{V}_{AN} = m_a \times \frac{V_{DC,Inverter}}{2} \quad \text{เมื่อ } m_a \leq 1 \quad (6-4)$$

$$V_{LL} = \frac{\sqrt{3}}{\sqrt{2}} \times \hat{V}_{AN} = \frac{\sqrt{3}}{\sqrt{2}} \times m_a \times \frac{V_{DC,Inverter}}{2} = 0.612 \times m_a \times V_{DC,Inverter} \quad (6-5)$$

เมื่อ $V_{DC,Inverter}$ คือ แหล่งจ่ายไฟฟ้ากระแสตรงที่จ่ายให้กับอินเวอร์เตอร์สามเฟส
 \hat{V}_{AN} คือ แรงดันค่ายอดที่เฟส A
 V_{LL} คือ ค่าอาร์เอ็มเอสของแรงดันไฟฟาระหว่างสายที่ความถี่มูลฐาน



รูปที่ 6.4 กราฟความสัมพันธ์ระหว่าง $\frac{V_{LL}}{V_{DC,Inverter}}$ กับ m_a

ความหมายของการทำงานในย่านมอคุเลตแบบเชิงเส้น ยกตัวอย่างเช่น หากมีแหล่งจ่ายไฟฟ้ากระแสตรง $V_{DC, Inverter}$ เท่ากับ $311 V_{dc}$ เมื่อปรับค่า m_a เท่ากับ 0.5 จะได้แรงดันระหว่างสายที่ออกมาจากอินเวอร์เตอร์สามเฟสคือ $0.612 \times 0.5 \times 311$ เท่ากับ $95.17 V_{rms}$ หมายถึงแรงดันที่ความถี่มูลฐานมีค่าเท่ากับ $95.17 V_{rms}$ และเมื่อปรับค่า m_a เท่ากับ 1 จะได้แรงดันระหว่างสายที่ความถี่มูลฐานเท่ากับ $190.33 V_{rms}$ นั้นคือเมื่อปรับค่า m_a จาก 0.5 ไป 1.0 ซึ่งมีค่าเป็น 2 เท่าแรงดันทางด้านอาทิตพุตของอินเวอร์เตอร์ก็เพิ่มขึ้นเป็น 2 เท่าเช่นกัน จะเห็นว่าลักษณะการเพิ่มขึ้นของแรงดันเป็นแบบเชิงเส้น

6.2.3 อินเวอร์เตอร์สามเฟสเมื่อทำงานในย่านโอลิเวอร์มอคุเลต

อินเวอร์เตอร์สามเฟสเมื่อทำงานในย่านโอลิเวอร์มอคุเลต อัตราส่วนแรงดันไฟฟ้าระหว่างสายที่ความถี่มูลฐานหารกับค่าแรงดันไฟฟ้ากระแสตรง ($\frac{V_{LL}}{V_{DC, Inverter}}$) จะมีค่าอยู่ระหว่าง 0.612 ถึง 0.78 ดังที่แสดงในรูปที่ 6.4 การทำงานในโหมดโอลิเวอร์มอคุเลตมีข้อดีคือแรงดันไฟฟ้าอาทิตพุตที่ความถี่มูลฐานจะมีค่าสูงกว่าในกรณีย่านการมอคุเลตแบบเชิงเส้น แต่การเพิ่มขึ้นของแรงดันไฟฟ้าจะไม่เป็นเชิงเส้นจนถึงค่าคงที่ค่าหนึ่ง ดังที่แสดงในรูปที่ 6.4

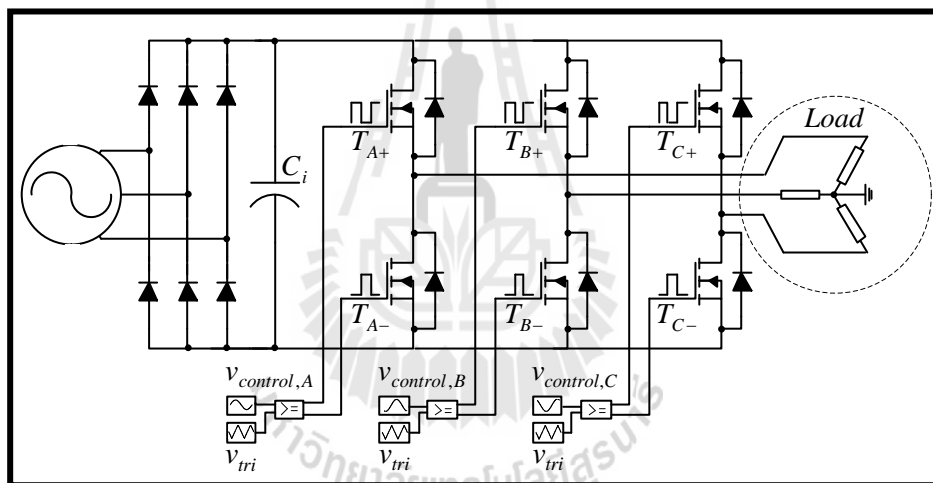
6.2.4 การจำลองสถานการณ์ของอินเวอร์เตอร์สามเฟส

จากหลักการทำงานของอินเวอร์เตอร์สามเฟส ดังที่ได้กล่าวไว้แล้วในข้างต้นสามารถนำมาสร้างแบบจำลองเพื่อจำลองสถานการณ์บนโปรแกรม MATLAB เพื่อให้เกิดความเข้าใจหลักการทำงานและผลการตอบสนองของอินเวอร์เตอร์สามเฟส ได้เป็นอย่างดี อย่างเช่น ในการวัดสัญญาณการทำงานของอินเวอร์เตอร์เพื่อดูพฤติกรรมที่จุดการทำงานต่าง ๆ ที่สามารถทำได้โดยที่ไม่ยุ่งยากและก็มีความปลอดภัย สำหรับการจำลองการทำงานของอินเวอร์เตอร์สามเฟสจะใช้โหลดอยู่สองแบบด้วยกัน คือ โหลดที่เป็นค่าความต้านทานสามเฟสและ โหลดที่เป็นมอเตอร์เนื่องจากมีความต้านทานที่ต่ำกว่าโหลดที่เป็นค่าความต้านทานสามเฟส ทำให้สามารถจำลองการทำงานของอินเวอร์เตอร์ได้โดยที่ไม่ต้องมีวงจรไฟฟ้าจริง

6.2.5 การจำลองการทำงานของอินเวอร์เตอร์สามเฟสเมื่อใช้โหลดเป็นค่าความต้านทานสามเฟส

สำหรับการจำลองการทำงานของอินเวอร์เตอร์สามเฟสเมื่อโหลดเป็นค่าความต้านทาน ได้แบ่งการจำลองออกเป็นสองลักษณะคือ การทดสอบอันดับแรกจะกำหนดให้ความถี่มูลฐานเท่ากับ 50 เฮิรตซ์ ถูกควบคุมด้วยสัญญาณ $v_{Control}$ โดยที่สัญญาณ $v_{Control}$ ในแต่ละเฟสจะทำงานต่างกัน 120° และมีความถี่เท่ากับ 50 เฮิรตซ์ และการทดสอบอีกแบบคือทดสอบปรับเปลี่ยนความถี่ของ $v_{Control}$ โดยได้กำหนดให้อัตราการมอคุเลตคงที่เท่ากับ 0.8

สำหรับการจำลองการทำงานของอินเวอร์เตอร์สามเฟสในลักษณะแรกได้กำหนดเงื่อนไขการทำงานตามตารางที่ 6.1 และในการจำลองได้กำหนดค่าความถี่ของสัญญาณสามเหลี่ยมหรือค่าความถี่การสวิตช์ของอินเวอร์เตอร์ที่ 5 กิโลเฮิรตซ์ สำหรับโหลดได้กำหนดค่าความต้านทานเท่ากันทั้งสามเฟสคือ 50 โอห์ม ในส่วนของแหล่งจ่ายกำลังไฟฟ้ากระแสตรงที่จ่ายให้กับอินเวอร์เตอร์-เตอร์สามเฟสได้จากแหล่งจ่ายไฟฟ้ากระแสสลับสามเฟสผ่านวงจรเรียงกระแสซึ่งกำหนดให้แรงดันไฟฟ้าต่อเฟสของแหล่งจ่ายเท่ากับ $220 \text{ V}_{\text{rms}}$ เมื่อผ่านวงจรเรียงกระแสจะได้แรงดันไฟฟ้ากระแสตรงโดยเฉลี่ยเท่ากับ 538 โวลต์ จากที่ได้กล่าวมาแล้วข้างต้นสามารถแสดงโครงสร้างของวงจรอินเวอร์เตอร์-เตอร์สามเฟส เมื่อกำหนดให้โหลดเป็นค่าความต้านทาน ดังรูปที่ 6.5 และจากโครงสร้างการทำงานของอินเวอร์เตอร์สามเฟสในรูปที่ 6.5 สามารถเป็นแบบจำลองการทำงานโดยอาศัยชุดบล็อก SPS บนโปรแกรม MATLAB และแสดงได้ดังรูปที่ 6.6



รูปที่ 6.5 วงจรอินเวอร์เตอร์เมื่อจ่ายโหลดเป็นค่าความต้านทานสามเฟส

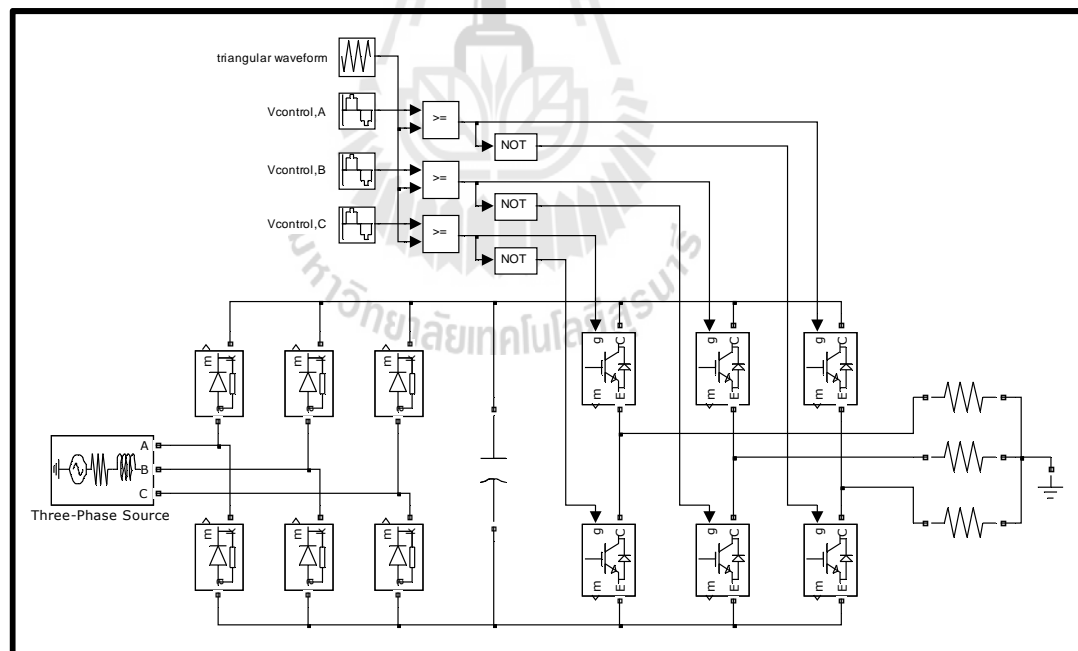
สำหรับการจำลองสถานการณ์ของอินเวอร์เตอร์สามเฟสในรูปที่ 6.6 ได้กำหนดค่ายอดของรูปสัญญาณสามเหลี่ยมเท่ากับ 1 และได้กำหนดค่ายอดของสัญญาณควบคุมรูปไข่น์ตามเงื่อนไขของอัตราการมอคุเลตในตารางที่ 6.1 โดยที่อัตราการมอคุเลตสามารถคำนวณได้จากสมการที่ (6-1)

จากที่ได้กล่าวไว้แล้วในข้างต้น การจำลองสถานการณ์ของอินเวอร์เตอร์สามเฟสในหัวข้อนี้ระบบสามเฟสจะต้องสมดุล ดังนั้น ขนาดและความถี่ของแรงดันแต่ละเฟสจึงมีค่าเท่ากันเพียงแต่ค่าแรงดันทั้งสามเฟสจะทำมุมต่างกัน 120° ฉะนั้นการแสดงผลการจำลองสถานการณ์ของอินเวอร์เตอร์สามเฟสสามารถแสดงผลเพียงเฟสใดเฟสหนึ่งก็ได้ จากชุดบล็อก SPS การจำลองสถานการณ์ของอินเวอร์เตอร์สามเฟสบนโปรแกรม MATLAB ในรูปที่ 6.6 สามารถแสดงผลการจำลองได้ดังนี้ รูปที่ 6.7 แสดงค่าแรงดันระหว่างสาย v_{AB} เมื่ออัตราการมอคุเลตเท่ากับ 0.4 จากรูปพบว่ารูปคลื่นของ

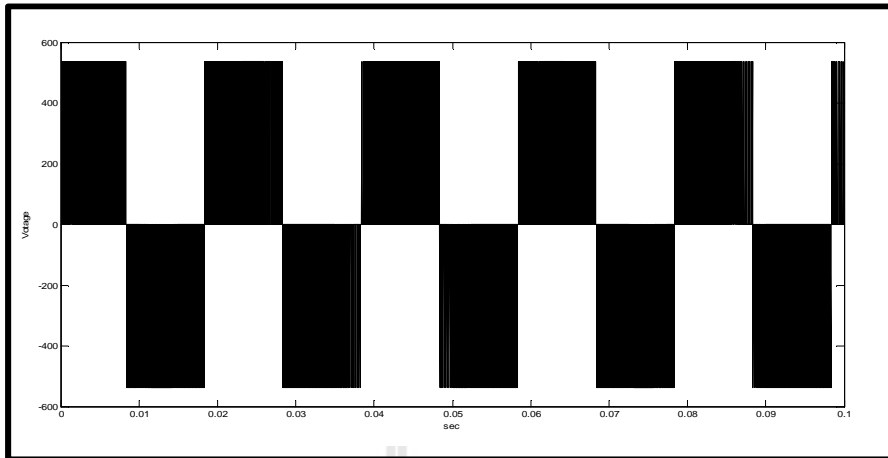
แรงดัน v_{AB} ไม่เป็นรูปคลื่นไอน์ เนื่องจากหลักการทำงานของอินเวอร์เตอร์เป็นลักษณะของการสับสวิตช์ ของสวิตช์ทั้ง 6 ตัว จึงทำให้แรงดันเอาต์พุตของอินเวอร์เตอร์มีลักษณะเป็นพัลส์ที่มีความถี่เท่ากับความถี่ของการสวิตช์ (5 กิโลเอร็ตซ์) เมื่อนำแรงดัน v_{AB} ไปผ่านวงจรกรองความถี่ต่ำผ่านเพื่อให้กรองความถี่สูงออก (ความถี่การสวิตช์) จึงสามารถมองเห็นรูปคลื่นไอน์ของแรงดันที่ความถี่มุ่ลฐาน แสดงได้ดังรูปที่ 6.8

ตารางที่ 6.1 อัตราการมอดูเลตของวงจรอินเวอร์เตอร์สามเฟส

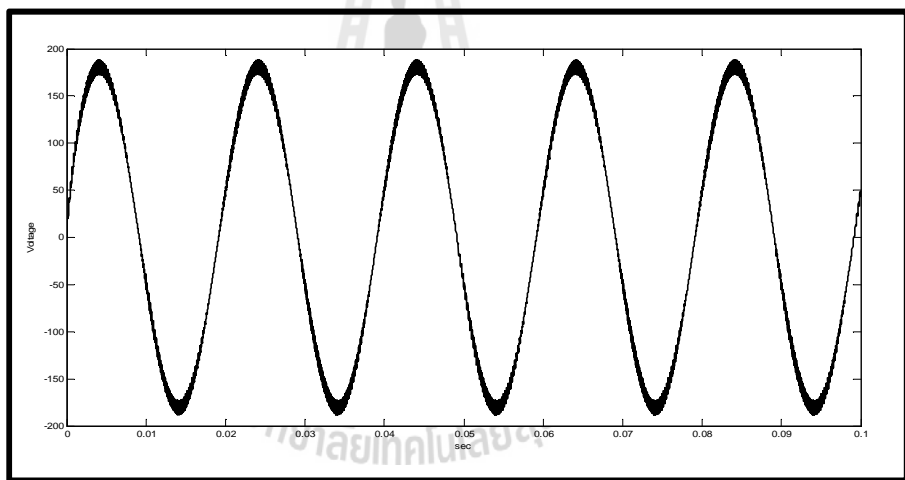
ครั้งที่	$v_{Control}$	อัตราการมอดูเลต (m_a)
1	50 Hz	0.4
2	50 Hz	0.6
3	50 Hz	0.8
4	50 Hz	1
5	50 Hz	1.2



รูปที่ 6.6 วงจรอินเวอร์เตอร์สามเฟสสำหรับการจำลองบนโปรแกรม MATLAB

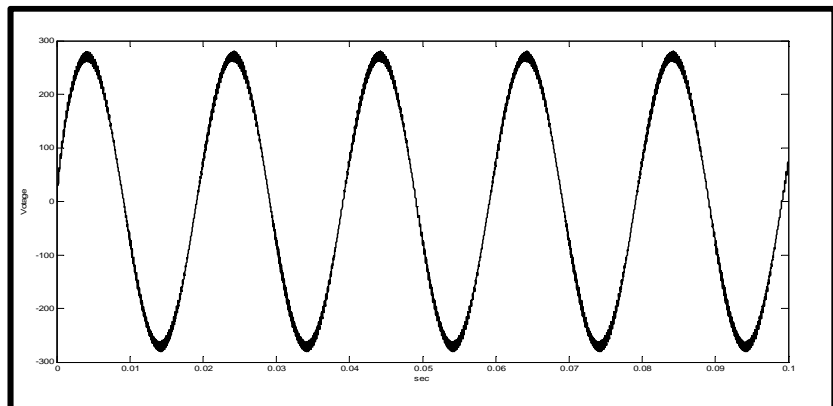


รูปที่ 6.7 แรงดัน v_{AB} ที่ค่า $m_a = 0.4$

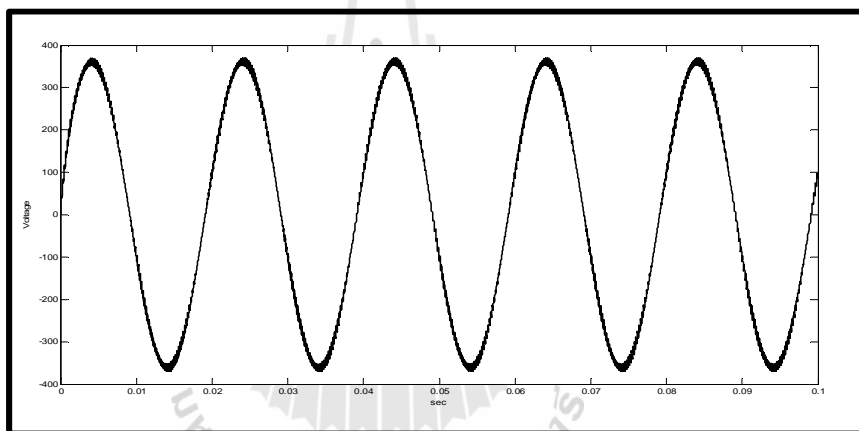


รูปที่ 6.8 แรงดัน v_{AB} เมื่อค่า m_a เท่ากับ 0.4 ที่ผ่านวงจรกรองความถี่ต่ำผ่าน

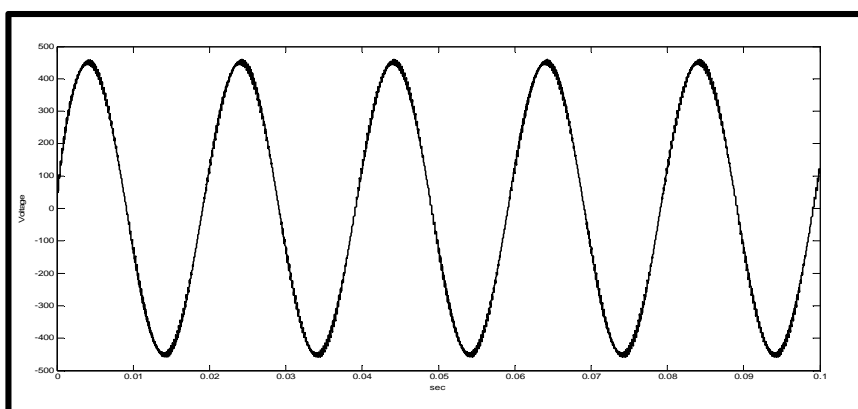
จากเงื่อนไขการมอดูเลตตามตารางที่ 6.1 สามารถแสดงผลของการจำลองสถานการณ์ของอินเวอร์เตอร์สามเฟสได้ดังนี้ รูปที่ 6.9 ถึงรูปที่ 6.12 แสดงค่าแรงดัน v_{AB} เมื่ออัตราการมอดูเลต m_a มีค่าเท่ากับ 0.6 0.8 1.0 และ 1.2 ตามลำดับ โดยค่าแรงดัน v_{AB} ที่นำมาแสดงจะเป็นค่าแรงดันที่ได้จากการกรองค่าวิวงจรกรองความถี่ต่ำผ่านเพื่อให้สามารถมองเห็นผลของการเปลี่ยนอัตราการมอดูเลต



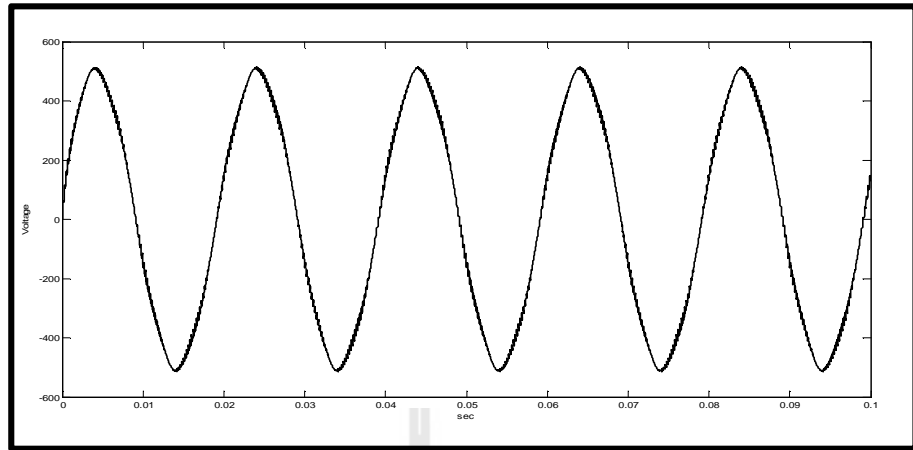
รูปที่ 6.9 แรงดัน v_{AB} เมื่อค่า m_a เท่ากับ 0.6 ที่ผ่านวงจรกรองความถี่ต่ำผ่าน



รูปที่ 6.10 แรงดัน v_{AB} เมื่อค่า m_a เท่ากับ 0.8 ที่ผ่านวงจรกรองความถี่ต่ำผ่าน



รูปที่ 6.11 แรงดัน v_{AB} เมื่อค่า m_a เท่ากับ 1.0 ที่ผ่านวงจรกรองความถี่ต่ำผ่าน



รูปที่ 6.12 แรงดัน v_{AB} เมื่อค่า m_a เท่ากับ 1.2 ที่ผ่านวงจรกรองความถี่ต่ำผ่าน

จากผลการจำลองสถานการณ์เมื่อทดสอบปรับอัตราการมอตอร์เดตตามตารางที่ 6.1 สามารถอ่านค่าแรงดันระหว่างสายของอินเวอร์เตอร์ (v_{AB}) แสดงได้ดังตารางที่ 6.2

เมื่อพิจารณาผลของแรงดัน v_{AB} ที่ได้จากการจำลองสถานการณ์ ในรูปที่ 6.8 ถึงรูปที่ 6.11 พบว่ารูปคลื่นของแรงดันที่ได้จากการกรองความถี่ต่ำผ่านมีลักษณะเป็นสัญญาณรูปคลื่นไซน์ ซึ่งไม่มีการมอนิก้อนดับต่ำ ๆ และการเพิ่มขึ้นของแรงดัน v_{AB} ยังมีความเป็นเชิงเส้นตรงกับหลักการทำงานของอินเวอร์เตอร์เมื่อทำงานอยู่ในช่วง $m_a \leq 1$ เมื่อปรับเพิ่มค่า m_a ให้ทำงานอยู่ในโหมดโวเออร์มอตเดต ($m_a > 1$) พบว่าแรงดัน v_{AB} เริ่มมีลักษณะผิดเพี้ยนไปจากสัญญาณรูปคลื่นไซน์ แสดงได้ดังรูปที่ 6.12

ตารางที่ 6.2 ค่าแรงดัน v_{AB} ที่อัตราการมอตอร์เดตต่าง ๆ

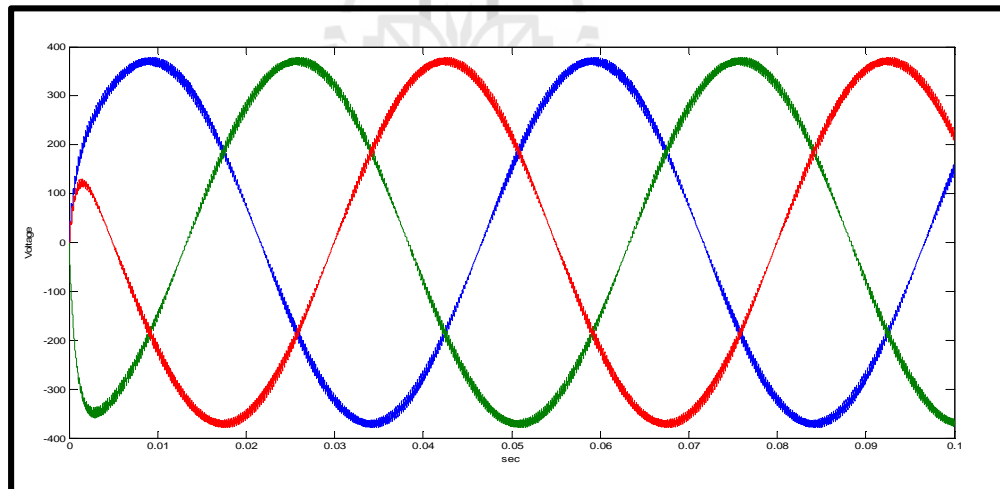
m_a	แรงดัน v_{AB} จากการจำลองสถานการณ์	แรงดัน v_{AB} จากการคำนวณ
0.4	180 V _p	186 V _p
0.6	270 V _p	279 V _p
0.8	360 V _p	327 V _p
1	450 V _p	427 V _p
1.2	510 V _p	ไม่สามารถคำนวณโดยใช้สูตรในสมการที่ (6-5) ได้

ลำดับต่อมาทดสอบการทำงานของอินเวอร์เตอร์สามเฟส โดยกำหนดให้อัตราการมอตเดตคงที่เท่ากับ 0.8 และได้ปรับเปลี่ยนความถี่ของสัญญาณ $v_{control}$ ตามตารางที่ 6.3

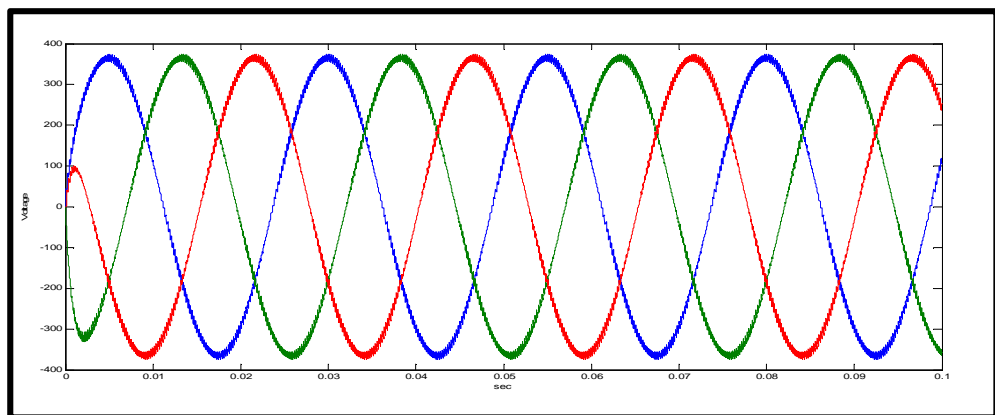
ตารางที่ 6.3 ความถี่ของ $v_{control}$ ของการจำลองสถานการณ์

ครั้งที่	m_a	ความถี่ของ $v_{control}$
1	0.8	20 Hz
2	0.8	40 Hz
3	0.8	60 Hz
4	0.8	80 Hz

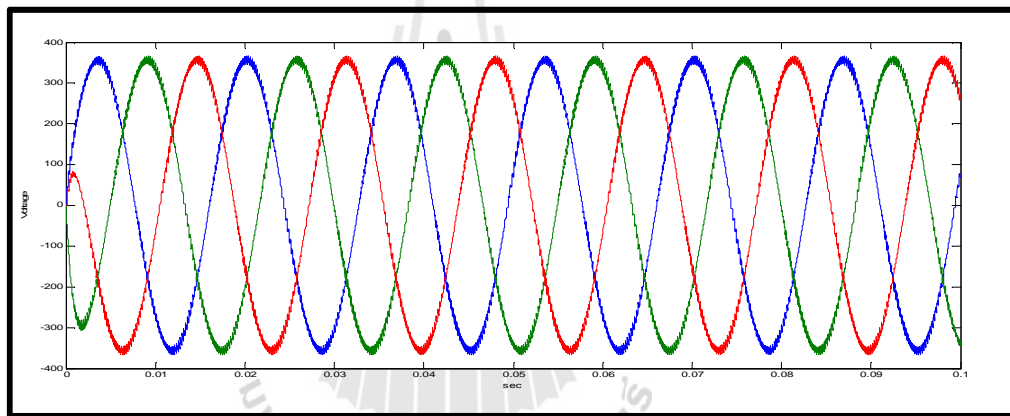
จากการจำลองสถานการณ์ของอินเวอร์สามเฟส โดยอาศัยชุดบล็อก SPS ในรูปที่ 6.6 โดยใช้เงื่อนไขการทำงานตามตารางที่ 6.3 จากการจำลองสามารถแสดงค่าแรงดันทางด้านเอาต์พุตของวงจรอินเวอร์สามเฟสได้ดังนี้ รูปที่ 6.13 ถึงรูปที่ 6.16 แสดงค่าแรงดัน v_{AB} , v_{BC} และ v_{CA} เมื่อค่าความถี่ของ $v_{control}$ เท่ากับ 20 เฮิรตซ์ 40 เฮิรตซ์ 60 เฮิรตซ์ และ 80 เฮิรตซ์ ตามลำดับ โดยแรงดันเอาต์พุตของอินเวอร์เตอร์ที่นำมาแสดงเป็นค่าแรงดันเอาต์พุตที่ผ่านการกรองด้วยวงจรกรองความถี่ต่ำผ่านเพื่อสามารถมองเห็นการเปลี่ยนแปลงของความถี่มูลฐานของแรงดันเมื่อเปลี่ยนความถี่ของ $v_{Control}$



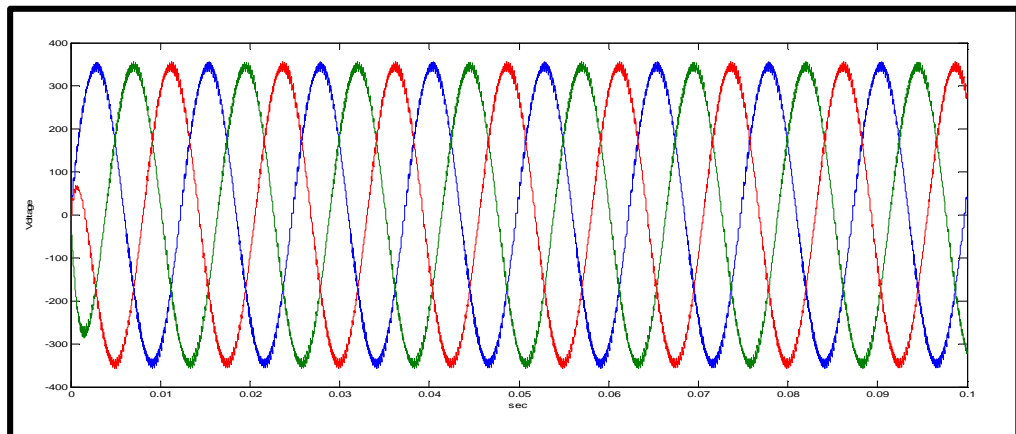
รูปที่ 6.13 แรงดันเอาต์พุตของอินเวอร์เตอร์ที่ความถี่ 20 เฮิรตซ์



รูปที่ 6.14 แรงดันเอาต์พุตของอินเวอร์เตอร์ที่ความถี่ 40 เฮิรตซ์



รูปที่ 6.15 แรงดันเอาต์พุตของอินเวอร์เตอร์ที่ความถี่ 60 เฮิรตซ์



รูปที่ 6.16 แรงดันเอาต์พุตของอินเวอร์เตอร์ที่ความถี่ 80 เฮิรตซ์

จากผลการจำลองสถานการณ์จากรูปที่ 6.13 ถึงรูปที่ 6.16 พบว่าค่าแรงดันทางด้านเอ้าต์พุตของอินเวอร์เตอร์มีความถี่เปลี่ยนแปลงไปตามความถี่ของ $v_{control}$ ตามตารางที่ 6.3 และขนาดของแรงดันคงที่ไม่เปลี่ยนความถี่

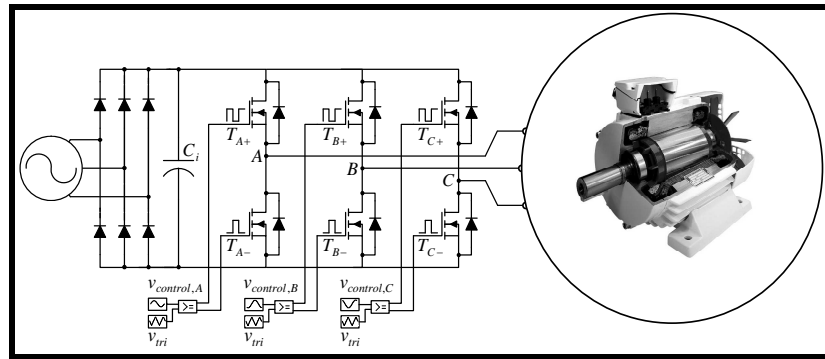
6.2.6 การจำลองสถานการณ์อินเวอร์เตอร์สามเฟสเมื่อโหลดเป็นมอเตอร์เห็นี่ยวน้ำสามเฟส

จากหัวข้อที่ผ่านมาได้จำลองสถานการณ์ของวงจรอินเวอร์เตอร์สามเฟสเมื่อโหลดเป็นค่าความต้านทาน เพื่อศูนย์ติกรรมการทำงานและแรงดันทางด้านเอ้าต์พุตของอินเวอร์เตอร์สาม-เฟส หัวข้อนี้จึงได้นำเสนอการจำลองสถานการณ์ของอินเวอร์เตอร์สามเฟสเมื่อโหลดเป็นมอเตอร์เห็นี่ยวน้ำสามเฟส เพื่อวิเคราะห์ผลการทำงานและแรงดันทางด้านเอ้าต์พุตของอินเวอร์เตอร์โดยการจำลองสถานการณ์ได้กำหนดความถี่การสวิตช์เท่ากับ 5 กิโลเฮิรตซ์ ในส่วนของค่าพารามิเตอร์ของมอเตอร์เห็นี่ยวน้ำสามเฟส จะใช้พารามิเตอร์ที่ได้จากการทดสอบในตารางที่ 2.1 ของบทที่ 2 และแหล่งจ่ายไฟฟ้ากระแสตรงได้จากวงจรเรียงกระแสสามเฟสซึ่งเมื่อเปลี่ยนแรงดันไฟฟ้ากระแส-ตรงจะมีค่าแรงดันที่ 538 V_{dc} สำหรับการจำลองสถานการณ์ของอินเวอร์เตอร์ในหัวข้อนี้ได้กำหนดเงื่อนไขการทำงานของอินเวอร์เตอร์ตามตารางที่ 6.4 คือกำหนดให้การเปลี่ยนอัตราการมอตอร์ลดลงทุกๆ 1 กิโลเฮิรตซ์ ความถี่ของ $v_{control}$ บล็อกไดอะแอมป์การจำลองสถานการณ์ของอินเวอร์เตอร์สามเฟสเมื่อโหลดเป็นมอเตอร์แสดงได้ดังรูปที่ 6.17 และจากรูปที่ 6.17 สามารถสร้างชุดบล็อก SPS สำหรับการจำลองสถานการณ์ของอินเวอร์เตอร์สามเฟสเมื่อโหลดเป็นมอเตอร์เห็นี่ยวน้ำสามเฟสบนโปรแกรม MATLAB แสดงได้ดังรูปที่ 6.18

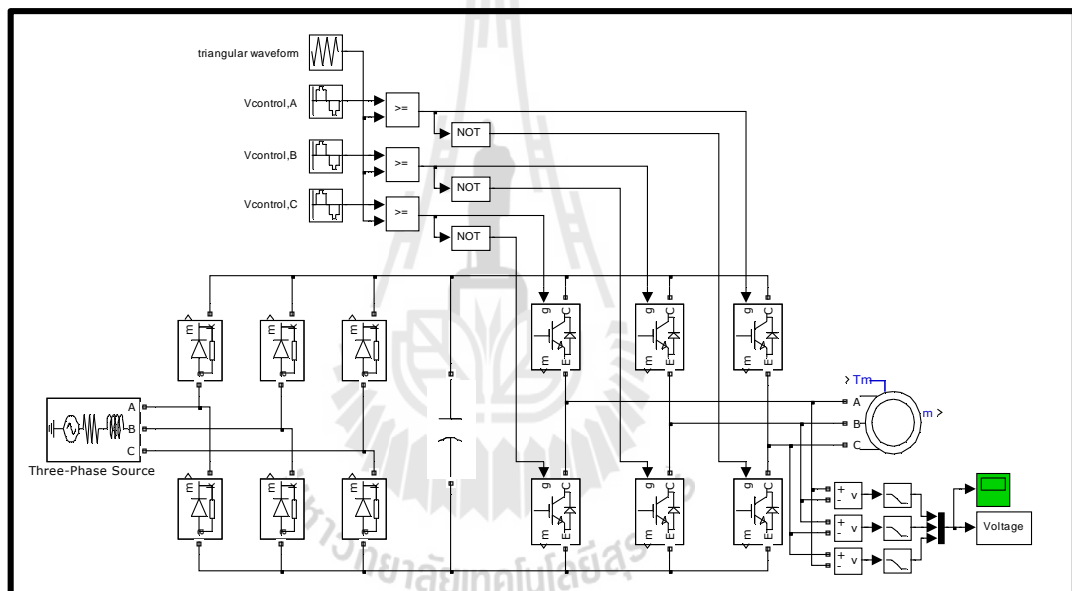
ตารางที่ 6.4 การเปลี่ยนแปลงความถี่ของ $v_{control}$ กับอัตราการมอตอร์ลดลงของการจำลองสถานการณ์

ครั้งที่	ความถี่ของ $v_{control}$	อัตราการมอตอร์ลดลง (m_a)
1	20 เฮิรตซ์	0.4
2	30 เฮิรตซ์	0.6
3	40 เฮิรตซ์	0.8
4	50 เฮิรตซ์	1.0

สำหรับการจำลองสถานการณ์ของอินเวอร์เตอร์สามเฟสในรูปที่ 6.18 ได้กำหนดค่ายอดของสัญญาณสามเหลี่ยมเท่ากับ 1 และได้กำหนดค่ายอดและความถี่ของสัญญาณควบคุมตามเงื่อนไขการทำงานในตารางที่ 6.4 โดยที่อัตราการมอตอร์ลดลงสามารถคำนวณได้จากสมการที่ (6-1)

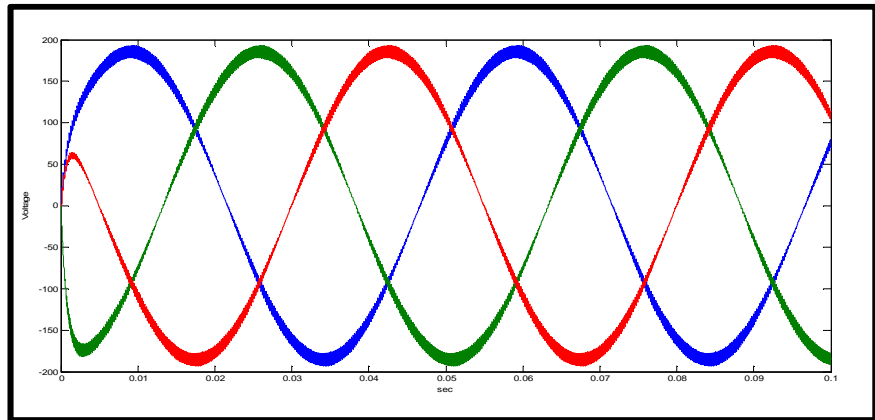


รูปที่ 6.17 โครงสร้างของอินเวอร์เตอร์สามเฟสเมื่อโหลดเป็นมอเตอร์หนีบวันสามเฟส

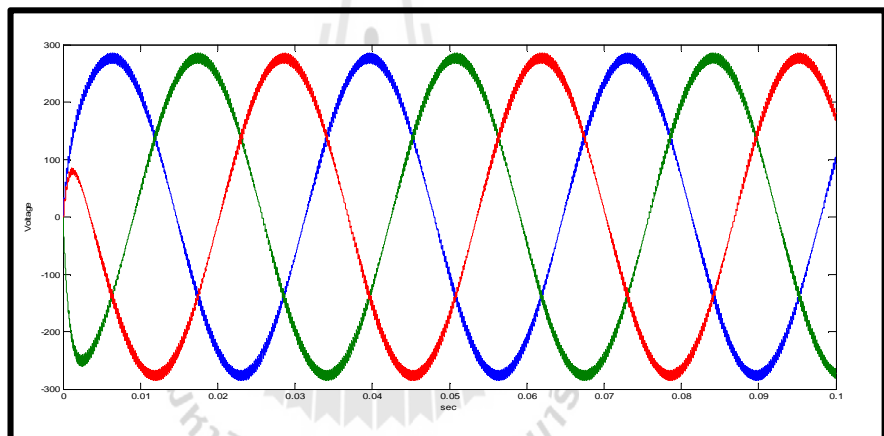


รูปที่ 6.18 ชุดบล็อกของอินเวอร์เตอร์สามเฟสเมื่อโหลดเป็นมอเตอร์หนีบวันสามเฟส

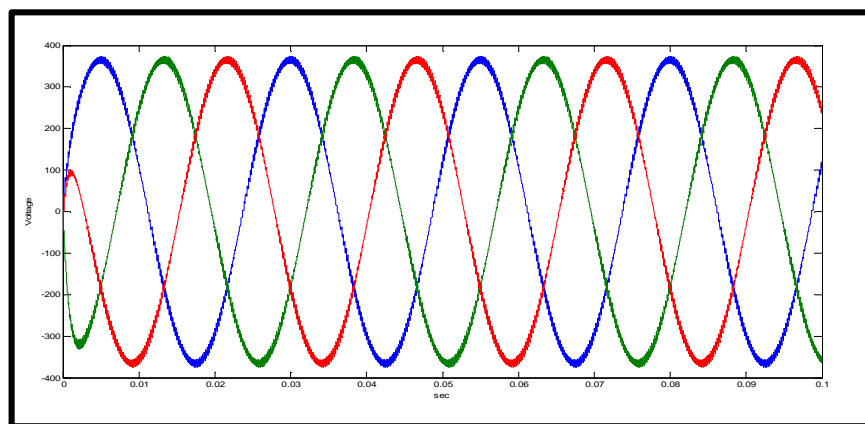
จากรูปที่ 6.18 สามารถแสดงผลการจำลองสถานการณ์โดยใช้เงื่อนไขของการจำลองสถานการณ์ตามตารางที่ 6.4 ดังนี้ รูปที่ 6.19 ถึงรูปที่ 6.22 แสดงค่าแรงดัน v_{AB} , v_{BC} และ v_{CA} เมื่อความถี่ของสัญญาณควบคุมเท่ากับ 20 เฮิรตซ์ 30 เฮิรตซ์ 40 เฮิรตซ์ และ 50 เฮิรตซ์ โดยที่อัตราการมอตูเลตเท่ากับ 0.4 0.6 0.8 และ 1.0 ตามลำดับ โดยค่าแรงดันที่นำมาแสดงตั้งแต่รูปที่ 6.19 ถึงรูปที่ 6.22 คือแรงดันเอาร์พุตของอินเวอร์เตอร์ซึ่งได้ผ่านการกรองด้วยวงจรกรองความถี่ต่ำผ่านเพื่อให้ง่ายต่อการศึกษาผลการตอบสนองของแรงดันทางด้านเอาร์พุตของอินเวอร์เตอร์



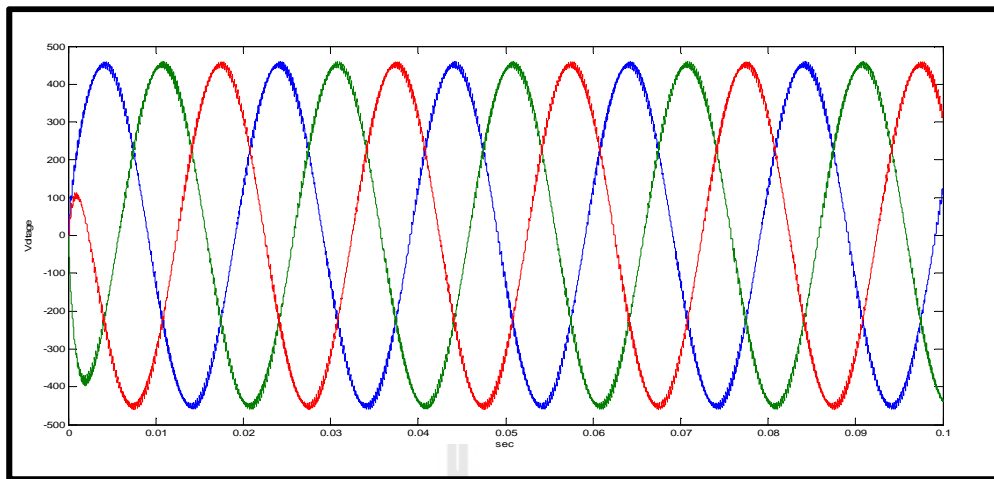
รูปที่ 6.19 แรงดันเอาต์พุตของอินเวอร์เตอร์เมื่อความถี่ $v_{control}$ เท่ากับ 20 เฮิรตซ์ m_a เท่ากับ 0.4



รูปที่ 6.20 แรงดันเอาต์พุตของอินเวอร์เตอร์เมื่อความถี่ $v_{control}$ เท่ากับ 30 เฮิรตซ์ m_a เท่ากับ 0.6



รูปที่ 6.21 แรงดันเอาต์พุตของอินเวอร์เตอร์เมื่อความถี่ $v_{control}$ เท่ากับ 40 เฮิรตซ์ m_a เท่ากับ 0.8



รูปที่ 6.22 แรงดันเอาต์พุตของอินเวอร์เตอร์เมื่อความถี่ $v_{control}$ เท่ากับ 50 เฮิรตซ์ m_a เท่ากับ 1.0

จากการจำลองการทำงานของอินเวอร์เตอร์เมื่อโหลดเป็นมอเตอร์ ในรูปที่ 6.19 ถึงรูปที่ 6.22 พบว่าขนาดและความถี่ของแรงดันห้องสามเฟสของอินเวอร์เตอร์มีการเปลี่ยนแปลงไปตามค่าที่ได้กำหนดในตารางที่ 6.4 และค่าแรงดันที่ได้จากการจำลองสถานการณ์เมื่อโหลดเป็นมอเตอร์มีความสอดคล้องกับค่าที่ได้จากการจำลองสถานการณ์เมื่อโหลดเป็นความต้านทาน ซึ่งมีความถูกต้องตามทฤษฎีการทำงานของอินเวอร์เตอร์สามเฟส ดังนั้น จากการจำลองสถานการณ์ของอินเวอร์เตอร์สามเฟสสามารถนำไปเป็นแนวทางสำหรับสร้างชุดอินเวอร์เตอร์สามเฟสได้

6.2.7 วงจรขั้นเกทเพื่อใช้ขั้บโมดูล 6MBP50RA120

การสร้างชุดอินเวอร์เตอร์สามเฟสจะแบ่งออกเป็นสองส่วนหลัก ๆ คือ ส่วนแรกจะเป็นการสร้างวงจรขั้นเกทเพื่อเป็นตัวสวิตช์ให้กับไอลจีบีทีห้อง 6 ตัว และส่วนที่สองเป็นส่วนของการสร้างวงจรการสับสวิตช์ผ่านแรงดันสูงเพื่อสร้างแรงดันสามเฟสหรือวงจรภาคกำลัง แต่ในงานวิจัยนี้ได้ใช้โมดูลสำเร็จรูปของบริษัท FUJI เบอร์ 6MBP50RA120 แทนการสร้างวงจรการสับสวิตช์ห้อง 6 ตัว โดยรายละเอียดและข้อมูลต่าง ๆ ของโมดูลจะกล่าวถึงในหัวข้อต่อไป

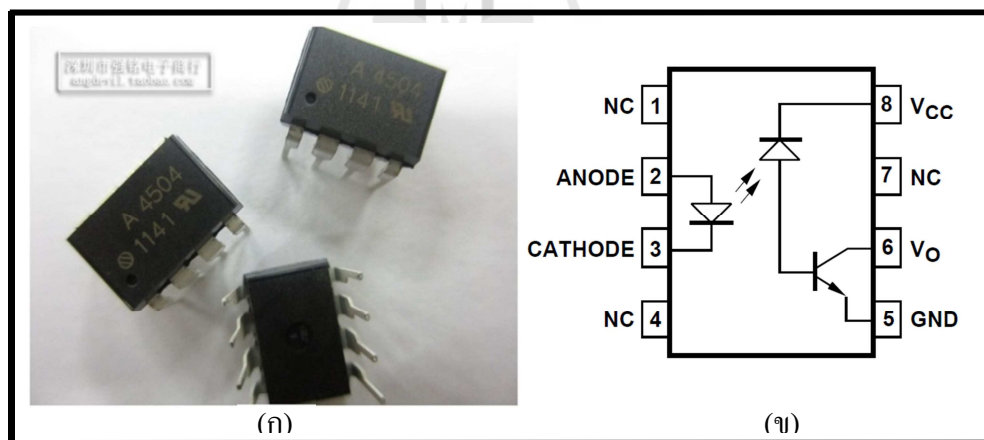
6.2.8 การสร้างวงจรขั้นเกทเพื่อใช้ขั้บโมดูล 6MBP50RA120

การสร้างวงจรขั้นเกทของอินเวอร์เตอร์สามเฟสในงานวิจัยวิทยานิพนธ์นี้ได้ใช้ออนโต้คัปเปลอร์เบอร์ HCPL-4504 ห้องหมด 6 ตัว เพื่อใช้สำหรับแยกกราวด์ทางผ่านแรงดันสูงหรือแรงดันทางด้านโมดูล 6MBP50RA120 ออกจากกราวด์ของแหล่งจ่ายผ่านแรงดันต่ำหรือกราวด์ของแหล่งจ่ายไฟที่จ่ายให้กับไมโครคอนโทรลเลอร์ เพื่อป้องกันความเสียของไมโครคอนโทรลเลอร์จากแรงดันสูงและป้องกันการรบกวนที่เกิดจากการสวิตช์ทางด้านแรงดันสูงมายังตัวไมโครคอน-โทรลเลอร์อีก

ด้วย รายละเอียดการทำงานของอปติคัปเปลอร์เบอร์ HCPL-4504 แสดงได้ดังตารางที่ 6.5 และอปติคัปเปลอร์เบอร์ HCPL-4504 แสดงได้ดังรูปที่ 6.23 (ก) โครงสร้างภายในของ HCPL-4504 แสดงได้ดังรูปที่ 6.23 (ข)

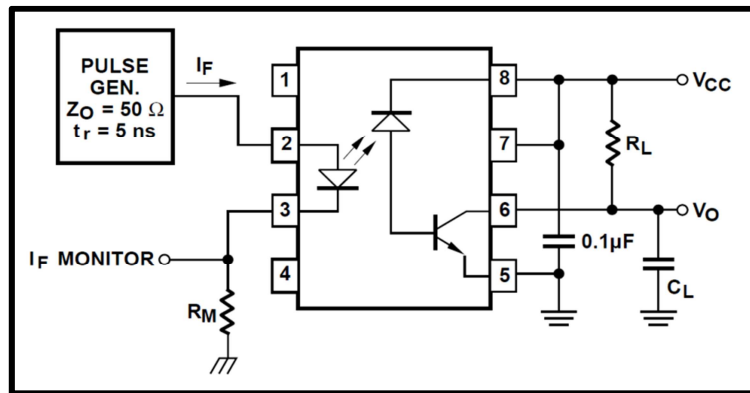
ตารางที่ 6.5 คุณสมบัติการนำไปใช้งานของ HCPL-4504

รายการ	ชื่อเรียกแบบย่อ	คำสูด	สูงสุด	หน่วย
อุณหภูมิในการเก็บรักษา	T_s	-55	125	°C
อุณหภูมิในการทำงาน	T_A	-55	120	°C
กระแสอินพุตเฉลี่ย	$I_{F(AVG)}$	-	25	mA
แรงดันทางด้านอินพุต	V_R	-	5	V
กระแสเอาต์พุตเฉลี่ย (ข 6)	$I_{O(AVG)}$	-	8	mA
แหล่งจ่ายแรงดัน (ข 8-5)	V_{CC}	-0.5	30	V
แรงดันเอาต์พุต (ข 6-5)	V_o	-0.5	20	V



รูปที่ 6.23 อปติคัปเปลอร์เบอร์ HCPL-4504

การออกแบบวงจรเพื่อใช้งาน HCPL-4504 ร่วมกับ 6MBP50RA120 โดยเมื่อศึกษาคู่มือการทำงานของ HCPL-4504 จึงได้วางจรตัวอย่างเพื่อใช้งาน ไอซีดังกล่าว แสดงได้ดังรูปที่ 6.24



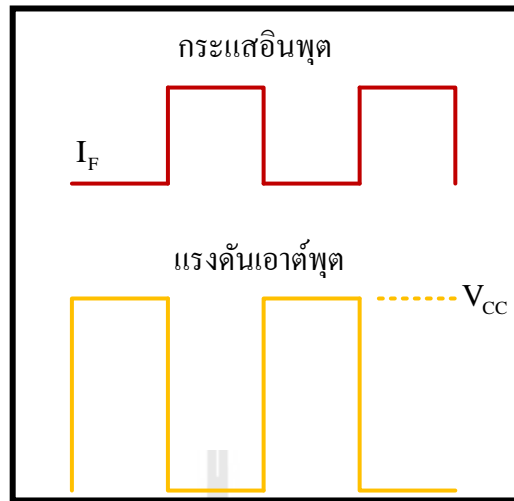
รูปที่ 6.24 วงจรการทำงานของไอซีอปติคัปเปลอร์เบอร์ HCPL-4504

พิจารณาในรูปที่ 6.24 สามารถอธิบายการทำงานของวงจรขั้นเกทด้วยไอซีอปติคัปเปลอร์เบอร์ HCPL-4504 ได้ดังนี้

เมื่อเครื่องกำเนิดสัญญาณพัลส์ (Pulse Generator) ที่ใช้เป็นอินพุตให้กับอปติคัปเปลอร์อยู่ในช่วงการ On จะทำให้มีการไหลของกระแส I_F เพื่อไปกระตุนให้ไดโอดเปล่งแสงที่ถูกติดตั้งไว้ระหว่างขา 2 และขา 3 ทำงานเกิดแสงสว่างขึ้น โดยแสงที่เปล่งขึ้นนี้ จะไปกระตุนให้ไดโอดฟังเออเต็ปตุของวงจรซึ่งตอบรับการทำงานด้วยแสงเกิดการลัดวงจร การลัดวงจรของไดโอดฟังเออเต็ปตุทำให้มีกระแสไฟล์ขา B ของทรานซิสเตอร์ที่ถูกติดตั้งไว้ในตัวไอซีมีผลทำให้เกิดการลัดวงจรขึ้นที่ขา C (ขา 6) และ E (ขา 5) ของทรานซิสเตอร์ ทำให้มีกระแสไฟล์ที่ขาทั้งสอง และจะทำให้แรงดันเออเต็ปตุ (V_O) ที่ขา 6 มีค่าเป็น 0 โวลต์ เมื่อจากการต่อเออเต็ปตุที่จุดดังกล่าวเสมือนกับการต่อเออเต็ปตุที่กราวด์ (ในกรณีที่ขา 6 และขา 5 เกิดการลัดวงจร)

ในทางกลับกันเมื่อสัญญาณพัลส์อยู่ในช่วงการ Off จะไม่มีกระแส I_F ไหลในวงจร อินพุต จึงทำให้ไดโอดเปล่งแสงไม่ทำงาน เมื่อไดโอดเปล่งแสงไม่ทำงาน ไดโอดที่ตอบรับการทำงานด้วยแสงทางฟังเออเต็ปตุก็จะไม่ทำงาน จึงทำให้ขา 8 ของไอซี HCPL-4504 กับขา B ของทรานซิสเตอร์ที่อยู่ภายในของตัวไอซี HCPL-4504 อยู่ในลักษณะของการปีดาวงจร เปรียบเสมือนไม่มีกระแสไฟล์ที่ขา B เมื่อไม่มีกระแสไฟล์ที่ขา B จึงทำให้ขา C และขา E ของทรานซิสเตอร์อยู่ในลักษณะของการปีดาวงจร ทำให้ไม่มีกระแสเกิดขึ้นระหว่างขา C กับขา E นั่นเอง และจะทำให้แรงดันเออเต็ปตุที่ขา 6 มีค่าเท่ากับแรงดันของแหล่งจ่าย (V_{CC})

จากหลักการทำงานในทั้งสองกรณี คือเมื่อสัญญาณพัลส์ของอินพุต On และ Off สามารถนำมาเขียนเป็นแผนภาพได้จะกรรมความสัมพันธ์ของการทำงานระหว่างสัญญาณอินพุตและสัญญาณเออเต็ปของวงจรในรูปที่ 6.24 แสดงได้ดังรูปที่ 6.25



รูปที่ 6.25 ความสัมพันธ์ระหว่างเอาต์พุตและอินพุตของวงจรขับเกล็คด้วยไอซี HCPL-4504

เมื่อเข้าใจวิธีการทำงานของวงจรขับเกล็คด้วยไอซี HCPL-4504 ในรูปที่ 6.24 พอกสมควรแล้ว ต่อไปจะเป็นการออกแบบparametertoที่ยังไม่ทราบค่า ได้แก่ R_M R_L และ C_L โดยparametertoทั้งสามตัวนี้มีคุณสมบัติในการทำงานดังนี้ กือ R_M มีหน้าที่จำกัดปริมาณกระแสทางด้านอินพุตที่จะเข้าตัวไอซี HCPL-4504 ไม่ให้เกินพิกัดและ R_L มีหน้าที่จำกัดปริมาณกระแสทางด้านเอาต์พุตไม่ให้เกินพิกัดของไอซี ส่วน C_L ทำหน้าที่ลัดผ่านความถี่สูง (bypass high frequency) ให้ง่ายต่อการดึงแหล่งจ่าย

จากการพิจารณาคุณสมบัติและหน้าที่ของอุปกรณ์ทั้งสามตัว จึงสามารถออกแบบparametertoได้ดังนี้

การออกแบบparameterto R_M สำหรับงานวิจัยนี้ เมื่อพิจารณาจากโครงสร้างของวงจรในรูปที่ 6.24 จะเห็นว่าparameterto R_M จะเชื่อมต่ออยู่กับแหล่งจ่ายไฟ หมายถึงเชื่อมต่อกับไมโครคอนโทรลเลอร์ eZdsp™ F28335 สัญญาณพัลส์ที่ออกจากระบบไมโครคอนโทรลเลอร์จะมีแรงดันค่ายอดเท่ากับ 3.3 V เมื่อพิจารณาค่ากระแสพิกัดผ่านวงจรอินพุตของไอซีในตารางที่ 6.5 จึงสามารถคำนวณหาค่า R_M ได้ดังนี้

$$R_M \geq \frac{3.3}{0.025} = 132 \Omega$$

parameterto R_M ที่ใช้ในวงจรต้องมีค่ามากกว่าหรือเท่ากับ 132 โอห์ม เพื่อความสะดวกต่อการใช้งาน งานวิจัยนี้จึงได้เลือกใช้ค่า R_M เท่ากับ 300 โอห์ม จึงสามารถคำนวณอัตราการไหลของกระแสทางผ่านวงจรอินพุตในรูปที่ 6.24 ได้เป็น

$$I_{F(AVG),300\Omega} = \frac{3.3}{300} = 11 \text{ mA}$$

การออกแบบค่าพารามิเตอร์ R_L และ C_L ในงานวิจัยนี้ เมื่อพิจารณาจากคู่มือการใช้งานของ ไอซี HCPL-4504 จะใช้ R_L เท่ากับ 20 กิโลโอม์ม และ C_L เท่ากับ 100 พิโภฟารัค และจากค่าพารามิเตอร์ R_L ดังกล่าว สามารถนำไปคำนวณกระแสผ่านจราต์พุตในรูปที่ 6.25 โดยแหล่งจ่ายที่ใช้งานผ่านจราต์พุตเท่ากับ 15 โวลต์ ดังนี้

$$I_{O(AVG),20k\Omega} = \frac{15}{20k\Omega} = 0.75 \text{ mA}$$

จากการคำนวณกระแสทางด้านวงจรเอาต์พุตพบว่าค่าที่ได้ไม่เกินพิกัดคือ 8 mA ดังนั้น ค่าความต้านทาน R_L เท่ากับ 20 กิโลโอม์ม สามารถนำไปใช้งานได้

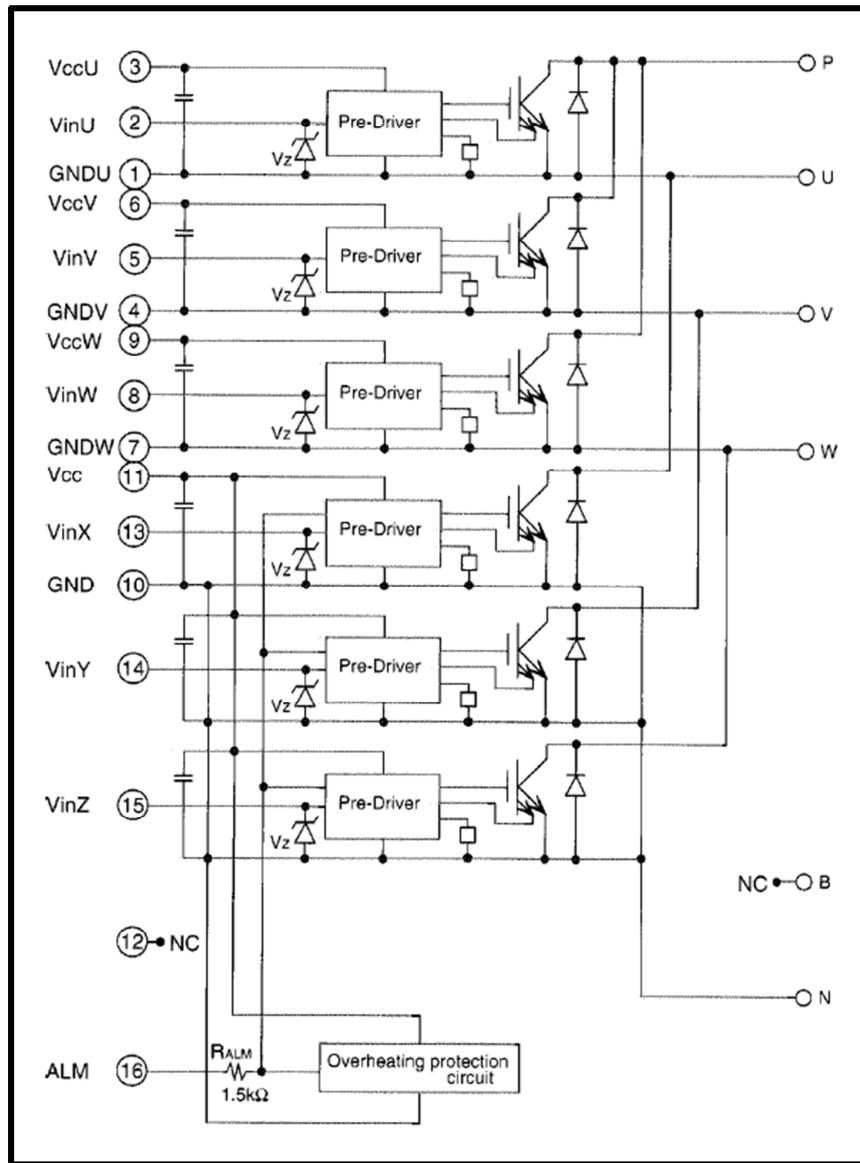
6.2.9 โมดูล 6MBP50RA120

โมดูล 6MBP50RA120 แสดงได้ดังรูปที่ 6.26 โครงสร้างภายในของโมดูลแสดงได้ดังรูปที่ 6.27 พิกัดและคุณลักษณะการทำงานของโมดูลแสดงได้ดังตารางที่ 6.6 และจุดเด่นในการทำงานของโมดูลดังกล่าวมีดังต่อไปนี้

- มีการตรวจสอบอุณหภูมิการทำงานของ IGBTs
- กำลังงานสูงเสียต่ำและมีการสวิตช์ที่นุ่มนวล
- ประสิทธิภาพสูงและความน่าเชื่อถือได้สูงด้วยวิธีการป้องกันอุณหภูมิเกินขนาดของตัว IGBT



รูปที่ 6.26 โมดูล 6MBP50RA120



รูปที่ 6.27 โครงสร้างภายในของ โมดูล 6MBP50RA120

ตารางที่ 6.6 คุณลักษณะการทำงานของ โมดูล 6MBP50RA120

รายการ	สัญลักษณ์	พิกัด		หน่วย
		ต่ำสุด	สูงสุด	
แรงดันไฟฟ้ากระแสสลับ	$V_{DC\ Inverter}$	0	900	V
แรงดันไฟฟ้ากระแสสลับ (กระชาก)	$V_{DC\ Inverter\ (surge)}$	0	1000	V
แรงดันระหว่างขาคอลเลกเตอร์อิมิตเตอร์	$VCES$	0	1200	V
กระแสที่ขาคอลเลกเตอร์	IC	0	50	A
ตัวตรวจวัดอุณหภูมิ	T _j	0	150	°C

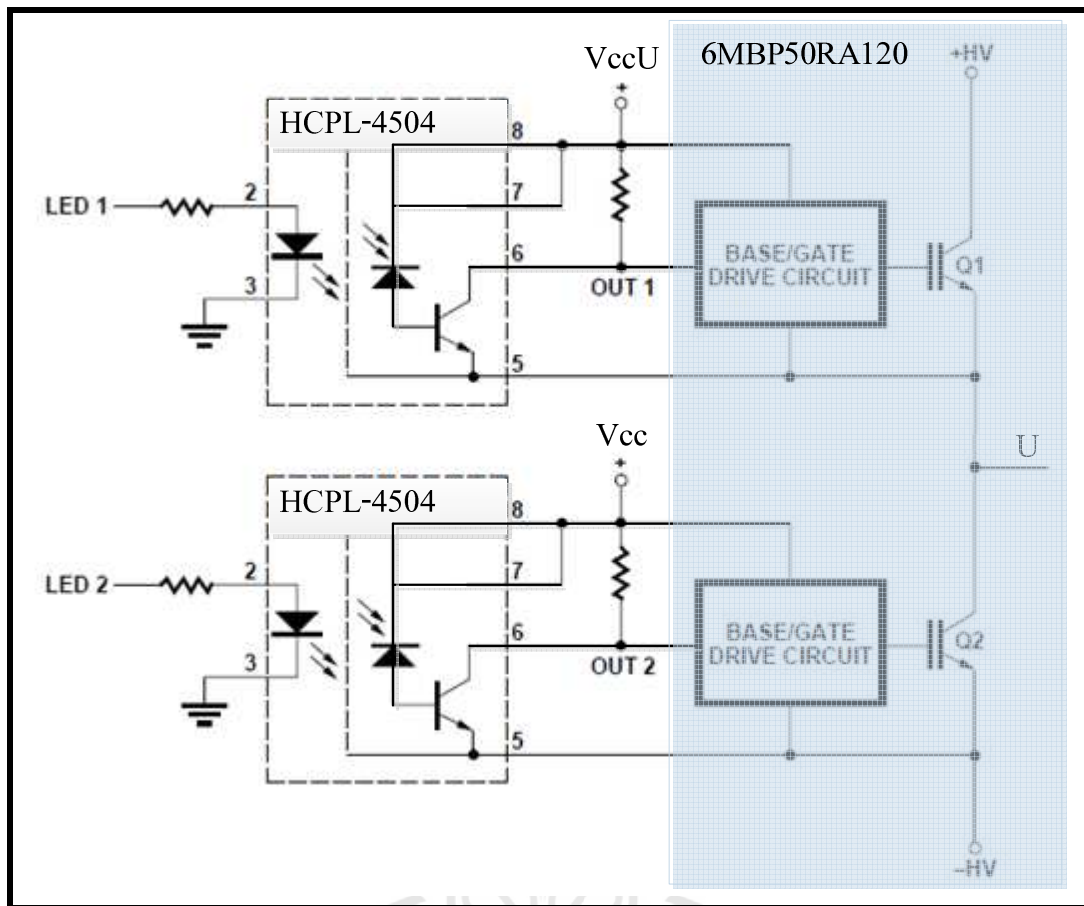
ตารางที่ 6.6 คุณลักษณะการทำงานของโมดูล 6MBP50RA120 (ต่อ)

รายการ	สัญลักษณ์	พิกัด		หน่วย
		ต่ำสุด	สูงสุด	
แหล่งจ่ายสำหรับ Pre-Driver	VCC*1	0	20	V
แรงดันอินพุต	Vin*2	0	VZ	V
กระแสอินพุต	Iin	0	8	mA
ความถี่การสวิตช์	f_s	0	15	kHz
แรงดันการแจ้งเตือน	VLAM*3	0	VCC*1	V
กระแสการแจ้งเตือน	ILAM*4	-	15	mA
อุณหภูมิในการเก็บรักษา	Tstg	-40	125	°C
อุณหภูมิการทำงาน	Top	-20	100	°C

จากตารางที่ 6.6

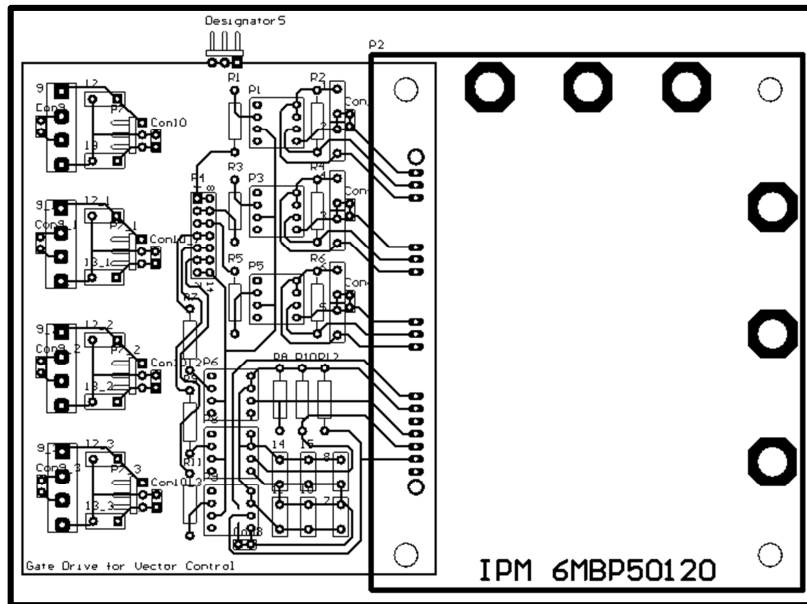
- VCC*1 คือ แหล่งจ่ายแรงดันระหว่างขา 3 และขา 1, ขา 6 และขา 4, ขา 9 และขา 7, ขา 11 และขา 10
- Vin*2 คือ แรงดันอินพุตระหว่างขา 2 และขา 1, ขา 5 และขา 4, ขา 7 และขา 6, ขา 13 14 15 และขา 10
- VLAM*3 คือ แรงดันระหว่างขา 16 และขา 10
- ILAM*4 คือ กระแสที่ไหลในขา 16

พิจารณาโครงสร้างภายในของโมดูลในรูปที่ 2.27 พบว่าต้องใช้แหล่งจ่ายสำหรับวงจรขั้บ IGBT หรือ Pre-Driver ที่ถูกติดตั้งมาพร้อมกับโมดูลทั้งหมด 4 แหล่งจ่าย คือ VccU, VccV, VccW และ Vcc เนื่องจากเป็นการป้องกันไม่ให้เกิดการลัดวงจรภายในตัวโมดูล และจากปัจจัยเห็นว่ามีการคงค่าแรงดันของสัญญาณพัลส์ที่เข้า向 Pre-Driver ด้วยการติดตั้งตัวซีเนอร์ไดโอด (Zener Diode) ให้แรงดันคงที่ที่ 8 โวลต์ จึงเห็นว่ามีการติดตั้งซีเนอร์ไดโอดที่ขาอินพุตทั้ง 6 ขา ของโมดูลดังนี้คือ ขา 2 5 8 13 14 และ 15 และในขณะที่โมดูลกำลังทำงานเมื่อตรวจพบว่าอุณหภูมิของตัวโมดูลมีอุณหภูมิสูงเกินค่าพิกัดก็จะมีสัญญาณเตือนออกมากที่ขา 16 โดยจะเป็นแรงดันที่มีขนาดเท่ากับ Vcc จากโครงสร้างของโมดูลในรูปที่ 6.27 สามารถนำมาประยุกต์ใช้งานกับวงจรขั้บเกทที่ได้ออกแบบไว้ในข้างต้นได้ดังรูปที่ 6.28



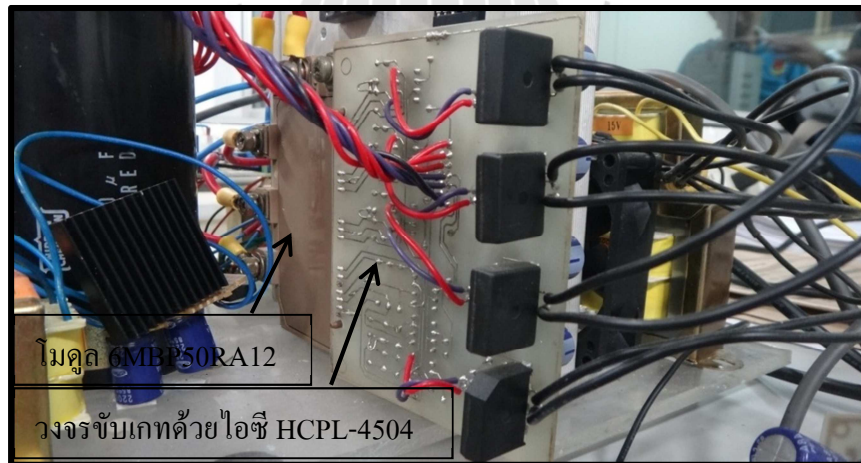
รูปที่ 6.28 การประยุกต์ใช้วงจรขับเกลอร์รวมกับโมดูล 6MBP50RA120

จากการในรูปที่ 6.28 ได้แสดงการต่อวงจรตัวอย่างเพียงเฟส U เท่านั้น เนื่องจากเห็นว่า วงจรของเฟส V และเฟส W เป็นวงจรที่เหมือนกัน แต่ที่ต่างกันคือวงจร Pre-Driver ของเฟส U จะใช้ แหล่งจ่ายเป็น V_{CCU} ส่วนแหล่งจ่าย Pre-Driver ของเฟส V และ W จะใช้แหล่งจ่าย เป็น V_{CCV} และ V_{CCW} ตามลำดับ (ทั้งสามเป็นแหล่งจ่ายของวงจร Pre-Driver ที่ใช้ขั้บ IGBT ฝั่งที่ต่อกับขา P ของโมดูล) ส่วนแหล่งจ่ายของวงจร Pre-Driver ทางฝั่งแรงดันต่ำของโมดูลจะเหมือนกันทั้งสามเฟส ก็อใช้แหล่งจ่ายเป็น V_{CC} ดังนั้น จากรูปที่ 2.28 สามารถนำไปสร้างเป็นลายวงจรบนแผ่นวงจรพิมพ์ หรือ PCB หรือนิยมเรียกว่า แผ่นปรินต์ เพื่อลดอุปกรณ์ต่าง ๆ เพื่อให้ได้ลาย วงจรที่สวยงามและให้แผ่นปรินต์มีขนาดเล็ก ผู้วิจัยจึงได้เลือกใช้โปรแกรม Altium Designer จากการสร้าง ลายวงจรเพื่อใช้ขั้บโมดูล 6MBP50RA120 แสดงได้ดังรูปที่ 6.29



รูปที่ 6.29 ลักษณะสำหรับวงจรขับเกฟท์ที่ทำงานร่วมกับโมดูล 6MBP50RA120

วงจรขับเกฟท์ที่ใช้งานร่วมกับ โมดูล 6MBP50RA120 สามารถแสดงรูปของวงจรที่พร้อมใช้งานได้ดังรูปที่ 6.30

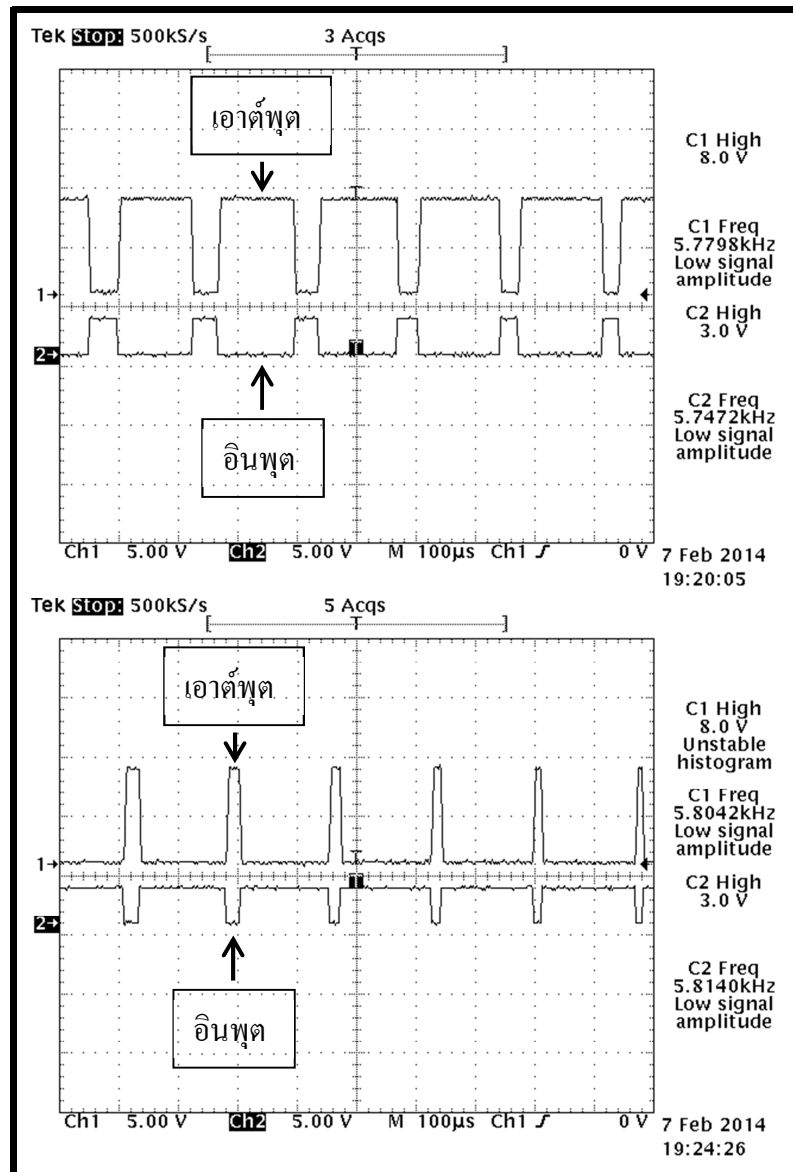


รูปที่ 6.30 วงจรขับเกฟท์เพื่อใช้งานร่วมกับ โมดูล 6MBP50RA120

เมื่อสร้างวงจรการทำงานของอินเวอร์เตอร์ครบถ้วน จะเริ่มทดสอบการทำงานของ วงจรขับเกฟท์และทดสอบการทำงานของโมดูล โดยการทดสอบจะทดสอบทีละส่วน คือทดสอบในส่วน

ของการทำงานของวงจรขับเกทก่อน จากนั้นจึงได้ทดสอบการทำงานร่วมกันระหว่างวงจรขับเกทและไมโครล 6MBP50RA120

สำหรับการทดสอบวงจรขับเกท จะป้อนสัญญาณพัลส์ที่ความถี่ 5.8 กิโลเฮิรตซ์ทางด้านอินพุตของวงจร เพื่อคุณภาพทางด้านเอาต์พุต และจากการทดสอบสามารถแสดงผลได้ดังนี้

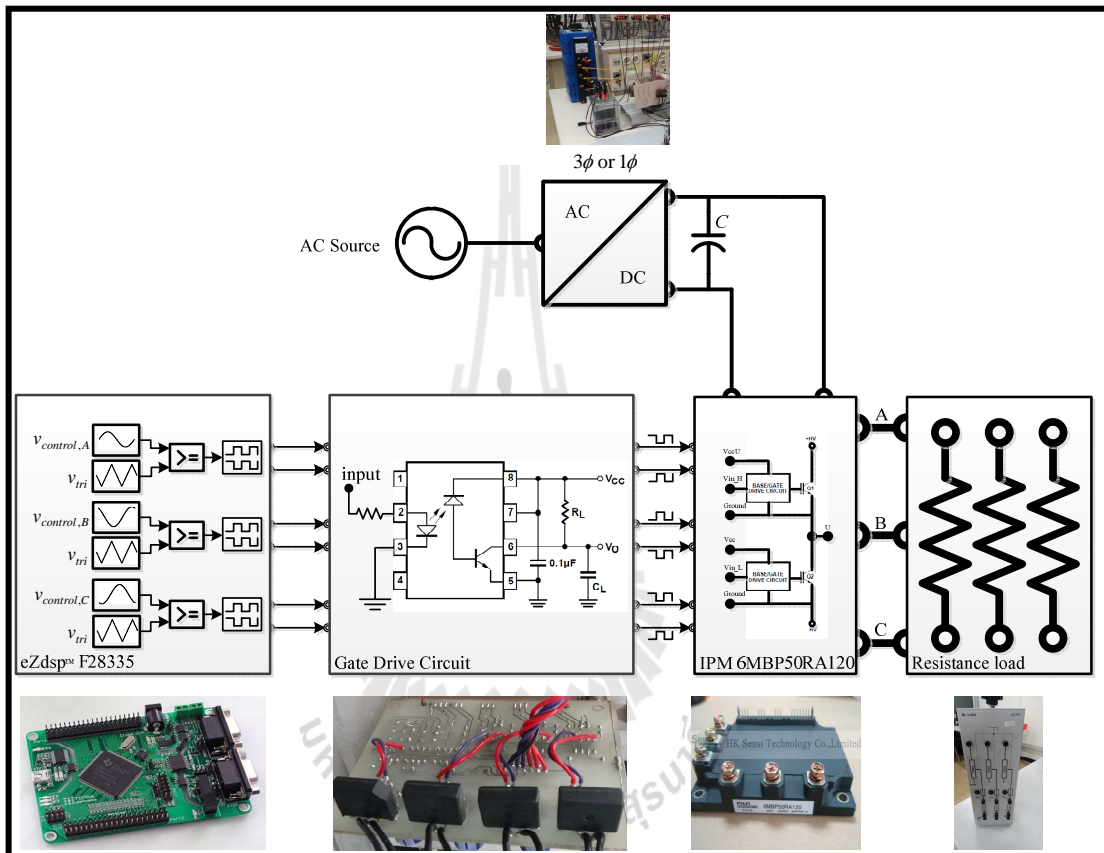


รูปที่ 6.31 ผลการทดสอบวงจรขับเกท

จากผลการทดสอบวงจรขับเกทด้วยไอซี HCPL-4504 เมื่อพิจารณาผลการทดสอบในรูปที่ 6.31 จะเห็นว่าสัญญาณพัลส์ทางด้านอินพุตและเอาต์พุตมีเฟสต่างกัน 180° นั่นหมายความว่าวงจรขับเกทด้วยไอซี HCPL-4504 จะกลับเฟสของสัญญาณอินพุตจาก LOW เป็น HIGH หรือ

จาก HIGH เป็น LOW ซึ่งจากผลการทดสอบการทำงานของวงจรดังกล่าวพบว่ามีความสอดคล้องกับเงื่อนไขการทำงานของไอซี HCPL-4504 ที่ได้แสดงไว้ในข้างต้น

ต่อมาเริ่มทดสอบการทำงานของวงจรขั้นเกทร่วมกับโมดูล 6MBP50RA120 โดยมีโหลดเป็นค่าความต้านทาน สามารถแสดงเป็นไดอะแกรมการทดสอบได้ดังรูปที่ 6.32

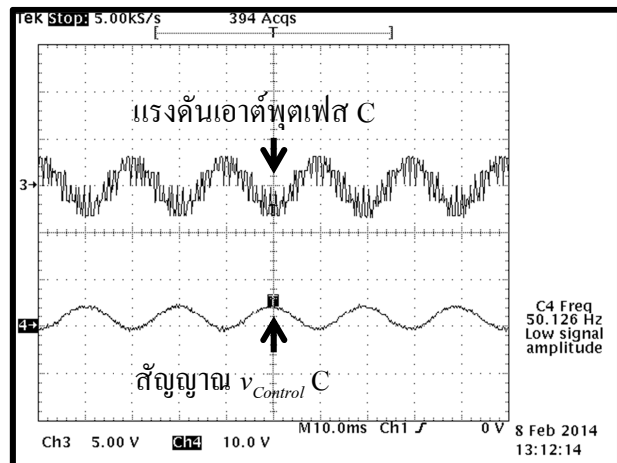


รูปที่ 6.32 การทดสอบการทำงานของอินเวอร์เตอร์เมื่อโหลดเป็นความต้านทาน

จากไดอะแกรมการทดสอบการทำงานของอินเวอร์เตอร์ในรูปที่ 6.32 เป็นต้นจะทดสอบเฟสของสัญญาณ $v_{Control}$ เทียบกับเฟสของแรงดันเอาต์พุตที่ออกจากอินเวอร์เตอร์ โดยการทดสอบได้วัดสัญญาณของ $v_{Control}$ ที่เฟส C และแรงดันเอาต์พุตของอินเวอร์เตอร์ที่เฟส C แสดงได้ดังรูปที่ 6.33 (การทำงานของเฟส A และ B จะเหมือนกันกับการทำงานของเฟส C จึงไม่กล่าวถึง)

เมื่อพิจารณาผลที่ได้จากการทดสอบในรูปที่ 6.33 พบร่วมกับสัญญาณของ $v_{Control}$ ที่เฟส C กับสัญญาณแรงดันเอาต์พุตของอินเวอร์เตอร์ที่เฟส C มีเฟสตรงข้ามกัน 180° ซึ่งมีความสอดคล้องกับการทำงานของวงจรขั้นเกท คือ สัญญาณพัลส์ทางฟังก์ชันพุตกับสัญญาณพัลส์ทางฟังก์ชันเอาต์พุตของวงจรขั้นเกทมีเฟสต่างกัน 180° ด้วยเหตุนี้จึงส่งผลให้แรงดันไฟฟ้าทางด้านเอาต์พุตของอินเวอร์เตอร์กับสัญญาณควบคุมหรือ $v_{Control}$ มีเฟสตรงข้ามกันที่ 180° และถ้าต้องการให้สัญญาณควบคุมมีเฟสตรงกันกับแรงดันเอาต์พุต

ของอินเวอร์เตอร์ สามารถทำได้โดยนำ -1 ไปคูณเข้ากับสัญญาณควบคุมก่อนที่จะนำไปเปรียบเทียบกับสัญญาณสามเหลี่ยม



รูปที่ 6.33 การเปรียบเทียบระหว่างสัญญาณแรงดันเอาต์พุตกับ $\nu_{Control}$

จากการทดสอบการทำงานของอินเวอร์เตอร์ในเบื้องต้นพบว่าแรงดันทางค้านเอาต์พุตของอินเวอร์เตอร์จะมีเฟสต่างกันกับสัญญาณของ $\nu_{Control}$ 180° ซึ่งสามารถแก้ไขได้โดยนำ -1 ไปคูณที่สัญญาณควบคุม ขั้นตอนต่อไปจะทดสอบการทำงานของอินเวอร์เตอร์เพื่อตรวจสอบความถูกต้องของการทำงาน ซึ่งแบ่งการทดสอบออกเป็น 3 กรณี คือ

1. การทดสอบปริมาณเพิ่มแรงดัน $V_{DC\ Inverter}$ โดยกำหนดให้ m_a คงที่เท่ากับ 0.9 และความถี่ของ $\nu_{Control}$ เท่ากับ 50 เฮิรตซ์ เพื่อคุณลักษณะของแรงดันทางค้านเอาต์พุต อัตราการเพิ่มแรงดัน $V_{DC\ Inverter}$ แสดงได้ดังตารางที่ 6.7
2. การทดสอบปรับเปลี่ยน m_a โดยกำหนดให้แรงดัน $V_{DC\ Inverter}$ คงที่เท่ากับ 360 โวลต์ และความถี่ของ $\nu_{Control}$ เท่ากับ 50 เฮิรตซ์ การปรับเปลี่ยน m_a แสดงได้ดังตารางที่ 6.8
3. การทดสอบปรับเปลี่ยนความถี่ของ $\nu_{Control}$ โดยได้กำหนดให้ m_a คงที่เท่ากับ 0.8 และใช้แหล่งจ่าย $V_{DC\ Inverter}$ เท่ากับ 360 โวลต์ การปรับเปลี่ยนความถี่ของสัญญาณ $\nu_{Control}$ แสดงได้ดังตารางที่ 6.9

หมายเหตุ : การทดสอบทั้งสามกรณีจะใช้ความถี่การสวิตช์ (f_s) ที่ 5.8 กิโลเฮิรตซ์

ตารางที่ 6.7 อัตราการเพิ่มแรงดันไฟฟ้ากระแสตรงฟังแรงคันสูง

ครั้งที่	$V_{DC\ Inverter}$ (V _p)	m_a	$v_{Control}$ (Hz)
1	60	0.9	50
2	120	0.9	50
3	180	0.9	50
4	240	0.9	50
5	300	0.9	50
6	360	0.9	50

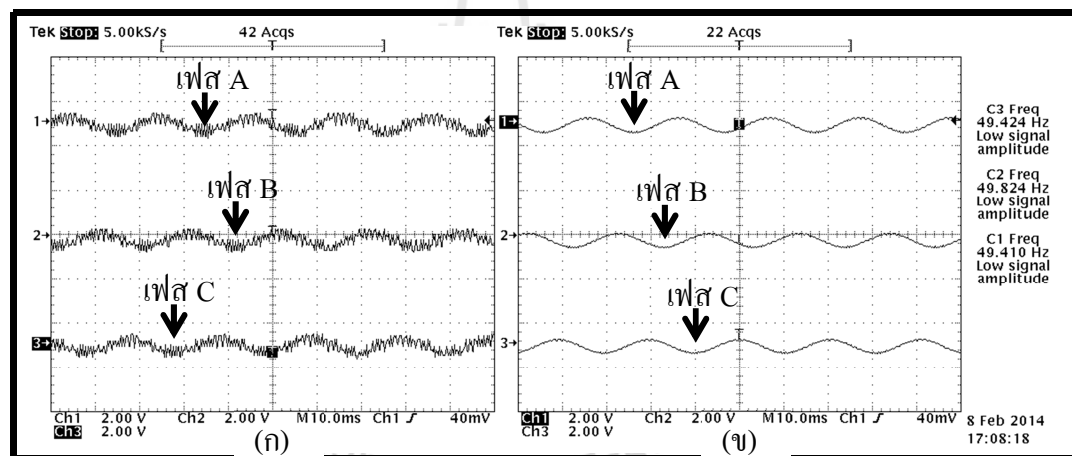
ตารางที่ 6.8 การปรับเปลี่ยนอัตราการมอเตอร์

ครั้งที่	m_a	$V_{DC\ Inverter}$ (V _p)	$v_{Control}$ (Hz)
1	0.2	360	50
2	0.4	360	50
3	0.6	360	50
4	0.8	360	50
5	1.0	360	50
6	1.2	360	50

ตารางที่ 6.9 การปรับเปลี่ยนความถี่ของสัญญาณควบคุม

ครั้งที่	$v_{Control}$ (Hz)	m_a	$V_{DC\ Inverter}$ (V _p)
1	10	0.8	50
2	20	0.8	50
3	30	0.8	50
4	40	0.8	50
5	50	0.8	50
6	60	0.8	50

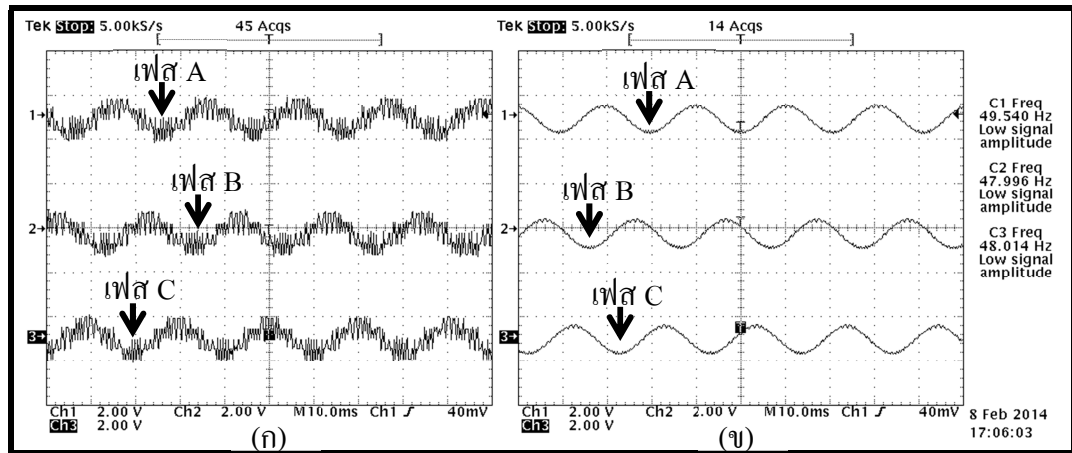
จากการทดสอบการทำงานของอินเวอร์เตอร์โดยการปรับเพิ่มแรงดัน $V_{DC\ Inverter}$ ตามตารางที่ 6.7 สามารถแสดงผลการทำงานของอินเวอร์เตอร์สามเฟสได้ดังนี้ รูปที่ 6.34 แสดงค่าแรงดันเอาต์พุตของอินเวอร์เตอร์ที่เฟส A B และ C เมื่อใช้ $V_{DC\ Inverter}$ เท่ากับ 60 โวลต์ โดยในรูปที่ 6.34 (ก) เป็นสัญญาณแรงดันที่ได้จากเครื่องมือวัดซึ่งไม่มีการใช้ฟิล์เตชันกรองความถี่สูงภายในเครื่องมือวัด ส่วนรูปที่ 6.34 (ข) เป็นสัญญาณแรงดันที่ได้จากเครื่องมือวัดโดยผ่านการใช้ฟิล์เตชันกรองความถี่สูงของเครื่องมือวัดเพื่อให้ง่ายต่อการอ่านค่าความถี่มูลฐานของแรงดัน จากรูปจะเห็นว่าความถี่ของแรงดันเอาต์พุตจะมีความถี่เท่ากับความถี่ของสัญญาณ $v_{Control}$ และแรงดันเอาต์พุตในรูปที่ 6.35 และรูปที่ 6.36 ที่ เช่นเดียวกันกับแรงดันเอาต์พุตในรูปที่ 6.34 เพียงแต่ปรับเปลี่ยนค่าแรงดัน $V_{DC\ Inverter}$ เป็น 120 โวลต์ และ 360 โวลต์ ตามลำดับ (ผลการทดสอบการทำงานได้แสดงเพียงบางค่าเท่านั้นเนื่องจากแรงดันเอาต์พุตที่ได้จากการปรับเพิ่ม $V_{DC\ Inverter}$ มีแนวโน้มไปในทิศทางเดียวกัน)



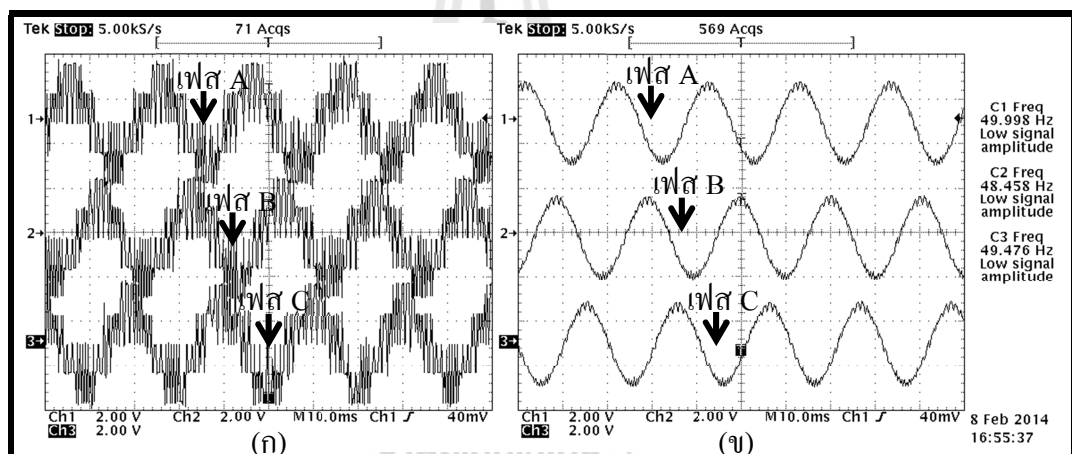
รูปที่ 6.34 ผลการทดสอบเมื่อ $V_{DC\ Inverter}$ เท่ากับ 60 โวลต์

สำหรับเงื่อนไขการทดสอบปรับเพิ่มแรงดัน $V_{DC\ Inverter}$ ให้กับอินเวอร์เตอร์ในตารางที่ 6.7 สามารถแสดงค่าแรงดันเอาต์พุตที่ได้จากการวัดเปรียบเทียบกับค่าที่ได้จากการคำนวณดังตารางที่ 6.10

เมื่อพิจารณาแรงดันเอาต์พุตของอินเวอร์เตอร์ในตารางที่ 6.10 ค่าที่ได้จากการคำนวณและค่าที่ได้จากการวัด พบร่วมกันว่ามีความสอดคล้องกันหรือมีแนวโน้มไปในทิศทางเดียวกันแสดงให้เห็นว่า อินเวอร์เตอร์ให้ผลการทำงานที่ถูกต้องสำหรับเงื่อนไขการทำงานดังกล่าว



รูปที่ 6.35 ผลการทดสอบเมื่อ $V_{DC\ Inverter}$ เท่ากับ 120 โวลต์



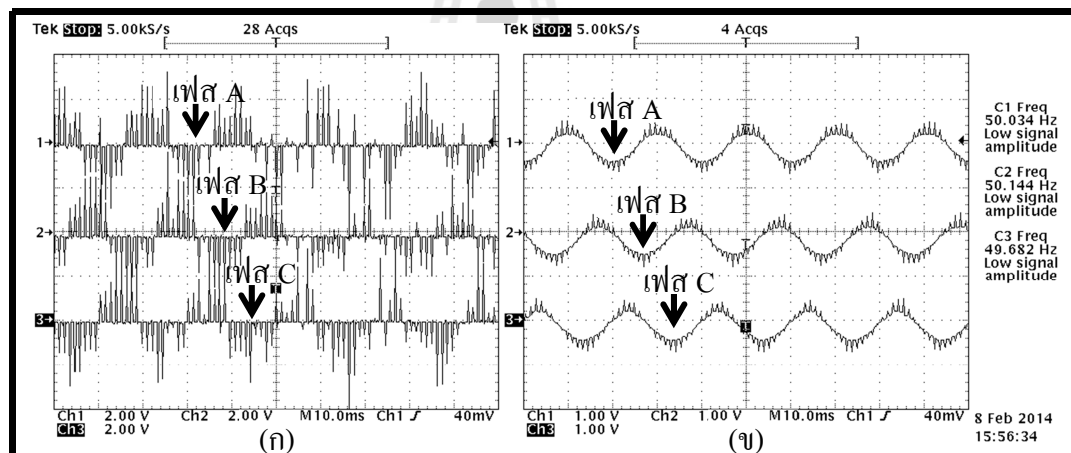
รูปที่ 6.36 ผลการทดสอบเมื่อ $V_{DC\ Inverter}$ เท่ากับ 360 โวลต์

ตารางที่ 6.10 แรงดันเอาต์พุตที่ได้จากการวัดโดยใช้เงื่อนไขการทดสอบในตารางที่ 6.7

ครั้งที่	$V_{DC\ Inverter}$ (V _p)	V_{LL} จากการคำนวณ (Vrms)	V_{LL} จากการวัด (Vrms)
1	60	34	34
2	120	70	70
3	180	104	102
4	240	139	140
5	300	174	172
6	360	209	205

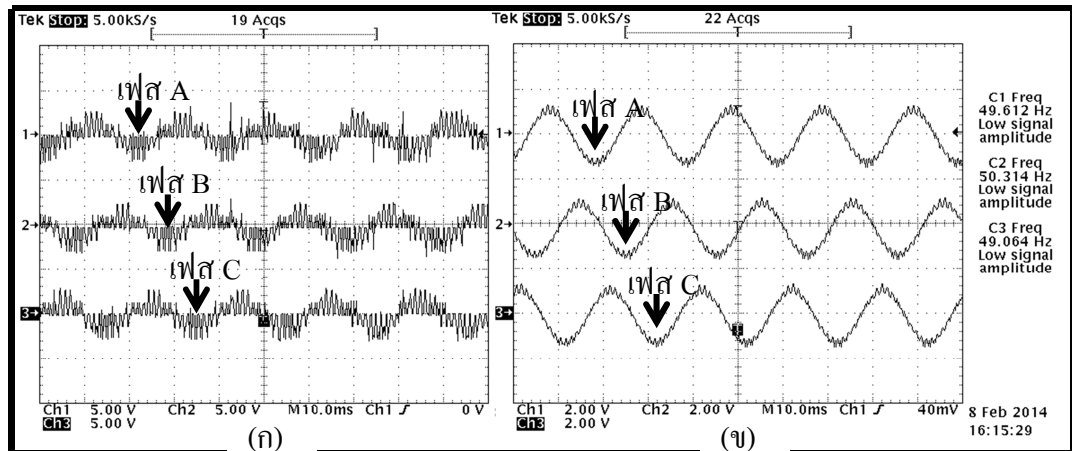
หมายเหตุ : V_{LL} จากการคำนวณ คำนวณได้จากสมการที่ (6-5)

เงื่อนไขการทดสอบการทำงานของอินเวอร์เตอร์ในตารางที่ 6.8 การทดสอบปรับเปลี่ยนค่า m_a เพื่อศึกษาพฤติกรรมการทำงานของอินเวอร์เตอร์ สามารถแสดงผลการทดสอบได้ดังนี้ รูปที่ 6.37 แสดงค่าแรงดันเอาต์พุตเมื่อ m_a เท่ากับ 0.2 โดยรูปที่ 6.37 (ก) เป็นแรงดันเอาต์พุตที่ได้จากการวัดที่ไม่ได้ใช้ฟิล์ตชั้นกรองความถี่สูงของเครื่องมือวัด ส่วนรูปที่ 6.37 (ข) เป็นแรงดันเอาต์พุตที่ได้จากการวัดโดยมีการใช้ฟิล์ตชั้นกรองความถี่สูงของเครื่องมือวัด เมื่อพิจารณาความถี่ของแรงดันที่ได้จากการวัดยังพบว่าความถี่ของแรงดันเอาต์พุตที่ออกจากอินเวอร์เตอร์ยังมีความถี่เท่ากันกับความถี่ของ $v_{Control}$ แต่ขนาดแรงดันเปลี่ยนไปตามค่า m_a ซึ่งมีความถูกต้องตามหลักการทำงานของอินเวอร์เตอร์ รูปที่ 6.38 และ 6.39 นี้ แสดงค่าแรงดันเอาต์พุตของอินเวอร์เตอร์ในลักษณะเดียวกันกับรูปที่ 6.37 เพียงแต่ค่า m_a เป็น 0.6 และ 1.0 ตามลำดับ (การแสดงผลการทดสอบการทำงานของอินเวอร์เตอร์ตามเงื่อนไขในตารางที่ 6.8 ได้แสดงเพียงบางค่าเท่านั้น เนื่องจากแรงดันเอาต์พุตที่ได้จากการปรับค่า m_a มีแนวโน้มไปในทิศทางเดียวกัน)

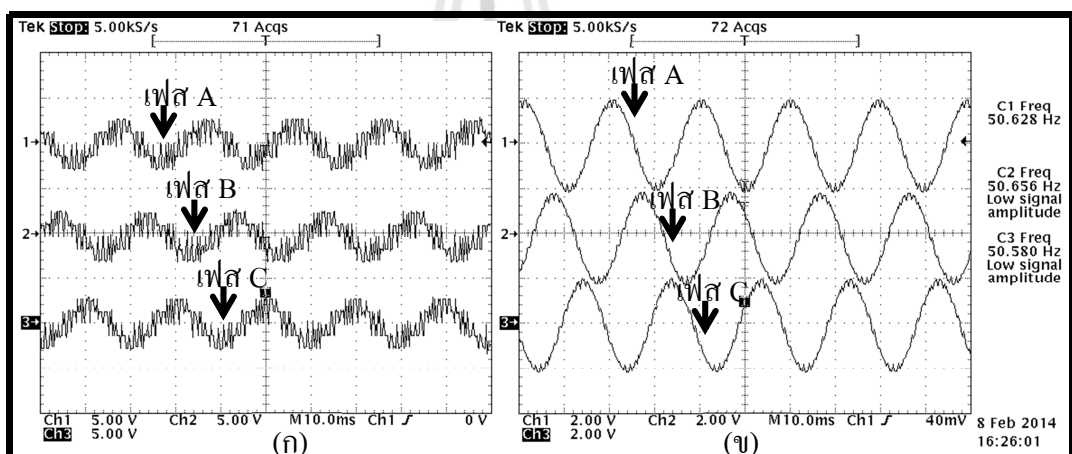


รูปที่ 6.37 แรงดันเอาต์พุตเมื่อ m_a เท่ากับ 0.2

จากผลการทดสอบการทำงานของอินเวอร์เตอร์โดยใช้เงื่อนไขการทำงานตามตารางที่ 6.8 สามารถแสดงค่าแรงดันเอาต์พุตที่ได้จากการคำนวณเทียบกับค่าที่ได้จากการวัดดังตารางที่ 6.11



รูปที่ 6.38 แรงดันเอาต์พุตเมื่อ m_a เท่ากับ 0.6



รูปที่ 6.39 แรงดันเอาต์พุตเมื่อ m_a เท่ากับ 1.0

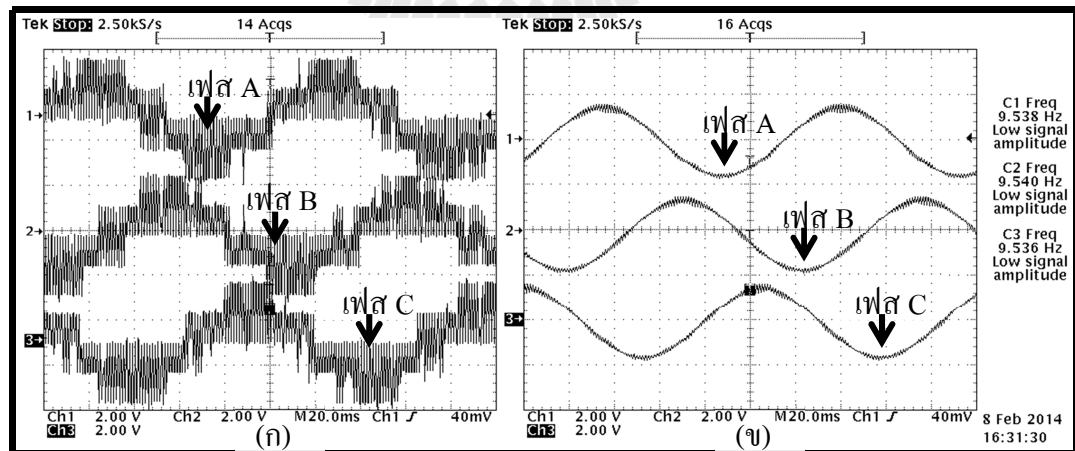
ตารางที่ 6.11 เปรียบเทียบแรงดันเอาต์พุตของอินเวอร์เตอร์ที่ได้จากการคำนวณและจากการวัด

ครั้งที่	m_a	V_{LL} จากการคำนวณ (Vrms)	V_{LL} จากการวัด (Vrms)
1	0.2	44	42
2	0.4	88	84
3	0.6	134	132
4	0.8	176	173
5	1.0	220	220
6	1.2	ไม่สามารถคำนวณโดยใช้สูตรในสมการที่ (6-5) ได้	240

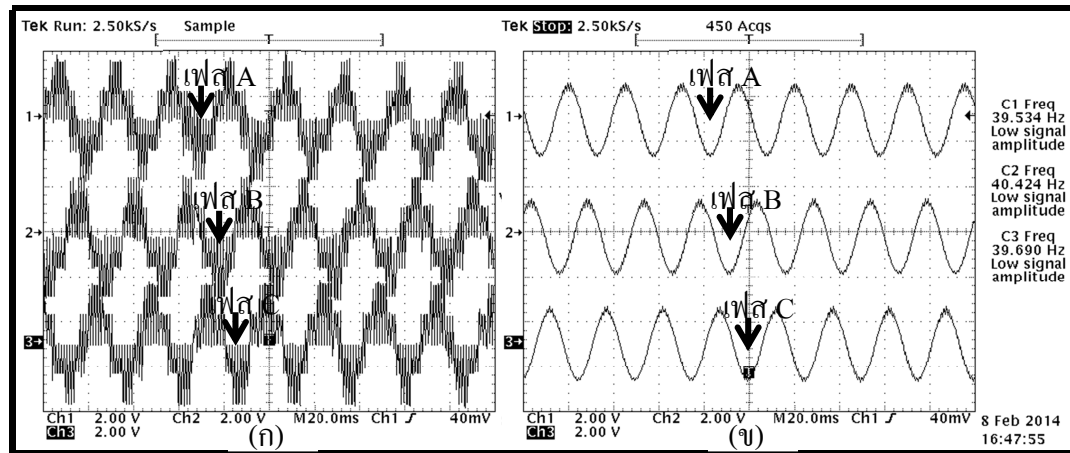
หมายเหตุ : V_{LL} จากการคำนวณ คำนวณ ได้จากการที่ (6-5)

เมื่อพิจารณาค่าแรงดันเอ่าต์พุตที่ได้จากการวัดและการคำนวณในตารางที่ 6.11 จะเห็นว่าการเพิ่มขึ้นของแรงดันเอ่าต์พุตมีลักษณะเป็นเชิงเส้นเมื่อ m_a น้อยกว่าหรือเท่ากับ 1 ซึ่งจากผลของแรงดันเอ่าต์พุตที่ส่องวิธียังพบว่าค่าที่ได้มีความใกล้เคียงกันและมีแนวโน้มไปในทิศทางเดียวกัน แต่เมื่อค่า m_a มีค่ามากกว่า 1 การเพิ่มขึ้นของแรงดันจะไม่เป็นเชิงเส้นดังที่ได้กล่าวไว้แล้วก่อนหน้านี้

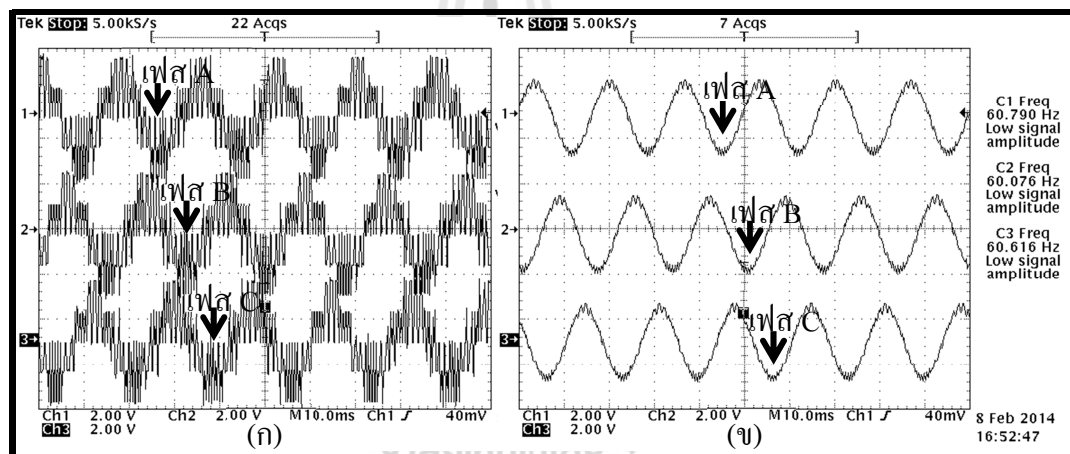
ผลการทดสอบการทำงานของอินเวอร์เตอร์โดยใช้เงื่อนไขตามตารางที่ 6.9 การปรับเปลี่ยนความถี่ของ $v_{Control}$ สามารถแสดงผลการทดสอบได้ดังนี้ รูปที่ 6.40 แสดงค่าแรงดันเอ่าต์พุตของอินเวอร์เตอร์ทั้งสามเฟส โดยใช้ความถี่ของ $v_{Control}$ เท่ากับ 10 เฮิรตซ์ โดยรูปที่ 6.40 (ก) เป็นแรงดันเอ่าต์พุตที่ได้จากการวัดที่ไม่ได้ใช้ฟังก์ชันกรองความถี่สูงของเครื่องมือวัด ส่วนรูปที่ 6.40 (ข) เป็นแรงดันเอ่าต์พุตที่ได้จากการวัดที่มีการใช้ฟังก์ชันกรองความถี่สูงของเครื่องมือวัด จากรูปจะเห็นว่าความถี่ของแรงดันเอ่าต์พุตมีค่าใกล้เคียงหรือมีความสอดคล้องกับความถี่ของ $v_{Control}$ รูปที่ 6.41 และรูปที่ 6.42 ที่แสดงค่าแรงดันเอ่าต์พุตของอินเวอร์เตอร์ในลักษณะเดียวกันกับรูปที่ 6.40 เพียงแต่ได้ปรับเปลี่ยนค่าความถี่ของ $v_{Control}$ เป็น 40 และ 60 เฮิรตซ์ ตามลำดับ (สำหรับการแสดงผลของผลการทำงานของอินเวอร์เตอร์ตามเงื่อนไขในตารางที่ 6.9 ได้แสดงผลการทดสอบเพียงบางค่าเท่านั้นเนื่องจากความถี่มุ่งฐานของแรงดันเอ่าต์พุตจากการปรับค่า $v_{Control}$ มีแนวโน้มไปในทิศทางเดียวกัน) และจากเงื่อนไขการทำงานของอินเวอร์เตอร์ในตารางที่ 6.9 สามารถแสดงค่าของแรงดันเอ่าต์พุตที่ได้จากการคำนวณและได้จากการวัดที่ความถี่ $v_{Control}$ ต่าง ดังตารางที่ 6.12



รูปที่ 6.40 แรงดันเอ่าต์พุตเมื่อความถี่ของ $v_{Control}$ เท่ากับ 10 เฮิรตซ์



ຮູບທີ 6.41 ແຮງດັນເອາຫຼິກພຸດເມື່ອຄວາມຄືຂອງ $v_{Control}$ ເທົກນຳ 40 ເເଇຣດັ່ງ



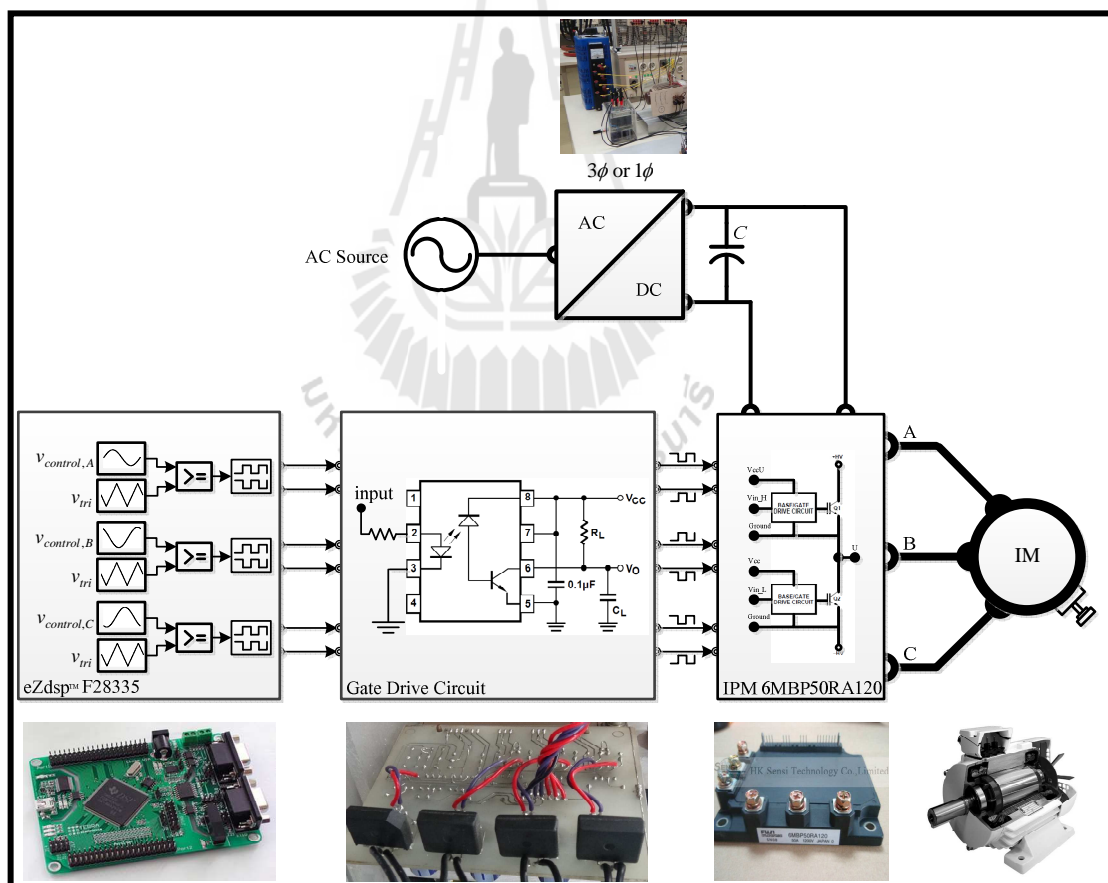
ຮູບທີ 6.42 ແຮງດັນເອາຫຼິກພຸດເມື່ອຄວາມຄືຂອງ $v_{Control}$ ເທົກນຳ 60 ເເଇຣດັ່ງ

ຕາງໆທີ 6.12 ເປີຍນເທິບແຮງດັນເອາຫຼິກພຸດຈາກການຄໍານວນແລະຈາກການວັດທີຄວາມຄືຂອງ $v_{Control}$ ຕ່າງໆ

ຕົວທີ	$v_{Control}$ (Hz)	V_{LL} ຈາກການຄໍານວນ (V_{rms})	V_{LL} ຈາກການວັດ (V_{rms})
1	10	173	173
2	20	173	173
3	30	173	173
4	40	173	173
5	50	173	173
6	60	173	173

เมื่อพิจารณาผลของแรงดันเอาต์พุตที่ได้จากการคำนวณและได้จากการวัดในตารางที่ 6.12 จะเห็นว่าค่าแรงดันทั้งสองมีค่าใกล้เคียงกันหรือมีความสอดคล้องกัน ซึ่งตรงกับหลักการทำงานของอินเวอร์เตอร์ คือแรงดันเอาต์พุตของอินเวอร์เตอร์จะขึ้นอยู่กับอัตราการหมุนคูณเป็นส่วนใหญ่ ดังนั้น การปรับเปลี่ยนความถี่ของสัญญาณควบคุมจึงไม่มีผลต่อค่าแรงดันเอาต์พุตของอินเวอร์เตอร์

จากการทดสอบการทำงานของอินเวอร์เตอร์สามเฟสเมื่อโหลดเป็นความต้านทานจะเห็นว่าอินเวอร์เตอร์ทำงานได้เป็นปกติเป็นไปตามทฤษฎีการทำงานของอินเวอร์เตอร์สามเฟสต่อมาเพื่อให้การทดสอบการทำงานของอินเวอร์เตอร์มีความเกี่ยวเนื่องกับงานวิจัยนี้มากยิ่งขึ้น จึงได้เปลี่ยนจากโหลดความต้านทานไปเป็นมอเตอร์เห็นได้ว่านำสามเฟส เพื่อศึกษาพฤติกรรมการทำงานของมอเตอร์เมื่อมีการควบคุมโดยอินเวอร์เตอร์สามเฟส การทดสอบการทำงานของอินเวอร์เตอร์เมื่อโหลดเป็นมอเตอร์เห็นได้ว่านำสามเฟสสามารถแสดงได้ตามการทดสอบได้ดังรูปที่ 6.43



รูปที่ 6.43 การทดสอบการทำงานของอินเวอร์เตอร์เมื่อโหลดเป็นมอเตอร์

จากได้ตามการการทำงานของอินเวอร์เตอร์สามเฟสในรูปที่ 6.43 พบว่าการควบคุมการทำงานของอินเวอร์เตอร์จะควบคุมผ่านไมโครคอนโทรลเลอร์ eZdsp™ F28335 ซึ่งในการทดสอบได้

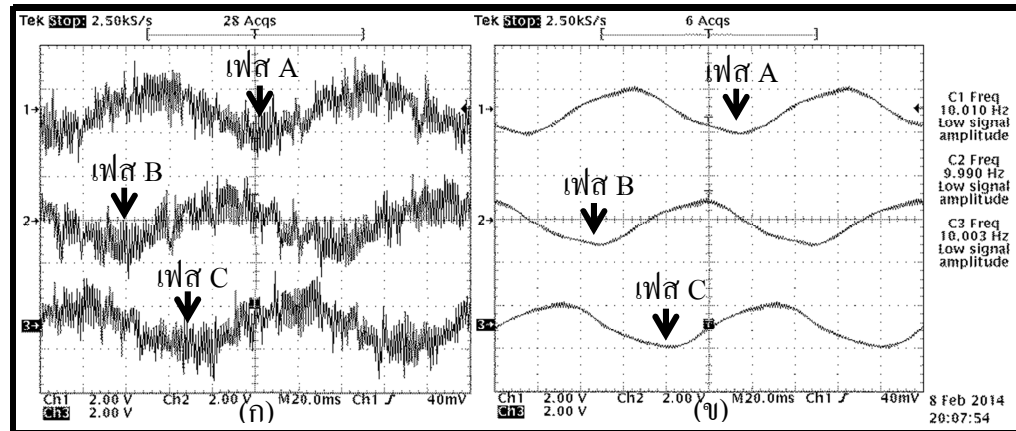
กำหนดค่าความถี่การสวิตช์ (f_s) เท่ากับ 5.8 กิโลเฮิรตซ์ และได้กำหนดค่าพารามิเตอร์อื่น ๆ เพื่อทดสอบการทำงานของอินเวอร์เตอร์เมื่อใช้โหลดเป็นมอเตอร์หนี่ยวน้ำสามเฟส แสดงได้ดังตารางที่ 6.13

ตารางที่ 6.13 เงื่อนไขการทดสอบการทำงานของอินเวอร์เตอร์เมื่อโหลดเป็นมอเตอร์หนี่ยวน้ำสามเฟส

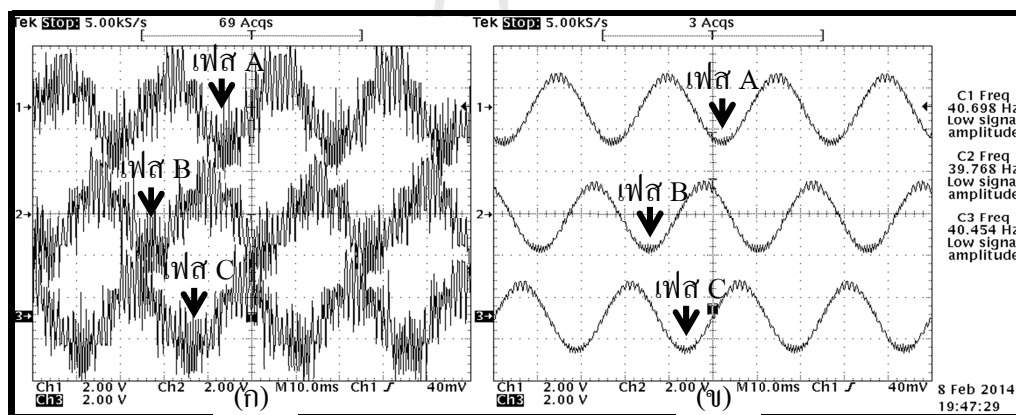
ครั้งที่	$V_{DC\ Inverter}$ (V _p)	m_a	$v_{Control}$ (Hz)
1	227	0.8	10
2	360	0.8	20
3	360	0.8	30
4	360	0.8	40
5	360	0.8	50
6	360	0.8	60

จากเงื่อนไขการทำงานของอินเวอร์เตอร์สามเฟสเมื่อโหลดเป็นมอเตอร์ในตารางที่ 6.13 สามารถแสดงผลการทำงานของอินเวอร์เตอร์และผลการทำงานของมอเตอร์หนี่ยวน้ำสาม-เฟสได้ดังนี้ รูปที่ 6.44 แสดงค่าแรงดันเอาต์พุตทั้งสามเฟสของอินเวอร์เตอร์เมื่อความถี่ของ $v_{Control}$ มีค่าเท่ากับ 10 เฮิรตซ์ โดยรูปที่ 6.44 (ก) แสดงค่าแรงดันที่ออกจากอินเวอร์เตอร์ซึ่งเป็นแหล่งจ่ายให้กับมอเตอร์หนี่ยวน้ำสามเฟสที่ไม่มีการใช้ฟังก์ชันกรองความถี่สูงออกของเครื่องมือวัด ต่างจากรูปที่ 6.44 (ข) แสดงค่าแรงดันเอาต์พุตของอินเวอร์เตอร์ทั้งสามเฟสที่มีการใช้ฟังก์ชันกรองความถี่สูงออกของเครื่องมือวัด เพื่อให้สอดคล้องสำหรับการอ่านค่าความถี่มูลฐาน และรูปที่ 6.45 และรูปที่ 6.46 ก็เช่นเดียวกันกับรูปที่ 6.44 เพียงแต่เปลี่ยนค่าความถี่สัญญาณควบคุม $v_{Control}$ เป็น 40 เฮิรตซ์ และ 60 เฮิรตซ์ ตามลำดับ

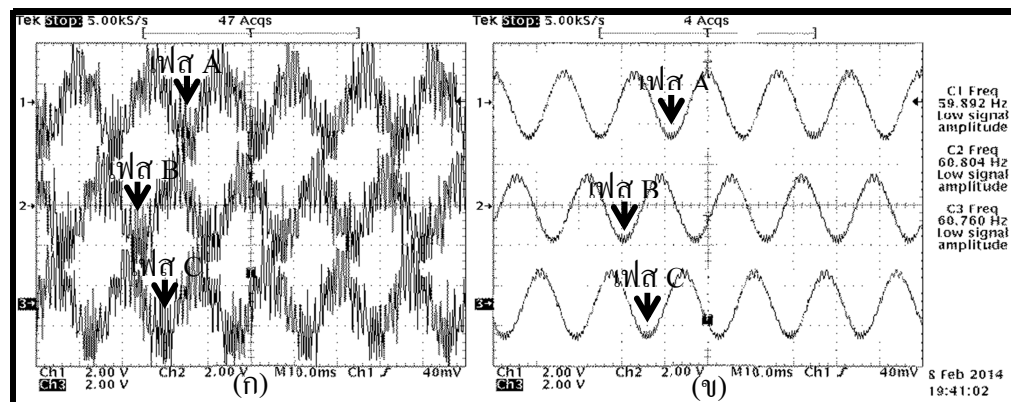
จากเงื่อนไขการทำงานของอินเวอร์เตอร์สามเฟสในตารางที่ 6.13 สามารถอ่านค่าความเร็วของมอเตอร์โดยใช้เอ็นโคดเดอร์วัดความเร็ว ซึ่งจะแสดงค่าความเร็วของมอเตอร์ออกมายในรูปของสัญญาณพัลส์ที่ความถี่ต่าง ๆ และสามารถนำความถี่ของสัญญาณพัลส์ที่ออกจากเอ็นโคดเดอร์ไปคำนวณหาค่าความเร็วของมอเตอร์ โดยใช้สมการการคำนวณในสมการที่ (5-5) ของบทที่ 5 สัญญาณพัลส์ที่ออกจากเอ็นโคดเดอร์เมื่อใช้เงื่อนไขการทำงานของอินเวอร์เตอร์ในตารางที่ 6.13 สามารถแสดงได้ดังนี้ รูปที่ 6.47 ถึงรูปที่ 6.49 และแสดงผลของสัญญาณพัลส์ที่ออกเอ็น-โคดเดอร์เมื่อใช้ความถี่ $v_{Control}$ เท่ากับ 10 เฮิรตซ์ 40 เฮิรตซ์ และ 60 เฮิรตซ์ ตามลำดับ



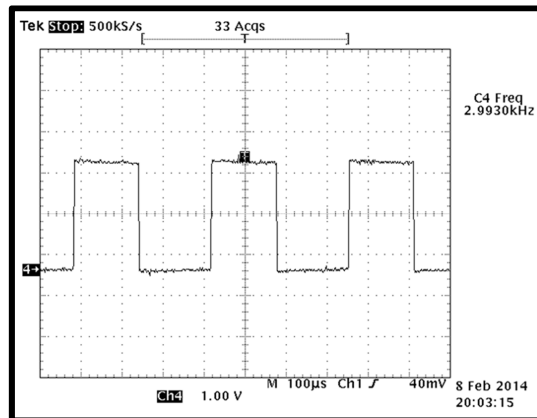
รูปที่ 6.44 แรงดันເອົາຕຸພຸດຂອງອິນເວອຣ໌ເຕອຣ໌ເມື່ອຄວາມຄືຂອງ $v_{Control}$ ເທົກຳ 10 ເຊີຣຕັ້ງ



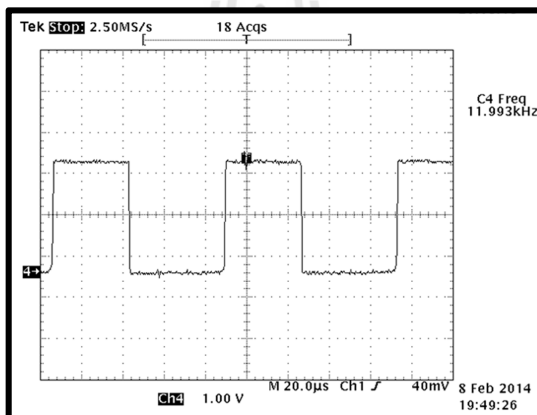
รูปที่ 6.45 แรงดันເອົາຕຸພຸດຂອງອິນເວອຣ໌ເຕອຣ໌ເມື່ອຄວາມຄືຂອງ $v_{Control}$ ເທົກຳ 40 ເຊີຣຕັ້ງ



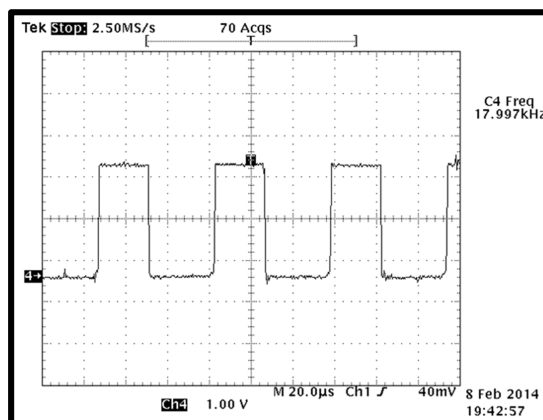
รูปที่ 6.46 แรงดันເອົາຕຸພຸດຂອງອິນເວອຣ໌ເຕອຣ໌ເມື່ອຄວາມຄືຂອງ $v_{Control}$ ເທົກຳ 60 ເຊີຣຕັ້ງ



รูปที่ 6.47 สัญญาณพัลส์ที่ออกจากอินโคดเดอร์เมื่อใช้ความถี่ของ $v_{Control}$ เท่ากับ 10 เฮิรตซ์



รูปที่ 6.48 สัญญาณพัลส์ที่ออกจากอินโคดเดอร์เมื่อใช้ความถี่ของ $v_{Control}$ เท่ากับ 40 เฮิรตซ์



รูปที่ 6.49 สัญญาณพัลส์ที่ออกจากอินโคดเดอร์เมื่อใช้ความถี่ของ $v_{Control}$ เท่ากับ 60 เฮิรตซ์

การทดสอบการทำงานของอินเวอร์เตอร์เมื่อใช้เงื่อนการทำงานตามตารางที่ 6.13 สามารถแสดงผลของความเร็วรอบมอเตอร์ (คำนวณจากความถี่ของสัญญาณพัลส์ที่ออกจากอิน-โกรดเดอร์) และค่าแรงดันเอาต์พุตและกระแสเอาต์พุตที่จ่ายให้กับมอเตอร์เห็นได้ในตารางที่ 6.14

ตารางที่ 6.14 ผลการทำงานของอินเวอร์เตอร์และมอเตอร์เห็นได้ในสำหรับมอเตอร์

ครั้งที่	$v_{Control}$ (Hz)	V_{LL} (Vrms)	I_{abc} (A)	f_{in} (kHz)	n_r (rpm)
1	10	122	1.1	2.993	299.3
2	20	182	0.82	6.061	606.1
3	30	182	0.42	9.005	900.5
4	40	182	0.31	11.993	1199.3
5	50	182	0.22	15.003	1500.3
6	60	182	0.2	17.997	1799.7

เมื่อพิจารณาผลของแรงดันและกระแสทางด้านเอาต์พุตของอินเวอร์เตอร์ในตารางที่ 6.14 พบว่าเมื่อกำหนดให้แรงดัน $V_{DC\ Inverter}$ คงที่เท่ากับ 360 โวลต์ ตามตารางที่ 6.13 จะได้ค่าอาร์-เอ็ม เอสของแรงดันไฟฟ้าระหว่างสายที่ความถี่มูลฐานเท่ากับ 182 โวลต์ ถึงแม้ว่าจะปรับเปลี่ยนความถี่ของ $v_{Control}$ ค่าแรงดันดังกล่าวก็ยังคงที่ และจากการเมื่อพิจารณาค่ากระแสที่จ่ายให้กับมอเตอร์พบว่า แนวโน้มของกระแสเมื่อใช้ความถี่ของ $v_{Control}$ เพิ่มสูงขึ้น เนื่องจากองค์ประกอบส่วนใหญ่ของมอเตอร์เห็นได้ในสำหรับมอเตอร์เห็นได้ในสำหรับมอเตอร์มีความถี่น้อยจึงส่งผลให้ค่าความต้านทานภายในของมอเตอร์มีค่าน้อยตามไปด้วย ทำให้เมื่อความถี่ของ $v_{Control}$ น้อยลง จะมีกระแสไฟลดเข้ามายังมอเตอร์ได้มาก ด้วยสาเหตุนี้จึงทำให้การทดสอบที่ความถี่ของ $v_{Control}$ เท่ากับ 10 เฮิรตซ์ ไม่สามารถเพิ่มแรงดัน $V_{DC\ Inverter}$ ไปที่ 360 โวลต์ ได้เนื่องจากกระแสที่ไฟลดเข้ามายังมอเตอร์มีค่าเกินพิกัด (พิกัดอยู่ที่ 1.1 A) และเมื่อพิจารณาความเร็วของมอเตอร์ที่ได้จากการคำนวณ ด้วย f_{in} พบว่าความเร็วของมอเตอร์มีความสอดคล้องกับค่าที่ได้จากการคำนวณ (วิธีการคำนวณความเร็วของมอเตอร์ตามทฤษฎีได้แสดงไว้ในบทที่ 2)

6.3 การสร้างวงจรตรวจวัดกระแสที่จ่ายให้มอเตอร์เห็นได้ในสำหรับมอเตอร์

วงจรตรวจวัดกระแสที่จ่ายให้มอเตอร์เห็นได้ในสำหรับมอเตอร์ ที่สำคัญเป็นอย่างมากของการควบคุมแบบเวกเตอร์ ทางอ้อม เนื่องจากการความคุณภาพความเร็วแบบเวกเตอร์ทางอ้อมต้องใช้การส่งกลับกระแส ดังนั้น ชุดตรวจวัดกระแสที่สร้างขึ้นต้องสามารถตรวจวัดค่ากระแสที่มีความถูกต้องตามความเป็นจริง ถึงจะทำให้การควบคุมการทำงานทำได้อย่างมีประสิทธิภาพ ดังนั้น จึงได้เลือกใช้วงจรปรับแต่งสัญญาณเป็นแบบ

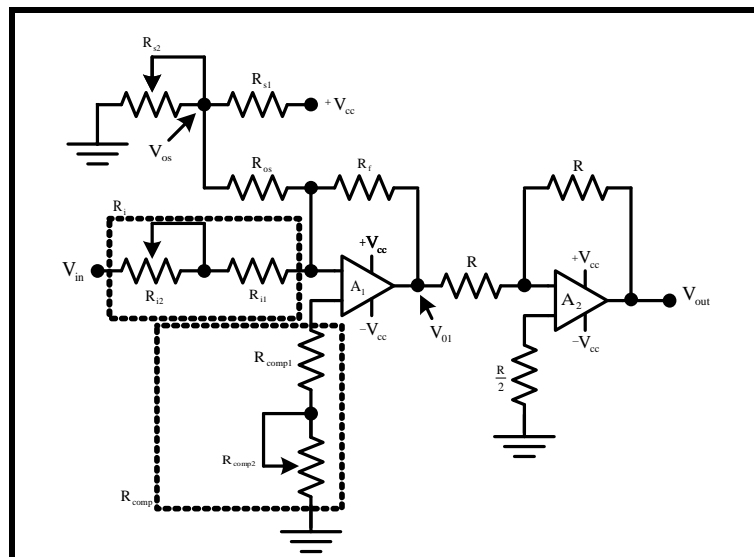
วงจรรวมปรับแต่งสัญญาณซึ่งมีการใช้งานกันอย่างแพร่หลายสำหรับการปรับแต่งสัญญาณของกระแสที่ได้จากการตัวตรวจวัดโดยมีหลักการทำงานและวิธีการใช้งานดังนี้

6.3.1 วงจรปรับแต่งสัญญาณแบบวงจรรวมปรับแต่งสัญญาณ

เนื่องจากการใช้ตัวตรวจวัดกระแส กือ HX 03-P ดังรูปที่ 6.50 มีพิกัดการตรวจวัดกระแสได้สูงสุด 3 A ให้ผลการตรวจวัดกระแสออกมายในรูปแบบของสัญญาณแรงดันที่มีค่าอยู่ในทั้งชีกบวกและชีกลบ เนื่องจากไม่สามารถอ่านค่าข้อมูลที่อยู่ในชีกลบได้ จึงต้องอาศัยวงจรปรับแต่งสัญญาณแบบวงจรรวมปรับแต่งสัญญาณเพื่อใช้ยกระดับของสัญญาณกระแสที่ได้จากการตัวตรวจวัดให้อยู่ในชีกบวกทั้งหมดและปรับขนาดของกระแสให้มีความเหมาะสมเพื่อส่งค่าไปยังไมโครคอนโทรลเลอร์สำหรับประมวลผลต่อไป โดยรูปแบบของวงจรปรับแต่งสัญญาณแบบวงจรรวมปรับแต่งสัญญาณของการควบคุมแบบเกลเตอร์ทางอ้อมแสดงได้ดังรูปที่ 6.51



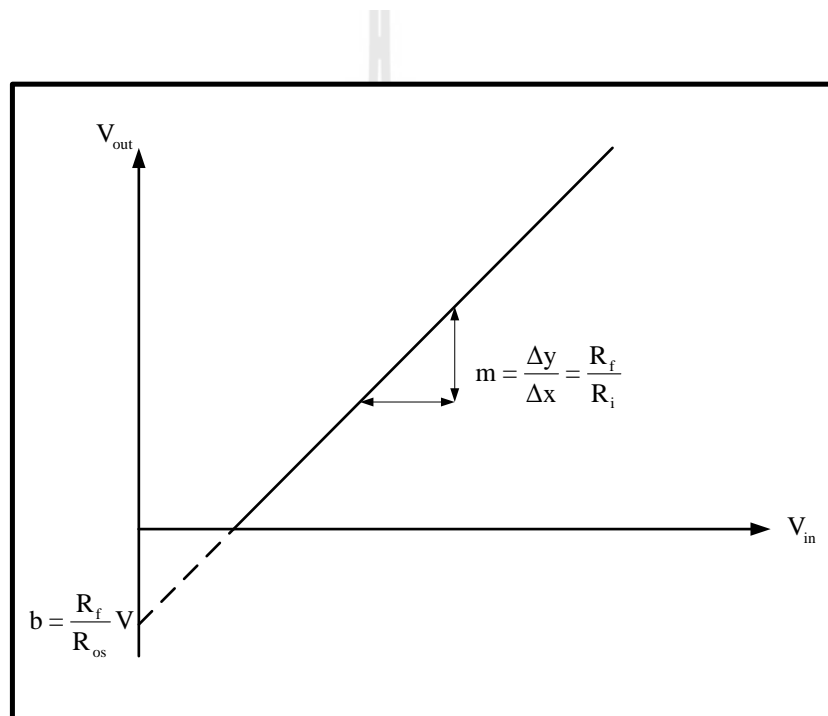
รูปที่ 6.50 ตัวตรวจวัดกระแส HX 03-P



รูปที่ 6.51 วงจรปรับแต่งสัญญาณแบบวงจรรวมปรับแต่งสัญญาณ

6.3.2 หลักการทำงานของวงจรปรับแต่งสัญญาณแบบวงจรรวมปรับแต่งสัญญาณ

วงจรปรับแต่งสัญญาณเป็นวงจรที่ทำหน้าที่ในการปรับความชัน (Slope) และปรับตัวแหน่งศูนย์ (Zero) โดยจะปรับแต่งสัญญาณเอาต์พุตกับอินพุตให้มีความสัมพันธ์เป็นไปตามเงื่อนไขที่ระบบต้องการ การปรับค่าความชันและตัวแหน่งศูนย์ประกอบไปด้วยวงจรรวมสัญญาณแบบกลับเฟส (Inverting Summer, A_1) และวงจรขยายสัญญาณแบบกลับเฟส (Inverting Amplifier, A_2) โดยมีอัตราขยายเป็น -1 ดังนั้น อัตราขยายของแรงดันมีค่าเท่ากับ A_1 จากโครงสร้างของวงจรปรับแต่งสัญญาณในรูปที่ 6.51 สามารถแสดงกราฟความสัมพันธ์ระหว่างค่าแรงดันเอาต์พุต V_{out} กับแรงดันอินพุต V_{in} ได้ดังรูปที่ 6.52



รูปที่ 6.52 ผลของการปรับความชันและตัวแหน่งศูนย์

สามารถวิเคราะห์ความสัมพันธ์จากกราฟของวงจรปรับแต่งสัญญาณในรูปที่ 6.52 แสดงได้ดังสมการที่ (6-6)

$$V_{01} = -\frac{R_f}{R_i} V_{in} - \frac{R_f}{R_{os}} V_{os} \quad (6-6)$$

จากนั้นสัญญาณเอาต์พุตที่ได้จาก A_1 จะถูกป้อนให้เป็นสัญญาณอินพุตของ A_2 ซึ่งเป็นวงจรที่มีอัตราขยายเท่ากับ -1 จะได้แรงดันเอาต์พุต A_2 แสดงได้ดังสมการที่ (6-7)

$$V_{out} = (-1)V_{01} = \frac{R_f}{R_i} V_{in} + \frac{R_f}{R_{os}} V_{os} \quad (6-7)$$

จากสมการที่ (6-7) แสดงความสัมพันธ์ระหว่าง V_{out} กับ V_{in} ของวงจร ในรูปของสมการเส้นตรงซึ่งเมื่อเปรียบเทียบกับรูปแบบทั่วไปของสมการเส้นตรงจะได้

$$y = mx + b \quad (6-8)$$

โดยที่ $m = \frac{V_{out}}{V_{in}} = \frac{R_f}{R_i}$ คือ ค่าความชันของกราฟหรืออัตราขยายของวงจร
 $b = \frac{R_f}{R_{os}} V_{os}$ คือ จุดตัดแกน y ของกราฟหรือตำแหน่งศูนย์

การปรับค่าความชันสามารถทำได้โดยการปรับ R_f หรือ R_i ของวงจร และการปรับตำแหน่งศูนย์ทำได้โดยการปรับค่า R_{os} หรือ V_{os}

6.3.3 การออกแบบและการสร้างวงจรปรับแต่งสัญญาณ

จากที่กล่าวข้างต้นของหลักการทำงานของวงจรปรับแต่งสัญญาณ การปรับแต่งสัญญาณนั้นจะต้องออกแบบค่าความชันและจุดตัดแกน y เพื่อให้ได้เป็นสมการเส้นตรงชุดใหม่ที่ต้องการ

การออกแบบวงจรปรับแต่งสัญญาณแบบรวมปรับแต่งสัญญาณเพื่อปรับแต่งสัญญาณของกระแสที่รับมาจากตัวตรวจค่ากระแส HX 03-P เมื่อค่าแรงดันต่ำสุด -0.729 V และค่าแรงดันสูงสุด 0.729 V (มีอัตราการไหลของกระแสที่จ่ายให้มอเตอร์ 1.3 A) ซึ่งขนาดของแรงดันมีค่าน้อยเกินไปและสัญญาณแรงดันที่ได้จากการตรวจน้ำด้วยเสียงมีค่าอยู่ต่ำกว่า 0.729 V ไม่สามารถต่อจุดตัดแกน y ได้ ดังนั้น จึงต้องยกระดับสัญญาณให้อยู่ต่ำกว่า 0.729 V ให้เหมาะสมกับช่วงการรับข้อมูลของไมโครคอนโทรลเลอร์คือ 0 ถึง 3 V ขั้นตอนการออกแบบวงจรปรับแต่งสัญญาณเริ่มด้วยการหาค่าความชัน สามารถคำนวณได้จากสมการที่ (6-9) ดังนี้

$$m = \frac{\Delta V_{out}}{\Delta V_{in}} = \frac{V_{out(max)} - V_{out(min)}}{V_{in(max)} - V_{in(min)}} = \frac{3 - 0}{0.729 - (-0.729)} = 2.057 \quad (6-9)$$

เมื่อค่า $m = 2.057$ สามารถคำนวณหาค่า R_i ได้ดังนี้

$$m = \frac{R_f}{R_i} = 2.057$$

เลือกค่า R_f เท่ากับ 2 กิโลโวัตต์ สามารถคำนวณค่า R_i เท่ากับ 972 โอห์ม ดังนี้จึงได้
เลือกค่า R_{i1} เท่ากับ 500 โอห์ม และเลือกค่า R_{i2} เป็นค่าความต้านทานปรับค่าได้เท่ากับ 1 กิโล-โวัตต์
จากค่าความชันในสมการที่ (6-9) สามารถนำมาคำนวณหาจุดตัวแgn y โดยอาศัยสมการ
ที่ (6-10) ดังนี้

$$V_{out(min)} = mV_{in(min)} + b \quad (6-10)$$

เมื่อ $V_{out(min)} = 0$ V และ $V_{in(min)} = -0.729$ V แทนค่าลงสมการที่ (6.10) จะได้

$$0 = 2.057x(-0.729) + b$$

$$b = 1.5$$

จากสมการที่ (6-7) สามารถคำนวณหาค่า R_{os} โดยกำหนด V_{os} เท่ากับ 7.5 V ได้ดังนี้

$$3 = \frac{2k\Omega}{972\Omega} 0.729 + \frac{2k\Omega}{R_{os}} 7.5V$$

$$R_{os} = 10k\Omega$$

จากรูปที่ 6.51 เมื่อต้องการให้แรงดัน V_{os} เท่ากับ 7.5 V จะได้ว่า

$$V_{os} = \frac{R_{s2}V_{cc}}{R_{s1} + R_{s2}} \quad (6-11)$$

จากสมการที่ (6.11) เมื่อแรงดัน V_{cc} เท่ากับ 15 V และเมื่อกำหนดค่าความ
ต้านทาน R_{s1} ให้มีค่าเท่ากับ 2 กิโลโวัตต์ สามารถคำนวณค่าความต้านทาน R_{s2} ได้ดังนี้

$$7.5V = \frac{15R_{s2}}{2k\Omega + R_{s2}}$$

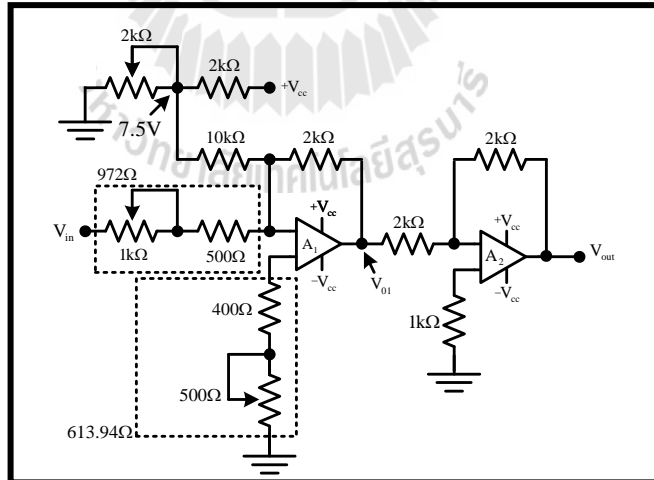
$$R_{s2} = 2k\Omega \quad (\text{เลือกใช้ตัวด้านทันเป็นแบบปรับค่าได้})$$

เมื่อ R_{os} เท่ากับ 10 กิโลโวัตต์ R_f เท่ากับ 2 กิโลโวัตต์ และ R_i เท่ากับ 972 โอห์มสามารถคำนวณหาค่า R_{comp} ได้ดังนี้

$$R_{comp} = R_f // R_i // R_{os} \approx 613.94\Omega$$

สำหรับการนำไปใช้งานจริงได้กำหนดค่า R_{comp} ออกเป็นสองตัวคือ R_{comp1} และ R_{comp2} โดยได้กำหนดให้ R_{comp1} เท่ากับ 400 โอห์ม กำหนดค่า R_{comp2} เท่ากับ 500 โอห์ม (ตัวด้านทันเป็นแบบปรับค่าได้) และได้กำหนดค่าความต้านทาน R ในวงจรของอุปกรณ์ตัวที่สอง (A_2) เท่ากับ 2 กิโลโวัตต์

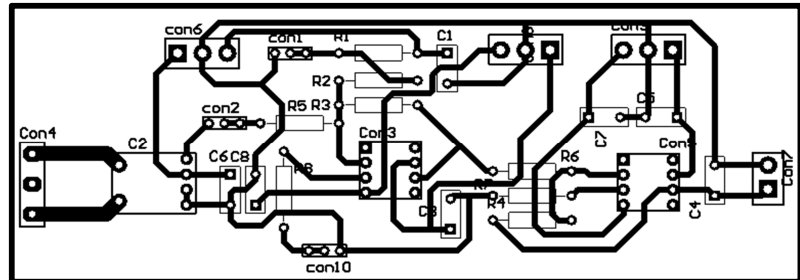
จากการออกแบบค่าพารามิเตอร์ของวงจรปรับแต่งสัญญาณในรูปที่ 6.51 สามารถแสดงรูปวงจรตั้งกล่าวไว้ใหม่ โดยใส่พารามิเตอร์ที่ได้ออกแบบไว้ ดังรูปที่ 6.53



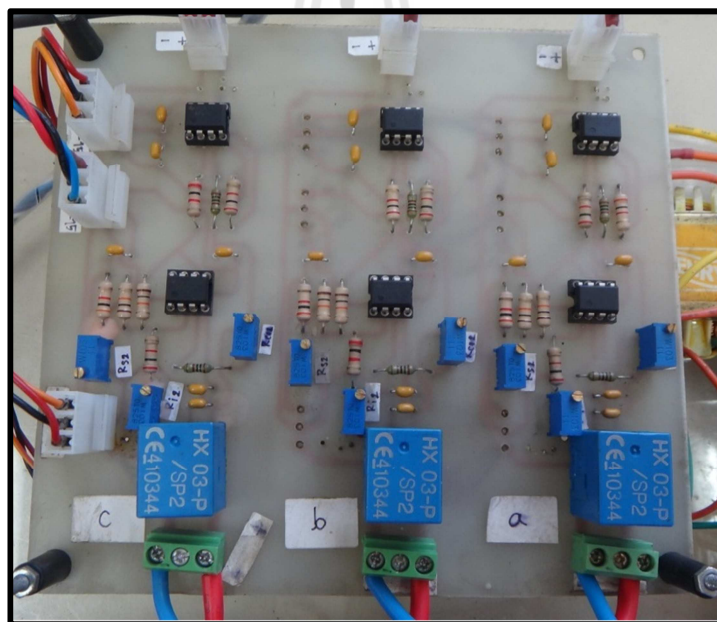
รูปที่ 6.53 พารามิเตอร์ของวงจรปรับแต่งสัญญาณแบบวงจรรวมปรับแต่งสัญญาณ

เมื่อได้พารามิเตอร์ของวงจรปรับแต่งสัญญาณตามต้องการ ลำดับต่อไปจะนำวงจรปรับแต่งสัญญาณในรูปที่ 6.53 ไปสร้างเป็นลายวงจรบนแผ่นปรินต์เพื่อลองอุปกรณ์ต่าง ๆ โดยในการสร้างลายวงจร ได้ใช้โปรแกรม altium designer ซึ่งเป็นโปรแกรมสำหรับการสร้างลายวงจรสำหรับลง

แผ่นปรินต์โดยเนพะ จากการสร้างลายวงจรด้วยโปรแกรมดังกล่าวแสดงได้ดังรูปที่ 6.54 และได้แสดงวงจรปรับแต่งสัญญาณที่พร้อมใช้งานดังรูปที่ 6.55



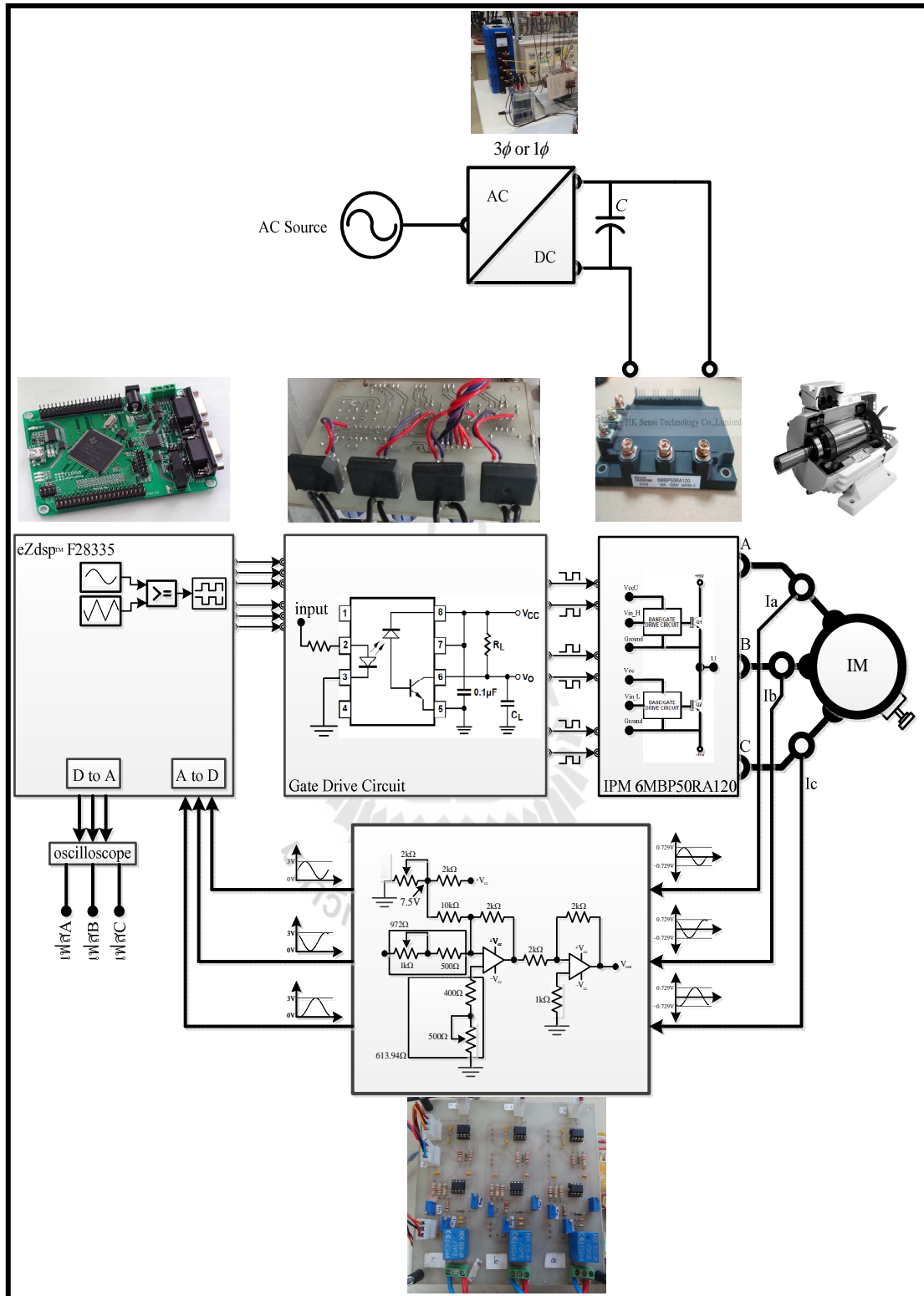
รูปที่ 6.54 ลายวงจรปรับแต่งสัญญาณแบบวงจรรวมปรับแต่งสัญญาณ



รูปที่ 6.55 วงจรปรับแต่งสัญญาณสำหรับตรวจวัดกระแสทั้งสามเฟลส

6.3.4 ทดสอบการทำงานของวงจรปรับแต่งสัญญาณแบบวงจรรวมปรับแต่งสัญญาณ

การทดสอบการทำงานของวงจรปรับแต่งสัญญาณเพื่อคุณภาพของการตรวจวัดกระแสทั้งสามเฟลส โดยรูปแบบของการทดสอบสามารถแสดงเป็นໄໂອະແກຣມได้ดังรูปที่ 6.56 และในการทดสอบจะกำหนดค่าอัตราการไหลของกระแสที่จ่ายให้มอเตอร์ตามตารางที่ 6.15



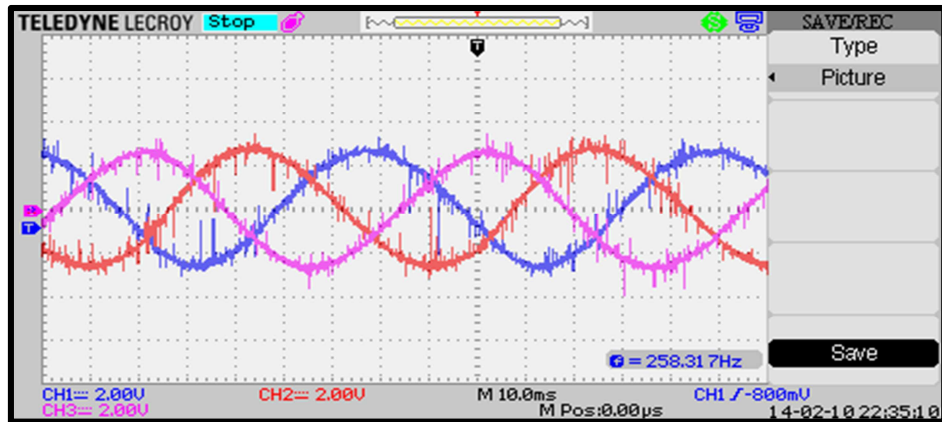
รูปที่ 6.56 ไดอะแกรมสำหรับทดสอบการตรวจวัดกระแสที่ไหลเข้ามอเตอร์ทั้งสามเฟส

ตารางที่ 6.15 กำหนดอัตราการไฟลของกระแสทั้งสามเฟสที่จ่ายให้มอเตอร์ ความถี่ของสัญญาณ

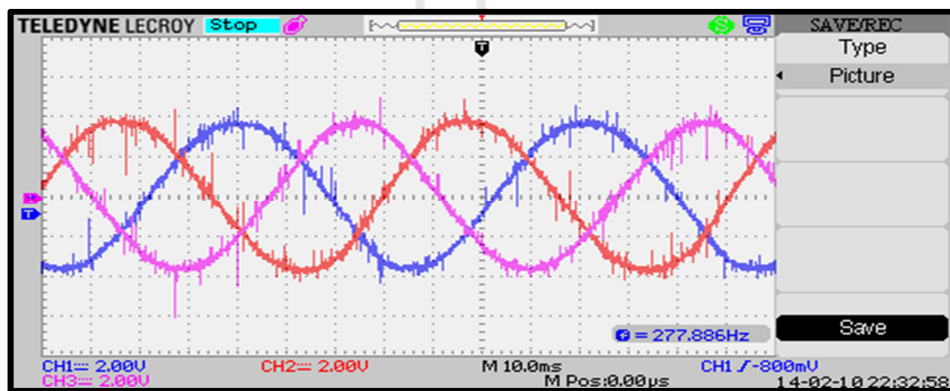
ควบคุม และอัตราการมอตอร์

ครั้งที่	กระแส ($I_a I_b I_c$)	$v_{Control}$	m_a
1	0.2 A	14 Hz	0.8
2	0.4 A	14 Hz	0.8
3	0.6 A	14 Hz	0.8
4	0.8 A	14 Hz	0.8
5	1.0 A	14 Hz	0.8
6	1.2 A	14 Hz	0.8
7	1.3 A	14 Hz	0.8

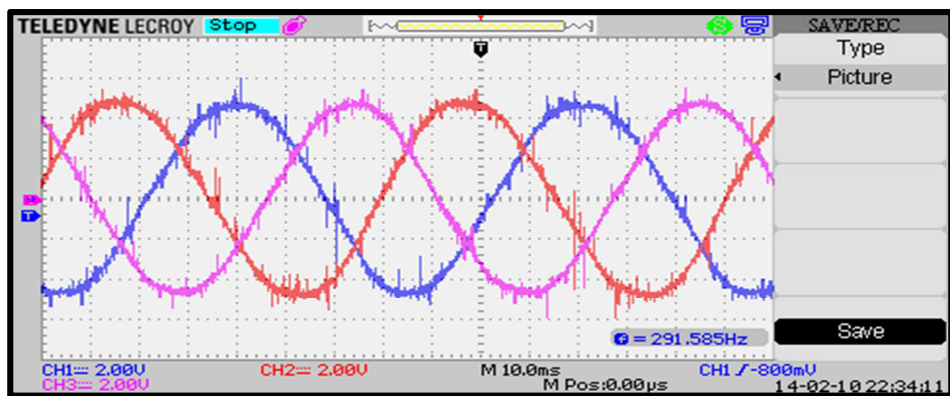
จากໄດ້ອະແກນการทำงานເພື່ອທົດສອບການทำงานຂອງຈົກປັບແຕ່ງສัญญาณແບບວົງຈະ
ຮັມປັບແຕ່ງສัญญาณໃນຮູບທີ 6.56 ໄດ້ກຳຫັນຄ່າພາຣາມີເຕອຮີ່ຝ່ງຈອນເວອຮ້ເຕອຮີ່ ຄື່ອ ຄວາມຄື່
ຂອງ $v_{Control}$ ແລະ อັດຕາການມອດູເລຕາມຕາງທີ 6.15 ເມື່ອພິຈາລາຍາກໄດ້ອະແກນໃນຮູບທີ 6.56 ຈະມີລຳດັບ
ການทำงานດັ່ງຕ່ອງໄປນີ້ ສ່າງຄ່າທີ່ໄດ້ຈາກຕັ້ງວັດກະຮະແສໄປຢັງຈົກປັບແຕ່ງສัญญาณທີ່ໄດ້ອຸກແບບໄວ້
ສໍາຫັບຍະຮະດັບສัญญาณໃຫ້ອູ້ຝ່ຝ່ງນັກທີ່ໜົມດະບາຍນາດຂອງສัญญาณກະຮະແສທີ່ໄດ້ຈາກວັດໃຫ້ອູ້
ໃນຊ່ວງ 0 ປຶ້ງ 3 ໂວລົດ ດ້ວຍຕັ້ງຄ່າທີ່ໂອກຈາກງານຈົກປັບແຕ່ງສัญญาณມີນາດເທົ່າກັນ 3 ໂວລົດ ນັ້ນ ອື່ຈະມີກະຮະແສ
ອອກຈາກອິນເວອຮ້ເຕອຮີ່ ຢ່ອງກະຮະແສທີ່ຈ່າຍໃໝ່ມອເຕອຮີ່ຈະມີຄ່າເທົ່າກັນ 1.3 A ຈາກນັ້ນສ່າງຄ່າທີ່ໄດ້ຈາກງານຈົກປັບແຕ່ງ
ສัญญาณໄປຢັງໄມໂຄຣຄອນໂທຣລເລອຮີ່ ເພື່ອຄຳນວນຄ່າກະຮະແສທີ່ໄດ້ຈາກວັດແລ້ວສ່າງຄ່າອອກເພື່ອວັດສัญญาณ
ແລະນາດຂອງກະຮະແສ ໂດຍໄດ້ຕັ້ງເງື່ອນໄຂການສ່າງຄ່າອອກຂອງຕັ້ງໄມໂຄຣຄອນໂທຣລເລອຮີ່ ດັ່ງນີ້ ດ້ວຍສัญญาณທີ່ວັດ
ໄດ້ຈາກອອສ໌ຈີລ ໂລສ ໂຄປມີນາດແຮງດັນເທົ່າກັນ 5 ໂວລົດ ມາຍ ຄວາມວ່າອັດຕາການໄຫລຂອງກະຮະແສທັງດ້ານ
ເອາດີພຸດຂອງອິນເວອຮ້ເຕອຮີ່ມີຄ່າເທົ່າກັນ 1.3 A ສໍາຫັບການທົດສອບສາມາດແສດງຜລໄດ້ດັ່ງນີ້ ຮູບທີ 6.57 ປຶ້ງຮູບ
ທີ 6.59 ໄດ້ແສດງນາດແລະຄວາມຄື່ຂອງສัญญาณກະຮະແສທີ່ໄດ້ຈາກວັດເມື່ອກະຮະແສມີອັດຕາການໄຫລ
ທີ່ 0.7 A 1.0 A ແລະ 1.3 A ຕາມລຳດັບ ແລະ ໄດ້ແສດງຜລເປັນຂໍ້ມູນຕົວເລີບທີ່ໄດ້ທຳການທົດສອບຕາມເງື່ອນໄຂໃນ
ຕາງທີ 6.15 ດັ່ງຕາງທີ 6.16 ດັ່ງນີ້



รูปที่ 6.57 ขนาดและความถี่ของกระแสที่ 0.7 A



รูปที่ 6.58 ขนาดและความถี่ของกระแสที่ 1.0 A



รูปที่ 6.59 ขนาดและความถี่ของกระแสที่ 1.3 A

ตารางที่ 6.16 กระแสที่ได้จากการวัดด้วยวงจรตรวจวัดกระแส

ครั้งที่	กระแส ($I_a I_b I_c$) ที่กำหนด	กระแส ($I_a I_b I_c$) จากวงจรตรวจวัด
1	0.2 A	0.21 A
2	0.4 A	0.41 A
3	0.6 A	0.6 A
4	0.8 A	0.79 A
5	1.0 A	1.01 A
6	1.2 A	1.21 A
7	1.3 A	1.32 A

จากผลการทดสอบในรูปที่ 6.57 ถึงรูปที่ 6.59 และผลจากตารางที่ 6.16 จะเห็นว่าค่าที่ได้จากการวัดด้วยวงจรปรับแต่งสัญญาณมีค่าใกล้เคียงกันกับค่าที่กำหนดในตารางที่ 6.15 จึงสามารถสรุปได้ว่างจรปรับแต่งสัญญาณแบบวงจรรวมปรับแต่งสัญญาณที่สร้างขึ้นเพื่อตรวจวัดกระแสของระบบไฟฟ้ากระแสสลับสามเฟสสามารถนำไปใช้ตรวจวัดค่ากระแสที่อยู่ในช่วง 0 A ถึง 1.3 A ได้

6.4 สรุป

ในบทที่ 6 ได้นำเสนอการสร้างแบบจำลองการทำงานของอินเวอร์เตอร์สามเฟสพร้อมทั้งสร้างวงจรอินเวอร์เตอร์สามเฟส และหัวข้อสุดท้ายได้นำเสนอการสร้างวงจรตรวจวัดกระแสที่ออกแบบจากอินเวอร์เตอร์สามเฟส จากรายละเอียดของการสร้างอุปกรณ์ต่าง ๆ ที่ได้กล่าวมาแล้วในข้างต้นสามารถสรุปได้ดังนี้

ในส่วนของวงจรอินเวอร์เตอร์ จากการทดสอบการทำงานทั้งในส่วนของวงจรขับเกตและในส่วนของโมดูลอินเวอร์เตอร์คือ 6MBP50RA120 พบว่าในส่วนของวงจรขับเกตลักษณะการทำงานเป็นแบบอินพุตกลับเฟส (inverting input) จึงทำให้แรงดันเอาต์พุตของวงจรอินเวอร์เตอร์มีเฟสต่างกันกับสัญญาณ $v_{Control}$ อよู่ 180° ซึ่งสามารถแก้ไขให้สัญญาณทั้งสองมีเฟสตรงกันได้โดยนำ -1 ไปคูณที่ $v_{Control}$ และเมื่อทดสอบการทำงานของชุดอินเวอร์เตอร์เมื่อโหลดเป็นค่าความด้านหนาและโหลดเป็นมอเตอร์ ซึ่งได้ทดสอบที่ความถี่ของ $v_{Control}$ แรงดัน $V_{DC\ Inverter}$ และที่อัตราการมอคุเลตที่ค่าต่าง ๆ พบว่าผลการทดสอบการทำงานของอินเวอร์เตอร์มีค่าถูกต้องเป็นไปตามหลักการทำงานหรือถูกต้องตามทฤษฎีการทำงานของอินเวอร์เตอร์ ในส่วนของอินเวอร์เตอร์จึงสรุปได้ว่าสามารถนำไปใช้งานได้จริง

วงจรตรวจวัดกระแสโดยอาศัยวงจรปรับแต่งสัญญาณแบบวงจรรวมปรับแต่งสัญญาณ จากการทดสอบการทำงานโดยใช้ตรวจวัดกระแสที่ออกแบบจากอินเวอร์เตอร์สามเฟสเพื่อจ่ายให้มอเตอร์พบว่าลักษณะของสัญญาณกระแสมีขนาดที่เพิ่มขึ้นแบบเชิงเส้นตามปริมาณที่เพิ่มมากขึ้นของกระแสที่ออกแบบ

อินเวอร์เตอร์ และเมื่อพิจารณาค่ากระแสที่ได้จากการวัดด้วยแอมป์มิเตอร์เทียบกับกระแสที่ได้จากการตรวจวัดกระแสพบว่ามีค่าที่ใกล้เคียงกัน ดังนั้น จึงสามารถสรุปได้ว่างจรวจวัดกระแสที่ได้สร้างขึ้นสามารถนำไปใช้งานได้จริง

จากการสร้างชุดอินเวอร์เตอร์ ชุดตรวจวัดกระแสที่ได้กล่าวไว้ในบทที่ 6 นี้ กับชุดตรวจวัดความเร็วในบทที่ 5 จะถูกนำมาใช้ทำงานร่วมกันเพื่อใช้ควบคุมการทำงานของมอเตอร์เห็นี่ยวน้ำสาม-เฟส โดยวิธีการควบคุมแบบเวลาเดอร์ทางอ้อมที่จะกล่าวต่อไปในบทที่ 7



บทที่ 7

ผลการทดสอบการควบคุมความเร็วของมอเตอร์เห็นี่ยวน้ำสามเฟส ด้วยวิธีการควบคุมแบบเวกเตอร์ทางอ้อม

7.1 บทนำ

จากบทที่ผ่านมาได้นำเสนอการจำลองสถานการณ์การควบคุมแบบเวกเตอร์ทางอ้อม การสร้างชุดตรวจความเร็ว การสร้างชุดอินเวอร์เตอร์สามเฟส และการสร้างชุดตรวจกระแสที่ออกจากอินเวอร์เตอร์เพื่อจ่ายให้มอเตอร์เห็นี่ยวน้ำสามเฟส ในบทที่ 7 นี้ จึงนำเอาอุปกรณ์ต่าง ๆ ที่ได้สร้างขึ้นมารวมไว้เป็นชุดเดียวกันเพื่อให้มีการทำงานร่วมกัน จึงได้ชี้อ้วว่าเป็นชุดของการควบคุมความเร็วแบบเวกเตอร์ทางอ้อม การควบคุมนี้จะใช้ชิปประมวลผลของบริษัท Texas Instruments รุ่น TMS320F28335 โดยมีประสิทธิภาพของการประมวลผลอยู่ที่ 150 MHz เมื่อได้พิจารณาที่พอร์ตการใช้งาน ฟังก์ชันการใช้งานต่าง ๆ พบว่ามีความเหมาะสมสมด่อการนำมาใช้งานสำหรับประมวลผลการควบคุมแบบเวกเตอร์ทางอ้อม ดังนั้น ในบทนี้ จึงได้นำเสนอโครงสร้างของชิป TMS320F28335เพียงบางส่วนที่จำเป็นต่อการใช้งานพร้อมทั้งนำเสนอการเขียนโค้ดโปรแกรมภาษาซีสำหรับการควบคุมแบบเวกเตอร์ทางอ้อมและสุดท้ายแสดงผลการทดสอบการควบคุมแบบเวกเตอร์ทางอ้อม โดยใช้ตัวควบคุมที่ได้จากการออกแบบไว้ในบทที่ 3 และบทที่ 4

7.2 ชิปประมวลผล รุ่น TMS320F28335

ชิปประมวลผลรุ่น TMS320F28335 เป็นผลิตภัณฑ์ของบริษัทเทกซัสอินสตรูเม้น (Texas Instruments) ซึ่งหมายความว่าใช้ควบคุมการทำงานของมอเตอร์โดยเฉพาะ เนื่องจากโครงสร้างภายในมีความยืดหยุ่นเหมาะสมสำหรับประยุกต์ใช้ในงานควบคุมมอเตอร์ได้หลายชนิด เช่น มอเตอร์เห็นี่ยวน้ำสามเฟส มอเตอร์กระแสตรงแบบไร้แปลงถ่าน ซึ่งโครงสร้างของชิป TMS320F28335 แสดงได้ดังรูปที่ 7.1 และลักษณะที่สำคัญของชิปประมวลผล รุ่น TMS320F28335 มีดังต่อไปนี้

สร้างโดยใช้เทคโนโลยี High-Performance Static CMOS มีความเร็วของสัญญาณนาฬิกา 150 MHz หรือ 6.67 nsec ต่อหนึ่งรอบสัญญาณนาฬิกา

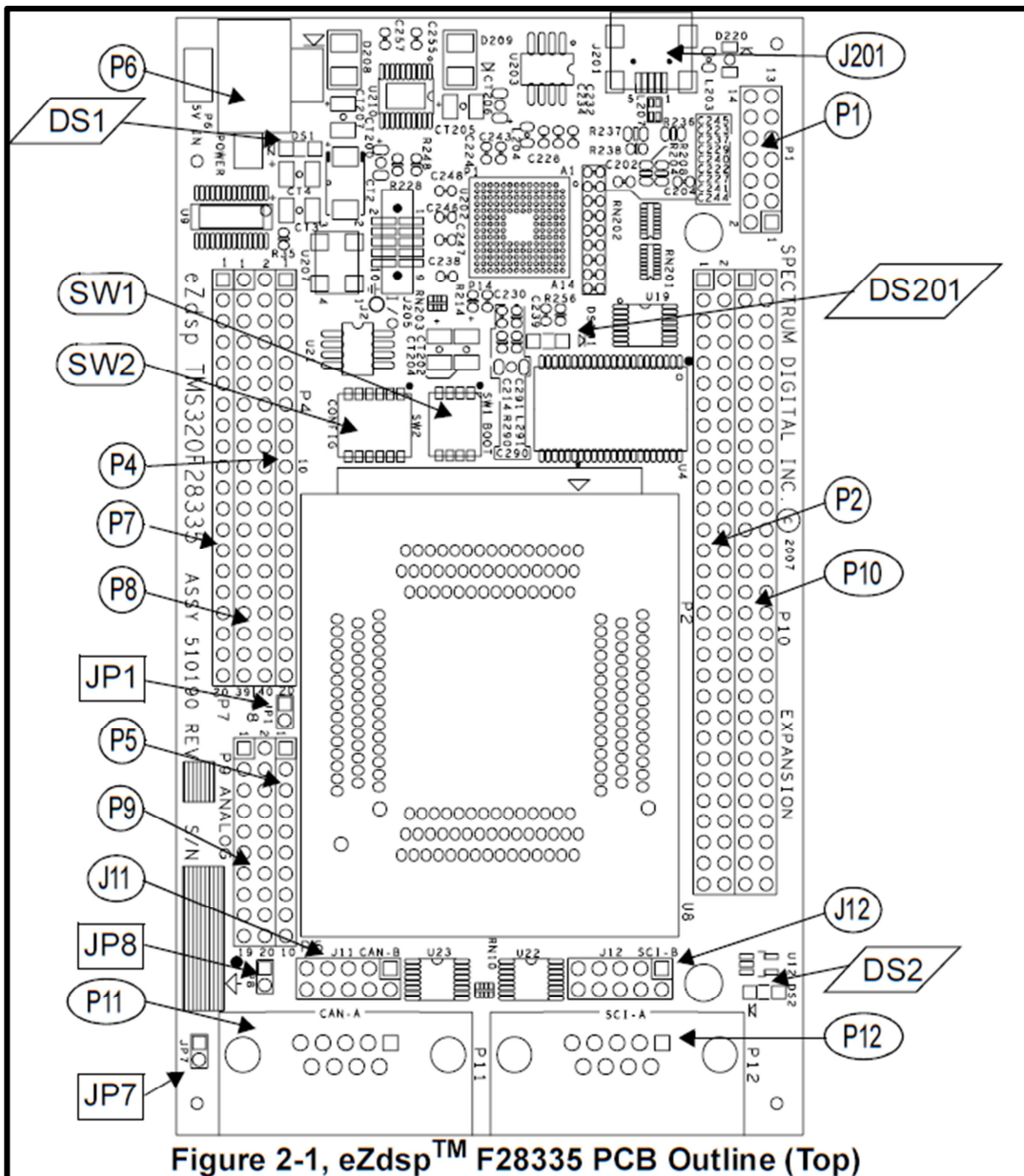


Figure 2-1, eZdsp™ F28335 PCB Outline (Top)

รูปที่ 7.1 โครงสร้างของบอร์ด eZdsp™ F28335

หน่วยประมวลผลกลางประสิทธิภาพสูงขนาด 32 บิต ซึ่งใช้สถาปัตยกรรมบัสแบบชาร์ด (Harward Bus Architecture) ปฏิบัติการแบบ 16×16 และ 32×32 มีกระบวนการตอบสนองการอินเตอร์ร์พที่รวดเร็ว

หน่วยความจำขนาด SARAM และ Flash ขนาด $256K \times 16$ (แบ่งเป็น $4K \times 16$ แบคตัน และ $1K \times 16$ สองตอน)

มี Boot ROM ขนาด $8K \times 16$ กายในบรรจุ Software Boot Mode และมีตารางฟังก์ชันทางคอมพิวเตอร์

มีตัวแปลงสัญญาณอนาลอกเป็นดิจิตอลความละเอียด 12 บิต 16 ช่องสัญญาณอินพุท โดยมีลักษณะเป็นแบบมัลติเพล็ก 2 ชุด ๆ ละ 8 ช่องสัญญาณ สามารถแปลงสัญญาณเพียงช่องเดียวหรือทุกช่องพร้อมกันได้ ซึ่งใช้เวลาการแปลงสัญญาณเพียงช่องเดียวหรือทุกช่องพร้อมกันเพียง 80 nsec ต่อ 1 ครั้ง

มี Event Manager จำนวน 2 ชุด คือ EVA และ EVB

มีตัวนับขนาด 32 บิต 3 ชุด

มีตัวรับสัญญาณจากอินโคดเคอร์ (Quadrature Encoder Pulse)

มีอินพุต/เอาต์พุต พอร์ต 88 ช่อง

รองรับสัญญาโนินเตอร์รัพจากอุปกรณ์รอบข้างจำนวน 45 แหล่ง

สามารถติดต่อกับอุปกรณ์ภายนอกได้

จากที่กล่าวมาในข้างต้นจะเห็นว่าชิปประมวลผล รุ่น TMS320F28335 มีคุณสมบัติที่เหมาะสมสำหรับใช้ในการออกแบบโปรแกรมควบคุมการทำงานของมอเตอร์เนื่องจากมีความสามารถในการควบคุมแบบวงจรเดอร์ทาง อ้อมเนื่องจากสามารถสร้างสัญญาณพัลส์ได้มากถึง 12 พัลส์ (งานวิจัยนี้ใช้เพียง 6 พัลส์) โดยใช้ Event Manager EVA และ EVB จากที่ได้กล่าวมาข้างต้นสามารถสรุปเหตุผลที่งานวิจัยในสมัยใหม่เลือกใช้ชิปประมวลผล รุ่น TMS320F28335 ในงานควบคุมได้ดังนี้

1. การใช้ชิปประมวลผล รุ่น TMS320F28335 สามารถใช้โปรแกรมการคำนวณที่ซับซ้อนทางคณิตศาสตร์ได้ และในปัจจุบันความเร็วของสัญญาณนาฬิกาได้ถูกพัฒนาให้อยู่ในระดับ 40 ถึง 300 ล้านคำสั่งต่อวินาที ซึ่งเป็นผลดีต่อการตอบสนองการควบคุม ทำให้ระบบการควบคุมมีความถูกต้องและแม่นยำมากยิ่งขึ้น

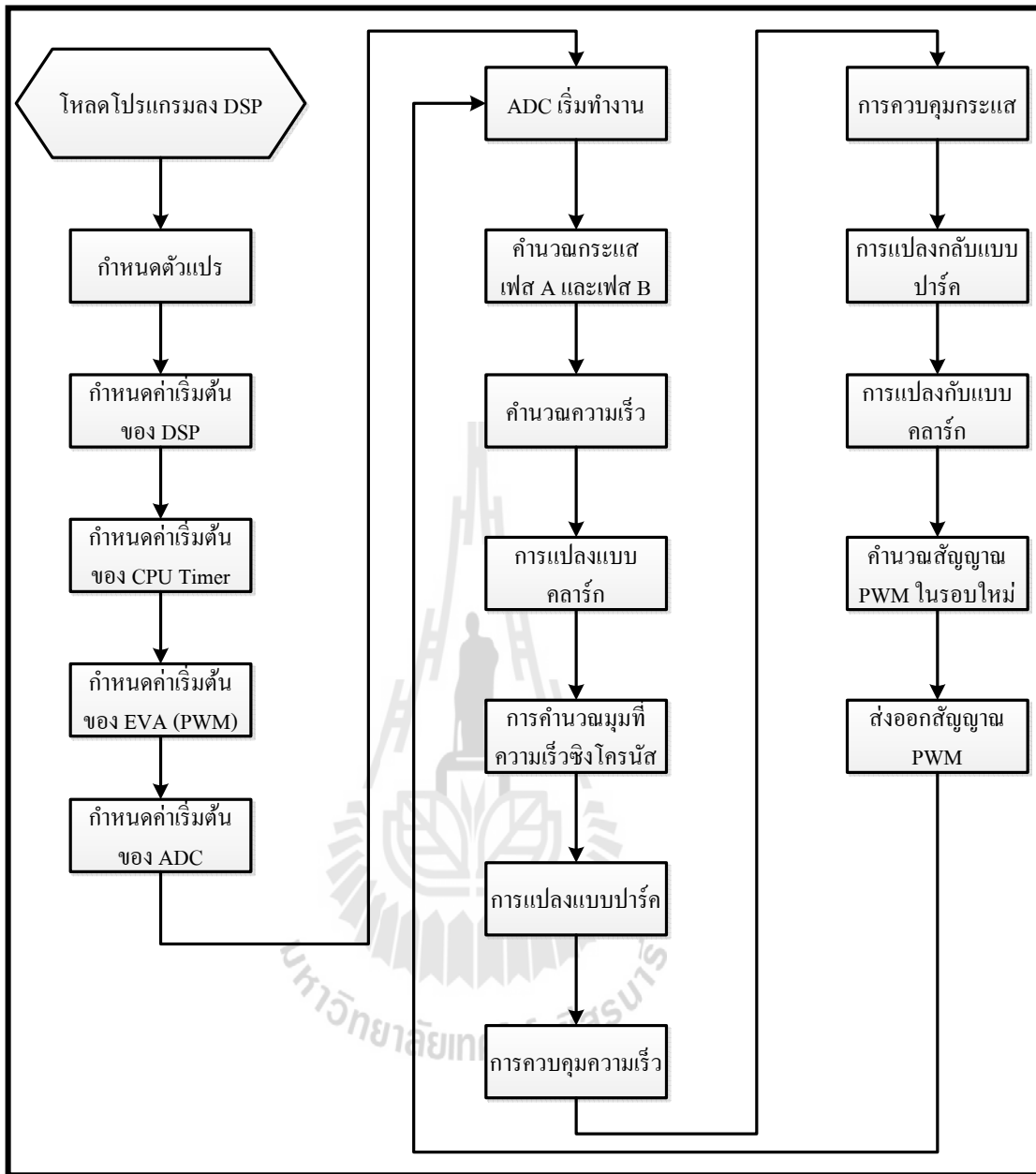
2. ประสิทธิภาพของชิปประมวลผล รุ่น TMS320F28335 ในปัจจุบันสามารถรวมเอาไว้ในตัวเดียว กับชิปเดียวกัน เช่น วงจรขับ PWM วงจรตัวอย่างอนุกรม และวงจรดอครหัสเป็นต้น

3. คุณสมบัติการทำงานโปรแกรม DSP มีความยืดหยุ่นในการแก้ไขหรือเพิ่มเติมอัลกอริズึม ดังนั้น การใช้งานชิปประมวลผล รุ่น TMS320F28335 จะช่วยลดเวลาในการพัฒนาระบบได้

4. การใช้งานชิปประมวลผล รุ่น TMS320F28335 จะมีความถูกต้องแม่นยำสูง ซึ่งความแม่นยำในการประมวลผลนั้นจะขึ้นอยู่กับจำนวนบิตที่ใช้แทนสัญญาณและพารามิเตอร์ตัวควบคุม

7.3 การออกแบบโปรแกรมด้วยชิปประมวลผล รุ่น TMS320F28335

การเขียนโปรแกรมสำหรับการควบคุมแบบวงจรเดอร์ทาง อ้อม โดยใช้ชิปประมวลผล รุ่น TMS320F28335 ในส่วนของโปรแกรมจะเขียนโดยใช้ภาษาซี และการเขียนโปรแกรมสามารถแสดงเป็นบล็อกได้ดังรูปที่ 7.2



ຮູບທີ 7.2 ໄດ້ອະແກນການເຂີນໂປຣແກຣມຂອງການກຸມແບນເວັກເຕຼອຮ໌ທາງອ້ອມ

ຈາກໄດ້ອະແກນລຳດັບຂັ້ນຕອນການທຳງານຂອງໂປຣແກຣມກາຍາຊື່ໃນຮູບທີ 7.2 ຈະອັນຍາການເຂີນໂປຣແກຣມເພີ່ມສ່ວນທີ່ສໍາຄັນເທົ່ານັ້ນ ເນື່ອງຈາກໂປຣແກຣມນັງອ່າງເປັນເພີ່ມຄ່າເຮີມດິນຂອງການປະກາດໃຫ້ການຝຶກໜັກແລະ ໂມໂຄດ

ໂປຣແກຣມກາຍາຊື່ຂອງການປັບປຸງແບບຄລາຮກ ຈານວິຈິຍນີ້ຈະໃຊ້ຮູບແບນການປັບປຸງແບບຄລາຮກເພື່ອປັບປຸງຄະນະໄຟຟ້າໃໝ່ເປັນປຽມາມສາມເຟສທີ່ອູ້ບຸນແກນປົກຕິ (Ia Ib ແລະ Ic) ໃຫ້ອູ້ບຸນແກນຫຸດນິ່ງທີ່ໂຮງແກນແລລືພາບເຕາ ສາມາຮັດແສດງການເຂີນໂປຣແກຣມການປັບປຸງແບບຄລາຮກໄດ້ດັ່ງນີ້ (ກະແສ Ia Ib ແລະ Ic ເປັນກະແສທີ່ໄດ້ຈາກການວັດ)

//Clarke transformation

Ial = 0.67*Ia-0.33*Ib-0.33*Ic; //จำนวน $i_{\alpha s}$

Ibe = 0.58*(Ib-Ic); //จำนวน $i_{\beta s}$

การเขียนโปรแกรมภาษาซีสำหรับคำนวณมุมที่ความเร็วซิงโครนัสสามารถแสดงได้ดังนี้

//calculate angle at synchronous speed

We = 2*Speedfilter + 49*Iqref; //จำนวนความเร็วซิงมุมที่ความเร็วซิงโครนัส

tate = tate + We*Ts; //จำนวนมุมที่ความเร็วซิงโครนัส

if(tate >= 6.2832){tate = 0;} //กำหนดค่ามุมไม่ให้เกิน 6.2832 หรือ 2π

if(tate <= -6.2832){tate = 0;} //กำหนดค่ามุมไม่ให้น้อยกว่า -6.2832 หรือ -2π

if(tate < 0){tate = 6.2832 + tate;} //จำนวนค่ามุมใหม่เมื่อมีค่าน้อยกว่า 0

tate_point = tate*143.24; //นำค่ามุมไปคำนวณเพื่อระบุตำแหน่งการเปิดตาราง

sinwe = sin_table[tate_point]; //ค่า sin จากการปิดตาราง

coswe = cos_table[tate_point]; //ค่า cos จากการปิดตาราง

การเขียนโปรแกรมภาษาซีของการคำนวณค่ากระแส $i_{\alpha s}$ และ $i_{\beta s}$ ให้อยู่บนแกน dq โดยใช้ วิธีการแปลงแบบปาร์ค แสดงการเขียนโปรแกรมได้ดังนี้

//park transformation

Id = Ial*coswe + Ibe*sinwe; //จำนวนกระแส i_{ds}

Iq = Ibe*coswe - Ial*sinwe; //จำนวนกระแส i_{qs}

โปรแกรมภาษาซีของลูปควบคุมความเร็วโดยใช้ตัวควบคุมแบบพีไอเพื่อควบคุมความเร็วรอบ ของมอเตอร์ภายใต้เงื่อนไขการควบคุมแบบวงแหวนอัตโนมัติสามารถแสดงดังนี้

//speed loop PI control with anti-windup

errorspeed = SPEED_COM - SPEED_FILTER; //ค่าความผิดพลาดของลูปความเร็ว

Us = sum + Kps*errorspeed; //จำนวน Us จากการควบคุมแบบพีไอ

Iqref = Us; //เก็บค่า Us ไว้ใน Iqref

if(Iqref >= 1){Iqref = 1;} //ป้องกันไม่ให้กระแส Iqref เกิน 1 A

if(Iqref <= -1){Iqref = -1;} //ป้องกันไม่ให้กระแส Iqref เกิน -1 A

sum = sum + (Kis*errorspeed); //จำนวนค่า sum

โปรแกรมภาษาซีของลูปควบคุมกระแสโดยใช้ตัวควบคุมแบบพีไอเพื่อควบคุมกระแสของมอเตอร์ภายใต้เงื่อนไขการควบคุมแบบแก้เตอร์ท่างอ้อมสามารถแสดงดังนี้

```
//current loop PI control axis Iq with anti-winup
errorq = Iqref - Iq; //คำนวณผลต่างหรือคำนวณค่าพิเศษของการควบคุมกระแสลูป Q
errord = Idref - Id; //คำนวณผลต่างหรือคำนวณค่าพิเศษของการควบคุมกระแสลูป D
Uq = sumq + Kpi*errorq; //คำนวณ Uq จากการควบคุมแบบพีไอ
Ud = sumd + Kpi*errord; //คำนวณ Ud จากการควบคุมแบบพีไอ
Vsref = Uq; //เก็บค่า Uq ไว้ใน Vsref
Vsdref = Ud; //เก็บค่า Uq ไว้ใน Vsref
if(Vsref >= 70){Vsref = 70;} //ป้องกันแรงดัน Vsref ไม่ให้เกิน 70 โวลต์
if(Vsref <= -70){Vsref = -70;} //ป้องกันแรงดัน Vsref ไม่ให้เกิน -70 โวลต์
if(Vsdref >= 30){Vsdref = 30;} //ป้องกันแรงดัน Vsdref ไม่ให้เกิน 30 โวลต์
if(Vsdref <= -30){Vsdref = -30;} //ป้องกันแรงดัน Vsdref ไม่ให้เกิน -30 โวลต์
sumq = sumq + (Kii*errorq); //คำนวณค่า sumq
sumd = sumd + (Kii*errord); //คำนวณค่า sumd
```

โปรแกรมภาษาซีของการแปลงกลับแบบปราร์ค แสดงการเปลี่ยนได้ดังนี้

```
//inverse praktranformation
Va = Vd*coswe + Vq*sinwe; //การคำนวณแรงดัน Va
Vb = ((sqrt(3)*Vq-Vd)*coswe+(sqrt(3)*Vd+Vq)*sinwe); //การคำนวณแรงดัน Vb
Vc = ((-sqrt(3)*Vq-Vd)*coswe+(Vq-sqrt(3)*Vd)*sinwe); //การคำนวณแรงดัน Vc
```

สร้างสัญญาณ PWM โดยนำสัญญาณ $V_{Control}$ หมายถึง Va, Vb, และ Vc ที่ได้จากการแปลงกลับแบบปราร์ค มาเทียบกับสัญญาณ V_{tri} สามารถแสดงการเปลี่ยนโปรแกรมได้ดังนี้

```
EPwm1Regs.CMPA.half.CMPA = (-1)*Va; //สร้างสัญญาณ PWM ของเฟส A
EPwm2Regs.CMPA.half.CMPA = (-1)*Vb; //สร้างสัญญาณ PWM ของเฟส B
EPwm3Regs.CMPA.half.CMPA = (-1)*Vc; //สร้างสัญญาณ PWM ของเฟส C
จากการเขียนโปรแกรมภาษาซีของการควบคุมแบบแก้เตอร์ท่างอ้อมบนบอร์ด DSP รุ่น eZdspTM F28335 สามารถแสดงรายละเอียดทั้งหมดของการเขียนโปรแกรมไว้ในภาคผนวก ง
```

7.4 การทดสอบการควบคุมความเร็วของมอเตอร์ด้วยการควบคุมแบบเวกเตอร์ทางอ้อม

การทดสอบการควบคุมแบบเวกเตอร์ทางอ้อมจะทดสอบโดยใช้ตัวควบคุมอยู่สองแบบคือ ตัวควบคุมพีไอที่ได้จากการแบบดั้งเดิม และตัวควบคุมที่ได้จากการกันหนาแบบ ATS โดยค่าพารามิเตอร์ของตัวควบคุมพีไอที่ได้จากการออกแบบของห้องส่องวิชีได้แสดงไว้ในตารางที่ 4.11ของบทที่ 4 ในขั้นแรกจะทดสอบควบคุมโดยใช้พารามิเตอร์ของตัวควบคุมแบบพีไอที่ได้จากการออกแบบด้วยวิธีการแบบดั้งเดิมซึ่งได้กำหนดเงื่อนไขการทำงานดังนี้

กำหนดให้ความเร็ว (ω^*) ของมอเตอร์หมุนที่ 99.5 เรเดียน/วินาที หรือ 950 รอบ/นาที

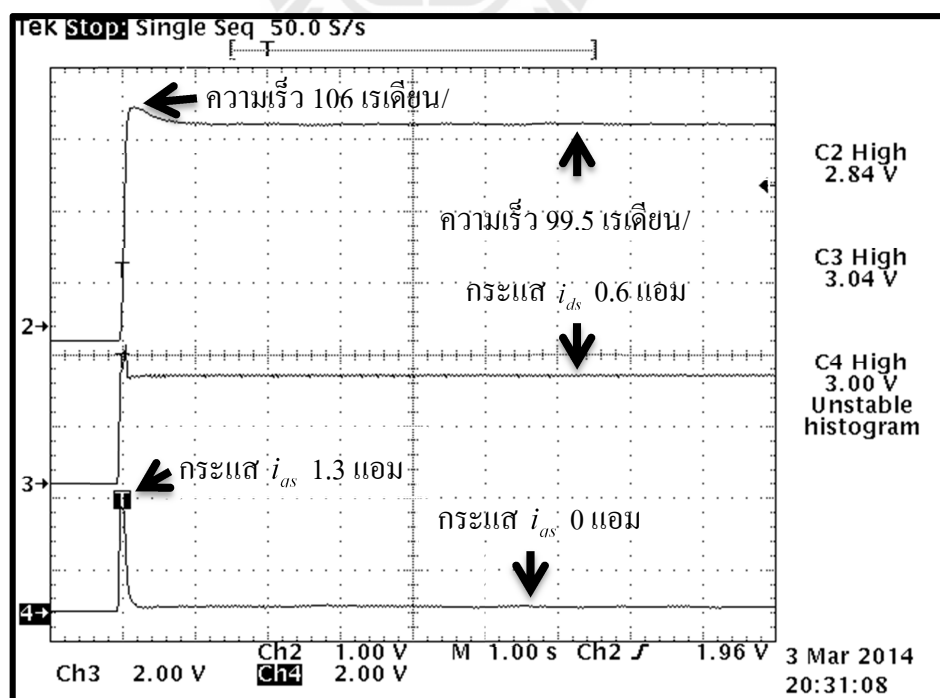
กำหนดค่ากระแส i_{ds}^* คงที่ เท่ากับ 0.6 แอมป์

กำหนดแหล่งจ่าย $V_{DC,Inverter}$ เท่ากับ 540 โวลต์

กำหนดความถี่การสวิตช์ของสัญญาณ PWM เท่ากับ 5.8 กิโลเอริตซ์

จ่ายโหลดให้มอเตอร์ที่ 2.5 นิวตัน-เมตร

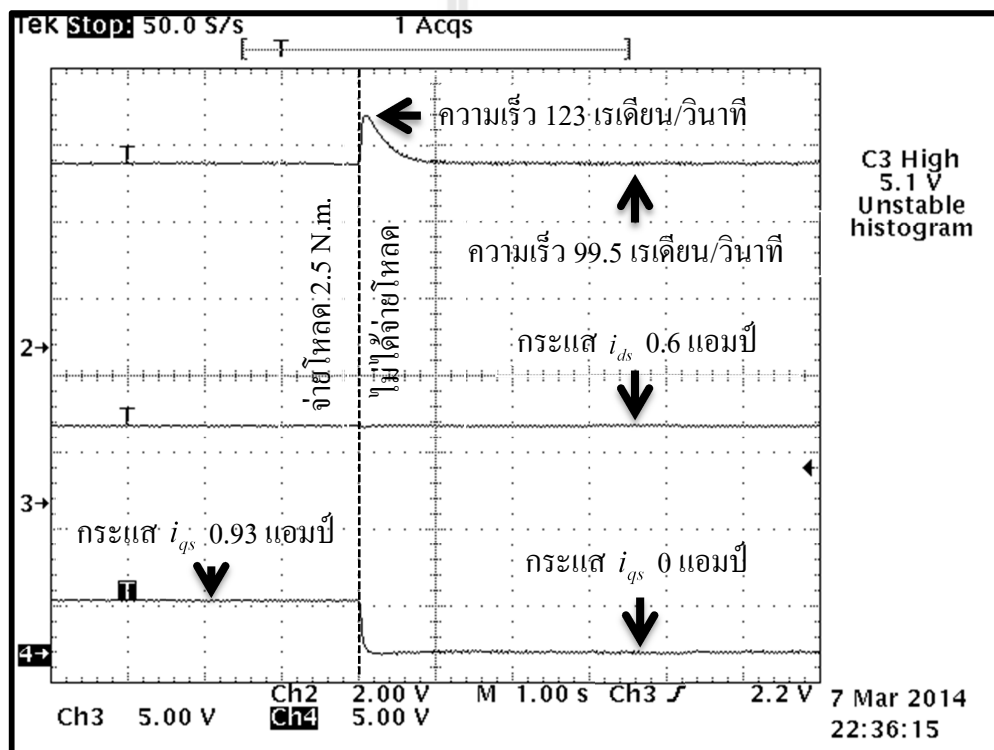
จากการทดสอบสามารถแสดงผลได้ดังนี้ รูปที่ 7.3 ด้านบนสุดแสดงกราฟความเร็วของมอเตอร์เมื่อมอเตอร์เริ่มสตาร์ทจากความเร็ว 0 เรเดียน/วินาที ไปที่ความเร็ว 99.5 เรเดียน/วินาที ถัดมาคือ กราฟของค่ากระแส i_{ds} และด้านล่างสุดคือกราฟของค่ากระแส i_{qs}



รูปที่ 7.3 ผลการตอบสนองการควบคุมแบบเวกเตอร์ทางอ้อมตอนเริ่มสตาร์ทมอเตอร์โดยใช้ตัวควบคุมที่ออกแบบจากวิธีการแบบดั้งเดิม

จากรูปที่ 7.3 เมื่อพิจารณาผลของความเร็วของเตอร์จะเห็นว่ามอเตอร์เริ่มสตาร์ทเข้าสู่สภาวะคงที่ 99.5 เรเดียน/วินาที ภายในเวลา 0.8 วินาที ต่อมาก็จะลดลงอย่างต่อเนื่อง แต่ในช่วงที่ความเร็วลดลงเหลือ 0.6 แอมป์ แล้วก็จะเพิ่มขึ้นอย่างต่อเนื่อง จนกว่าจะบรรลุความเร็วคงที่ 99.5 เรเดียน/วินาที ซึ่งมีค่ากระแทก i_{qs} ที่ 0.93 แอมป์ แสดงให้เห็นว่ามอเตอร์ที่มีค่ากระแทกนี้จะต้องใช้เวลาในการบรรลุความเร็วคงที่ประมาณ 0.6 แอมป์ นานกว่า 0.8 วินาที จึงทำให้ต้องใช้เวลาในการบรรลุความเร็วคงที่ประมาณ 1.4 วินาที

ผลการทดสอบการควบคุมการทำงานของมอเตอร์เห็นได้ชัดเจนว่าความเร็วคงที่ 99.5 เรเดียน/วินาที ไม่สามารถบรรลุความเร็วคงที่ 123 เรเดียน/วินาที ได้ แต่เมื่อเปลี่ยนค่ากระแทก i_{qs} ให้เป็น 0.6 แอมป์ ความเร็วคงที่จะบรรลุได้ในเวลาที่shorter มากกว่า 0.8 วินาที แสดงให้เห็นว่าการตั้งค่ากระแทกที่ต่ำกว่าค่าที่แนะนำจะช่วยให้การบรรลุความเร็วคงที่รวดเร็วขึ้น



รูปที่ 7.4 ผลการตอบสนองการควบคุมแบบเวกเตอร์ทางอ้อมเมื่อจ่ายโหลด 2.5 นิวตัน-เมตร โดยใช้ตัวควบคุมที่ออกแบบจากวิธีการแบบดั้งเดิม

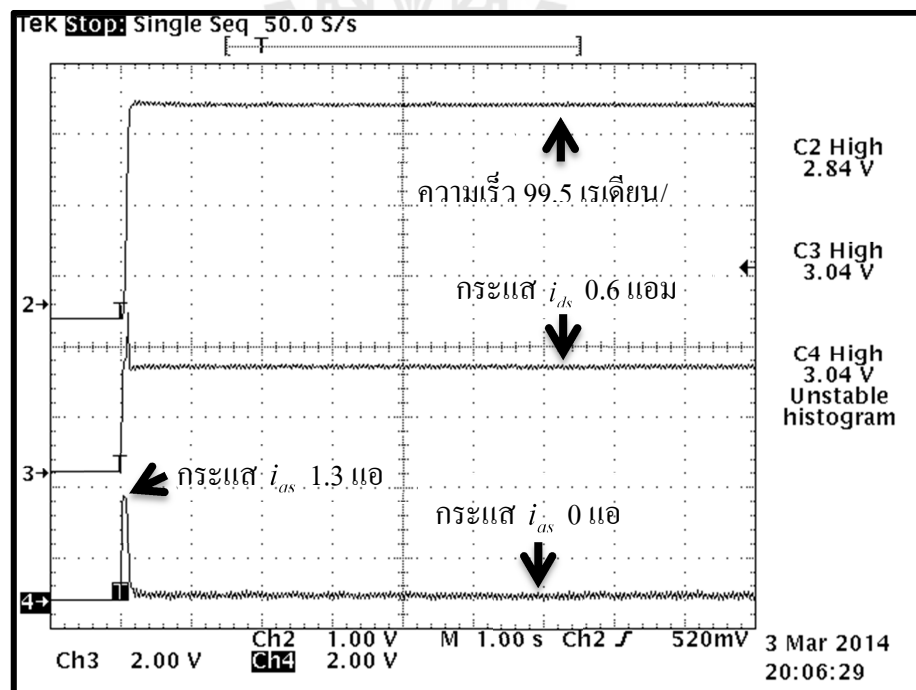
จากผลการทดสอบในรูปที่ 7.4 เมื่อพิจารณาความเร็วของมอเตอร์ในสภาวะที่มีการจ่ายจะเห็นความเร็วคงที่ที่ 99.5 เรเดียน/วินาที ต่อมาก็จะลดลงอย่างต่อเนื่อง แต่ในช่วงที่ความเร็วลดลงเหลือ 0.6 แอมป์ แล้วก็จะเพิ่มขึ้นอย่างต่อเนื่อง จนกว่าจะบรรลุความเร็วคงที่ 99.5 เรเดียน/วินาที ซึ่งมีค่ากระแทก i_{qs} ที่ 0.93 แอมป์ แสดงให้เห็นว่ามอเตอร์ที่มีค่ากระแทกนี้จะต้องใช้เวลาในการบรรลุความเร็วคงที่ประมาณ 0.6 แอมป์ นานกว่า 0.8 วินาที จึงทำให้ต้องใช้เวลาในการบรรลุความเร็วคงที่ประมาณ 1.4 วินาที

มอเตอร์ กระแส i_{qs} จะมีค่าเข้าใกล้ 0 แอมป์ ซึ่งค่ากระแส i_{qs} สามารถแสดงการคำนวณเพื่อเปรียบเทียบผลจากการในรูปที่ 7.4 ขณะที่จ่ายโหลดให้มอเตอร์ที่ 2.5 นิวตัน-เมตร ได้ดังนี้

$$\mathbf{i} = \sqrt{i_{ds}^2 + i_{qs}^2} \quad (7-1)$$

เมื่อกระแส i_{ds} มีค่าเท่ากับ 0.6 แอมป์ และขนาดของกระแส (\mathbf{i}) ที่จ่ายให้มอเตอร์ได้จากการวัดในขณะที่มีการรับการจากโหลด 2.5 นิวตัน-เมตร มีค่าเท่ากับ 1.1 แอมป์ ดังนั้น จากสมการที่ (7-1) สามารถคำนวณหาค่ากระแส i_{qs} ได้เท่ากับ 0.92 แอมป์ ซึ่งเมื่อพิจารณาค่าที่ได้จากการกับค่าที่ได้จากการคำนวณพบว่ามีค่าต่างกันเพียงเล็กน้อย ทั้งนี้อาจเป็นเพราะเครื่องมือที่ใช้วัดค่ากระแสมีความคลาดเคลื่อน จึงทำให้การวัดขนาดของกระแสที่จ่ายให้มอเตอร์ไม่ถูกต้องตามความเป็นจริง

การควบคุมการทำงานของมอเตอร์เหนี่ยวนำด้วยวิธีการควบคุมแบบเวลาเตอร์ทางอ้อม โดยใช้ตัวควบคุมพีไอทีได้จากการค้นหาแบบ ATS และในการควบคุมได้ใช้เงื่อนไขของการควบคุมเหมือนกันกับการควบคุมด้วยตัวควบคุมที่ได้จากการแบบดั้งเดิมสามารถแสดงผลการควบคุมการทำงานของมอเตอร์ เหนี่ยวนำสามเฟสได้ดังนี้

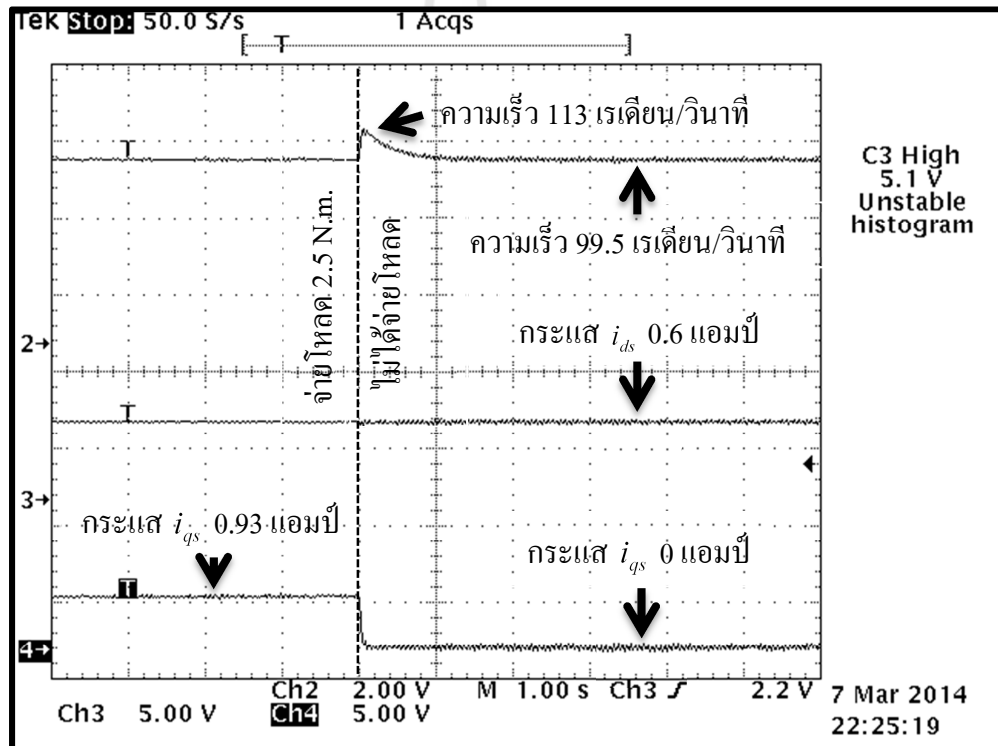


รูปที่ 7.5 ผลการตอบสนองการควบคุมแบบเวลาเตอร์ทางอ้อมตอนเริ่มสตาร์ทมอเตอร์ โดยใช้ตัวควบคุมที่ได้จากการออกแบบด้วยวิธีการค้นหาแบบ ATS

รูปที่ 7.5 แสดงผลการทดสอบตอนเริ่มสตาร์ทมอเตอร์ด้วยวิธีการควบคุมแบบเวกเตอร์ ทางอ้อม รูปภาพด้านบนสุดแสดงความเร็วของมอเตอร์จากเริ่มสตาร์ทจนเข้าสู่สภาวะคงที่ถัดมาคือ รูปภาพของค่ากระแส i_{ds} และด้านล่างสุดรูปภาพของค่ากระแส i_{qs}

จากรูปจะเห็นว่าผลการตอบสนองการทำงานตอนเริ่มสตาร์ทมอเตอร์ลักษณะการทำงานจะเหมือนกับการใช้ตัวควบคุมแบบดึงเดินทุกประการ เพียงแต่การควบคุมโดยใช้ตัวควบคุมพิไอที่ได้จากการออกแบบด้วยวิธีแบบ ATS ความเร็วตอนเริ่มสตาร์ทแทนจะไม่มีการพุ่งเกิน ซึ่งแสดงให้เห็นถึงสมรรถนะของตัวควบคุมที่ดี

ผลการทดสอบเมื่อจ่ายโหลดให้กับมอเตอร์ที่ 2.5 นิวตัน-เมตร และปลดโหลดออกเพื่อคุณภาพตอบสนองการทำงานดังรูปที่ 7.6

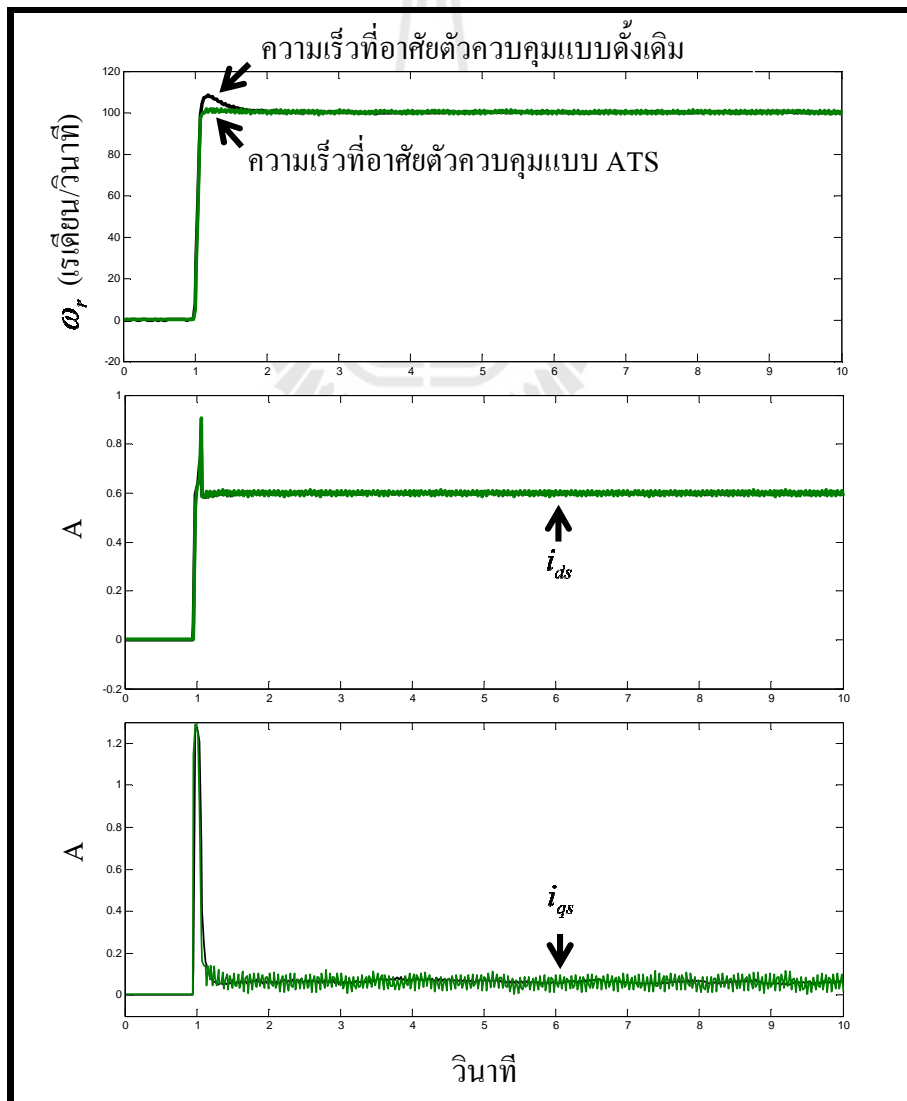


รูปที่ 7.6 ผลการตอบสนองการควบคุมแบบเวกเตอร์ทางอ้อมเมื่อจ่ายโหลด 2.5 นิวตัน-เมตร โดยใช้ตัวควบคุมที่ได้จากการออกแบบด้วยวิธีการค้นหาแบบ ATS

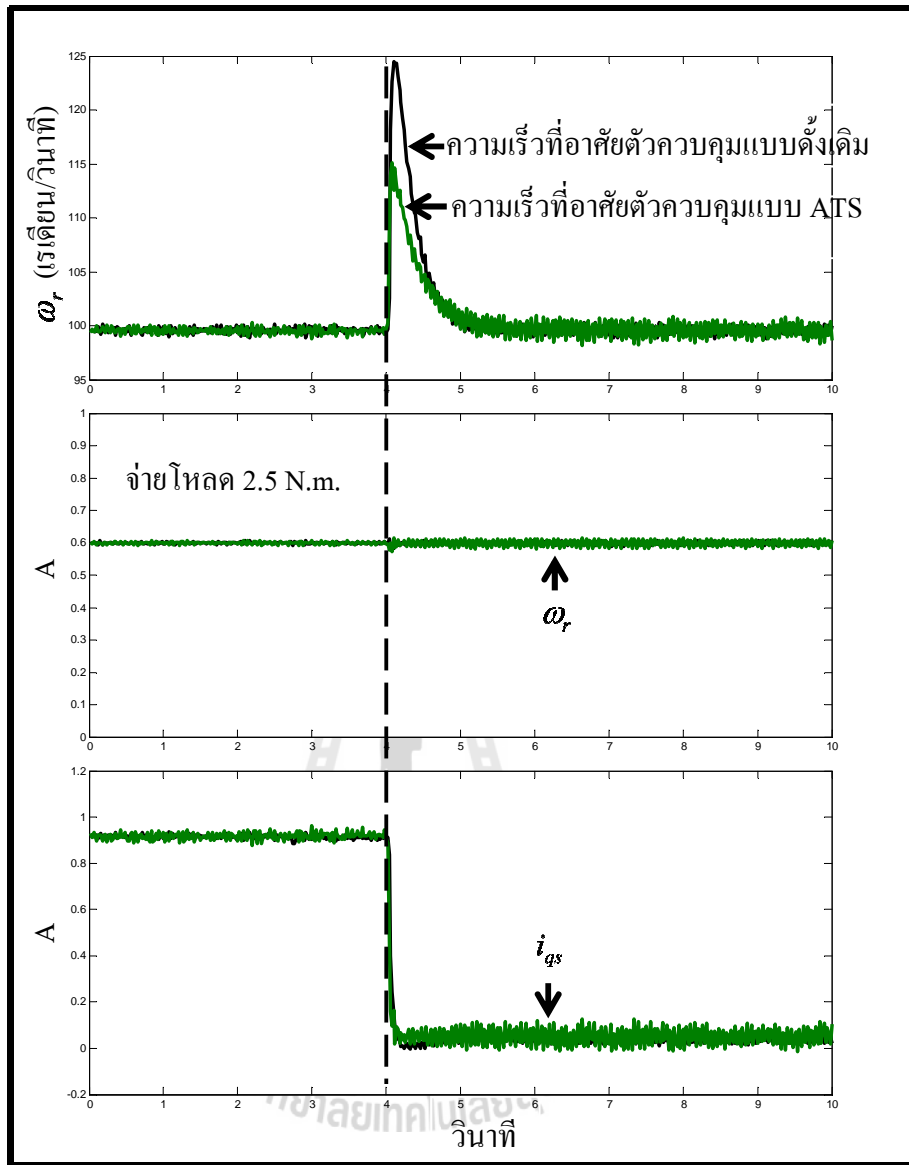
เมื่อพิจารณาการทำงานของการควบคุมแบบเวกเตอร์โดยใช้ตัวควบคุมจากวิธีการค้นหาแบบ ATS ในรูปที่ 7.6 พบว่ามีผลการตอบสนองการทำงานเช่นเดียวกันกับการใช้ตัวควบคุมแบบดึงเดิน ดังกันต์ สมรรถนะการทำงาน กล่าวคือการควบคุมโดยใช้ตัวควบคุมพิไอที่ได้จากการค้นหาด้วยวิธี ATS ความเร็วตอนเริ่มสตาร์ทมอเตอร์จะไม่มีอัตราการพุ่งเกิน และความเร็วจากการพุ่งเกินในขณะที่

ปลดโหลดออกจากเพลามอเตอร์พบว่ามีอัตราการพุ่งเกินเมื่อน้อยกว่าการควบคุมโดยใช้ตัวควบคุมที่ได้จากการออกแบบด้วยวิธีการแบบดั้งเดิม

การควบคุมการทำงานแบบเวกเตอร์ทางอ้อมโดยใช้ตัวควบคุมที่ได้จากการออกแบบทั้งสองวิธีสามารถแสดงผลเปรียบเทียบกันเพื่อสามารถพิจารณาสมรรถนะของตัวควบคุมทั้งสองได้ง่ายยิ่งขึ้น โดยนำผลการทดสอบควบคุมการทำงานแบบเวกเตอร์ทางอ้อมตอนเริ่มสตาร์ทมอเตอร์ในรูปที่ 7.3 และรูปที่ 7.5 มาแสดงเปรียบเทียบสมรรถนะการทำงานบนกราฟเดียวกันได้ดังรูปที่ 7.7 และจากผลการทดสอบเมื่อจ่ายโหลดให้มอเตอร์แล้วปลดโหลดออกเพื่อคุณภาพตอบสนองการทำงานในรูปที่ 7.4 และรูปที่ 7.6 จากผลการทดสอบดังกล่าวสามารถนำมาเปรียบเทียบเพื่อวิเคราะห์สมรรถนะการทำงานของตัวควบคุมพื้นจากการออกแบบทั้งสองวิธีได้ดังรูปที่ 7.8



รูปที่ 7.7 ผลการตอบสนองการควบคุมแบบเวกเตอร์ทางอ้อมตอนเริ่มสตาร์ทมอเตอร์



รูปที่ 7.8 ผลการตอบสนองการควบคุมแบบวงจรเตอร์หางอ้อมเมื่อมีการรับกระแสจาก โหลด 2.5 N.m.
และการตอบสนองเมื่อปลดโหลดออกจากเพลาของมอเตอร์

จากการเปรียบเทียบผลการทำงานของการควบคุมแบบวงจรเตอร์หางอ้อมโดยใช้พารามิเตอร์ของตัวควบคุมพีไอที่ได้จากการออกแบบด้วยวิธีการแบบดั้งเดิมและจากการค้นหาแบบ ATS ในรูปที่ 7.7 และรูปที่ 7.8 จะเห็นว่าความเร็วตอบของมอเตอร์จากการควบคุมโดยใช้ตัวควบคุมที่ได้จากการค้นหาแบบ ATS ให้สมรรถนะของการควบคุมที่ดีกว่าตัวควบคุมที่ได้จากการออกแบบด้วยวิธีการแบบดั้งเดิม เนื่องจากมีอัตราการพุ่งเกินของความเร็วเมื่อกำเนิดยกเว้นแต่สภาวะคงตัวได้เร็วกว่า ลำดับต่อมา เมื่อพิจารณาค่ากระแส i_{ds} และ i_{qs} พบว่ากระแสที่ได้จากการควบคุมโดยใช้ตัวควบคุมทั้งสองมีค่าใกล้เคียงกันมาก เนื่องจากการออกแบบลูปควบคุมกระแสได้มีการกำหนดค่าแบบคิวต์ที่สูงจึงทำให้การ

ตอบสนองด้านการควบคุมกระແສมีความเร็วสูง จึงไม่สามารถมองเห็นความแตกต่างของผลการควบคุมกระແສ i_{ds} และ i_{qs} ได้ชัดเจน

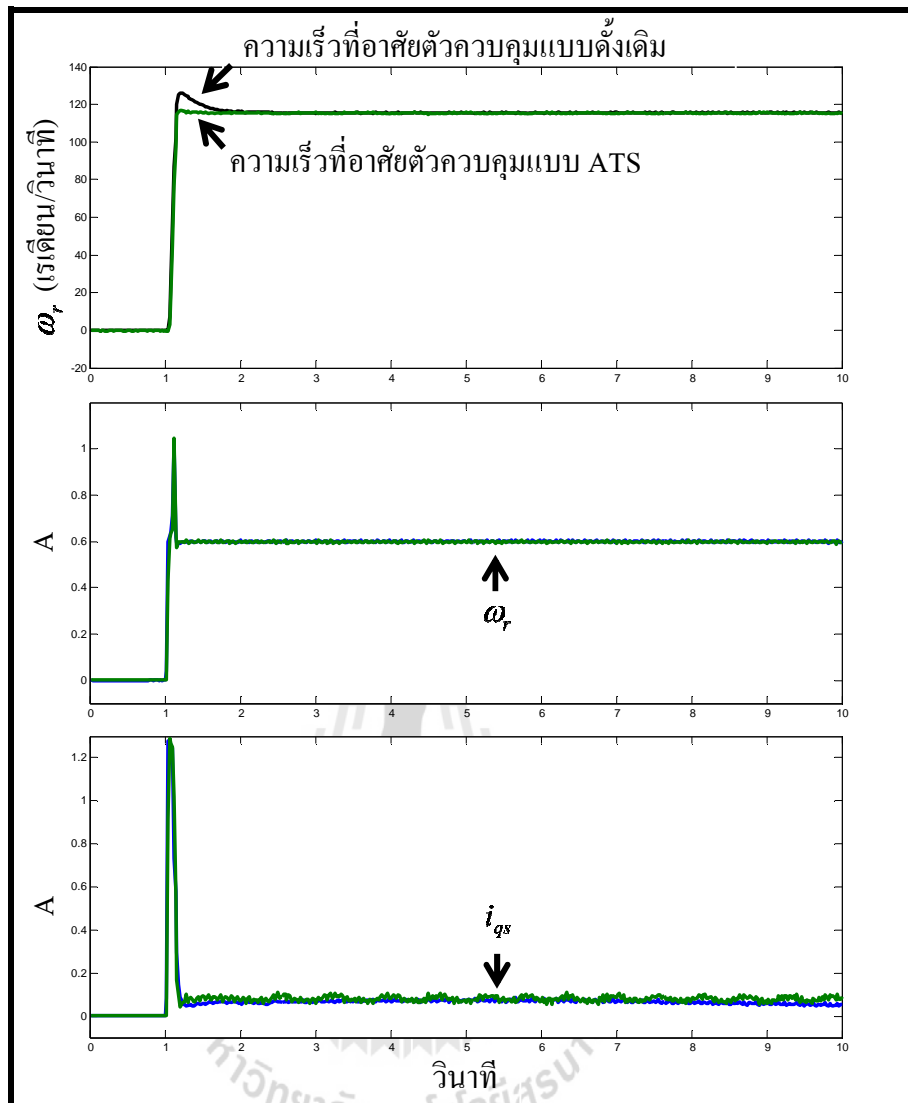
เพื่อให้ได้ข้อสรุปที่ชัดเจนยิ่งขึ้นสำหรับการควบคุมแบบเวกเตอร์ทางอ้อม โดยใช้ตัวควบคุมที่ได้จากการออกแบบด้วยวิธีการค้นหาแบบ ATS ให้สมรรถนะการควบคุมที่ดีกว่าตัวควบคุมที่ได้จากการออกแบบด้วยวิธีการแบบดั้งเดิม จึงได้ทดสอบควบคุมการทำงานที่ความเร็ว 1100 รอบต่อนาที โดยเนื่องจากผลของการทดสอบเหมือนกันกับการทดสอบที่ความเร็ว 950 รอบต่อนาที

จากการทดสอบสามารถแสดงผลการควบคุมแบบเวกเตอร์ทางอ้อมตอนเริ่มสตาร์ทมอเตอร์ แสดงผลการควบคุมขณะที่จ่ายโหลด 2.5 นิวตัน-เมตร ให้กับมอเตอร์และปลดโหลดออกจากเพลามอเตอร์ เพื่อคุณภาพการตอบสนองการทำงานของตัวควบคุมทั้งสอง ซึ่งได้แสดงผลของการควบคุมโดยใช้ตัวควบคุมที่ได้จากการค้นหาแบบ ATS และได้แสดงผลของการควบคุมโดยใช้ตัวควบคุมที่ได้จากการออกแบบด้วยวิธีการแบบดั้งเดิมบนกราฟเดียวกัน แสดงได้ดังรูปที่ 7.9 และรูปที่ 7.10 ตามลำดับ

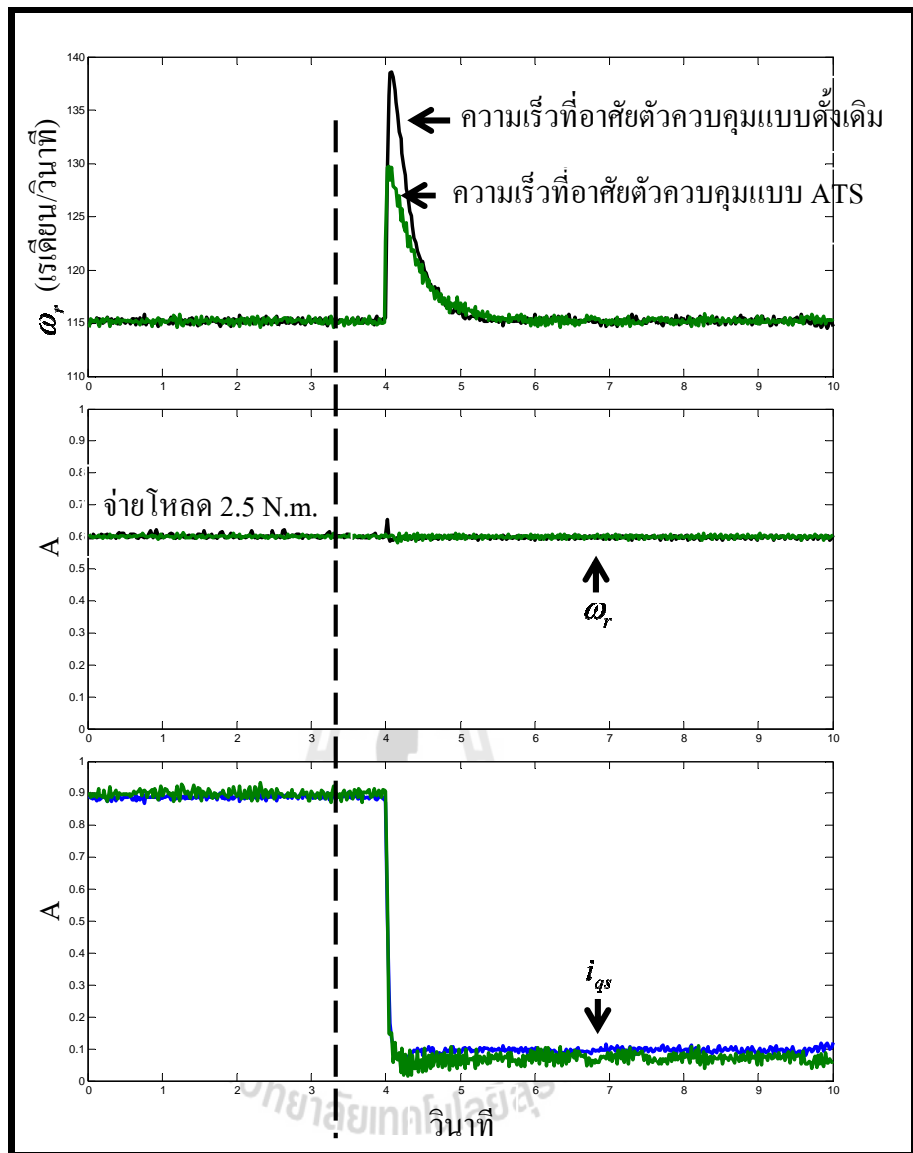
เมื่อพิจารณาผลการทดสอบการควบคุมแบบเวกเตอร์ทางอ้อมโดยกำหนดให้มอเตอร์หมุนที่ความเร็วคงที่เท่ากับ 1100 รอบต่อนาที ในรูปที่ 7.9 และรูปที่ 7.10 พนว่าการควบคุมความเร็วโดยใช้ตัวควบคุมที่ได้จากการออกแบบด้วยวิธีการค้นหาแบบ ATS ยังให้สมรรถนะของการควบคุมที่ดีกว่าการควบคุมโดยใช้ตัวควบคุมที่ได้จากการออกแบบด้วยวิธีการแบบดั้งเดิม

7.5 สรุป

จากการควบคุมความเร็วของมอเตอร์เห็นว่าสามารถไฟล์โดยใช้วิธีการควบคุมแบบเวกเตอร์-ทางอ้อม ซึ่งมีตัวไมโครคอนโทรลเลอร์ eZdsp™ F28335 เป็นตัวประมวลผลหลักของการควบคุมในการทดสอบการควบคุมแบบเวกเตอร์ได้มีการใช้ตัวควบคุมพิไอที่ได้จากการออกแบบทั้งสองวิธีคือการออกแบบตัวควบคุมพิไอโดยใช้วิธีการแบบดั้งเดิมและออกแบบด้วยวิธี ATS เพื่อจะสามารถเปรียบเทียบสมรรถนะการควบคุมของตัวควบคุมทั้งสอง ซึ่งจากการทดสอบจะเห็นว่าการตอบสนองด้านความเร็วของมอเตอร์เมื่อใช้ตัวควบคุมที่ได้จากการออกแบบด้วยวิธี ATS ให้ผลการควบคุมที่ดีกว่าการควบคุมโดยใช้ตัวควบคุมที่ได้จากการออกแบบด้วยวิธีแบบดั้งเดิม ต่อมาเมื่อพิจารณาผลการควบคุมกระແສ i_{ds} และ i_{qs} พบร่วมกัน พบว่าผลการควบคุมโดยใช้ตัวควบคุมของทั้งสองวิธี มีผลการควบคุมที่ใกล้เคียงกัน เนื่องจากลูกปุ่มกระແສมีการตอบสนองที่เร็วมาก อย่างไรก็ตาม ใจความสำคัญของการควบคุมแบบเวกเตอร์ทางอ้อมในงานวิจัยนี้คือความเร็วของมอเตอร์ ดังนั้น จึงมุ่งให้ความสำคัญกับผลการตอบสนองด้านความเร็วเป็นหลัก ดังนั้น จึงสามารถสรุปได้ว่าการควบคุมความเร็วของมอเตอร์เห็นว่าสามารถไฟล์โดยใช้วิธีการแบบด้วยวิธี ATS ให้ผลการควบคุมที่ดีกว่าตัวควบคุมที่ได้จากการออกแบบด้วยวิธีการแบบดั้งเดิม



รูปที่ 7.9 ผลการตอบสนองการควบคุมแบบวงจรเดอร์ทางอ้อมตอนเริ่มสตาร์ทมอเตอร์ เมื่อกำหนดให้มอเตอร์หมุนที่ความเร็ว 1100 rpm



รูปที่ 7.10 ผลการตอบสนองการควบคุมแบบเกล็กเตอร์ทางอ้อมเมื่อมีการรับกระแสจากโคลด 2.5 N.m. และผลการตอบสนองเมื่อปลดโคลดออกจากเพลาของมอเตอร์ที่ความเร็ว 1100 rpm

บทที่ 8

สรุปและข้อเสนอแนะ

8.1 สรุป

งานวิจัยวิทยานิพนธ์นี้ ได้ศึกษาการควบคุมความเร็วรอบของมอเตอร์เห็นได้ชัดเจน สำหรับการควบคุมแบบวงจรเดอร์ทาง อ้อม รวมถึงการนำวิธีการทางปัญญาประดิษฐ์มาประยุกต์ใช้ในการออกแบบตัวควบคุม จากผลที่ได้จากการจำลองสถานการณ์ของระบบบันคอก พิวเตอร์ และผลจากชุดทดสอบจริงแสดงให้เห็นว่าการควบคุมแบบวงจรเดอร์ทาง อ้อม โดยใช้ตัวควบคุมที่ได้จากการออกแบบด้วยวิธีการค้นหาแบบตานู เชิงปรับตัว ให้สมรรถนะการควบคุมความเร็วที่ดีกว่าตัวควบคุมที่ได้จากการออกแบบด้วยวิธีการแบบดั้งเดิม โดยรายละเอียดของงานวิจัยวิทยานิพนธ์ได้นำเสนอไว้ดังรายละเอียดต่อไปนี้

บทที่ 2 ได้กล่าวถึงการสร้างแบบจำลองทางคณิตศาสตร์ของมอเตอร์เห็นได้ชัดเจน โดยอาศัยชุดบล็อก SimPowerSystems บนโปรแกรม MATLAB และได้ตรวจสอบความถูกต้องของแบบจำลองที่สร้างขึ้นใหม่ โดยนำไปจำลองสถานการณ์เปรียบเทียบการทำงานระหว่างแบบจำลองที่สร้างขึ้นใหม่ กับแบบจำลองที่มากับโปรแกรม MATLAB จากผลการจำลองสถานการณ์พบว่าแบบจำลองทั้งสองให้ผลการตอบสนองที่คล้ายตามกัน

บทที่ 3 ได้ศึกษาวิธีการควบคุมความเร็วรอบของมอเตอร์เห็นได้ชัดเจน โดยอาศัยการควบคุมแบบวงจรเดอร์ทาง อ้อม จากบทที่ 2 สามารถนำสมการทางไฟฟ้าของมอเตอร์เห็นได้ชัดเจน-เฟสบนแกนดีคิวมาใช้สำหรับออกแบบ โครงสร้างการควบคุมแบบวงจรเดอร์ทาง อ้อม โดยวิธีการควบคุมความเร็ว ดังกล่าว โดยได้เลียนแบบวิธีการควบคุมความเร็วของมอเตอร์กระแสตรงชนิดตู้นแยก ซึ่งสามารถควบคุมแรงบิดของมอเตอร์ได้โดยตรง เมื่อนำหลักการควบคุมความเร็วของมอเตอร์กระแสตรงมาใช้กับมอเตอร์เห็นได้ชัดเจน โดยจะได้รูปแบบการควบคุม คือ การควบคุม ฟลักซ์ของมอเตอร์ถูกกำหนดให้อยู่บนแกนดีคิว และการควบคุมแรงบิดของมอเตอร์ถูกกำหนดให้อยู่บนแกนดีคิว (หมุนที่ความเร็วซึ่งโครงสร้าง เท่านั้น) จากโครงสร้างการควบคุมแบบวงจรเดอร์ทาง อ้อมที่ได้สร้างขึ้น ได้นำไปจำลองการทำงานบนโปรแกรม MATLAB โดยใช้ตัวควบคุมพีไอที่ได้จากการออกแบบด้วยวิธีแบบดั้งเดิม พบว่ากระแสบนแกนดีคิว มีการเปลี่ยนแปลงไปตามสภาพการรับภาระจากโหลดของมอเตอร์ และกระแสบนแกนดีคิวจะมีค่าคงที่ตามที่ได้กำหนด ซึ่งเป็นไปตามเงื่อนไขของการควบคุมความเร็วรอบของมอเตอร์เห็นได้ชัดเจน เพส โดยใช้วิธีการควบคุมแบบวงจรเดอร์ทาง อ้อม

บทที่ 4 แสดงการออกแบบค่าพารามิเตอร์ของตัวควบคุมพีไอด้วยวิธีการควบคุมแบบเวกเตอร์ทางอ้อม โดยใช้วิธีการค้นหาแบบตามเชิงปรับตัว การออกแบบพารามิเตอร์ของตัวควบคุมในลูปควบคุมกระแสและลูปควบคุมความเร็ว ได้อาศัยฟังก์ชันถ่ายโอนของลูปควบคุมกระแสและลูปควบคุมความเร็ว จากบทที่ 3 มาประยุกต์ใช้งานเพื่อค้นหาพารามิเตอร์ของตัวควบคุมพีไอด้วยวิธีการค้นหาแบบตามเชิงปรับตัว จากการค้นหาตัวควบคุมของลูปควบคุมทั้งสองพบว่าการค้นหาพารามิเตอร์โดยใช้วิธีการค้นหาแบบตามเชิงปรับตัวจะเห็นว่าพารามิเตอร์ของตัวควบคุมพีไอที่ได้จากการค้นหามีลักษณะเข้าใกล้ขั้นตอนเบตันของการค้นหาถึงแม้ว่าจะมีการปรับเพิ่มขบวนเบตการค้นหาเพิ่มขึ้น ค่าที่ได้ก็ยังมีลักษณะเข้าใกล้ขบวนเบตันของการค้นหาเช่นเดิม และทุกรั้งที่มีการปรับเพิ่มขบวนเบตการค้นหาจะได้ค่า M ที่น้อยลงเรื่อยๆ นั้นแสดงให้เห็นว่ายังค่าพารามิเตอร์ของตัวควบคุมพีไอมีค่ายิ่งมากยิ่งทำให้การควบคุมมีสมรรถนะสูงขึ้น แต่เนื่องจากพารามิเตอร์ของการค้นหาในบทที่ 4 จะถูกนำไปใช้สำหรับชุดควบคุมที่ได้สร้างขึ้นจริง ซึ่งชุดควบคุมดังกล่าวมีขีดความสามารถในการประมวลผลการทำงานของระบบควบคุมแบบเวกเตอร์ทางอ้อมที่เวลา 100 ไมโครวินาทีต่อรอบ ดังนั้น ตัวควบคุมพีไอที่ได้จากการค้นหาด้วยวิธีแบบตามเชิงปรับตัว จึงต้องเลือกใช้ค่าที่เหมาะสมกับช่วงเวลาการประมวลผลดังกล่าว พิจารณาได้จากการจำลองสถานการณ์ของระบบควบคุมบนโปรแกรม MATLAB เมื่อได้พารามิเตอร์ของตัวควบคุมที่เหมาะสม ลำดับต่อมาได้จำลองสถานการณ์การควบคุมแบบเวกเตอร์ทางอ้อม เพื่อเปรียบเทียบการควบคุมโดยใช้ตัวควบคุมที่ได้จากการออกแบบด้วยวิธีแบบดึงเดินกับตัวควบคุมที่ได้จากการออกแบบด้วยวิธีแบบตามเชิงปรับตัว จากผลการจำลองสถานการณ์พบว่าตัวควบคุมที่ได้จากการออกแบบด้วยวิธีแบบตามเชิงปรับตัวให้สมรรถนะการควบคุมที่ดีกว่าตัวควบคุมที่ได้จากการออกแบบด้วยวิธีแบบดึงเดิน

บทที่ 5 แสดงการสร้างชุดตรวจความเร็วของมอเตอร์ โดยการเชื่อมต่ออินโอดีคอร์เข้ากับเพลาของมอเตอร์ เมื่อมอเตอร์หมุนอีนโอดีคอร์จะส่งสัญญาณพัลส์ออกมายังความถี่ของสัญญาณพัลส์จะขึ้นอยู่กับความเร็วของมอเตอร์ จากเงื่อนไขดังกล่าว จึงได้นำใจเปลี่ยนความถี่เป็นแรงดันมาใช้สำหรับแปลงความถี่ที่ออกจากรอส์โอดีคอร์ให้เป็นแรงดันเพื่อส่งค่าแรงดันที่ได้จากวงจรไปยังไมโครคอนโทรลเลอร์เพื่อประมวลผลการควบคุม โดยวงจรตั้งกล่าวสามารถใช้ตรวจวัดความเร็วรอบของมอเตอร์ได้สูงสุดที่ 1500 rpm ซึ่งเพียงพอสำหรับการควบคุมความเร็วในงานวิจัยนี้

บทที่ 6 แสดงการสร้างชุดอินเวอร์เตอร์สามเฟส โดยชุดอินเวอร์เตอร์ที่ได้สร้างขึ้นได้มีการแยกกราวด์ของฝั่งแรงดันสูงออกจากกราวด์แรงดันต่ำ ช่วยป้องกันความเสียหายที่อาจจะเกิดขึ้นกับไมโครคอนโทรลเลอร์เนื่องจากผลกระทบของฝั่งแรงดันสูง ได้ การใช้งานอินเวอร์เตอร์สามเฟสสามารถใช้งานกับโหลดที่กินกระแสสูงสุด 50 A และแรงดัน $V_{DC,Inverter}$ มีพิกัดสูงสุดที่ 1200 V เพียงพอสำหรับงานวิจัยวิทยานิพนธ์นี้ ลำดับต่อมาได้กล่าวถึงการสร้างวงจรตรวจวัดกระแส ซึ่งได้ออกแบบให้สามารถค่าวัดกระแสได้สูงสุดที่ 1.3 A เนื่องจากโหลดที่ใช้มีพิกัดกระแสเพียง 1.1 A จึงเพียงพอสำหรับการใช้งาน โดยการออกแบบวงจรตรวจวัดกระแส ได้ใช้วงจรปรับแต่งสัญญาณแบบวงจรรวมปรับแต่งสัญญาณทำให้ได้ค่าของสัญญาณกระแสเมื่อนำค่าที่พอยามาสำหรับส่งต่อไปยังไมโครคอนโทรลเลอร์

บทที่ 7 ได้นำเอาองค์ความรู้และชุดการทำงานต่าง ๆ ตั้งแต่บทที่ 2 ถึงบทที่ 6 มารวมเป็นชุดเดียวกัน จึงได้ชุดควบคุมการทำงานแบบเวกเตอร์ทางอ้อม และในบทที่ 7 ได้นำเสนอขีดความสามารถของไมโครคอนโทรลเลอร์ eZdsp™ F28335 ซึ่งจะใช้เป็นตัวประมวลผลหลักการควบคุมแบบเวกเตอร์ทางอ้อม เมื่อพิจารณาความสามารถในการประมวลผลของ eZdsp™ F28335 พบว่ามีความสามารถเหมาะสมสำหรับการควบคุมแบบเวกเตอร์ทางอ้อม เนื่องจากภายในมีโมดูล PWM มีพอร์ตแปลงสัญญาณอนาล็อก เป็นคิตอลถึง 16 ช่องสัญญาณอินพุต เพียงพอสำหรับใช้ในการควบคุมแบบเวกเตอร์ทางอ้อมในงานวิจัยนี้ สำคัญต่อมาได้แสดงผลการทดสอบการทำงานด้วยวิธีการควบคุมแบบเวกเตอร์ทางอ้อมจากชุดควบคุมที่ได้สร้างขึ้นโดยใช้พารามิเตอร์ของตัวควบคุมพีไอที่ได้จากการออกแบบในบทที่ 3 (ออกแบบด้วยวิธีการแบบดึงเดิน) และใช้พารามิเตอร์ของตัวควบคุมพีไอที่ได้จากการคำนวณในบทที่ 4 (ออกแบบด้วยวิธีการคำนวณแบบ ATS) เพื่อนำผลมาเปรียบเทียบสมรรถนะของการควบคุม จากผลการทดสอบพบว่าการควบคุมโดยใช้พารามิเตอร์ของตัวควบคุมพีไอที่ได้จากการออกแบบ ATS ให้ประสิทธิภาพควบคุมที่ดีกว่าตัวควบคุมพีไอที่ได้จากการออกแบบดึงเดิน และผลที่ได้จากการทดสอบยังพบว่ามีความสอดคล้องกันกับผลที่ได้จากการจำลองสถานการณ์ในบทที่ 4 คือ การควบคุมโดยใช้ค่าพารามิเตอร์ของตัวควบคุมพีไอจากการคำนวณด้วยวิธีแบบ ATS ให้สมรรถนะการควบคุมที่ดีกว่าการควบคุมโดยใช้ตัวควบคุมที่ได้จากการออกแบบด้วยวิธีการแบบดึงเดิน

8.2 ข้อเสนอแนะ

- ควรหาค่าพารามิเตอร์ของมอเตอร์ที่ใช้ควบคุมจากบริษัทผู้ผลิตเพื่อให้ได้ค่าพารามิเตอร์ที่มีความถูกต้องแม่นยำ เนื่องจากการทดสอบหากค่าพารามิเตอร์ของมอเตอร์อาจจะได้ค่าที่ไม่ถูกต้องเท่าที่ควร เพราะการควบคุมแบบเวกเตอร์ทางอ้อมจำเป็นต้องทราบค่าพารามิเตอร์ของมอเตอร์ที่นำมาควบคุมที่มีความถูกต้องตามความเป็นจริงจะให้สมรรถนะของการควบคุมที่ดี

- ควรสร้างกล่องเหล็กให้กับอินเวอร์เตอร์สามเฟสเพื่อป้องกันสัญญาณรบกวนที่ออกมาจากอินเวอร์เตอร์ เนื่องจากสัญญาณรบกวนดังกล่าวจะส่งผลให้การทำงานในส่วนของการรับค่าเข้าไปยังไมโครคอนโทรลเลอร์

- ควรใช้การสร้างสัญญาณ PWM แบบ Space-Vector Pulse Width Modulation (SVPWM) เพื่อจะได้แรงดันที่ออกจากอินเวอร์เตอร์เพิ่มขึ้นอีก 15% เนื่องแรงดัน $V_{DC,Inverter}$ ไม่เพียงพอที่จะทำให้ได้แรงดันระหว่างสายที่ออกจากอินเวอร์เตอร์เท่า $380 V_{rms}$

- ควรจะมีการคำนวณค่าพารามิเตอร์ R_r และ L_r ตลอดเวลาของการควบคุม เนื่องจากพารามิเตอร์ดังกล่าวมีการเปลี่ยนตามอุณหภูมิและช่วงเวลาการใช้งาน ซึ่งเมื่อพารามิเตอร์ที่ใช้ในการประมวลผลการควบคุมมีค่าผิดเพี้ยนเป็นจากค่าพารามิเตอร์จริงของมอเตอร์มาก ๆ จะส่งผลให้การควบคุมทำงานได้ไม่ดีเท่าที่ควร

รายการอ้างอิง

- Krause, P.C., Wasynczuk, O., Sudhoff, S.D., Pekarek, S. (2013) Analysis of Electric Machinery and Drive Systems. **IEEE Press Series on Power Engineering**
- Tripathi, R.K., Ahmad, I. (2012) Indirect field oriented control (IFOC) of induction motor using SVPWM fed with Z-source inverter. **Engineering and Systems (SCES) Conf.** : 1-5.
- Gaeid, K.S., Hew Wooi Ping, Mohamed H.A.F. (2009) Indirect vector control of a variable frequency induction motor drive. **Instrumentation, Communications, Information Technology, and Biomedical Engineering (ICICI-BME), International Conf.** : 36-40.
- Espina, J., Arias, A., Balcells, J., Ortega, C. (2009) Speed Anti-Windup PI strategies review for Field Oriented Control of Permanent Magnet Synchronous Machines. **Compatibility and Power Electronics, CPE '09.** : 279-285.
- Puangdownreong, D., Areerak, K.-N., Srikaew, A., Sujitjorn, S. (2002) System identification via Adaptive Tabu Search. **IEEE Int. Conf. Industrial Technology ICIT '02.** 2 : 915-920.
- Glover, F. (1989). Tabu Search. **ORSA Journal on Computing** 1(2) : 190–206.
- Chen Wei, Yang Rong Feng, Yu Yong, Wang Gao Lin, (2008) A novel stability improvement Method for V/F controlled induction motor drive systems. **Electrical Machines and Systems, ICEMS. Int. Conf.** : 1073-1076.
- Ben-Brahim, L., (1998) Improvement of the stability of the V/f controlled induction motor drive systems. **IEEE Proc. Conf. Industrial Electronics Society. IECON '98.** 2 : 859 – 864.
- Munoz-Garcia, A., Lipo T.A., Novotny D.W. (1998) A new induction motor V/f control method capable of high-performance regulation at low speeds. **IEEE Trans. Industry Applications.** 34(4) : 813 - 821.
- Jee-Hoon Jung, Gang-Youl Jeong, Bong-Hwan Kwon (2004) Stability improvement of V/f-controlled induction motor drive systems by a dynamic current compensator. **IEEE Trans. Industrial Electronics.** 51(4) : 930 – 933.
- Suzuki,K., Saito Suzuo, Kudor Toshiaki, Tanaka, A. (2006) Stability Improvement of V/F Controlled Large Capacity Voltage-Source Inverter Fed Induction Motor. **Industry Applica-**

- tions Conf. 41st IAS Annual Meeting. 1 : 90 – 95.
- Tsuji,M., Chen, S., Hamasaki S., Xiaodan Zhao (2008) A novel V/f control of induction motors for wide and precise speed operation. **Power Electronics, Electrical Drives, Automation and Motion, Int. Symposium** : 1130 – 1135.
- Rongfeng Yang, Wei Chen, Yong Yu, Dianguo Xu (2008) A novel V/F control system based on stator voltage oriented method. **Electrical Machines and Systems. ICEMS. Int. Conf.** : 83 – 87
- Bonanno, C.J., Zhen, L., Longya Xu (1995) A direct field oriented induction machine drive with robust flux estimator for position sensorless control. **Industry Applications Conf. Thirtieth IAS Annual Meeting. IAS '95.** 1 : 166 – 173.
- Yamada, T., Matsuse, K., Sasagawa K. (1996) Sensorless control of direct-field-oriented induction motor operating at high efficiency using adaptive rotor flux observer. **Industrial Electronics, Control, and Instrumentation, Proc. IEEE IECON 22nd Int. Conf.** 2 : 1149 – 1154.
- Huangsheng Xu, Zheng Zhang, Layne Heilman (2005) Sensorless direct field oriented control of three-phase induction motors based on "sliding mode" for washing machine drive applications. **Industry Applications Conf. Fourtieth IAS Annual Meeting.** 1 : 77 - 83
- Reed, D.M., Hofmann, H.F. (2010) Direct field-oriented control of an induction machine using an adaptive rotor resistance estimator. **IEEE. Energy Conversion Congress and Exposition (ECCE)** : 1158 – 1165.
- Kerkman, R.J., Rowan, T.M., Leggate, D. (1992) Indirect field-oriented control of an induction motor in the field-weakening region. **IEEE Trans. Industry Applications.** 28(4) : 850 –857.
- Shieh, H.-J., Shyu, K.-K., Lin, F.-J. (1998) Adaptive estimation of rotor time constant for indirect field-oriented induction motor drive. **IEEE Proc. Electric Power Applications.** 145(2) : 11 – 118.
- Chakraborty, C., Hori Y. (2003) Fast efficiency optimization techniques for the indirect vector-controlled induction motor drives. **IEEE Trans. Industry Applications.** 39(4) : 1070 – 1076.
- Yu Zhang, Zhenhua Jiang, Xunwei Yu (2008) Indirect field-oriented control of induction machines based on synergetic control theory. **Power and Energy Society General Meeting – Conversion and Delivery of Electrical Energy in the 21st Century IEEE** : 1-7
- Hiware, R.S., Chaudhari, J.G. (2011) Indirect Field Oriented Control for Induction Motor. **Emerging Trends in Engineering and Technology (ICETET). 4th Int. Conf.** : 191-194

- Kulworawanichpong, T., Areerak, K-L., Areerak, K-N., Sujitjorn, S. (2004) Harmonic Identification for Active Power Filters Via Adaptive Tabu Search Method. **Int. Conf.** : 687 - 694
- Chaijarurnudomrung, K., Areerak, K-N., Areerak, K-L., Srikaew, A. (2011) The controller design of three-phase controlled rectifier using an adaptive tabu search algorithm. **Electrical Engineering/Electronics, Computer, Telecommunications and Information Technology (E CTI-CON), 8th Int. Conf.** : 605 - 608
- Udomsuk, S., Areerak, K.-L., Areerak, K.-N., Srikaew, A. (2010) Parameters identification of separately excited DC motor using adaptive tabu search technique. **Advances in Energy Engineering (ICAEE), Int. Conf.** : 48 - 51



ภาคผนวก ก

รายละเอียดเพิ่มเติมสำหรับการพิสูจน์หาแบบจำลองทางคณิตศาสตร์
ของมอเตอร์เหนี่ยวน้ำสามเฟส

จากสมการที่ (2-19) สามารถแสดงที่มาได้ดังนี้

$$[\mathbf{T}_{dq0}] \left(\frac{d}{dt} [\mathbf{T}_{dq0}]^{-1} \right) = \frac{2}{3} \omega [\mathbf{A}] [\mathbf{B}]$$

เมื่อ $[\mathbf{A}] = \begin{bmatrix} \cos \theta & \cos(\theta - \frac{2\pi}{3}) & \cos(\theta + \frac{2\pi}{3}) \\ -\sin \theta & -\sin(\theta - \frac{2\pi}{3}) & -\sin(\theta + \frac{2\pi}{3}) \\ \frac{1}{2} & \frac{1}{2} & \frac{1}{2} \end{bmatrix}$

$$[\mathbf{B}] = \begin{bmatrix} -\sin \theta & -\cos \theta & 0 \\ -\sin\left(\theta - \frac{2\pi}{3}\right) & -\cos\left(\theta - \frac{2\pi}{3}\right) & 0 \\ -\sin\left(\theta + \frac{2\pi}{3}\right) & -\cos\left(\theta + \frac{2\pi}{3}\right) & 0 \end{bmatrix}$$

$$[\mathbf{T}_{dq0}] \left(\frac{d}{dt} [\mathbf{T}_{dq0}]^{-1} \right) = \frac{2}{3} \omega \begin{bmatrix} T_{11} & T_{12} & T_{13} \\ T_{21} & T_{22} & T_{23} \\ T_{31} & T_{32} & T_{33} \end{bmatrix}$$

จะได้ $T_{11} = -\sin \theta \cos \theta - \sin\left(\theta - \frac{2\pi}{3}\right) \cos\left(\theta - \frac{2\pi}{3}\right) - \sin\left(\theta + \frac{2\pi}{3}\right) \cos\left(\theta + \frac{2\pi}{3}\right)$
 $= -\left[\sin \theta \cos \theta + \sin\left(\theta - \frac{2\pi}{3}\right) \cos\left(\theta - \frac{2\pi}{3}\right) \right]$
 $= -\left[+\sin\left(\theta + \frac{2\pi}{3}\right) \cos\left(\theta + \frac{2\pi}{3}\right) \right]$
 $= -\left[\frac{3}{2} \sin(\theta - \theta) \right] = 0$

$$T_{12} = -\cos \theta \cos \theta - \cos\left(\theta - \frac{2\pi}{3}\right) \cos\left(\theta - \frac{2\pi}{3}\right) - \cos\left(\theta + \frac{2\pi}{3}\right) \cos\left(\theta + \frac{2\pi}{3}\right)$$

$$\begin{aligned}
&= - \left[\cos \theta \cos \theta + \cos \left(\theta - \frac{2\pi}{3} \right) \cos \left(\theta - \frac{2\pi}{3} \right) \right. \\
&\quad \left. + \cos \left(\theta + \frac{2\pi}{3} \right) \cos \left(\theta + \frac{2\pi}{3} \right) \right] \\
&= - \left[\frac{3}{2} \cos(\theta - \theta) \right] = - \frac{3}{2}
\end{aligned}$$

$$T_{13} = 0$$

$$\begin{aligned}
T_{21} &= \sin \theta \sin \theta + \sin \left(\theta - \frac{2\pi}{3} \right) \sin \left(\theta - \frac{2\pi}{3} \right) + \sin \left(\theta + \frac{2\pi}{3} \right) \sin \left(\theta + \frac{2\pi}{3} \right) \\
&= \left[\frac{3}{2} \cos(\theta - \theta) \right] = \frac{3}{2}
\end{aligned}$$

$$\begin{aligned}
T_{22} &= \cos \theta \sin \theta + \cos \left(\theta - \frac{2\pi}{3} \right) \sin \left(\theta - \frac{2\pi}{3} \right) + \cos \left(\theta + \frac{2\pi}{3} \right) \sin \left(\theta + \frac{2\pi}{3} \right) \\
&= \left[\frac{3}{2} \sin(\theta - \theta) \right] = 0
\end{aligned}$$

$$T_{23} = 0$$

$$\begin{aligned}
T_{31} &= -\frac{1}{2} \sin \theta - \frac{1}{2} \sin \left(\theta - \frac{2\pi}{3} \right) - \frac{1}{2} \sin \left(\theta + \frac{2\pi}{3} \right) \\
&= -\frac{1}{2} \left[\sin \theta + \sin \theta \cos \frac{2\pi}{3} - \cos \theta \sin \frac{2\pi}{3} \right. \\
&\quad \left. + \sin \theta \cos \frac{2\pi}{3} + \cos \theta \sin \frac{2\pi}{3} \right] = 0
\end{aligned}$$

$$\begin{aligned}
T_{32} &= -\frac{1}{2} \cos \theta - \frac{1}{2} \cos \left(\theta - \frac{2\pi}{3} \right) - \frac{1}{2} \cos \left(\theta + \frac{2\pi}{3} \right) \\
&= -\frac{1}{2} \left[\cos \theta + \cos \theta \cos \frac{2\pi}{3} + \sin \theta \sin \frac{2\pi}{3} \right. \\
&\quad \left. + \cos \theta \cos \frac{2\pi}{3} - \sin \theta \sin \frac{2\pi}{3} \right] = 0
\end{aligned}$$

$$T_{33} = 0$$

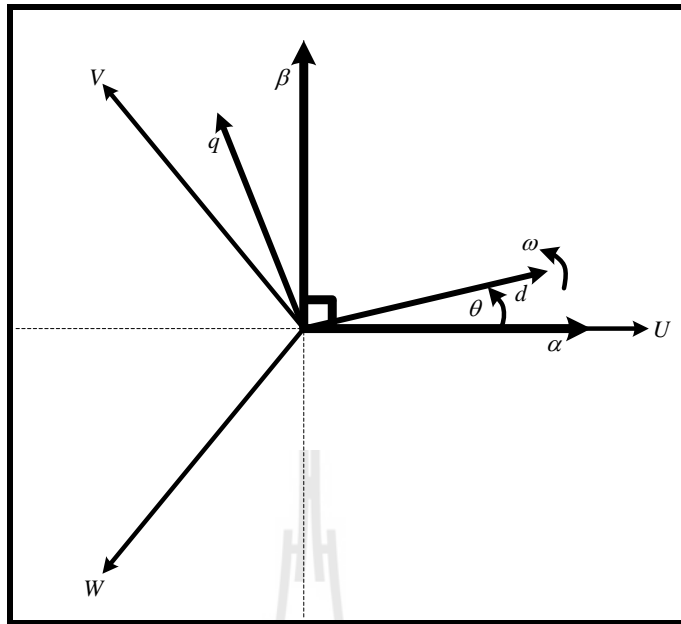
ສຸດທ້າຍແລ້ວຈະໄດ້ວ່າ

$$[\mathbf{T}_{dq0}] \left(\frac{d}{dt} [\mathbf{T}_{dq0}]^{-1} \right) = \frac{2}{3} \omega \begin{bmatrix} 0 & -\frac{3}{2} & 0 \\ \frac{3}{2} & 0 & 0 \\ 0 & 0 & 0 \end{bmatrix} = \omega \begin{bmatrix} 0 & -1 & 0 \\ 1 & 0 & 0 \\ 0 & 0 & 0 \end{bmatrix}$$



ภาคผนวก ข

รายละเอียดเพิ่มเติมสำหรับการพิสูจน์การแปลงແກນของฟลักซ์ที่ໂຣເຕອຣ໌ເມື່ອມູນຖິ່ໃຊ້
ໃນກາຮມູນແກນບນພົມຂອງໂຣເຕອຣ໌



รูปที่ ๖.๑ ไดอะแกรมการแตกแรง

$$\psi_{rU} = \psi_{rm} \cos(\omega t)$$

$$\psi_{rV} = \psi_{rm} \cos(\omega t - \frac{2\pi}{3})$$

$$\psi_{rW} = \psi_{rm} \cos(\omega t + \frac{2\pi}{3})$$

การแปลงแกนจาก $3\phi - \alpha\beta$

$$f_\alpha = f_m \cos \phi - \frac{1}{2} f_m \cos(\phi - \frac{2\pi}{3}) - \frac{1}{2} f_m \cos(\phi + \frac{2\pi}{3})$$

$$f_\alpha = \frac{3}{2} k \times f_m \cos \phi$$

$$f_\beta = 0 \times f_m \cos \phi + \frac{\sqrt{3}}{2} f_m \cos(\phi - \frac{2\pi}{3}) - \frac{\sqrt{3}}{2} f_m \cos(\phi + \frac{2\pi}{3})$$

$$f_\alpha = \frac{3}{2} k \times f_m \sin \phi$$

ดังนั้น $\psi_{ra} = \frac{3}{2} k \times \psi_{rm} \cos \phi$

$$\psi_{r\beta} = \frac{3}{2} k \times \psi_{rm} \sin \phi$$

เมื่อ $k = \frac{2}{3}$

การแปลงแกนจาก $\alpha\beta-dq$

$$f_d = \frac{3}{2} k \times f_m \cos \phi \times \cos \theta + \frac{3}{2} k \times f_m \sin \phi \sin \theta$$

$$f_d = \frac{3}{2} k \times f_m (\cos \phi \times \cos \theta + \sin \phi \sin \theta) \quad \text{เมื่อ } \phi = \theta$$

$$f_d = \frac{3}{2} k \times f_m$$

$$f_q = \frac{3}{2} k \times f_m \cos \phi \times (-\sin \theta) + \frac{3}{2} k \times f_m \sin \phi \cos \theta$$

$$f_q = \frac{3}{2} k \times f_m (-\cos \phi \times \sin \theta + \sin \phi \cos \theta) \quad \text{เมื่อ } \phi = \theta$$

$$f_d = 0$$

ดังนั้น

$$\psi_{rd} = \frac{3}{2} k \times \psi_{rm}$$

$$\psi_{rq} = 0$$

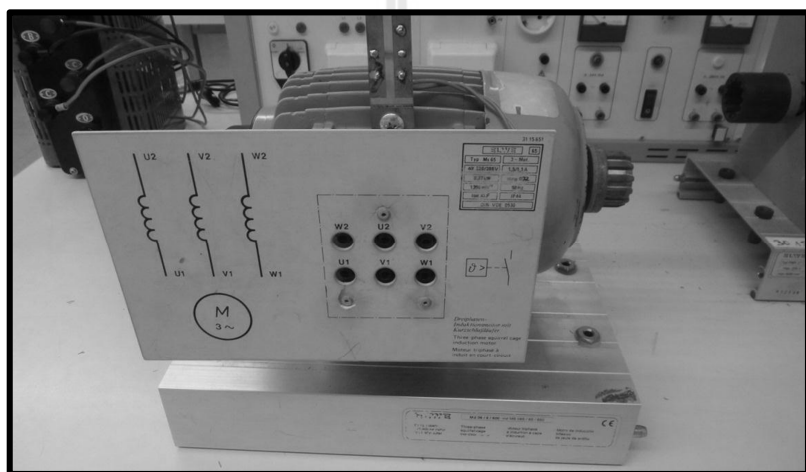
ภาคผนวก ค

การหาก้าวพารามิเตอร์ของมอเตอร์เหนี่ยวนำสามเฟส

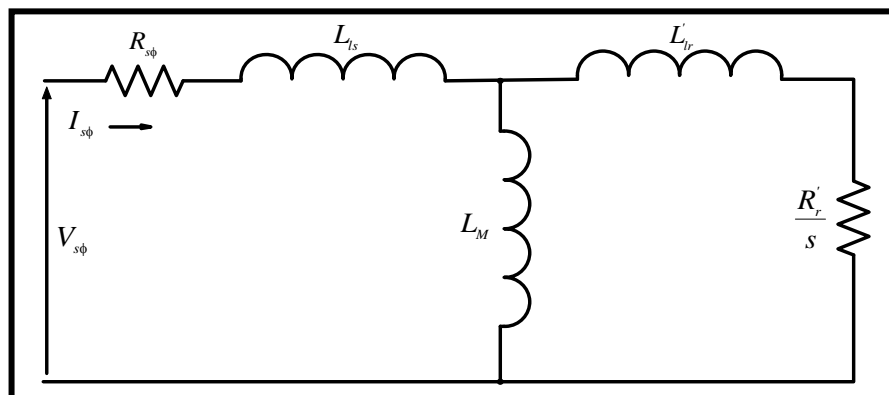
มหาวิทยาลัยเทคโนโลยีสุรินทร์

การหาค่าพารามิเตอร์ของมอเตอร์เหนี่ยวนำสามเฟส

การทดสอบเพื่อหาค่าพารามิเตอร์ของมอเตอร์เหนี่ยวนำสามเฟส (ซึ่งได้แสดงรูปแบบต่อที่ใช้ทดสอบหาค่าพารามิเตอร์ดังรูปที่ ค.1 โดยมีการทดสอบอยู่ 3 แบบคือ 1) การทดสอบกระแสตรงซึ่งเรียกว่าวอลต์-แอมป์ (volt – amp method) หรืออาจใช้มิเตอร์วัดค่าความต้านทานที่ขดลวด สเตเตอร์ โดยตรง 2) การทดสอบสภาพว่างหอด (no load test) และ 3) การทดสอบยึดโรเตอร์ (locked-rotor test or blocked-rotor test) วงจรสมมูลของมอเตอร์เหนี่ยวนำสามเฟสที่ใช้อ้างอิงสำหรับการหาพารามิเตอร์แสดงได้ดังรูปที่ ค.2



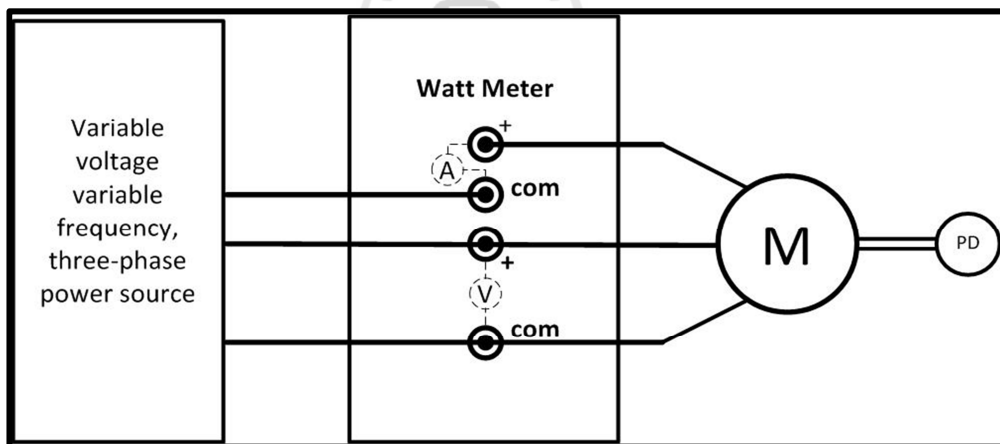
รูปที่ ค.1 มอเตอร์เหนี่ยวนำสามเฟสที่ใช้ในการหาค่าพารามิเตอร์



รูปที่ ค.2 วงจรสมมูลของมอเตอร์เหนี่ยวนำสามเฟส

1) การทดสอบกระแสตรงใช้วิธีการป้อนไฟกระแสตรงเข้าที่ขดลวดสเตเตอเร็กซ์ของมอเตอร์แล้ววัดกระแสและแรงดันที่ป้อนให้ขดลวดสเตเตอเร็กซ์จากความสัมพันธ์ของกระแสและแรงดันที่ป้อนให้ขดลวดสเตเตอเร็กซ์คำนวณค่าความต้านทานที่ขดลวดสเตเตอเร็กซ์ R_s ได้ (ในการทดสอบนี้ค่า ริแอคเวนซ์จะมีค่าเป็นศูนย์ เพราะเป็นการทดสอบกระแสตรง) อย่างไรก็ตาม ค่าความต้านทานที่ได้จะขึ้นอยู่กับการต่อขดลวดทดสอบของมอเตอร์ด้วยว่าต่อแบบ Y หรือ Δ แต่ในการทดสอบนี้จะใช้มิตอเร็วัดความค่าต้านทานที่ขดลวดสเตเตอเร็กซ์เพื่อความสะดวกในการวัดและค่าที่ได้ก็ใกล้เคียงกับการทดสอบกระแสตรง

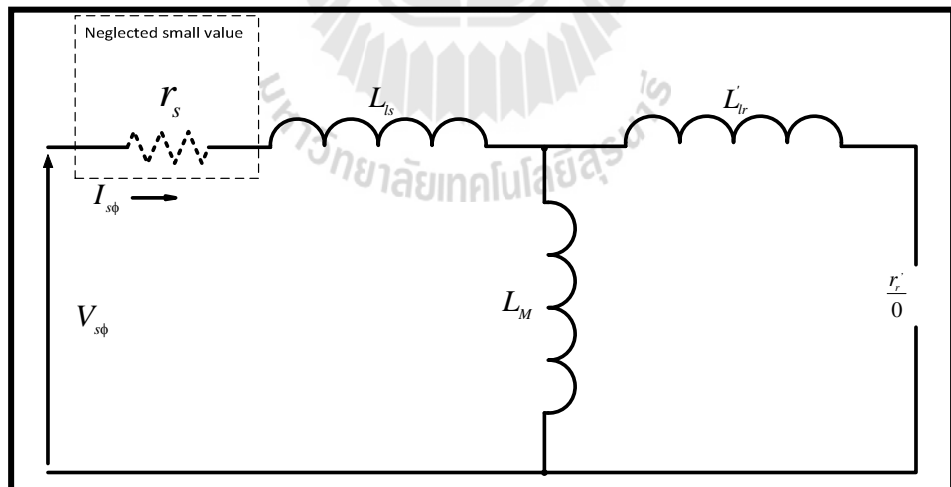
2) การทดสอบสภาพไฟฟ้าโดยไม่มีการขับไฟฟ้าที่เพลารองมอเตอร์ จึงประมาณได้ว่า $s \approx 0$ ดังนั้น กำลังไฟฟ้าที่จ่าย (P_{in}) ก็คือกำลังสูญเสียในขดลวดสเตเตอเร็กซ์ ($P_{SCL} = 3I_s^2 r_s$) บวกกับกำลังงานที่อาจนำการหมุนตัวเปล่า ($P_{rot} = P_{core} + P_{F+W} + P_{stray}$) ซึ่งในการศึกษานี้จะถือว่าค่ากำลังงานสูญเสียนี้คงที่ตลอดย่านการทำงาน ถึงแม้ว่ากำลังงานสูญเสียบางตัวจะเปลี่ยนแปลงไปตามสภาพการทำงาน ไฟฟ้าที่ตาม วงจรที่ใช้ในการทดสอบแสดงได้ดังรูปที่ ค.3 ซึ่งใช้แหล่งจ่ายสามเฟสแบบปรับค่าได้และวัตต์มิตอเรอร์รุ่น PX-120 และได้ดังรูปที่ ค.4



รูปที่ ค.3 วงจรทดสอบในสภาพไฟฟ้า



รูปที่ ค.4 PX 120 Watt meter



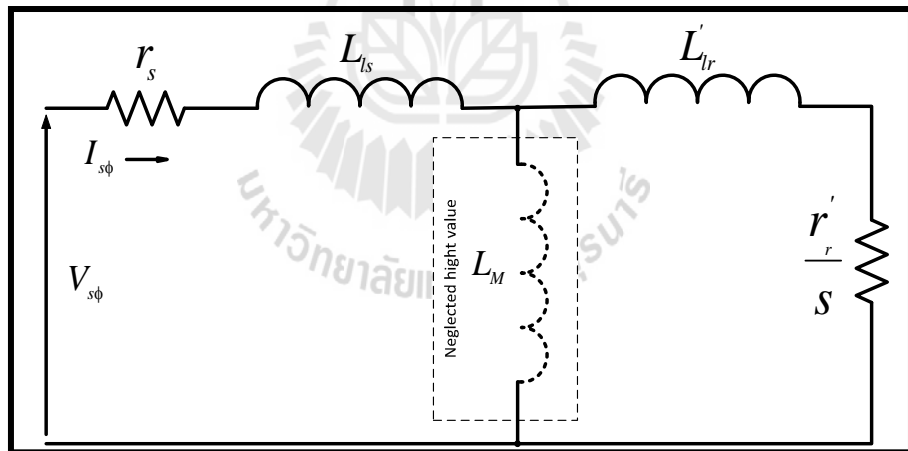
รูปที่ ค.5 วงจรสมมูลของมอเตอร์ที่สภาวะไร์โอลด

จากการทดสอบที่สภาวะไร์โอลดจะทำให้ได้วงจรสมมูลของมอเตอร์ดังรูปที่ ค.5 ซึ่งทำให้ได้ X_{ls} และ X_M ดังสมการที่ (ค-1)

$$Z_{nl} = \frac{V_{s\phi}}{I_{s\phi}} \approx X_{ls} + X_M \quad (\text{ค-1})$$

เมื่อ $L_{ls} = \frac{X_{ls}}{2\pi f}$
 $L_M = \frac{X_M}{2\pi f}$

3) การทดสอบยึดโรเตอร์ วงจรที่ใช้ในการทดสอบเหมือนกับวงจรที่ใช้ในการทดสอบที่สภาวะไร้โหลดทุกประการ แต่จะต่างกันที่จะจับยึดโรเตอร์ไว้ไม่ให้หมุน เมื่อทำการป้อนไฟจากแหล่งจ่ายเข้าไปที่ขดลวดสเตเตอร์สลิป $s = 1$ ค่า R_r'/s จึงมีค่าเท่ากับ R_r' และค่า X_M กำหนดให้มีค่ามากจึงไม่นำมาพิจารณา ดังนั้น วงจรสมมูลของมอเตอร์ก็จะเป็นเพียงการอนุกรมกันของค่า X_{ls} , R_s , X_{lr}' และ R_r' ซึ่งก็คล้ายกับการทดสอบลัดวงจร (short circuit test) ของหม้อแปลงไฟฟ้าแสดงได้ดังรูปที่ ค.6 จากการทดสอบจึงได้ความสัมพันธ์ดังนี้



รูปที่ ค.6 วงจรสมมูลของมอเตอร์เหน็บยาน้ำสามเฟสที่สภาวะยึดโรเตอร์

เมื่อ $\cos\theta$ ได้จากการวัดด้วยวัตต์มิเตอร์ (รุ่น PX-120 Watt meter)

$$r_{eq} = r_s + r_r' = \frac{V_{s\phi}}{I_{s\phi}} \cos\theta \quad (\text{ค-2})$$

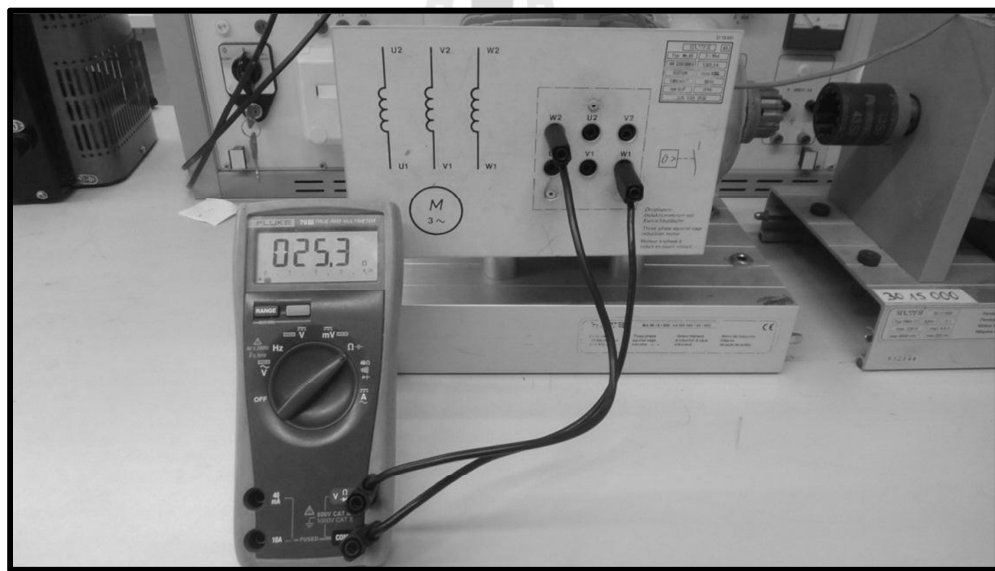
$$X_{eq} = X_{ls} + X_{lr} = \frac{V_{s\phi}}{I_{s\phi}} \sin\theta \quad (\text{ค-3})$$

ในการทดสอบบางครั้งอาจจะป้อนแหล่งจ่ายด้วยความถี่ที่ไม่เท่ากันกับความถี่พิกัดในกรณีเช่นนี้ ค่ารีแอคแทนซ์ที่ได้ต้องมีการปรับคุณด้วยอัตราส่วนระหว่างความถี่พิกัด (f_{rated}) กับความถี่ที่ทดสอบ (f_{test}) จึงได้

$$X_{LR} = \frac{f_{rated}}{f_{test}} X'_{LR} = X_{ls} + X'_{lr} \quad (\text{ค.4})$$

ขั้นตอนการทดสอบเพื่อหาค่าพารามิเตอร์ของมอเตอร์เหนี่ยวนำสามเฟส

หาค่าความต้านทานของขดลวดสเตเตอร์โดยใช้มิเตอร์วัดค่าความต้านทานของขดลวดทั้งสามเฟส โดยการวัดค่าความต้านทานที่ลําไฟฟ้า ซึ่งจะง่ายที่จะใช้ในการทดสอบจริงแสดงได้ดังรูปที่ ค.7 โดยได้แสดงผลที่ได้จากการวัดดังตารางที่ ค.1

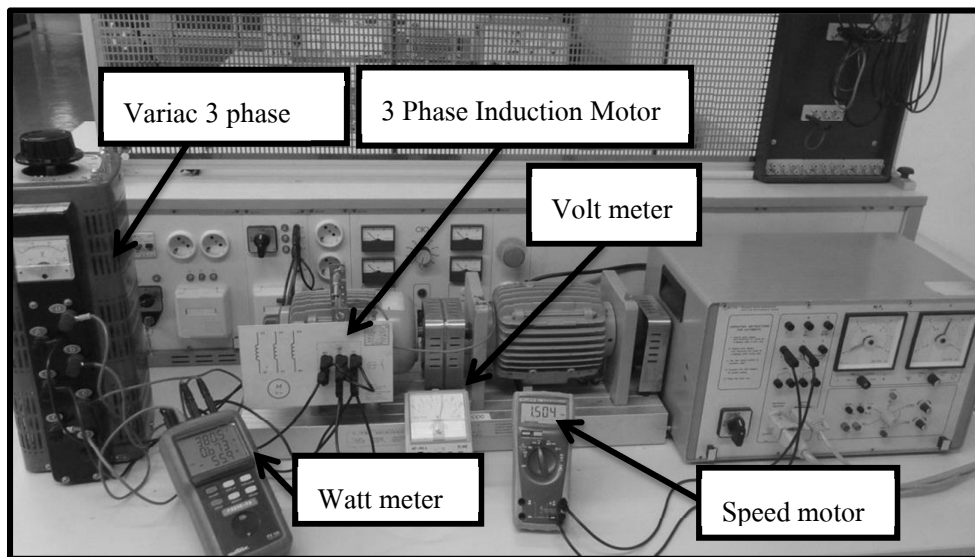


รูปที่ ค.7 การต่อวัดค่าความต้านทานที่ขดลวดสเตเตอร์

ตารางที่ ค.1 จากผลการทดสอบค่า R_s แสดงได้ดังนี้

ขดลวด	หน่วยโอห์ม (Ω)
W	24.8
U	25.1
V	25.5
$R_{s,avg}$	25.13

การทดสอบที่สภาวะ ไร์โอลด์ โดยต่อวงจรตามรูปที่ ค.3 ซึ่งได้แสดงการต่อวงจรริงดังรูปที่ ค.8 (การต่อขดลวดของมอเตอร์เป็นการต่อแบบ Y) จ่ายไฟให้มอเตอร์ที่แรงดันพิกัด ($380 V_{LL}$) แล้วบันทึกค่าต่าง ๆ ดังตารางที่ ค.2 (แหล่งจ่ายมีความถี่ 50 Hz)



รูปที่ ค.8 การต่อวงจรการทดสอบจริง

ตารางที่ ค.2 ผลของการทดสอบแบบไร์โอลด์

$V_{s\phi}$	219.5 V
$I_{s\phi}$	0.663 A

จากสมการที่ (ค-1) จะได้ว่า

$$Z_{nl} = \frac{219.5}{0.663} \approx X_{ls} + X_M$$

$$X_{ls} + X_M \approx 331.071$$

$$L_{ls} + L_M \approx \frac{331.071}{2\pi f} \approx 1.0538 \quad (\text{ค-5})$$

ทดสอบสภาพยึดโรเตอร์ซึ่งวงจรที่ใช้ทดสอบเหมือนกับการทดสอบที่สภาพไร้โหลดและได้แสดงรูปวงจรที่ใช้ทดสอบดังรูปที่ ค.8 เริ่มจากไฟให้มอเตอร์ที่แรงดันต่าง ๆ โดยยึดไม่ให้ โรเตอร์หมุนแล้วบันทึกค่าดังตารางที่ ค.3 ดังนี้

ตารางที่ ค.3 ผลการทดสอบแบบยึดโรเตอร์

ครั้งที่	1	2	3	4	5	6	7	8	อธิบาย
$V_{s\phi}$	16.12	22.79	30.47	41	51	60.8	70.3	79.3	ค่าที่ได้จาก การวัดด้วย วัตต์มิเตอร์
$I_{s\phi}$	0.23	0.327	0.427	0.57	0.716	0.844	0.976	1.113	
PF	0.65	0.65	0.65	0.64	0.64	0.64	0.64	0.64	
R_{eq}	45.6	45.3	46.38	46.04	45.59	46.10	46.10	46.31	ค่าที่ได้จาก การคำนวณ
X_{eq}	53.26	52.69	54.23	55.27	54.73	52.69	55.35	54.14	

ซึ่งค่า R_{eq} และ X_{eq} คำนวณได้จากสมการที่ (ค-2) และ (ค-3) ตามลำดับ จากตารางผลการทดสอบคำนวณหาค่าเฉลี่ย R_{eq} และ X_{eq} ได้ดังต่อไปนี้

$$R_{eq,avg} = 45.92 \Omega$$

$$X_{eq,avg} = 54.41 \Omega$$

จากสมการที่ (ค-2) และ (ค-3) สามารถคำนวณหา R_r L_{ls} และ L_{lr} ได้ดังนี้

$$R_r = R_{eq,avg} - R_s = 20.79 \Omega$$

$$L_{eq,avg} = \frac{X_{eq,avg}}{2\pi f} = \frac{54.41}{100\pi} = 0.173 H$$

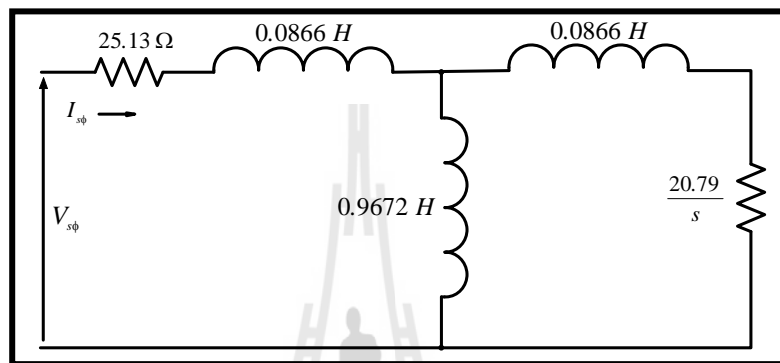
ส่วนมากการออกแบบมอเตอร์เห็นว่านำสามเฟสจะให้ $L_{ls} = L_{lr}$ (Motor design Class A) ดังนั้น จะได้

$$L_{ls} = L_{lr} = \frac{0.173}{2} = 0.0866 H$$

จากสมการที่ (ค-5) คำนวณ L_M ได้ดังนี้

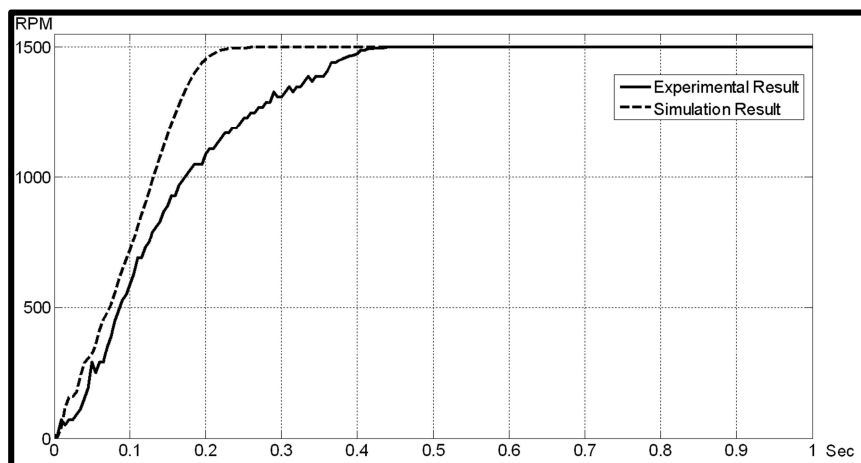
$$L_M = 1.0538 - 0.0866 = 0.9672 \text{ H}$$

จากการทดสอบจะได้ค่าพารามิเตอร์ของมอเตอร์เหล่านี้ยังสามเฟสแสดงได้ดังรูปที่ ค.9

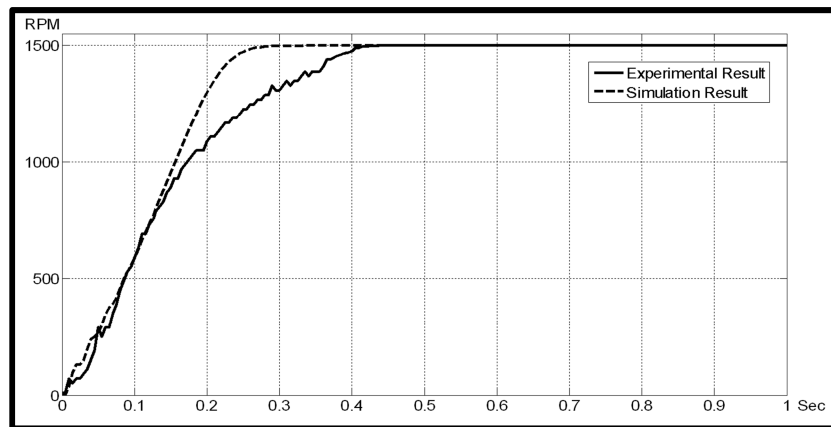


รูปที่ ค.9 ค่าพารามิเตอร์ที่ได้จากการทดสอบ

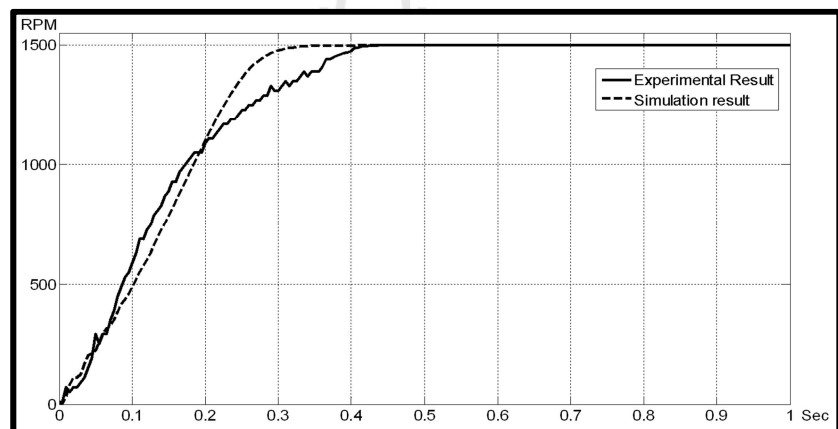
ในการทดสอบเพื่อหาค่าโมเมนต์ความเร็ว (J) ซึ่งหาได้จากการจำลองการทำงานของมอเตอร์บนโปรแกรม MATLAB โดยการสุ่มค่าโมเมนต์ความเร็วไปเรื่อยๆ จนได้ค่าที่ใกล้เคียงกับค่าจริงมากที่สุด กราฟแสดงผลวัดของความเร็วของมอเตอร์ที่เปรียบเทียบกันระหว่างการทดสอบจริงกับการจำลองสถานการณ์นักคอมพิวเตอร์ที่ค่า J ต่างๆ แสดงได้ดังรูปที่ ค.10 – ค.17



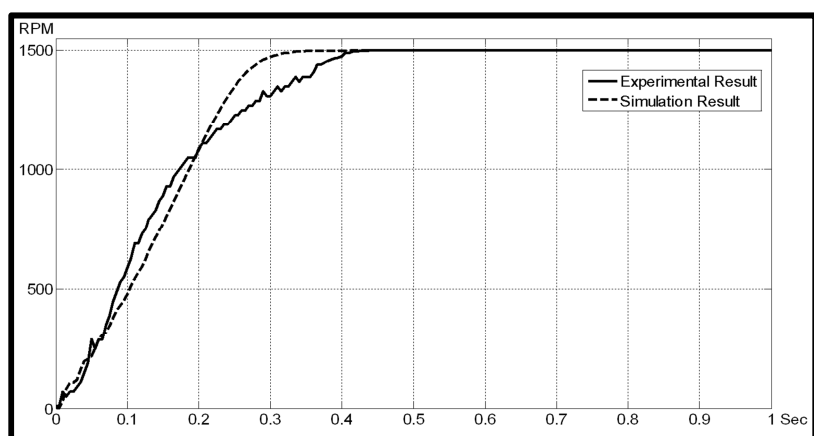
รูปที่ ค.10 ความเร็วของมอเตอร์ขณะเริ่มเดินเครื่องจนถึงสภาวะคงที่ใช้ค่า $J = 0.0050 \text{ Kg.m}^2$



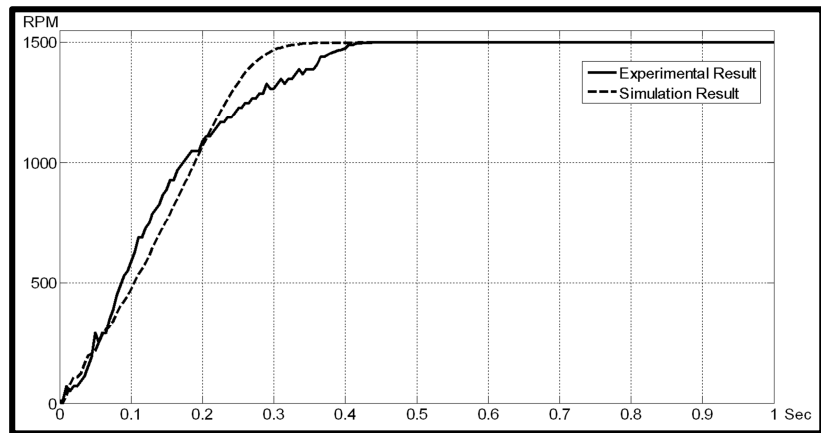
รูปที่ ค.11 ความเร็วของมอเตอร์ขณะเริ่มเดินเครื่องจนถึงสภาวะคงที่ใช้ค่า $J = 0.0060 \text{ Kg.m}^2$



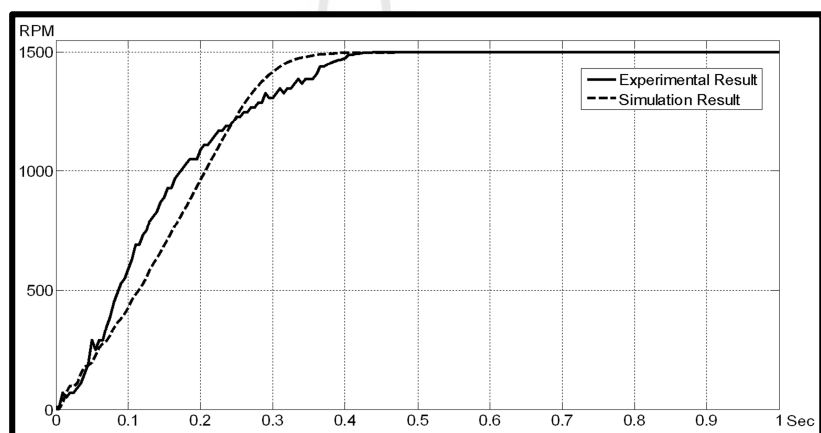
รูปที่ ค.12 ความเร็วของมอเตอร์ขณะเริ่มเดินเครื่องจนถึงสภาวะคงที่ใช้ค่า $J = 0.0071 \text{ Kg.m}^2$



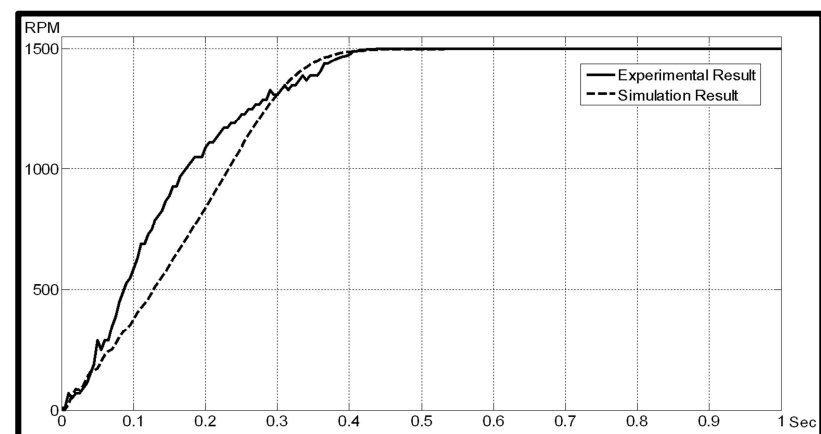
รูปที่ ค.13 ความเร็วของมอเตอร์ขณะเริ่มเดินเครื่องจนถึงสภาวะคงที่ใช้ค่า $J = 0.0072 \text{ Kg.m}^2$



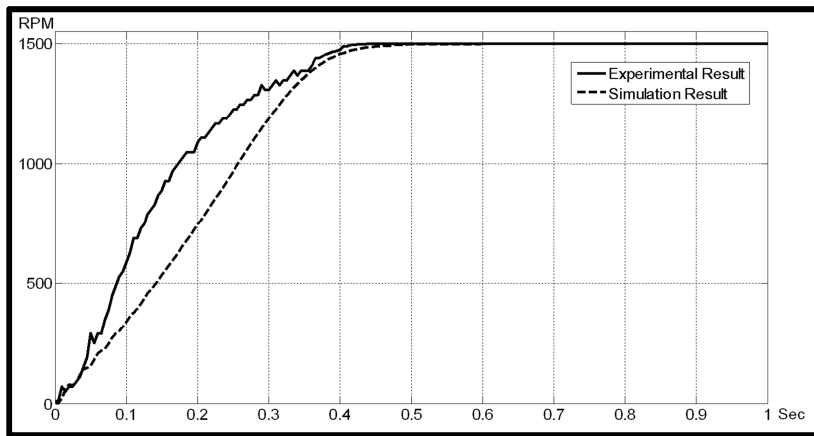
รูปที่ ค.14 ความเร็วของมอเตอร์ขณะเริ่มเดินเครื่องจนถึงสภาวะคงที่ใช้ค่า $J = 0.0073 \text{ Kg.m}^2$



รูปที่ ค.15 ความเร็วของมอเตอร์ขณะเริ่มเดินเครื่องจนถึงสภาวะคงที่ใช้ค่า $J = 0.0080 \text{ Kg.m}^2$



รูปที่ ค.16 ความเร็วของมอเตอร์ขณะเริ่มเดินเครื่องจนถึงสภาวะคงที่ใช้ค่า $J = 0.0090 \text{ Kg.m}^2$



รูปที่ ค.17 ความเร็วของมอเตอร์ขณะเริ่มเดินเครื่องจนถึงสภาวะคงที่ใช้ค่า $J = 0.01 \text{ Kg.m}^2$

นำกราฟที่ได้จากการทดลองสถานการณ์จริงและการจำลองสถานการณ์บนโปรแกรม MATLAB จากรูปที่ ค.10 – ค.17 มาคำนวนหาค่าความคลาดเคลื่อน (*Error*) ที่ค่า J ต่าง ๆ โดยอาศัยสมการที่ (ค-6) โดยได้แสดงผลที่ได้จากการคำนวนค่าความคลาดเคลื่อนดังตารางที่ ค.4

$$Error_{rms} = \sqrt{\sum_0^n \frac{Error^2}{n}} \quad (\text{ค-6})$$

เมื่อ $Error$ คือ ผลจากการทดสอบ – ผลจากการจำลองสถานการณ์บนคอมพิวเตอร์

n คือ จำนวนจุดที่ใช้คำนวนหา $Error$ ระหว่างผลที่ได้จากการทดสอบจริงเทียบกับผลที่ได้จากการจำลองสถานการณ์บนคอมพิวเตอร์

ตารางที่ ค.4 ความคลาดเคลื่อนที่ค่า J ต่าง ๆ แสดงได้ดังตารางต่อไปนี้

ค่า $J(\text{Kg.m}^2)$	$Error_{rms}$
0.0050	133.6506
0.0060	88.7716
0.0071	62.5591
0.0072	62.2108
0.0073	62.2548
0.0080	72.2228
0.0090	103.5759
0.0100	141.2045

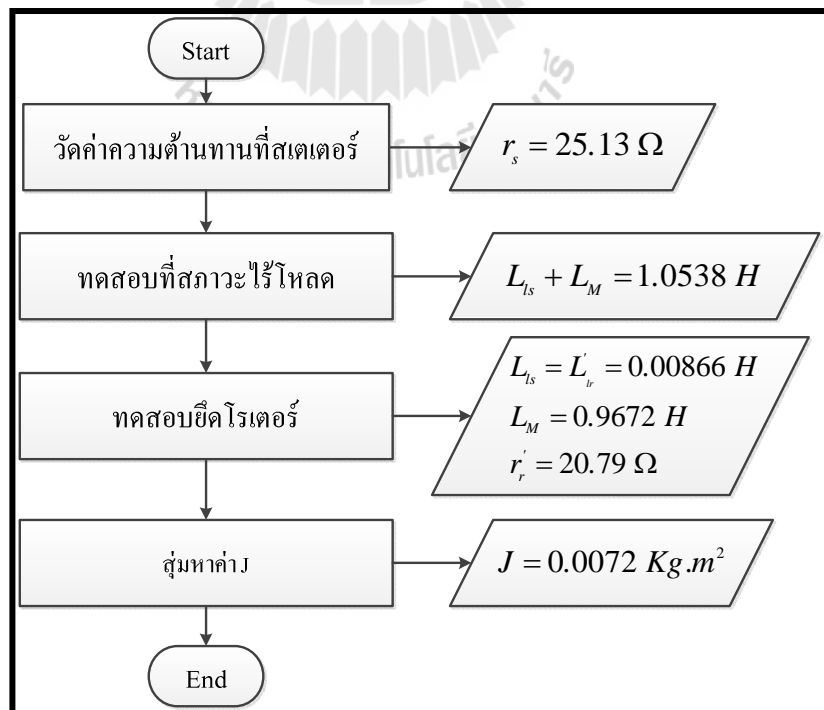
จากตารางที่ ค.4 สรุปได้ว่าที่ค่า $J = 0.0072 \text{ Kg.m}^2$ มีค่าความคลาดเคลื่อนต่างไปจากค่าความเป็นจริงน้อยที่สุด ดังนั้นจึงได้เลือกใช้ค่าโน้มnenต์ความเหลี่ยมที่ 0.0072 Kg.m^2 เป็นพารามิเตอร์ของมอเตอร์ดังกล่าว

ในการทดสอบวัดค่าความต้านทานที่ขดลวดสเตเตอเร่อร์ ทดสอบที่สภาวะไร้โหลด ทดสอบที่สภาวะขึ้ดโรเตอร์และการสุ่มหาค่า J สามารถแสดงค่าพารามิเตอร์ทั้งหมดดังตารางที่ ค.5

ตารางที่ ค.5 ค่าพารามิเตอร์ของมอเตอร์เหนี่ยวนำสามเฟสที่ได้จากการทดสอบ

R_s	25.13Ω
L_{ls}	0.00866 H
L_{lr}	0.00866 H
L_M	0.9672 H
r'_r	20.79Ω
J	0.0072 Kg.m^2

การทดสอบค่าหาพารามิเตอร์ของมอเตอร์เหนี่ยวนำสามเฟสสามารถสรุปเป็นໄດ้อะแกรมแสดงได้ดังรูปที่ ค.18



รูปที่ ค.18 ໄດ้อะแกรมของการหาค่าพารามิเตอร์ของมอเตอร์เหนี่ยวนำสามเฟส

ภาคผนวก ๑

โปรแกรมภาษาซีของการควบคุมแบบเวกเตอร์ทางอ้อมบน

บอร์ด DSP รุ่น eZdsp™ F28335

ໂປຣແກຣມຄວບຄຸມການທໍາງານແບບເວກເຕອຮ໌ທາງອ້ອມ

```
*****
#include "DSP28x_Project.h"    // Device Headerfile and Examples Include File
#include "DSP2833x_Device.h"    // Device Headerfile and Examples Include File
#include "DSP2833x_Examples.h"
#include "math.h"

// ADC start parameters

#if(CPU_FRQ_150MHZ)    // Default - 150 MHz SYSCLKOUT
#define ADC_MODCLK 0x3 // HSPCLK = SYSCLKOUT/2*ADC_MODCLK2
                      = 150/(2*3) = 25.0 MHz
#endif

#if(CPU_FRQ_100MHZ)
#define ADC_MODCLK 0x2 // HSPCLK = SYSCLKOUT/2*ADC_MODCLK2
                      = 100/(2*2) = 25.0 MHz
#endif

#define ADC_CKPS 0x0 // ADC module clock = HSPCLK/1 = 25.5MHz/(1) = 25.0 MHz
#define ADC_SHCLK 0x1 // S/H width in ADC module periods           = 2 ADC cycle
#define AVG      1000 // Average sample limit
#define ZOFFSET  0x00 // Average Zero offset
#define BUF_SIZE 1024 // Sample buffer size

// Prototype statements for functions found within this file.

void InitEPwm1Example(void);
void InitEPwm2Example(void);
void InitEPwm3Example(void);
interrupt void epwm1_isr(void);
interrupt void epwm2_isr(void);
interrupt void epwm3_isr(void);
interrupt void cpu_timer0_isr(void);
void Gpio_select(void);
void DACport(void);
void delay_loop(void);
```

```

void DACport(int16 kkk,int Chan);

Uint16 i;
Uint16 kkk;

// Global variables used in this example

Uint32 EPwm1TimerIntCount;
Uint32 EPwm2TimerIntCount;
Uint32 EPwm3TimerIntCount;
Uint16 EPwm1_DB_Direction;
Uint16 EPwm2_DB_Direction;
Uint16 EPwm3_DB_Direction;

// low pass filter
float Ia_filter = 0;
float Ib_filter = 0;
float SPEED_FILTER = 0;

// sampling time
float Ts = 0.0001;
int LOOP = 1;

// Variable speed
float errorspeed,Excess,Us;
float SPEED_COM = 50;
float SPEED_encoder_wm = 0;
int32 SPEED_encoder = 0;
float sum = 0;
float COUNTER = 0;

// tate
float we,sinwe,coswe;
float tate = 0;
int16 tate_point = 0;

// PI Iq
float Uq,Ud,errorq,errord,Vsqref,Vsdref,Excessq,Excessd;
float sumq = 0;
float sumd = 0;

```

```

float Iqref = 0;
float Idref = 0.4;
float Vsqref,Vsdref;
// Inverse Park transformation
int32 Va,Vb,Vc;
float zz,qq,oo,jj,gg,ee,ii,Vd,Vq,Va1,Vb1,Vc1;
// Park transformation
int32 IADC4 = 0;
int32 IADC5 = 0;
int32 IADC6 = 0;
int32 SADC1 = 0;
float Ia,Ib,Ic,Ial,Ibe;
float Id,Iq;
// send data
int16 CCT1 = 0;
int16 CCT2 = 0;
int32 Vout1,Vout2,Vout3;
float sin_table[900]=
{0,0.0070,0.0140,0.0209,0.0279,0.0349,0.0419,0.0488,0.0558,0.0628,0.0698,0.0767,0.0837,0.0906,
0.0976,0.1045,0.1115,0.1184,0.1253,0.1323,0.1392,0.1461,0.1530,0.1599,0.1668,0.1736,0.1805,
0.1874,0.1942,0.2011,0.2079,0.2147,0.2215,0.2284,0.2351,0.2419,0.2487,0.2554,0.2622,0.2689,
0.2756,0.2823,0.2890,0.2957,0.3024,0.3090,0.3156,0.3223,0.3289,0.3355,0.3420,0.3486,0.3551,
0.3616,0.3681,0.3746,0.3811,0.3875,0.3939,0.4003,0.4067,0.4131,0.4195,0.4258,0.4321,0.4384,
0.4446,0.4509,0.4571,0.4633,0.4695,0.4756,0.4818,0.4879,0.4939,0.5000,0.5060,0.5120,0.5180,
0.5240,0.5299,0.5358,0.5417,0.5476,0.5534,0.5592,0.5650,0.5707,0.5764,0.5821,0.5878,0.5934,
0.5990,0.6046,0.6101,0.6157,0.6211,0.6266,0.6320,0.6374,0.6428,0.6481,0.6534,0.6587,0.6639,
0.6691,0.6743,0.6794,0.6845,0.6896,0.6947,0.6997,0.7046,0.7096,0.7145,0.7193,0.7242,0.7290,
0.7337,0.7385,0.7431,0.7478,0.7524,0.7570,0.7615,0.7660,0.7705,0.7749,0.7793,0.7837,0.7880,
0.7923,0.7965,0.8007,0.8049,0.8090,0.8131,0.8171,0.8211,0.8251,0.8290,0.8329,0.8368,0.8406,
0.8443,0.8480,0.8517,0.8554,0.8590,0.8625,0.8660,0.8695,0.8729,0.8763,0.8796,0.8829,0.8862,
0.8894,0.8926,0.8957,0.8988,0.9018,0.9048,0.9078,0.9107,0.9135,0.9164,0.9191,0.9219,0.9245,
0.9272,0.9298,0.9323,0.9348,0.9373,0.9397,0.9421,0.9444,0.9466,0.9489,0.9511,0.9532,0.9553,
}

```

0.9573, 0.9593, 0.9613, 0.9632, 0.9650, 0.9668, 0.9686, 0.9703, 0.9720, 0.9736, 0.9751, 0.9767, 0.9781,
 0.9796, 0.9810, 0.9823, 0.9836, 0.9848, 0.9860, 0.9871, 0.9882, 0.9893, 0.9903, 0.9912, 0.9921, 0.9930,
 0.9938, 0.9945, 0.9952, 0.9959, 0.9965, 0.9971, 0.9976, 0.9980, 0.9984, 0.9988, 0.9991, 0.9994, 0.9996,
 0.9998, 0.9999, 1.0000, 1.0000, 1.0000, 0.9999, 0.9998, 0.9996, 0.9994, 0.9991, 0.9988, 0.9984, 0.9980,
 0.9976, 0.9971, 0.9965, 0.9959, 0.9952, 0.9945, 0.9938, 0.9930, 0.9921, 0.9912, 0.9903, 0.9893, 0.9882,
 0.9871, 0.9860, 0.9848, 0.9836, 0.9823, 0.9810, 0.9796, 0.9781, 0.9767, 0.9751, 0.9736, 0.9720, 0.9703,
 0.9686, 0.9668, 0.9650, 0.9632, 0.9613, 0.9593, 0.9573, 0.9553, 0.9532, 0.9511, 0.9489, 0.9466, 0.9444,
 0.9421, 0.9397, 0.9373, 0.9348, 0.9323, 0.9298, 0.9272, 0.9245, 0.9219, 0.9191, 0.9164, 0.9135, 0.9107,
 0.9078, 0.9048, 0.9018, 0.8988, 0.8957, 0.8926, 0.8894, 0.8862, 0.8829, 0.8796, 0.8763, 0.8729, 0.8695,
 0.8660, 0.8625, 0.8590, 0.8554, 0.8517, 0.8480, 0.8443, 0.8406, 0.8368, 0.8329, 0.8290, 0.8251, 0.8211,
 0.8171, 0.8131, 0.8090, 0.8049, 0.8007, 0.7965, 0.7923, 0.7880, 0.7837, 0.7793, 0.7749, 0.7705, 0.7660,
 0.7615, 0.7570, 0.7524, 0.7478, 0.7431, 0.7385, 0.7337, 0.7290, 0.7242, 0.7193, 0.7145, 0.7096, 0.7046,
 0.6997, 0.6947, 0.6896, 0.6845, 0.6794, 0.6743, 0.6691, 0.6639, 0.6587, 0.6534, 0.6481, 0.6428, 0.6374,
 0.6320, 0.6266, 0.6211, 0.6157, 0.6101, 0.6046, 0.5990, 0.5934, 0.5878, 0.5821, 0.5764, 0.5707, 0.5650,
 0.5592, 0.5534, 0.5476, 0.5417, 0.5358, 0.5299, 0.5240, 0.5180, 0.5120, 0.5060, 0.5000, 0.4939, 0.4879,
 0.4818, 0.4756, 0.4695, 0.4633, 0.4571, 0.4509, 0.4446, 0.4384, 0.4321, 0.4258, 0.4195, 0.4131, 0.4067,
 0.4003, 0.3939, 0.3875, 0.3811, 0.3746, 0.3681, 0.3616, 0.3551, 0.3486, 0.3420, 0.3355, 0.3289, 0.3223,
 0.3156, 0.3090, 0.3024, 0.2957, 0.2890, 0.2823, 0.2756, 0.2689, 0.2622, 0.2554, 0.2487, 0.2419, 0.2351,
 0.2284, 0.2215, 0.2147, 0.2079, 0.2011, 0.1942, 0.1874, 0.1805, 0.1736, 0.1668, 0.1599, 0.1530, 0.1461,
 0.1392, 0.1323, 0.1253, 0.1184, 0.1115, 0.1045, 0.0976, 0.0906, 0.0837, 0.0767, 0.0698, 0.0628, 0.0558,
 0.0488, 0.0419, 0.0349, 0.0279, 0.0209, 0.0140, 0.0070, 0.0000, -0.0070, -0.0140, -0.0209, -0.0279, -0.0349,
 -0.0419, -0.0488, -0.0558, -0.0628, -0.0698, -0.0767, -0.0837, -0.0906, -0.0976, -0.1045, -0.1115, -0.1184,
 -0.1253, -0.1323, -0.1392, -0.1461, -0.1530, -0.1599, -0.1668, -0.1736, -0.1805, -0.1874, -0.1942, -0.2011,
 -0.2079, -0.2147, -0.2215, -0.2284, -0.2351, -0.2419, -0.2487, -0.2554, -0.2622, -0.2689, -0.2756, -0.2823,
 -0.2890, -0.2957, -0.3024, -0.3090, -0.3156, -0.3223, -0.3289, -0.3355, -0.3420, -0.3486, -0.3551, -0.3616,
 -0.3681, -0.3746, -0.3811, -0.3875, -0.3939, -0.4003, -0.4067, -0.4131, -0.4195, -0.4258, -0.4321, -0.4384,
 -0.4446, -0.4509, -0.4571, -0.4633, -0.4695, -0.4756, -0.4818, -0.4879, -0.4939, -0.5000, -0.5060, -0.5120,
 -0.5180, -0.5240, -0.5299, -0.5358, -0.5417, -0.5476, -0.5534, -0.5592, -0.5650, -0.5707, -0.5764, -0.5821,
 -0.5878, -0.5934, -0.5990, -0.6046, -0.6101, -0.6157, -0.6211, -0.6266, -0.6320, -0.6374, -0.6428, -0.6481,
 -0.6534, -0.6587, -0.6639, -0.6691, -0.6743, -0.6794, -0.6845, -0.6896, -0.6947, -0.6997, -0.7046, -0.7096,
 -0.7145, -0.7193, -0.7242, -0.7290, -0.7337, -0.7385, -0.7431, -0.7478, -0.7524, -0.7570, -0.7615, -0.7660,
 -0.7705, -0.7749, -0.7793, -0.7837, -0.7880, -0.7923, -0.7965, -0.8007, -0.8049, -0.8090, -0.8131, -0.8171,

```

-0.8211,-0.8251,-0.8290,-0.8329,-0.8368,-0.8406,-0.8443,-0.8480,-0.8517,-0.8554,-0.8590,-0.8625,
-0.8660,-0.8695,-0.8729,-0.8763,-0.8796,-0.8829,-0.8862,-0.8894,-0.8926,-0.8957,-0.8988,-0.9018,
-0.9048,-0.9078,-0.9107,-0.9135,-0.9164,-0.9191,-0.9219,-0.9245,-0.9272,-0.9298,-0.9323,-0.9348,
-0.9373,-0.9397,-0.9421,-0.9444,-0.9466,-0.9489,-0.9511,-0.9532,-0.9553,-0.9573,-0.9593,-0.9613,
-0.9632,-0.9650,-0.9668,-0.9686,-0.9703,-0.9720,-0.9736,-0.9751,-0.9767,-0.9781,-0.9796,-0.9810,
-0.9823,-0.9836,-0.9848,-0.9860,-0.9871,-0.9882,-0.9893,-0.9903,-0.9912,-0.9921,-0.9930,-0.9938,
-0.9945,-0.9952,-0.9959,-0.9965,-0.9971,-0.9976,-0.9980,-0.9984,-0.9988,-0.9991,-0.9994,-0.9996,
-0.9998,-0.9999,-1.0000,-1.0000,-1.0000,-0.9999,-0.9998,-0.9996,-0.9994,-0.9991,-0.9988,-0.9984,
-0.9980,-0.9976,-0.9971,-0.9965,-0.9959,-0.9952,-0.9945,-0.9938,-0.9930,-0.9921,-0.9912,-0.9903,
-0.9893,-0.9882,-0.9871,-0.9860,-0.9848,-0.9836,-0.9823,-0.9810,-0.9796,-0.9781,-0.9767,-0.9751,
-0.9736,-0.9720,-0.9703,-0.9686,-0.9668,-0.9650,-0.9632,-0.9613,-0.9593,-0.9573,-0.9553,-0.9532,
-0.9511,-0.9489,-0.9466,-0.9444,-0.9421,-0.9397,-0.9373,-0.9348,-0.9323,-0.9298,-0.9272,-0.9245,
-0.9219,-0.9191,-0.9164,-0.9135,-0.9107,-0.9078,-0.9048,-0.9018,-0.8988,-0.8957,-0.8926,-0.8894,
-0.8862,-0.8829,-0.8796,-0.8763,-0.8729,-0.8695,-0.8660,-0.8625,-0.8590,-0.8554,-0.8517,-0.8480,
-0.8443,-0.8406,-0.8368,-0.8329,-0.8290,-0.8251,-0.8211,-0.8171,-0.8131,-0.8090,-0.8049,-0.8007,
-0.7965,-0.7923,-0.7880,-0.7837,-0.7793,-0.7749,-0.7705,-0.7660,-0.7615,-0.7570,-0.7524,-0.7478,
-0.7431,-0.7385,-0.7337,-0.7290,-0.7242,-0.7193,-0.7145,-0.7096,-0.7046,-0.6997,-0.6947,-0.6896,
-0.6845,-0.6794,-0.6743,-0.6691,-0.6639,-0.6587,-0.6534,-0.6481,-0.6428,-0.6374,-0.6320,-0.6266,
-0.6211,-0.6157,-0.6101,-0.6046,-0.5990,-0.5934,-0.5878,-0.5821,-0.5764,-0.5707,-0.5650,-0.5592,
-0.5534,-0.5476,-0.5417,-0.5358,-0.5299,-0.5240,-0.5180,-0.5120,-0.5060,-0.5000,-0.4939,-0.4879,
-0.4818,-0.4756,-0.4695,-0.4633,-0.4571,-0.4509,-0.4446,-0.4384,-0.4321,-0.4258,-0.4195,-0.4131,
-0.4067,-0.4003,-0.3939,-0.3875,-0.3811,-0.3746,-0.3681,-0.3616,-0.3551,-0.3486,-0.3420,-0.3355,
-0.3289,-0.3223,-0.3156,-0.3090,-0.3024,-0.2957,-0.2890,-0.2823,-0.2756,-0.2689,-0.2622,-0.2554,
-0.2487,-0.2419,-0.2351,-0.2284,-0.2215,-0.2147,-0.2079,-0.2011,-0.1942,-0.1874,-0.1805,-0.1736,
-0.1668,-0.1599,-0.1530,-0.1461,-0.1392,-0.1323,-0.1253,-0.1184,-0.1115,-0.1045,-0.0976,-0.0906,
-0.0837,-0.0767,-0.0698,-0.0628,-0.0558,-0.0488,-0.0419,-0.0349,-0.0279,-0.0209,-0.0140,-0.0070};

float cos_table[900]=

{1,1,0.9999,0.9998,0.9996,0.9994,0.9991,0.9988,0.9984,0.9980,0.9976,0.9971,0.9965,0.9959,0.9952,
0.9945,0.9938,0.9930,0.9921,0.9912,0.9903,0.9893,0.9882,0.9871,0.9860,0.9848,0.9836,0.9823,
0.9810,0.9796,0.9781,0.9767,0.9751,0.9736,0.9720,0.9703,0.9686,0.9668,0.9650,0.9632,0.9613,
0.9593,0.9573,0.9553,0.9532,0.9511,0.9489,0.9466,0.9444,0.9421,0.9397,0.9373,0.9348,0.9323,
0.9298,0.9272,0.9245,0.9219,0.9191,0.9164,0.9135,0.9107,0.9078,0.9048,0.9018,0.8988,0.8957,

```

0.8926,0.8894,0.8862,0.8829,0.8796,0.8763,0.8729,0.8695,0.8660,0.8625,0.8590,0.8554,0.8517,
 0.8480,0.8443,0.8406,0.8368,0.8329,0.8290,0.8251,0.8211,0.8171,0.8131,0.8090,0.8049,0.8007,
 0.7965,0.7923,0.7880,0.7837,0.7793,0.7749,0.7705,0.7660,0.7615,0.7570,0.7524,0.7478,0.7431,
 0.7385,0.7337,0.7290,0.7242,0.7193,0.7145,0.7096,0.7046,0.6997,0.6947,0.6896,0.6845,0.6794,
 0.6743,0.6691,0.6639,0.6587,0.6534,0.6481,0.6428,0.6374,0.6320,0.6266,0.6211,0.6157,0.6101,
 0.6046,0.5990,0.5934,0.5878,0.5821,0.5764,0.5707,0.5650,0.5592,0.5534,0.5476,0.5417,0.5358,
 0.5299,0.5240,0.5180,0.5120,0.5060,0.5000,0.4939,0.4879,0.4818,0.4756,0.4695,0.4633,0.4571,
 0.4509,0.4446,0.4384,0.4321,0.4258,0.4195,0.4131,0.4067,0.4003,0.3939,0.3875,0.3811,0.3746,
 0.3681,0.3616,0.3551,0.3486,0.3420,0.3355,0.3289,0.3223,0.3156,0.3090,0.3024,0.2957,0.2890,
 0.2823,0.2756,0.2689,0.2622,0.2554,0.2487,0.2419,0.2351,0.2284,0.2215,0.2147,0.2079,0.2011,
 0.1942,0.1874,0.1805,0.1736,0.1668,0.1599,0.1530,0.1461,0.1392,0.1323,0.1253,0.1184,0.1115,
 0.1045,0.0976,0.0906,0.0837,0.0767,0.0698,0.0628,0.0558,0.0488,0.0419,0.0349,0.0279,0.0209,
 0.0140,0.0070,0.0000,-0.0070,-0.0140,-0.0209,-0.0279,-0.0349,-0.0419,-0.0488,-0.0558,-0.0628,
 -0.0698,-0.0767,-0.0837,-0.0906,-0.0976,-0.1045,-0.1115,-0.1184,-0.1253,-0.1323,-0.1392,-0.1461,
 -0.1530,-0.1599,-0.1668,-0.1736,-0.1805,-0.1874,-0.1942,-0.2011,-0.2079,-0.2147,-0.2215,-0.2284,
 -0.2351,-0.2419,-0.2487,-0.2554,-0.2622,-0.2689,-0.2756,-0.2823,-0.2890,-0.2957,-0.3024,-0.3090,
 -0.3156,-0.3223,-0.3289,-0.3355,-0.3420,-0.3486,-0.3551,-0.3616,-0.3681,-0.3746,-0.3811,-0.3875,
 -0.3939,-0.4003,-0.4067,-0.4131,-0.4195,-0.4258,-0.4321,-0.4384,-0.4446,-0.4509,-0.4571,-0.4633,
 -0.4695,-0.4756,-0.4818,-0.4879,-0.4939,-0.5000,-0.5060,-0.5120,-0.5180,-0.5240,-0.5299,-0.5358,
 -0.5417,-0.5476,-0.5534,-0.5592,-0.5650,-0.5707,-0.5764,-0.5821,-0.5878,-0.5934,-0.5990,-0.6046,
 -0.6101,-0.6157,-0.6211,-0.6266,-0.6320,-0.6374,-0.6428,-0.6481,-0.6534,-0.6587,-0.6639,-0.6691,
 -0.6743,-0.6794,-0.6845,-0.6896,-0.6947,-0.6997,-0.7046,-0.7096,-0.7145,-0.7193,-0.7242,-0.7290,
 -0.7337,-0.7385,-0.7431,-0.7478,-0.7524,-0.7570,-0.7615,-0.7660,-0.7705,-0.7749,-0.7793,-0.7837,
 -0.7880,-0.7923,-0.7965,-0.8007,-0.8049,-0.8090,-0.8131,-0.8171,-0.8211,-0.8251,-0.8290,-0.8329,
 -0.8368,-0.8406,-0.8443,-0.8480,-0.8517,-0.8554,-0.8590,-0.8625,-0.8660,-0.8695,-0.8729,-0.8763,
 -0.8796,-0.8829,-0.8862,-0.8894,-0.8926,-0.8957,-0.8988,-0.9018,-0.9048,-0.9078,-0.9107,-0.9135,
 -0.9164,-0.9191,-0.9219,-0.9245,-0.9272,-0.9298,-0.9323,-0.9348,-0.9373,-0.9397,-0.9421,-0.9444,
 -0.9466,-0.9489,-0.9511,-0.9532,-0.9553,-0.9573,-0.9593,-0.9613,-0.9632,-0.9650,-0.9668,-0.9686,
 -0.9703,-0.9720,-0.9736,-0.9751,-0.9767,-0.9781,-0.9796,-0.9810,-0.9823,-0.9836,-0.9848,-0.9860,
 -0.9871,-0.9882,-0.9893,-0.9903,-0.9912,-0.9921,-0.9930,-0.9938,-0.9945,-0.9952,-0.9959,-0.9965,
 -0.9971,-0.9976,-0.9980,-0.9984,-0.9988,-0.9991,-0.9994,-0.9996,-0.9998,-0.9999,-1.0000,-1.0000,
 -1.0000,-0.9999,-0.9998,-0.9996,-0.9994,-0.9991,-0.9988,-0.9984,-0.9980,-0.9976,-0.9971,-0.9965,

-0.9959,-0.9952,-0.9945,-0.9938,-0.9930,-0.9921,-0.9912,-0.9903,-0.9893,-0.9882,-0.9871,-0.9860,
 -0.9848,-0.9836,-0.9823,-0.9810,-0.9796,-0.9781,-0.9767,-0.9751,-0.9736,-0.9720,-0.9703,-0.9686,
 -0.9668,-0.9650,-0.9632,-0.9613,-0.9593,-0.9573,-0.9553,-0.9532,-0.9511,-0.9489,-0.9466,-0.9444,
 -0.9421,-0.9397,-0.9373,-0.9348,-0.9323,-0.9298,-0.9272,-0.9245,-0.9219,-0.9191,-0.9164,-0.9135,
 -0.9107,-0.9078,-0.9048,-0.9018,-0.8988,-0.8957,-0.8926,-0.8894,-0.8862,-0.8829,-0.8796,-0.8763,
 -0.8729,-0.8695,-0.8660,-0.8625,-0.8590,-0.8554,-0.8517,-0.8480,-0.8443,-0.8406,-0.8368,-0.8329,
 -0.8290,-0.8251,-0.8211,-0.8171,-0.8131,-0.8090,-0.8049,-0.8007,-0.7965,-0.7923,-0.7880,-0.7837,
 -0.7793,-0.7749,-0.7705,-0.7660,-0.7615,-0.7570,-0.7524,-0.7478,-0.7431,-0.7385,-0.7337,-0.7290,
 -0.7242,-0.7193,-0.7145,-0.7096,-0.7046,-0.6997,-0.6947,-0.6896,-0.6845,-0.6794,-0.6743,-0.6691,
 -0.6639,-0.6587,-0.6534,-0.6481,-0.6428,-0.6374,-0.6320,-0.6266,-0.6211,-0.6157,-0.6101,-0.6046,
 -0.5990,-0.5934,-0.5878,-0.5821,-0.5764,-0.5707,-0.5650,-0.5592,-0.5534,-0.5476,-0.5417,-0.5358,
 -0.5299,-0.5240,-0.5180,-0.5120,-0.5060,-0.5000,-0.4939,-0.4879,-0.4818,-0.4756,-0.4695,-0.4633,
 -0.4571,-0.4509,-0.4446,-0.4384,-0.4321,-0.4258,-0.4195,-0.4131,-0.4067,-0.4003,-0.3939,-0.3875,
 -0.3811,-0.3746,-0.3681,-0.3616,-0.3551,-0.3486,-0.3420,-0.3355,-0.3289,-0.3223,-0.3156,-0.3090,
 -0.3024,-0.2957,-0.2890,-0.2823,-0.2756,-0.2689,-0.2622,-0.2554,-0.2487,-0.2419,-0.2351,-0.2284,
 -0.2215,-0.2147,-0.2079,-0.2011,-0.1942,-0.1874,-0.1805,-0.1736,-0.1668,-0.1599,-0.1530,-0.1461,
 -0.1392,-0.1323,-0.1253,-0.1184,-0.1115,-0.1045,-0.0976,-0.0906,-0.0837,-0.0767,-0.0698,-0.0628,
 -0.0558,-0.0488,-0.0419,-0.0349,-0.0279,-0.0209,-0.0140,-0.0070,0.0000,0.0070,0.0140,0.0209,
 0.0279,0.0349,0.0419,0.0488,0.0558,0.0628,0.0698,0.0767,0.0837,0.0906,0.0976,0.1045,0.1115,
 0.1184,0.1253,0.1323,0.1392,0.1461,0.1530,0.1599,0.1668,0.1736,0.1805,0.1874,0.1942,0.2011,
 0.2079,0.2147,0.2215,0.2284,0.2351,0.2419,0.2487,0.2554,0.2622,0.2689,0.2756,0.2823,0.2890,
 0.2957,0.3024,0.3090,0.3156,0.3223,0.3289,0.3355,0.3420,0.3486,0.3551,0.3616,0.3681,0.3746,
 0.3811,0.3875,0.3939,0.4003,0.4067,0.4131,0.4195,0.4258,0.4321,0.4384,0.4446,0.4509,0.4571,
 0.4633,0.4695,0.4756,0.4818,0.4879,0.4939,0.5000,0.5060,0.5120,0.5180,0.5240,0.5299,0.5358,
 0.5417,0.5476,0.5534,0.5592,0.5650,0.5707,0.5764,0.5821,0.5878,0.5934,0.5990,0.6046,0.6101,
 0.6157,0.6211,0.6266,0.6320,0.6374,0.6428,0.6481,0.6534,0.6587,0.6639,0.6691,0.6743,0.6794,
 0.6845,0.6896,0.6947,0.6997,0.7046,0.7096,0.7145,0.7193,0.7242,0.7290,0.7337,0.7385,0.7431,
 0.7478,0.7524,0.7570,0.7615,0.7660,0.7705,0.7749,0.7793,0.7837,0.7880,0.7923,0.7965,0.8007,
 0.8049,0.8090,0.8131,0.8171,0.8211,0.8251,0.8290,0.8329,0.8368,0.8406,0.8443,0.8480,0.8517,
 0.8554,0.8590,0.8625,0.8660,0.8695,0.8729,0.8763,0.8796,0.8829,0.8862,0.8894,0.8926,0.8957,
 0.8988,0.9018,0.9048,0.9078,0.9107,0.9135,0.9164,0.9191,0.9219,0.9245,0.9272,0.9298,0.9323,
 0.9348,0.9373,0.9397,0.9421,0.9444,0.9466,0.9489,0.9511,0.9532,0.9553,0.9573,0.9593,0.9613,

```

0.9632,0.9650,0.9668,0.9686,0.9703,0.9720,0.9736,0.9751,0.9767,0.9781,0.9796,0.9810,0.9823,
0.9836,0.9848,0.9860,0.9871,0.9882,0.9893,0.9903,0.9912,0.9921,0.9930,0.9938,0.9945,0.9952,
0.9959,0.9965,0.9971,0.9976,0.9980,0.9984,0.9988,0.9991,0.9994,0.9996,0.9998,0.9999,1};

// Maximum Dead Band values

#define EPWM1_MAX_DB 0x03FF
#define EPWM2_MAX_DB 0x03FF
#define EPWM3_MAX_DB 0x03FF
#define EPWM1_MIN_DB 0
#define EPWM2_MIN_DB 0
#define EPWM3_MIN_DB 0

// To keep track of which way the Dead Band is moving

#define DB_UP 1
#define DB_DOWN 0

// Prototype statements for functions found within this file.

void main(void)
{
    // Step 1. Initialize System Control:

    // PLL, WatchDog, enable Peripheral Clocks

    // This example function is found in the DSP2833x_SysCtrl.c file.

    InitSysCtrl();

    // Specific clock setting for this example:

    EALLOW;
    SysCtrlRegs.HISPCP.all = ADC_MODCLK; // HSPCLK = SYSCLKOUT/ADC_MODCLK
    EDIS;

// Step 2. Initialize GPIO:

// This example function is found in the DSP2833x_Gpio.c file and
// illustrates how to set the GPIO to it's default state.

// InitGpio(); // Skipped for this example

    Gpio_select();

// For this case just init GPIO pins for ePWM1, ePWM2, ePWM3
// These functions are in the DSP2833x_EPwm.c file

```

```

InitEPwm1Gpio();
InitEPwm2Gpio();
InitEPwm3Gpio();

// Step 3. Clear all interrupts and initialize PIE vector table:
// Disable CPU interrupts

DINT;

// Initialize the PIE control registers to their default state.
// The default state is all PIE interrupts disabled and flags
// are cleared.
// This function is found in the DSP2833x_PieCtrl.c file.

InitPieCtrl();

// Disable CPU interrupts and clear all CPU interrupt flags:

IER = 0x0000;
IFR = 0x0000;

// Initialize the PIE vector table with pointers to the shell Interrupt
// Service Routines (ISR).
// This will populate the entire table, even if the interrupt
// is not used in this example. This is useful for debug purposes.
// The shell ISR routines are found in DSP2833x_DefaultIsr.c.
// This function is found in DSP2833x_PieVect.c.

InitPieVectTable();

// Interrupts that are used in this example are re-mapped to
// ISR functions found within this file.
// EALLOW; // This is needed to write to EALLOW protected registers
// PieVectTable.EPWM1_INT = &epwm1_isr;
// PieVectTable.EPWM2_INT = &epwm2_isr;
// PieVectTable.EPWM3_INT = &epwm3_isr;
// EDIS; // This is needed to disable write to EALLOW protected registers

```

```

// Interrupts that are used in this example are re-mapped to
// ISR functions found within this file.

EALLOW; // This is needed to write to EALLOW protected registers

PieVectTable.TINT0 = &cpu_timer0_isr;

EDIS; // This is needed to disable write to EALLOW protected registers

// Step 41. Initialize the Device Peripheral. This function can be
// found in DSP2833x_CpuTimers.c

InitEPwm1Example();

InitEPwm2Example();

InitEPwm3Example();

InitCpuTimers(); // For this example, only initialize the Cpu Timers

#if(CPU_FRQ_150MHZ)

// Configure CPU-Timer 0 to interrupt every 500 milliseconds:
// 150MHz CPU Freq, 50 millisecond Period (in uSeconds)

ConfigCpuTimer(&CpuTimer0, 6, 2500); // 2.84 KHz

#endif

#if(CPU_FRQ_100MHZ)

// Configure CPU-Timer 0 to interrupt every 500 milliseconds:
// 100MHz CPU Freq, 50 millisecond Period (in uSeconds)

ConfigCpuTimer(&CpuTimer0, 100, 50000);

#endif

// To ensure precise timing, use write-only instructions to write to the entire register.
// of the configuration bits are changed in ConfigCpuTimer and InitCpuTimers (in
DSP2833x_CpuTimers.h), the

// below settings must also be updated.

CpuTimer0Regs.TCR.all = 0x4001; // Use write-only instruction to set TSS bit = 0

// Step 5. User specific code, enable interrupts:

// Configure GPIO32 as a GPIO output pin

EALLOW;

```

```

GpioCtrlRegs.GPBMUX1.bit.GPIO32 = 0;
GpioCtrlRegs.GPBDIR.bit.GPIO32 = 1;
GpioCtrlRegs.GPCMUX1.bit.GPIO79 = 0;
GpioCtrlRegs.GPCDIR.bit.GPIO79 = 1;
EDIS;
InitAdc(); // For this example, init the ADC

// Specific ADC setup for this example:
AdcRegs.ADCTRL1.bit.ACQ_PS = ADC_SHCLK; // Sequential mode: Sample rate
= 1/[(2+ACQ_PS)*ADC clock in ns]

// If Simultaneous mode enabled: Sample rate = 1/[(3+ACQ_PS)*ADC clock in ns]
AdcRegs.ADCTRL3.bit.ADCCLKPS = ADC_CKPS;
AdcRegs.ADCTRL1.bit.SEQ_CASC = 1; // 1 Cascaded mode
AdcRegs.ADCCHSELSEQ1.bit.CONV00 = 0x0;
AdcRegs.ADCTRL1.bit.CONT_RUN = 1; // Setup continuous run
AdcRegs.ADCTRL1.bit.SEQ_OVRD = 1; // Enable Sequencer override feature
AdcRegs.ADCMAXCONV.bit.MAX_CONV1=0xf;
AdcRegs.ADCCHSELSEQ1.bit.CONV00 = 0x0;//A0
AdcRegs.ADCCHSELSEQ1.bit.CONV01 = 0x1;//A1
AdcRegs.ADCCHSELSEQ1.bit.CONV02 = 0x2;//A2
AdcRegs.ADCCHSELSEQ1.bit.CONV03 = 0x3;//A3
AdcRegs.ADCCHSELSEQ2.bit.CONV04 = 0x4;//A4
AdcRegs.ADCCHSELSEQ2.bit.CONV05 = 0x5;//A5
AdcRegs.ADCCHSELSEQ2.bit.CONV06 = 0x6;//A6
AdcRegs.ADCCHSELSEQ2.bit.CONV07 = 0x7;//A7
AdcRegs.ADCCHSELSEQ3.bit.CONV08 = 0x8;//B0
AdcRegs.ADCCHSELSEQ3.bit.CONV09 = 0x9;//B1
AdcRegs.ADCCHSELSEQ3.bit.CONV10 = 0xA;//B2
AdcRegs.ADCCHSELSEQ3.bit.CONV11 = 0xB;//B3
AdcRegs.ADCCHSELSEQ4.bit.CONV12 = 0xC;//B4
AdcRegs.ADCCHSELSEQ4.bit.CONV13 = 0xD;//B5
AdcRegs.ADCCHSELSEQ4.bit.CONV14 = 0xE;//B6

```

```

AdcRegs.ADCCHSELSEQ4.bit.CONV15 = 0x0F;//B7

AdcRegs.ADCST.bit.INT_SEQ1_CLR = 1;

// AdcRegs.ADCMAXCONV.bit.MAX_CONV1= 0xf; // convert and store in 8 results registers

AdcRegs.ADCTRL2.all = 0x2000;

//Enable CPU INT1 which is connected to CPU-Timer 0:

IER |= M_INT1;

//Enable TINT0 in the PIE: Group 1 interrupt 7

PieCtrlRegs.PIEIER1.bit.INTx7 = 1;

//Enable global Interrupts and higher priority real-time debug events:

EINT; // Enable Global interrupt INTM

ERTM; // Enable Global realtime interrupt DBGM

//Step 4. Initialize all the Device Peripherals:

// This function is found in DSP2833x_InitPeripherals.c

//InitPeripherals(); //Not required for this example

EALLOW;

SysCtrlRegs.PCLKCR0.bit.TBCLKSYNC = 0;

EDIS;

EALLOW;

SysCtrlRegs.PCLKCR0.bit.TBCLKSYNC = 1;

EDIS;

//Enable global Interrupts and higher priority real-time debug events:

EINT; // Enable Global interrupt INTM

ERTM; // Enable Global real-time interrupt DBGM

//Step 6. IDLE loop. Just sit and loop forever (optional):

for(;;)

{if(LOOP == 1) // 100 usec

{

GpioDataRegs.GPADAT.bit.GPIO12 = !GpioDataRegs.GPADAT.bit.GPIO12;

LOOP = 0;

IADC4 = (AdcRegs.ADCRESULT8>>4); // reading current values Ic

IADC5 = (AdcRegs.ADCRESULT9>>4); // reading current values Ib
}
}

```

```

//IADC6 = (AdcRegs.ADCRESULT10>>4);           // reading current values Ia
SADC1 = (AdcRegs.ADCRESULT11>>4);           // reading speed values

Ia= (IADC4 - 2048)*0.0008976941558;
Ib= (IADC5 - 2048)*0.0008976941558;
//Ic= ((IADC6 - 2048)*130)/2048;
Ia_filter = Ia_filter + 0.0909*(Ia - Ia_filter); // time constant = 1mSec
Ib_filter = Ib_filter + 0.0909*(Ib - Ib_filter);
SPEED_encoder = (SADC1 - 310);
SPEED_encoder_wm = 0.02943*SPEED_encoder; // reted at 10kHz
SPEED_FILTER = SPEED_FILTER + 0.0909*(SPEED_encoder_wm -
SPEED_FILTER);

//if(SPEED_FILTER >= 60){SPEED_FILTER = 60;}
//tate
//Iqref = 0.4;
we = 2*SPEED_FILTER + 60*Iqref;

// We = Wr + Wls
tate = tate + we*Ts;
// Ts = 0.00010 Sec
if(tate >= 6.2832){tate = 0;} // tate_max= 6.2832;
if(tate <= -6.2832){tate = 0;} // tate_min= -6.2832;
if(tate < 0){tate = 6.2832 + tate;}
tate_point = tate*143.24;
sinwe = sin_table[tate_point];
coswe = cos_table[tate_point];
//clarke transformation PEAK CONVENTION
Ial = Ia_filter;
Ibe = 0.57735*(Ia_filter + 2*Ib_filter);
//park transformation
Id = Ial*coswe + Ibe*sinwe;
Iq = Ibe*coswe - Ial*sinwe;
//speed loop PI control with anti-winup

```

```

SPEED_COM = 95;

errorspeed = SPEED_COM - SPEED_FILTER; //rad/sec

Us = sum + 0.0272*errorspeed;

Iqref = Us;

if(Iqref >= 1){Iqref = 1;}

if(Iqref <= -1){Iqref = -1;}

Excess = Us - Iqref;

sum = sum + (0.000010*errorspeed - 0.0005*Excess); //sum = sum +

(22.24*errorspeed - 100*Excess)*10*Ts;

//current loop PI control axis Iq with anti-winup

errorq = Iqref - Iq;

errord = Idref - Id;

Uq = sumq + 58*errorq;

Ud = sumd + 58*errord;

Vsref = Uq;

Vsdref = Ud;

if(Vsref >= 70){Vsref = 70; }

if(Vsref <= -70){Vsref = -70; }

if(Vsdref >= 30){Vsdref = 30; }

if(Vsdref <= -30){Vsdref = -30; }

Excessq = Uq - Vsref;

Excessd = Ud - Vsdref;

sumq = sumq + (1.6375*errorq - 0.5*Excessq); //sumq = sumq + (27331.57*errorq -

2853*Excessq)*Ts;

sumd = sumd + (1.6375*errord - 0.5*Excessd); //sumd = sumd + (27331.57*errord -

2853*Excessd)*Ts;

//inverse praktranformation

zz = Vsdref*coswe; // Va = Vd*cos(tate)+Vq*sin(tate)+50

qq = Vsref*sinwe; // Vb = ((sqrt(3)*Vq-

Vd)*cos(tate)+(sqrt(3)*Vd+Vq)*sin(tate))+50

jj = Vsref*coswe; // Vc = ((-sqrt(3)*Vq-Vd)*cos(tate)+(Vq-sqrt(3)*Vd)*sin(tate))+50

gg = Vsdref*sinwe;

```

```

ee = 1.73205*jj;
oo = 1.73205*gg;
ii = qq - zz;

Val= zz - qq;
Vb1= (ee + oo + ii)*0.5;
Vc1= (ii - ee - oo)*0.5;
Va = (-1)*Val + 75;
Vb = (-1)*Vb1 + 75;
Vc = (-1)*Vc1 + 75;
EPwm1Regs.CMPA.half.CMPA = Va;
EPwm2Regs.CMPA.half.CMPA = Vb;
EPwm3Regs.CMPA.half.CMPA = Vc;
}}}

void InitEPwm1Example()
{
    EPwm1Regs.TBPRD = 150;           // Set timer period
    EPwm1Regs.TBPHS.half.TBPHS = 0x0000;      // Phase is 0
    EPwm1Regs.TBCTR = 0x0000;          // Clear counter
    // Setup TBCLK
    EPwm1Regs.TBCTL.bit.CTRMODE = TB_COUNT_UPDOWN; // Count up
    EPwm1Regs.TBCTL.bit.PHSEN = TB_DISABLE;     // Disable phase loading
    EPwm1Regs.TBCTL.bit.HSPCLKDIV = 4;        // Clock ratio to SYSCLKOUT
    EPwm1Regs.TBCTL.bit.CLKDIV = 4;           // Slow just to observe on the scope 5.7 KHz
    // Setup compare
    EPwm1Regs.CMPA.half.CMPA = 10;
    // Set actions
    EPwm1Regs.AQCTLA.bit.CAU = AQ_SET;         // PWM toggle low/high
    EPwm1Regs.AQCTLA.bit.CAD = AQ_CLEAR;
    EPwm1Regs.AQCTLB.bit.CAU = AQ_CLEAR;
    EPwm1Regs.AQCTLB.bit.CAD = AQ_SET;
    // Active high complementary PWMs - Setup the deadband
}

```

```

EPwm1Regs.DBCTL.bit.OUT_MODE = DB_FULL_ENABLE;
EPwm1Regs.DBCTL.bit.POLSEL = DB_ACTV_HIC;
EPwm1Regs.DBCTL.bit.IN_MODE = DBA_ALL;
EPwm1Regs.DBRED = 3;
EPwm1Regs.DBFED = 3;
EPwm1_DB_Direction = DB_UP;
}

void InitEPwm2Example()
{
    EPwm2Regs.TBPRD = 150;           // Set timer period
    EPwm2Regs.TBPHS.half.TBPHS = 0x0000;      // Phase is 0
    EPwm2Regs.TBCTR = 0x0000;           // Clear counter
    // Setup TBCLK
    EPwm2Regs.TBCTL.bit.CTRMODE = TB_COUNT_UPDOWN; // Count up
    EPwm2Regs.TBCTL.bit.PHSEN = TB_DISABLE;     // Disable phase loading
    EPwm2Regs.TBCTL.bit.HSPCLKDIV = 4;          // Clock ratio to SYSCLKOUT
    EPwm2Regs.TBCTL.bit.CLKDIV = 4;             // Slow just to observe on the scope
    // Setup compare
    EPwm2Regs.CMPA.half.CMPA = 10;
    // Set actions
    EPwm2Regs.AQCTLA.bit.CAU = AQ_SET;         // Set PWM2A on Zero
    EPwm2Regs.AQCTLA.bit.CAD = AQ_CLEAR;
    EPwm2Regs.AQCTLB.bit.CAU = AQ_CLEAR;        // Set PWM2A on Zero
    EPwm2Regs.AQCTLB.bit.CAD = AQ_SET;
    // Active high complementary PWMs - Setup the deadband
    EPwm2Regs.DBCTL.bit.OUT_MODE = DB_FULL_ENABLE;
    EPwm2Regs.DBCTL.bit.POLSEL = DB_ACTV_HIC;
    EPwm2Regs.DBCTL.bit.IN_MODE = DBA_ALL;
    EPwm2Regs.DBRED = 3;
    EPwm2Regs.DBFED = 3;
    EPwm2_DB_Direction = DB_UP;
}

```

```

void InitEPwm3Example()
{
    EPwm3Regs.TBPRD = 150;           // Set timer period
    EPwm3Regs.TBPHS.half.TBPHS = 0x0000;      // Phase is 0
    EPwm3Regs.TBCTR = 0x0000;           // Clear counter
    // Setup TBCLK
    EPwm3Regs.TBCTL.bit.CTRMODE = TB_COUNT_UPDOWN; // Count up
    EPwm3Regs.TBCTL.bit.PHSEN = TB_DISABLE;      // Disable phase loading
    EPwm3Regs.TBCTL.bit.HSPCLKDIV = 4;          // Clock ratio to SYSCLKOUT
    EPwm3Regs.TBCTL.bit.CLKDIV = 4;            // Slow so we can observe on the scope
    // Setup compare
    EPwm3Regs.CMPA.half.CMPA = 10;
    // Set actions
    EPwm3Regs.AQCTLA.bit.CAU = AQ_SET;        // Set PWM3A on Zero
    EPwm3Regs.AQCTLA.bit.CAD = AQ_CLEAR;
    EPwm3Regs.AQCTLB.bit.CAU = AQ_CLEAR;       // Set PWM3A on Zero
    EPwm3Regs.AQCTLB.bit.CAD = AQ_SET;
    // Active high complementary PWMs - Setup the deadband
    EPwm3Regs.DBCTL.bit.OUT_MODE = DB_FULL_ENABLE;
    EPwm3Regs.DBCTL.bit.POLSEL = DB_ACTV_HIC;
    EPwm3Regs.DBCTL.bit.IN_MODE = DBA_ALL;
    EPwm3Regs.DBRED = 3;
    EPwm3Regs.DBFED = 3;
    EPwm3_DB_Direction = DB_UP;
}

interrupt void cpu_timer0_isr(void)
{
    CpuTimer0.InterruptCount++;
    LOOP = 1;
    // Acknowledge this interrupt to receive more interrupts from group 1
    PieCtrlRegs.PIEACK.all = PIEACK_GROUP1;
}

```

```
void Gpio_select(void)
{
    EALLOW;
    GpioCtrlRegs.GPAMUX1.all = 0x0000;
    GpioCtrlRegs.GPBMUX1.all = 0x0000; // GPIO functionality GPIO32-GPIO47
    // GpioCtrlRegs.GPBMUX2.all = 0x00000000;
    GpioCtrlRegs.GPCMUX1.all = 0x0000; // GPIO functionality GPIO64-GPIO79
    // GpioCtrlRegs.GPCMUX2.all = 0x00000000;
    GpioCtrlRegs.GPADIR.all = 0xFFFF;
    GpioCtrlRegs.GPBDIR.all = 0xFFFF; // GPIO32-GPIO47 are output
    GpioCtrlRegs.GPCDIR.all = 0xFFFF; // GPIO64-GPIO79 are output
    EDIS;
}
```

ภาคผนวก จ

บทความวิชาการที่ได้รับการตีพิมพ์เผยแพร่ในระหว่างการศึกษา

มหาวิทยาลัยเทคโนโลยีสุรนารี

รายชื่อบทความที่ได้รับการตีพิมพ์เผยแพร่ในระหว่างการศึกษา

Sawatnatee, P., Udomsuk, S., Areerak, K-N., Areerak K-L. and Srikaew, A. (2013). **The Optimal Indirect Vector Control for a Three-Phase Induction Motor Drive Systems Using Artificial Intelligence Techniques.** World Academy of Science, Engineering and Technology International Journal of Electrical, Electronic Science and Engineering. 7 : pp. 804 – 809.
(ส่วนลิขสิทธิ์)



ประวัติผู้เขียน

นายภักดี สวัสดิ์นนท์ เกิดเมื่อวันที่ 13 เมษายน 2531 ที่จังหวัดร้อยเอ็ด เริ่มการศึกษาชั้นประถมศึกษาที่ 1-6 ที่โรงเรียนบ้านยาง ระดับมัธยมศึกษาปีที่ 1-6 ที่โรงเรียนสे�ลกูมิพิทยาคม สำเร็จการศึกษาระดับปริญญาวิศวกรรมศาสตร์บัณฑิต (วิศวกรรมไฟฟ้า) จากมหาวิทยาลัยเทคโนโลยีสุรนารี จังหวัดนครราชสีมา เมื่อ พ.ศ. 2554 และเข้าต่อศึกษาระดับปริญญาโท สาขาวิศวกรรมไฟฟ้า ณ สถาบันเดิม

ระหว่างการศึกษาระดับปริญญาโท ได้เป็นผู้สอนปฏิบัติการของสาขาวิศวกรรมไฟฟ้า สำนักวิชาวิศวกรรมศาสตร์ มหาวิทยาลัยเทคโนโลยีสุรนารีจำนวน 3 วิชา ได้แก่ (1) ปฏิบัติการการแปลงผันกำลังงานทางกล (2) ปฏิบัติการเครื่องจักรกลไฟฟ้าหนึ่ง (3) ปฏิบัติการเครื่องจักรกลไฟฟ้าสอง และมีผลงานตีพิมพ์ปรากฏดังภาคผนวก จ. จำนวน 1 ฉบับ

